

NGU Rapport 97.158

Kjemisk kvalitet av grunnvann i fast fjell i Oslo  
og Akershus fylke

|  |   |  |
|--|---|--|
| Rapport nr.: 97.158  | ISSN 0800-3416  | Gradering: Åpen  |
| Tittel:<br><b>Kjemisk kvalitet av grunnvann i fast fjell i Oslo og Akershus fylke</b>  |   |  |
| Forfatter:<br>Frengstad, B., Banks, D. Krog, J.R., Midtgård,<br>Aa.K., Strand, T., Lind, B.  | Oppdragsgiver:<br>NGU og Statens strålevern i samarbeid med<br>næringsmiddeltilsynene |  |
| Fylke:<br>Akershus og Oslo   | Kommune:<br>Oslo og de fleste kommuner i Akershus                                     |  |
| Kartblad (M=1:250.000)<br>Oslo og Hamar  | Kartbladnr. Og -navn (M=1:50.000)   |  |
| Forekomstens navn og koordinater:  | Sidetall: 117<br>Kartbilag:   | Pris: 135,-  |
| Feltarbeid utført:<br>1996-97  | Rapportdato:<br>15.12.97  | Prosjektnr.:<br>2720.00<br>Ansvarlig:<br><i>Tor Erik Finne</i> |
| Sammendrag:<br><br>"Landsomfattende kartlegging av kjemisk kvalitet av grunnvann i fast fjell" er et samarbeid mellom Statens strålevern (NRPA) og Norges geologiske undersøkelse (NGU). Næringsmiddeltilsynene har stått for prøvetakingen i vannverk og hos private brønneiere og utfylling av prøvetakingsskjema. Der skjemaet har inneholdt tilstrekkelige opplysninger, er de prøvetatte brønnene stedfestet med koordinater i datasettet og deretter koplet til et digitalt berggrunnskart i målestokk 1:3 millioner.<br><br>Rapporten gir en innføring i variasjon i koncentrasjon av utvalgte grunnstoff i grunnvann i fjell og hvilken helsemessig betydning stoffene kan ha ved inntak. Resultatene av vannanalysene fra Akershus og Oslo er presentert grafisk etter inndeling i henholdsvis kommune og bergart, og hovedtrekkene er beskrevet i tekst. I tillegg er det vist kart med geografisk fordeling av analyseresultatene.<br><br>5,6 % av undersøkte fjellbrønner i Akershus og Oslo har et radoninnhold som overskridet anbefalt tiltaksgrense for radon på 500 Bq/l og 6,9 % har et fluoridinnhold som overskridet drikkevannsgrensen for fluorid på 1,5 mg/l. |   |  |
| Emneord: Geokjemi  | Hydrogeologi  | Borebrønn  |
| Berggrunn  | Radonmåling   | Grunnvann  |
| Grunnvannskvalitet   | Helse   | Kartlegging  |

## **INNHOLD**

|  |           |
|--|-----------|
| <b>1. INNLEDNING .....</b>   | <b>6</b>  |
| 1.1 PROSJEKTGRUPPEN.....   | 7         |
| <b>2. BAKGRUNN FOR UNDERSØKELSEN .....</b>   | <b>7</b>  |
| 2.1 TIDLIGERE UNDERSØKELSER FRA OSLO OG AKERSHUS .....                             | 8         |
| <b>3. HVORFOR FÅR VI OPPLØSTE STOFFER I GRUNNVANN .....</b>                        | <b>10</b> |
| 3.1 NEDBØR .....   | 10        |
| 3.2 PROSESSER I JORDSMONNET .....  | 10        |
| 3.3 FORURENSNING .....   | 11        |
| 3.4 MARINE SALTER.....   | 11        |
| 3.5 REAKSJONER MED MINERALER I BERGGRUNNEN.....                                    | 12        |
| 3.6 REAKSJONER I BRØNN OG LEDNINGSNETT .....                                       | 14        |
| <b>4. GRUNNVANN OG HELSE .....</b>   | <b>14</b> |
| 4.1 RADON (Rn).....  | 14        |
| 4.2 ANDRE RADIOELEMENTER; URAN (U), THORIUM (TH).....                              | 16        |
| 4.3 FLUORID (F) .....  | 16        |
| 4.4 NATRIUM (NA) OG KLORID (CL).....   | 17        |
| 4.5 pH .....   | 17        |
| 4.6 KALSIUM (CA), MAGNESIUM (MG), SULFAT ( $\text{SO}_4^{2-}$ ) OG ALKALITET ..... | 18        |
| 4.7 JERN (FE) OG MANGAN (Mn).....  | 18        |
| 4.8 ALUMINIUM (AL) .....   | 19        |
| 4.9 NITRAT ( $\text{NO}_3^-$ ), FOSFAT ( $\text{PO}_4^{3-}$ ) OG KALIUM (K).....   | 19        |
| 4.10 ANDRE METALLER .....  | 20        |
| <b>5 METODER .....</b>   | <b>22</b> |
| 5.1 PRØVETAKING .....  | 22        |
| 5.2 ANALYSER .....   | 23        |
| 5.3 DATABEARBEIDING .....  | 24        |
| 5.4 FEILKILDER .....   | 25        |
| 5.5 DATAFREMSTILLING.....  | 26        |
| <b>6 RESULTATER.....</b>   | <b>28</b> |
| 6.1 RADON .....  | 28        |
| 6.2 FLUORID.....   | 31        |
| 6.3 NATRIUM.....   | 34        |
| 6.4 KLORID .....   | 37        |
| 6.5 pH .....   | 40        |
| 6.6 KALSIUM.....   | 43        |

|                              |           |
|------------------------------|-----------|
| 6.7 MAGNESIUM.....           | 46        |
| 6.8 SULFAT .....             | 49        |
| 6.9 ALKALITET.....           | 52        |
| 6.10 JERN .....              | 55        |
| 6.11 MANGAN .....            | 58        |
| 6.12 ALUMINIUM.....          | 61        |
| 6.13 NITRAT .....            | 64        |
| 6.14 KALIUM.....             | 67        |
| 6.15 BARIUM.....             | 70        |
| 6.16 BERYLLIUM .....         | 73        |
| 6.17 SINK .....              | 76        |
| <b>7. KONKLUSJONER .....</b> | <b>79</b> |
| <b>8. REFERANSER.....</b>    | <b>82</b> |

## FIGURER

- Figur 1 Utvalgte resultater fra tidligere undersøkelser
- Figur 2 Tidsavhengig sammenheng mellom en gitt radonkonsentrasjon i husholdningsvann og avgasset radon til baderomsluft ved dusjing
- Figur 3 Grafisk forklaring av klassisk boksplott
- Figur 4 a, b Presentasjon av resultat for radon i boksplott og i kart
- Figur 5 a, b Presentasjon av resultat for fluorid i boksplott og i kart
- Figur 6 a, b Presentasjon av resultat for natrium i boksplott og i kart
- Figur 7 a, b Presentasjon av resultat for klorid i boksplott og i kart
- Figur 8 a, b Presentasjon av resultat for pH i boksplott og i kart
- Figur 9 a, b Presentasjon av resultat for kalsium i boksplott og i kart
- Figur 10 a, b Presentasjon av resultat for magnesium i boksplott og i kart
- Figur 11 a, b Presentasjon av resultat for sulfat i boksplott og i kart
- Figur 12 a, b Presentasjon av resultat for alkalitet i boksplott og i kart
- Figur 13 a, b Presentasjon av resultat for jern i boksplott og i kart
- Figur 14 a, b Presentasjon av resultat for mangan i boksplott og i kart
- Figur 15 a, b Presentasjon av resultat for aluminium i boksplott og i kart
- Figur 16 a, b Presentasjon av resultat for nitrat i boksplott og i kart
- Figur 17 a, b Presentasjon av resultat for kalium i boksplott og i kart
- Figur 18 a, b Presentasjon av resultat for barium i boksplott og i kart
- Figur 19 a, b Presentasjon av resultat for beryllium i boksplott og i kart
- Figur 20 a, b Presentasjon av resultat for sink i boksplott og i kart

## **TABELLER**

- Tabell 1: Effektiv dose fra radon i husholdningsvann  
Tabell 2: Gruppering av godkjente og ikke-godkjente data.  
Tabell 3: Oppsummering av andel fjellborebrønner med drikkevann utenfor normene.

## **VEDLEGG**

- Vedlegg 1. Prøvetakingsprosedyre for måling av radon i vann  
Vedlegg 2. Registreringsskjema for måling av radon i vann (versjon 1)  
Vedlegg 3. Registreringsskjema for måling av radon i vann (versjon 2)  
Vedlegg 4. Bergartskoder brukt i digitalt berggrunnskart  
Vedlegg 5. Bakgrunnsdata for analysene utført ved NGU-lab.  
Vedlegg 6. Figur 4c-20c. Geokjemiske kart for utvalgte elementer  
Vedlegg 7. Behandlingsmetoder

## 1. INNLEDNING

NGU-prosjekt nr. 2720.00 «Landsomfattende kartlegging av kjemisk kvalitet av grunnvann i fast fjell» er et samarbeid mellom Statens strålevern og NGU.

Tidligere undersøkelser (se kapittel 2) har antydet at en betydelig andel av Norges borebrønner i fast fjell gir vann som:

- (i) ikke tilfredsstiller drikkevannsnormene for enkelte uorganiske-kjemiske parametere, og/eller
- (ii) inneholder mer «eksotiske» grunnstoffer i konsentrasjoner som kan ha helsemessig betydning (f.eks. radon, uran, beryllium, thallium).

Noen av disse tidligere undersøkelsene har blitt kritisert p.g.a. at de var fokusert på landsdeler hvor bergartene ville ventes å gi høye konsentrasjoner av mange uønskede stoffer. Man mente derfor at undersøkelsene overvurderte risikoen hvis man ukritisk anvendte resultatene som representative for andre landsdeler.

På grunn av stor etterspørsel etter målinger og for å skaffe en bedre oversikt over radonnivåer i vann fra borebrønner, gikk Statens strålevern ut sommeren 1996 med et tilbud om samarbeid med de kommunale næringsmiddeltilsynene vedrørende prøvetaking av grunnvann i fjell. De kommunale næringsmiddeltilsynene som gikk inn i dette samarbeidet organiserte prøveinnsamlingen i deres områder. NGU erkjente at dette ga en unik anledning til å hente inn vannprøver til analyse av andre oppløste grunnstoffer og avtalte derfor med Statens strålevern at 500 ml plastflasker skulle sendes ut sammen med flaskene for radonprøvetaking. Disse ble sendt direkte til NGU for analyse. Statens strålevern og NGU har ikke hatt noen innvirkning på prøvetakingens geografiske fordeling, fordi innsending av prøvene er basert på initiativ fra den enkelte brønneier etter tilbud fra det lokale næringsmiddeltilsyn.

Denne rapporten dokumenterer resultatene fra prosjektet for vannprøvene som er sendt inn fra Oslo og Akershus fylke. Rapporten presenterer kun en statistisk oversikt, samt kart i grov målestokk. Enkeltresultater gjengis ikke av hensyn til lovverket om vern av personlige data. Alle brønneiere som har oppgitt adresse har fått tilsendt analyseresultater fra egen brønn.

Mottak av prøver for kjemisk analyse ved NGU pågikk fram til mai 1997, mens prøvetaking for radonanalyse fortsatt utføres i Statens stråleverns regi.

Et utvalg av prøvene (500) er sendt til den tyske geologiske undersøkelsen (BGR) sitt laboratorium i Hannover for analyse av sporstoffer som vanligvis forekommer i meget små mengder, men som kan ha helsemessige virkninger (f.eks. uran, thallium, beryllium). Resultatene fra disse 500 prøvene gjengis i en egen landsomfattende rapport.

## **1.1 Prosjektgruppen**

Prosjektleder fra NGUs side har vært David Banks. Aase Kjersti Midtgård har vært ansvarlig for forvaltning av resultatdatabasen. Geir Morland, Sheila Banks, Jan Reidar Krog, Are Gjerde, Bjørn Frengstad, Tor Erik Finne og Clemens Reimann har bidratt til prosessering av data. Helge Skarphagen, Bjørn Frengstad, Aase Kjersti Midtgård, Janice Doherty (Univ. i Sheffield, U.K.) og David Banks har utført feltarbeid i forbindelse med prøveinnsamling i dette prosjektet.

NGUs laboratorium har analysert vannprøvene for alle parametre unntatt radon. Dette omfattende arbeidet har blitt utført av Bård Søberg (mottak og prøvebehandling), Wigdis Sjursen (registrering), Britt Inger Vongraven (ICP), Egil Kvam (IC), Tomm Berg (pH, alkalitet), Sheila Banks (kvalitetssikring) og deres kolleger.

Fra Statens stråleverns side har prosjektet blitt ledet av Terje Strand, assistert av Bjørn Lind, Gerda Kjølås og Kristiina Aspheim.

Kjell Bjorvatn (Inst. for Odontologi, Univ. i Bergen), Trine Ellefsen og Birger Willumsen (Statens Næringsmiddeltilsyn) og Clemens Reimann, Knut Ellingsen og Erik Rohr-Torp (NGU) har bidratt med rådgivning under prosjektplanlegging og prosjektets gang.

## **2. BAKGRUNN FOR UNDERSØKELSEN**

Tidligere undersøkelser har vist at noen brønner i fast fjell i Norge gir vann som ikke tilfredsstiller drikkevannsnormene. Denne rapporten forsøker å kartlegge omfanget av dette problemet i Oslo og Akershus fylke.

**Før man leser videre, er det viktig å understreke tre ting:**

- (i) *Problemene som diskuteres her, skyldes som regel ikke menneskeskapt forurensning. De skyldes vannets naturlige sammensetning.*
- (ii) *De fleste av disse problemene (bl.a. radon, fluor, uran osv.) forekommer vanligvis ikke i brønner i løsmasser. De forekommer i et mindretall brønner i fast fjell.*
- (iii) *De fleste av disse problemene (og spesielt radon) kan også behandles !*

Denne landsomfattende undersøkelsen følger opp tre tidligere undersøkelser:

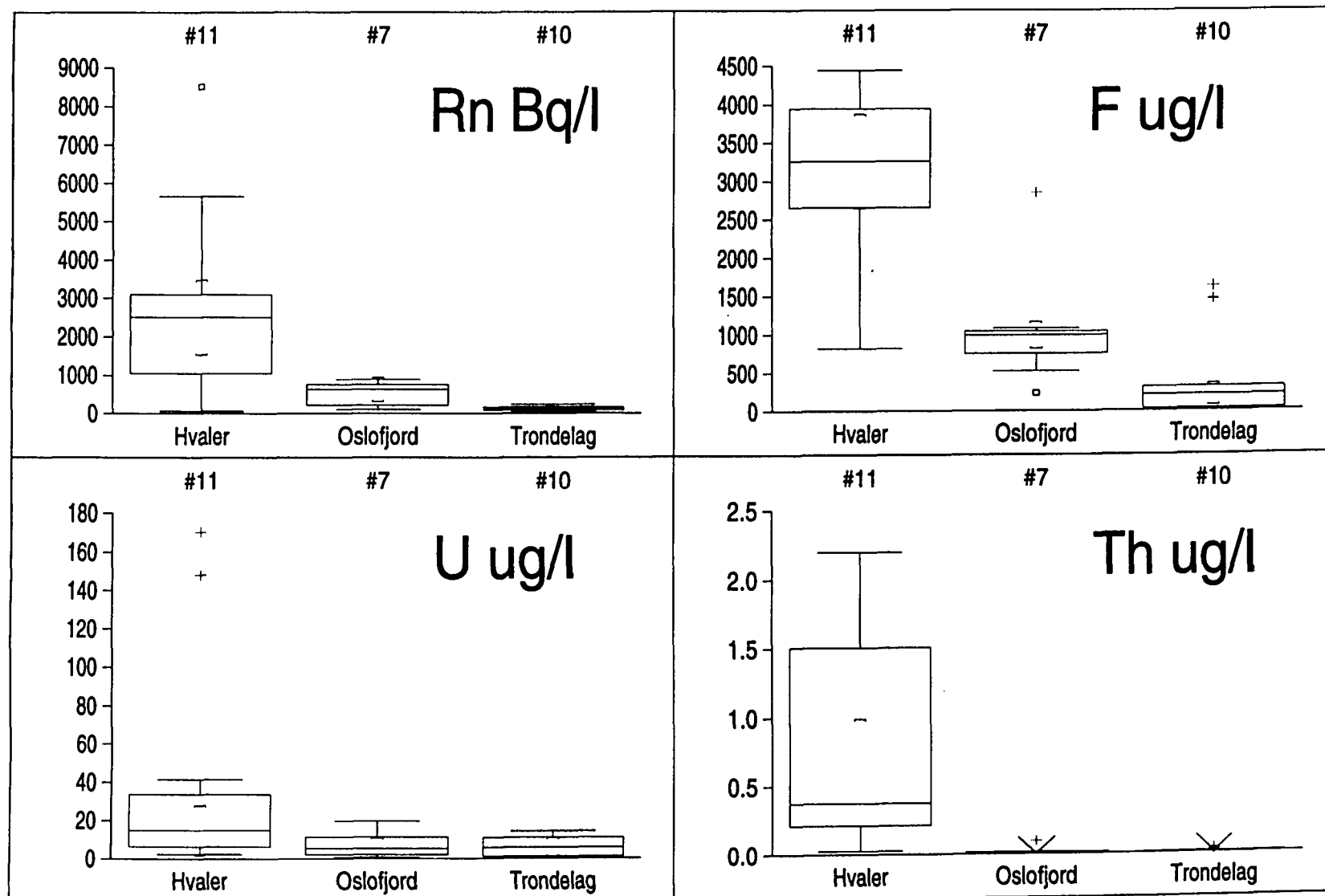
**1992** - en undersøkelse av grunnvannskvalitet i borebrønner i fjell i området ved Oslofjorden og i Trøndelagsfylkene. Den viste at borebrønner i Iddefjordsgranitten på Hvaler er spesielt utsatt for høye konsentrasjoner av radon, fluor og leilighetsvis uran. Resultatene er publisert i NGU-rapporter (93.124 og 93.126) samt tidsskriftene «Environmental Geology» og «Applied Geochemistry» (Banks m.fl. 1993a,b; 1995a,b).

**1994** - en undersøkelse av kvaliteten i grunnvannet fra flere enn 300 borebrønner i fjell i Vestfold og Hordaland. Av disse var det 16 % som oversteg drikkevannsgrensen for fluor (1.5 mg/l) og 17 % som oversteg Statens stråleverns anbefalte tiltaksnivå for radon (500 Bq/l). Ca. 13 % av brønnene oversteg den kanadiske drikkevannsgrensen for uran (20 µg/l). De største problemene fant man i granittiske bergarter. Totalt var det 53% av brønnene som oversteg drikkevannsgrensen for minst en av parametrene pH, U, Rn, F eller Na. Resultatene fra denne undersøkelsen kan gi et noe skjevt bilde av vannkvaliteten i borebrønner på landsbasis. Resultatene er publisert i NGU-rapport 95.161 (Morland m.fl. 1995), og i tidsskriftet «Science of the Total Environment» (Reimann m.fl. 1996).

**1996** - en prøvetaking av samtlige grunnvannsverk som forsyner mer enn 1000 personer. Disse baseres (med et par unntak) på grunnvann i løsmasser. Ingen av vannprøvene ga en radonkonsentrasjon som oversteg 100 Bq/l (sammenlignet med Statens stråleverns anbefalte tiltaksgrense på 500 Bq/l). Dette bekrefter at problemer med radon og fluor som regel ikke forekommer i brønner i løsmasser. Resultatene fra denne undersøkelsen er dokumentert i NGU Rapport 96.080 (Morland m.fl. 1996) og i tidsskriftet «Ground Water» (Morland m.fl. in press).

## **2.1 Tidligere undersøkelser fra Oslo og Akershus**

NGU har tidligere utført en mindre undersøkelse av grunnvannskjemi i fjell i Oslo og Akershus. Omkring 1992 fikk NGU tilbud om å prøve ut nye metoder for å analysere på mindre vanlige sporelementer, bl.a. radon på Statens strålevern og uran med ICP-MS på NILU (Norsk Institutt for Luftforskning). Forsøksanalyser av grunnvann fra fjellbrønner i Trøndelag, Oslofjord-området og Hvaler ble satt i gang, og 5 brønner fra Nesodden, Ås og Bærum var representert som en del av Oslofjord-gruppen. Utvalgte resultater vises i figur 1. Undersøkelsen antydet at grunnvann fra brønner i prekambrisisk gneis i Akershus overskred Statens stråleverns anbefalte tiltaksnivå på 500 Bq/l for radon i 2 av 3 tilfeller, mens prøver fra brønner i rombeporfyr lå under tiltaksgrensen. Det finnes ingen drikkevannsgrense for uran i Norge, men 1 prøve i prekambrisisk gneis tangerte den kanadiske grensen på 20 µg/l. Det må bemerkes at undersøkelsen var et pilotstudie og at antall prøver var for lavt til å gi et fullstendig representativt bilde. Resultatene diskuteres videre i Banks m.fl. (1993a,b; 1995a,b).



Figur 1: Utvalgte resultater fra tidligere undersøkelser av radon (Rn), fluorid (F), uran (U) og thorium (Th) i borebrønner i fjell.

### **3. HVORFOR FÅR VI OPPLOSTE STOFFER I GRUNNVANN**

Grunnvann er ikke bare vann. Det inneholder små konsentrasjoner av oppløste stoffer med ulik opprinnelse.

Grunnvann er som regel dannet ved at nedbør siger gjennom jordsmonnet og fyller porerom og sprekker i løsmasser og fjell.

Grunnvannets kjemiske sammensetning vil derfor ofte gjenspeile nedbør, prosesser i jordsmonnet, forurensning, marine salter og reaksjoner med mineraler i berggrunnen. I tillegg kan det skje reaksjoner i brønn og ledningsnett.

#### **3.1 Nedbør**

Nedbør er heller ikke bare vann, men inneholder oppløste naturlige gasser (f.eks. CO<sub>2</sub>) og forurensning fra industri (sur nedbør). I tillegg kan nedbøren inneholde oppløste stoffer fra vindblåst støv og sjøsalter (natriumklorid - Na<sup>+</sup>Cl<sup>-</sup>). Sjøsaltinnholdet avtar med økende avstand fra kysten.

Grunnvannets kjemiske sammensetning vil i utgangspunktet gjenspeile nedbørens. Sjøsaltinnholdet i grunnvann avtar derfor ofte med avstand fra kysten. Sulfatinnholdet i grunnvann i Sør-Norge er ofte litt høyere enn i Nord-Norge, grunnet nedfall av svovelforbindelser i sur nedbør (selve syren i sur nedbør blir som regel effektivt nøytralisert i grunnen, slik at sur nedbør sjeldent forårsaker surt grunnvann).

Når nedbør faller på vegetasjon eller på jord, vil en del av vannet fordampe eller brukes opp av planter. Dette medfører at saltene i gjenværende vann oppkonsentreres. Saltene i grunt, nydannet grunnvann har derfor samme innbyrdes forhold som i nedbøren, men konsentrasjonene er flere ganger høyere.

#### **3.2 Prosesser i jordsmonnet**

Jordsmonnet er et meget aktivt og levende miljø. Planter suger ut noen næringssalter fra porevannet; f.eks. nitrat og kalium. Selv om sur nedbør er forurenset av nitrat, vil man som oftest ikke finne nitratet igjen i grunnvannet - det er brukt opp av plantene.

Organiske syrer kan vaskes ut fra jordsmonnet (humus). Det gir den karakteristiske brunfargen som overflatevann og grunt grunnvann i Norge har enkelte tider på året.

Organiske stoffer kan kompleksbinde andre stoffer (f.eks. tungmetaller) og kan derfor være viktige for vannets kjemiske sammensetning.

Jordsmonnet inneholder en rekke mikroorganismer som puster. De bruker opp oksygen og produserer karbon i form av CO<sub>2</sub> som løses opp i porevannet og gir en syrlig løsning (kullsyre). Det er CO<sub>2</sub>-innholdet i nydannet grunnvann som gjør det aggressivt, slik at det er i stand til å forvitre mineralkorn som det kommer i kontakt med.

### **3.3 Forurensning**

Menneskeskapt forurensning kan påvirke grunnvannskvaliteten. Borebrønnene i fast fjell som dette studiet omhandler, er for det meste boret på landlige steder; ved hytter og gårdsbruk. Man forventer at de fleste prøvene er upåvirket av forurensning fra storbyaktiviteter og industri. Mulige forurensningskilder som likevel kan påvirke grunnvannets kvalitet her er bl.a.:

- (i) jordbruk - spesielt bruk av gjødsel og/eller frigjøring av næringssalter ved pløying av beitemark.
- (ii) lekkasje/avrenning fra septiktank eller kloakksystem
- (iii) veisalt
- (iv) lekkasje av olje og oljederivater fra tanker brukt til fyring

I de to første tilfellene er nitrat en god indikator på mulig forurensning selv om tarmbakterier eller spesifikke indikatorbakterier er det sikreste beviset på disse forurensningstypene.

### **3.4 Marine salter**

Det er nevnt i 3.1 at sjøsalter kan komme inn i grunnvann i små konsentrasjoner med nedbør. Større konsentrasjoner av sjøsalter (bl.a. natriumklorid) kan forekomme i kystnære områder på grunn av:

- (i) inntringing av sjøvann fra havet. Dette kan forekomme hvis brønnen er boret for nær sjøkanten slik at den suger inn sjøvann.
- (ii) inntringing av fossilt sjøvann, som kan ligge på dypt nivå i fast fjell, som resultat av sjøvann som ble «fanget» i sprekker og hulrom i berggrunnen under landhevingen etter slutten av siste istid.
- (iii) utvasking av salter fra marine avsetninger (f.eks. marin leire) som dekker berggrunnen i kystnære strøk. Avsetninger har blitt hevet opp over nåværende havnivå som følge av landhevingen ved slutten av siste istid.

### 3.5 Reaksjoner med mineraler i berggrunnen

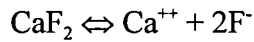
Nydannet grunnvann er surt (inneholder CO<sub>2</sub>) og oksiderende (inneholder O<sub>2</sub>). De fleste bergartene består av mineraler som er basiske og reduserende. Det er derfor ikke overraskende at nydannet grunnvann reagerer aktivt med berggrunnen og frigjør en del oppløste stoffer.

Løsmasser består av bergartspartikler som allerede er sterkt forvitret. Løsmasseavsetninger består ofte nesten utelukkende av kvarts, som er meget motstandsdyktig mot forvitring. Mineralkorn i løsmasser reagerer derfor mindre med grunnvann enn de gjør i fast fjell. Den kjemiske sammensetningen til grunnvannet fra løsmasser er derfor ofte «mindre spennende» enn kjemien til vannet fra fast fjell.

Reaksjonene som finner sted mellom vann og bergart er av fem hovedtyper:

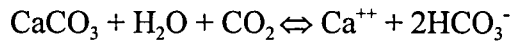
#### 3.5.1 Rene oppløsningsreaksjoner.

Noen mineraler går i oppløsning i vann på samme måte som salt går i oppløsning i vann. De fleste mineraler er langt tyngre løselig enn vanlig salt, og reaksjonene går langt saktere. F.eks. går mineralet fluoritt (CaF<sub>2</sub>) i oppløsning og frigjør kalsiumioner og fluoridioner:



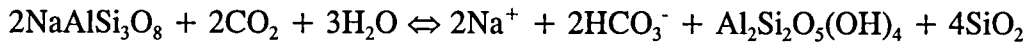
#### 3.5.2 Syre-base reaksjoner

Noen reaksjoner går langt forttere hvis vannet er surt (dvs. inneholder CO<sub>2</sub>). For eksempel: kalsitt (kalk CaCO<sub>3</sub>) løses opp i surt vann (H<sub>2</sub>O + CO<sub>2</sub>):



Denne reaksjonen er en av de vanligste i grunnvannssammenheng. Reaksjonen frigjør kalsium og bikarbonat (dvs. alkalitet). Derfor er grunnvann i kalkfjell som regel hardt og alkalisk.

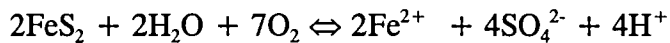
I bergarter som ikke inneholder mye kalk, kan silikatmineraler, slik som feltspat, angripes på lignende måte:



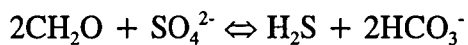
Den reaksjonen frigjør natriumioner, alkalitet og silisium, og produserer kaolinitt (leire) som fast forvitningsprodukt. Grunnvann med natriumbikarbonat-preg er typisk i granitt som inneholder mye natriumfeltspat.

### 3.5.3 Oksidasjon-reduksjon (redoks) reaksjoner

Oppløst oksygen i vannet kan reagere med noen reduserende mineraler, slik som metallsulfider, for å frigjøre sulfat, metall og syre. F.eks. svovelkis:

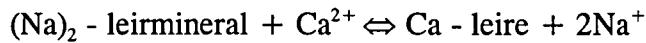


Motsatt reaksjon kan selvfølgelig også forekomme i meget oksygenfattig vann, hvor sulfat blir redusert av organisk stoff ( $\text{CH}_2\text{O}$ ) til hydrogensulfid ( $\text{H}_2\text{S}$ ). Denne oppløste gassen gir den karakteristiske lukten av «råtne egg» som finnes i enkelte borebrønner:



### 3.5.4 Ionebytte-reaksjoner

Noen mineraler, f.eks. zeolitt eller leirmineraler, opptrer som naturlige ionebytttere. Disse kan f.eks. fjerne kalsium fra grunnvann og erstatte den med natrium. Det er akkurat samme reaksjon som finner sted i ionebytttere som brukes til å behandle hardt vann.



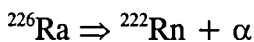
Man finner også mineraler som fungerer som ionebytttere for negativt-ladede ioner (anioner), slik som fluorid. Glimmer, apatitt og amfiboler opptrer trolig på den måten:



I alkalisk vann innebærer den reaksjonen at hydroksydionet adsorberes på glimmerkornet og erstatter fluoriden som frigis til vannet.

### 3.5.5 Desintegrasjon av radioaktive stoffer

I alle typer bergarter finnes naturlige radioaktive grunnstoffer, f.eks. uran og thorium. Nuklidene brytes sakte ned til andre grunnstoffer. F.eks. brytes uran-238 ned, gjennom en spaltingskjede, til radium-226. Radium er lite løselig i vann, men dens datternuklid, radon-222, er meget løselig. Derfor finner man radon i grunnvann fra bergarter som er anriket på uran og/eller radium. Det dreier seg her mest om granitter, gneis og enkelte andre bergarter, slik som alunskifre.



Ved radioaktiv nedbrytning av radium avgis det også alfapartikler fra kjernen. Alfapartikler er helium-kjerner som er stabile og derfor akkumuleres i grunnvannet. Heliuminnholdet i grunnvannet kan si mye om grunnvannets oppholdstid. Radon brytes videre ned med en halveringstid på knapt fire dager. Om man finner radon i brønnvann avhenger derfor av hvor rask grunnvannsstrømningen er i bergrunnen. Det avhenger med andre ord av hydrodynamiske faktorer, i tillegg til uran/radium-innholdet i bergarten.

### **3.6 Reaksjoner i brønn og ledningsnett**

Vannet som er prøvetatt i denne undersøkelsen er som regel ikke tatt direkte fra brønnen, men fra en kran et eller annet sted på ledningsnettet. Mye kan hende under overføring fra brønn til kran:

- (i) Radon kan avgasses.
- (ii) Overflatevann kan trenge inn i brønnen.
- (iii) Mineraler kan felles ut i brønn eller ledningsnett.
- (iv) Grunnstoffer slik som kobber kan løses ut fra rør i ledningsnettet.
- (v) Vannet kan være behandlet. (Dette har vi bedt om opplysninger om fra brønneieren. Prøver av kjemisk behandlet vann skal derfor ikke ha kommet inn i datasettet som omtales i denne rapporten).

## **4. GRUNNVANN OG HELSE**

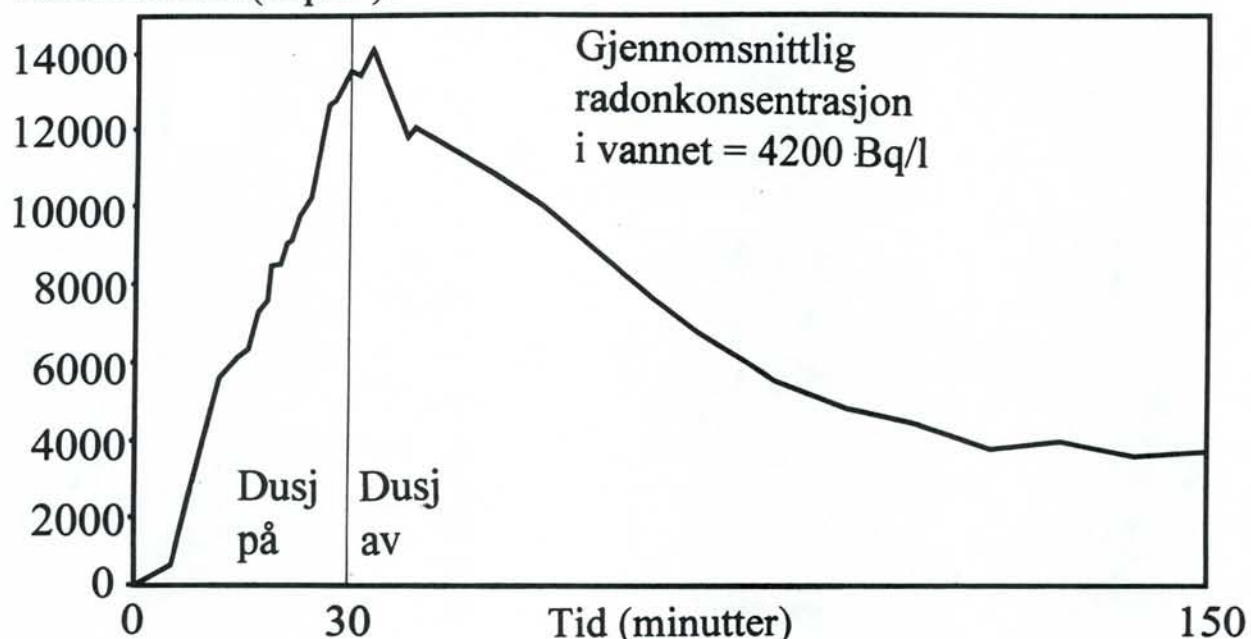
I dette kapittelet gis en kort oppsummering av beviste og antatte sammenhenger mellom helse og drikkevannets kjemiske innhold, basert på ulike veiledningshefter og uttalelser fra fagpersoner (SIFF 1987, Statens strålevern 1995, 1996, USEPA 1997, Bjorvatn, Univ. i Bergen). For ytterligere spørsmål av helsemessig art, bør en ta kontakt med kommunelege eller næringsmiddeltilsyn.

### **4.1 Radon (Rn)**

Man har funnet korrelasjoner mellom radonkonsentrasjoner i inneluft og lungekreft. Omrent 30 studier av denne sammenhengen er utført i gruver (bl. a. urangruver) og ca. 30 studier i boliger, hvorav de viktigste er omtalt av ICRP (1993), UNSCEAR (1994), Lubin m.fl. (1994), WHO (1996) and Lubin & Boice (1997). Korrelasjoner mellom sykdom og radon i drikkevann er vanskeligere å påvise, men en viss risiko kan trolig være tilstede, både fra:

- (i) inntak av radon direkte fra drikkevann
- (ii) avgassing av radon fra vann til inneluft f.eks. fra dusj eller vaskemaskin og deretter innånding av avgasset radon (se figur 2).

## Radonkonsentrasjon i baderomsluft ( $\text{Bq}/\text{m}^3$ )



Figur 2: *Tidsavhengig sammenheng mellom en gitt radonkonsentrasjon i husholdningsvann og avgasset radon til baderomsluft ved dusjing.*

Det er nå publisert epidemiologiske studier som antyder en mulig korrelasjon mellom radon i drikkevann og magekreft (Mose m.fl. 1990). Teoretiske studier antyder at særlig unge barn kan få betydelige stråledoser fra radonrikt vann: (UNSCEAR 1993, Swedjemark 1993).

Maksimum radonkonsentrasjoner som er målt i grunnvann i henholdsvis Sverige og Finland er 57 000  $\text{Bq}/\text{l}$  (Åkerblom & Lindgren 1996) og 77 500  $\text{Bq}/\text{l}$  (Salonen 1994).

**Tabell 1. Den effektive dosen fra radon i husholdningsvann. Tabellen sammenligner andel av dosen fra avgasset (og innåndet) radon med andelen fra inntak av vannet. Totaldosen bør ikke overskride 1 mSv/år i gjennomsnitt gjennom livet. Kilder: Swedjemark (1993) og Statens strålskyddsinsitut (1996).**

| Radon i vann $\text{Bq}/\text{l}$ | Type person | Dose fra innånding mSv/år | Dose fra drikking mSv/år | Totalt mSv/år |
|-----------------------------------|-------------|---------------------------|--------------------------|---------------|
| 100                               | Barn 1 år   | 0.4                       | 0.7                      | 1.1           |
|                                   | Barn 10 år  | 0.4                       | 0.15                     | 0.55          |
|                                   | Voksen      | 0.4                       | 0.05                     | 0.45          |
| 1000                              | Barn 1 år   | 4                         | 7                        | 11            |
|                                   | Barn 10 år  | 4                         | 1.5                      | 5.5           |
|                                   | Voksen      | 4                         | 0.5                      | 4.5           |

Sverige opererer med et tiltaksnivå på 100 Bq/l for radon i kommunal vannforsyning og 500 Bq/l for vannforsyninger til enkelthusholdninger. Ved overskridelse av dette nivået, anbefales det at mulige tiltak vurderes. Sverige har også en største tillatte konsentrasjon for radon i drikkevann på 1000 Bq/l. Ved overskridelse av dette nivået bør tiltak iverksettes (SIFF 1987). Norge har nylig innført et anbefalt tiltaksnivå på 500 Bq/l (NRPA 1995, 1996). Dette nivået er basert på stråledoser til barn og voksne gjennom radon i drikkevann, samt innånding av avgasset radon. For barn er det inntak direkte fra drikkevann som gir de største stråledosene; for voksne er det innånding av avgasset radon som har størst betydning (tabell 1).

#### **4.2 Andre radioelementer; uran (U), thorium (Th)**

Uran er lite løselig i oksygenfritt, reduserende miljø, men kan være lett løselig i oksiderende vann, spesielt hvis vannet har lav pH (surt vann). Løseligheten øker ytterligere ved kompleksdannelse med andre kjemiske grunnstoffer og forbindelser. Man har funnet mer enn 14 mg/l uran i grunnvann i granitt i Helsinki-området i Finland (Asikainen & Kahlos 1979).

Naturlig uran har, i motsetning til kunstig anriket uran, nokså beskjeden radioaktivitet. Faktisk er urans kjemiske giftighet sannsynligvis noe høyere enn den skadefirkingen som strålingen kan medføre (Milvy & Cothorn 1990). Det er ikke satt noen drikkevannsgrense for uran i Norge, men Canada og USA benytter en grense på 20 µg/l dvs. 0.02 mg/l (Barnes 1986, Fetter 1994). Dette er faktisk høyere enn grensen for både bly og kadmium! Det kan være av interesse at den russiske drikkevannsgrensen for uran er satt til 1700 µg/l eller 1.7 mg/l (Kirjuhin m.fl. 1993).

Thoriums helseeffekter i drikkevann, vet vi veldig lite om. Thorium er, i motsetning til uran, svært uløselig under de fleste forhold, og forekommer derfor vanligvis i langt mindre konsentrasjoner. Derimot er thorium sannsynligvis noe mer giftig enn uran, og vi kan ikke uten videre si at de små konsentrasjonene som finnes i grunnvann ikke har noen helsevirking. Det er ikke satt noen drikkevannsgrense for thorium i vann.

#### **4.3 Fluorid (F)**

WHO har tatt fluor med på listen over «essensielle grunnstoffer» og har dermed signalisert at fluor - i riktige mengder - har en positiv effekt på helsen, og særlig på tannhelsen. Det er en klar sammenheng mellom fluoridinnhold i drikkevannet og utvikling av tannråte (karies). Mange steder i verden justeres derfor vannets fluoridinnhold opp til ca. 1,0 mg /l for å bedre tannhelsen.

For mye fluor kan føre til skader (dental fluorose) på tannemaljen i tenner som er under dannning. Fluoridinnholdet i drikkevann som gis til barn, bør derfor ikke være høyere enn

1,5 mg/l. Tenner som allerede er på plass i munnen, kan ikke skades av fluor, men ved årelangt bruk av vann med svært høyt fluoridinnhold kan det bli skader, f.eks. på benvev.

Drikkevannet er ikke vår eneste fluorkilde. Det kan derfor være nødvendig å redusere bruk av fluortabletter og/eller fluortannkrem selv der hvor drikkevannet inneholder moderate fluormengder. Kjell Bjorvatn (Inst. For Odontologi, Universitetet i Bergen) anbefaler å ta kontakt med tannlege eller helsesøster dersom vann med høyere fluoridinnhold enn ca. 0,5 mg/l skal brukes til barn.

#### 4.4 Natrium (Na) og klorid (Cl)

Det er ikke knyttet negative effekter til inntak av klorid alene (SIFF 1987). Både grunnvannskilder og overflatevannskilder her i landet har normalt lavt innhold av klorid (lavere enn 25 mg/l). Innhold av salt i berggrunnen og løsmassene og tilførsel fra nedbør bestemmer normalt innholdet. I brønner under marin grense og brønner nær kysten hvor det skjer påvirkning av havvann, kan imidlertid innholdet av klorid komme over 100 mg/l. Forurensning via veisalt vil også kunne gi et bidrag. Natrium kan i tillegg til ovennevnte kilder ha sitt opphav i forvitring av natriumholdige mineraler (f.eks feltspat). Det finnes derfor ofte et overskudd av natrium i grunnvann sammenliknet med klorid.

Både dyreeksperimenter, kliniske observasjoner og epidemiologiske studier har vist at natrium (i form av NaCl, bordsalt) påvirker blodtrykket. Høyt blodtrykk gir økt risiko for hjertekarsykdommer. Til pasienter på særlig natriumfattig diett (mindre enn 0,5 g/dag) kreves drikkevann med mindre enn 20 mg/l. For personer som er på diett med natriuminntak lavere enn 2 g/dag, bør ikke drikkevannet inneholde mer enn 100 mg/l (SIFF, 1987).

#### 4.5 pH

pH er vannets surhetsgrad, et mål på mengden hydrogenioner ( $H^+$ ) i vannet. Nøytralt vann har pH=7, uforentset nedbør er noe sur (pH=5), mens sur nedbør kan ha en pH lavere enn 3. pH synker altså med økende surhetsgrad. Fordi berggrunnen nøytraliserer surheten i nedbør, har grunnvann ofte en nøytral eller svakt alkalisk pH (i størrelsesorden 7 eller 8).

pH i grunnvannet i basiske bergarter (grønnstein, kalkstein, gabbro) er gjerne litt høyere enn i lysere silisiumrike granitter og gneisbergarter. En høy pH kan også gjenspeile lang oppholdstid eller reduserende forhold i vannet.

pH i naturlig vann har ingen direkte betydning for menneskelig helse. Det er bare når man kommer ned i pH-verdier på 1, eller opp i verdier høyere enn 11 at væsken begynner å

«brenne» kroppen. Det største problemet med vann med lav pH er at mange uønskede metaller er lettere løselige ved lav pH. Dette inkluderer både estetisk uønskede metaller som jern og mangan og potensielt giftige metaller som uran, bly, kadmium og kobber. Metallene kan løses i vannet enten p.g.a. forvitring av bergrunnen eller ved at surt vann tærer på ledningsnettet.

#### **4.6 Kalsium (Ca), magnesium (Mg), sulfat ( $\text{SO}_4^{2-}$ ) og alkalitet**

Det er ikke registrert negative helseeffekter av kalsium i drikkevannet. Kalsium sammen med magnesium forårsaker hardt vann. Bruksmessige problemer blir særlig merkbare når kalsiuminnholdet øker utover 25 mg/l, og problemene blir større med økende hardhet. Høy hardhet forårsaker redusert vaskeeffekt på grunn av utfelling av uløselig kalksåpe. Videre kan kjelstein (kalsiumkarbonat) flettes ut ved oppvarming av vannet. Dette vil kunne forårsake skade på elektriske varmeelementer.

Noen epidemiologiske studier antyder at hardt vann (mye Ca og Mg) kan beskytte mot noen typer hjertesykdommer. Resultatene betraktes som kontroversielle og det er ikke faglig enighet om sammenhengen gjenspeiler en direkte årsakssammenheng effekt eller sekundære faktorer.

Alkaliteten gjenspeiler vannets innhold av bikarbonationer ( $\text{HCO}_3^-$ ). Det er ikke registrert negative helseeffekter fra bikarbonat. Tvert i mot kan alkalitet i vann ha en viss gunstig virkning fordi alkaliske vann som regel er mindre korrosivt, og mange tungmetaller er mindre løselige i alkaliske vann.

Det er heller ikke registrert alvorlige helsemessige virkninger av sulfat i vannet. Høye konsentrasjoner med sulfat kan imidlertid ha en laksativ (avførende) effekt, særlig i kombinasjon med magnesium (dvs. Epsom salter). Ifølge SIFF (1987) kan denne effekten oppstå ved konsentrasjoner på 300 mg/l magnesiumsulfat ( $\text{MgSO}_4$ ), tilsvarende ca. 50 mg/l magnesium ( $\text{Mg}^{2+}$ ) eller 250 mg/l sulfat ( $\text{SO}_4^{2-}$ ). Hos spedbarn og følsomme personer kan diaré forekomme ved lavere konsentrasjoner. Mange mineralvannstyper og såkalte helsebringende vanntyper er sulfatrike. Av hensyn til laksativeffekten, har Norge en største tillatte konsentrasjon på 100 mg/l sulfat for drikkevann.

#### **4.7 Jern (Fe) og mangan (Mn)**

Inntak av jern fra drikkevann har ingen helseskadelige effekter, men utfelt jern i vannet vil kunne redusere desinfeksjonseffekten. Ved UV-anlegg kan partiklene skjerme for UV-strålene, og mikroorganismer slipper gjennom anlegget. Jern kan gi vekstmuligheter for jernbakterier. Disse er ikke sykdomsfremkallende, men vekst av slike bakterier kan føre til at

det dannes store mengder rustslam i ledninger og bassenger. Vann som er grumsete av jernutfellinger, er lite estetisk og smaker dårlig. Jernholdig vann kan være sterkt farget. Vann med høyere jerninnhold enn 0,2 mg/l, kan misfarge klær ved klesvask og føre til brune utfellinger på sanitærutstyr.

Inntak av mangan i drikkevannet har ingen direkte helseeffekter, men utfelt mangan i vannet kan på samme måte som jern redusere desinfeksjonseffekten i UV-anlegg og medføre estetiske problemer.

#### 4.8 Aluminium (Al)

Aluminium finnes i mange mineraler, og det er ikke overraskende at det også kan finnes i overflatevann og grunnvann. Løseligheten er sterkt avhengig av pH (surhetsgrad), slik at oppløst aluminium fortrinnsvis finnes i vann med lav eller meget høy pH. Grunnvann, med nøytral pH, inneholder ofte mindre mengder aluminium. Aluminium kan forekomme i grunnvann med lav pH (< 5,5), og kan også forekomme i overflatevann eller renset vann hvor aluminiumforbindelser er brukt i renseprosessen.

Mange forbinder aluminium med Alzheimers sykdom, siden aluminium kan være oppkonsentrert i visse deler av hjernen hos disse pasientene. Det er imidlertid ikke påvist noen årsakssammenheng mellom aluminium og Alzheimers sykdom.

Aluminiumrikt vann kan ha ugunstige effekter på nyresyke personer, og spesielt spedbarn og pasienter som bruker vannet som dialysevæske. Ifølge SIFF (1987) bør dialysevæsken ikke inneholde mer enn 0,01 mg/l.

#### 4.9 Nitrat ( $\text{NO}_3^-$ ), fosfat ( $\text{PO}_4^{3-}$ ) og kalium (K)

Høye konsentrasjoner av nitrat og fosfat i drikkevann skyldes vanligvis forurensning enten fra jordbruk (gjødsling eller oppløying av beitemark/skogmark) eller lekkasje fra septiktank/kloakk/avfallsfylling. Det kan også skyldes innsig av overflatevann på grunn av dårlig sikring rundt brønntoppen. Kalium kommer delvis fra forvitring av silikatmineraler i berggrunnen, men kan også komme fra samme kilder som nitrat eller fosfat. Disse stoffene beskrives ofte som næringssalter, fordi de er viktige næringsstoffer for planter. Det er imidlertid viktig å være klar over at disse stoffene kan komme fra naturgjødsel såvel som fra kunstgjødsel.

Finner man høye konsentrasjoner av disse parametrerne i drikkevannet, anbefales det at det også foretas analyser av bakterieinnhold og ammonium i vannet.

Høye konsentrasjoner av nitrat kan forårsake sykdommen methemoglobinemi. Spedbarn er spesielt utsatt fordi nitrat kan danne et kjemisk stoff hos spedbarn som binder seg til hemoglobin og setter ned blodets evne til å transportere oksygen rundt i kroppen. Sykdommen er observert i forbindelse med drikkevann som inneholder nitrat i størrelsesorden 200 mg/l  $\text{NO}_3^-$ . Den norske grenseverdien er satt betydelig lavere (44 mg/l  $\text{NO}_3^-$ ). Man bør spesielt unngå å benytte vann med høyt nitratinnhold i morsmelkerstatning til spedbarn.

Det er videre mistanke om at nitrat i høye konsentrasjoner kan omdannes til kreftfremkallende nitroso-forbindelser i kroppen. Det er aldri blitt dokumentert noen overbevisende sammenheng mellom kreft og nitrat i drikkevann. Inntak av røkt fisk og spekemat medfører sannsynligvis en langt høyere dose med nitroso-dannende kjemikalier enn inntak av nitratholdig drikkevann i Norge.

Nitrat i vann er et stort problem på det europeiske kontinentet, siden grunnvannsmagasiner ofte finnes i jordbruksområder. I Norge er ikke nitratforurensning i grunnvann så utbredt siden en mindre del av landarealet er oppdyrket, og borebrønner lettere kan legges utenfor jordbruksområder.

Fosfor og kalium har ingen kjente helsemessige ulemper i de beskjedne konsentrasjonene de forekommer i grunnvann.

#### 4.10 Andre metaller

Det eksisterer en rekke metaller som potensielt kan ha negative helsevirkninger. De kan leilighetsvis forekomme i grunnvann i bergarter som er anriket på metaller eller i surt grunnvann hvor metallene er mer løselige. Blant de mer problematiske metallene finner vi barium, beryllium, bly, kadmium, kobber, sink og thallium.

##### 4.10.1 Barium (Ba)

Barium kan ha negative helseeffekter på hjerte, blodkar og nerver (SIFF 1987). Bariumsulfat har liten løselighet og barium forekommer derfor i grunnvann med lite sulfat (f.eks i reduserende grunnvann hvor sulfat er omdannet til sulfid). Sosial- og helsedepartementet (1995) har satt en veileddende grenseverdi på 100 µg/l for barium i drikkevann.

#### **4.10.2 Beryllium (Be)**

Det finnes ingen drikkevannsgrense for beryllium i Norge. Det er imidlertid bevist at langvarig eksponering i drikkevann kan medføre skade på beinvevet og lungene. Det er også antydet at beryllium kan være kreftfremkallende. Beryllium forekommer oftere i sure enn i basiske bergarter og gjerne i forbindelse med feltspatmineraler og pegmatittganger. Elementet er forholdsvis uløselig og forekommer sjeldent over 1 µg/l. USEPA (miljøvernmyndighetene i USA) har innført en maksimumsgrense på 4 µg/l beryllium (Fetter, 1994).

#### **4.10.3 Bly (Pb)**

Bly akkumuleres i kroppen og kan ha negative virkninger på nervesystemet, bloddannelse og nyrene, spesielt hos små barn (SIFF, 1987). Bly kan komme fra ledningsnett, men blyrør er lite utbredt i Norge. Bly kan i noen tilfeller komme fra blymineralisering i bergrunnen. Bly er spesielt løselig i bløtt, surt vann.

#### **4.10.4 Kadmium (Cd)**

Kadmium akkumuleres i kroppen og har giftvirkning på en rekke organer. Det er mistanke om at elementet er kreftfremkallende (SIFF 1987). Kadmium kan komme fra gamle armaturer på ledningsnettet eller i noen tilfeller fra kadmiummineralisering i bergrunnen. Kadmium er spesielt løselig i bløtt, surt vann.

#### **4.10.5 Kobber (Cu)**

Kroppen trenger beskjedne mengder kobber. Det er ingen undersøkelser som dokumenterer en klar negativ helsemessig virkning fra de kobberkonsentrasjoner som vanligvis finnes i drikkevann. Høye doser kan, ifølge USEPA (miljøvernmyndighetene i USA) skade flere organer i kroppen. Personer med Wilsons sykdom kan være spesielt utsatt for ugunstige virkninger fra kobber. Kobber i drikkevann kommer i hovedsak fra kobberrør i ledningsnettet. Mindre mengder kan komme fra bergrunnen.

#### **4.10.6 Sink (Zn)**

Beskjedne mengder sink er nødvendig for kroppen. Det er ikke påvist negative helsemessige virkninger fra sink i drikkevann, ifølge SIFF (1987). Meget høye konsentrasjoner med sink kan forårsake en ubehagelig smak på vannet.

#### **4.10.7 Thallium (Tl)**

Thallium er et metall som forekommer i malmer sammen med kobber, sink, kadmium og gull. Det finnes i mindre mengder i andre bergarter, spesielt i kalium- og rubidiumrike mineraler. Thallium i drikkevann kan forårsake ubehag i tarmkanalen og skade på nerver, blod, lever, nyrer og testikler, samt hårtap. USEPA har definert en veiledende verdi på 0.5 µg/l og en tillatt maksimumskonsentrasjon på 2 µg/l, i USA (USEPA, 1997).

## **5 METODER**

### **5.1 Prøvetaking**

Sommeren 1996 gikk Statens strålevern ut offentlig med et tilbud om radonanalyser av drikkevann. Tilbuddet ble tatt opp av landets næringsmiddeltilsyn og enkelte kommuner og privatpersoner. På dette tidspunktet ble NGU koblet inn i prosjektet, og det ble samtidig sendt ut flasker til vannprøvetaking for fysisk-kjemisk analyse.

Et 20 ml glass (fylt på forhånd med 10 ml scintillasjonsvæske) for radonprøvetaking ble sendt ut til næringsmiddeltilsynene sammen med instruks for prøvetaking (vedlegg 1). For de øvrige vannanalyser ble det sendt ut en 500 ml polyeten plastflaske. Det ble anbefalt å la springen renne i minst 5 minutter før prøvetaking. Prøvene ble i de fleste tilfellene tatt av næringsmiddeltilsynene og sendt med post til Statens strålevern og NGU for henholdsvis radonanalyse og øvrige analyser. Vannprøvene ble ikke filtrert av to årsaker:

- (i) for å gjøre det enkelt for personer som var ukjent med denne type vannprøvetaking
- (ii) for å få et mål på totalinnhold av forskjellige elementer i drikkevann i oppløst, kolloidal og partikulær form.

Noen av næringsmiddeltilsynene misoppfattet prosjektets formål og tok prøver av overflatevann og grunnvann fra løsmasser i tillegg til grunnvann fra fast fjell. Dette ble registrert og håndtert under databearbeiding.

Ved prøvetaking ble det fylt ut et skjema som ga opplysninger om brønnens lokalitet, bruk og evt. vannbehandling. På det første skjemaet (vedlegg 2) var det ikke anledning til å kommentere vannbehandling. Dette ble mulig på en senere versjon av skjemaet (vedlegg 3).

## 5.2 Analyser

### 5.2.1 Radon

Prøvene ble registrert ved ankomst på Statens strålevern. Analysene ble foretatt ved scintillasjonstelling. Så langt det var mulig ble alle prøver analysert innen 3 dager etter prøvetaking. Resultatene ble deretter korrigert for å gi radoninnholdet i vannet ved prøvetakingstidspunktet. Deteksjonsgrensen er oppgitt til 10 Bq/l.

Prøver med spesielt høye verdier ble kjørt om igjen og i noen tilfeller prøvetatt på nytt.

### 5.2.2 Øvrige parametre

Ved ankomst på NGU ble prøvene registrert og lagret i et mørkt kjølerom ved 4°C. Vannets farge ble vurdert (K = ingen farge, B = noe brunt, BB = ganske brunt vann). Dette gir et kvalitativt mål på humusstoffer og/eller utfelt jernhydroksid i vannet. Så snart som mulig etter ankomst ble prøven rystet forsiktig og ca. 100 ml vann ble dekantert til en ny polyetenflaske. De resterende 400 ml vann i den opprinnelige flasken ble tilsatt 4 ml 65% konsentrert Suprapur salpetersyre for å holde metaller i løsning (løse opp allerede adsorberete/utfelte metaller).

Vannprøven i 100 ml flasken ble ikke behandlet på noen måte og ble benyttet for bestemmelse av:

- (i) pH ved kalibrert pH-elektrode av type pHC 2701.
- (ii) alkalitet ved titrering mot saltsyre til pH 8.2 (p-alkalitet) og 4.3 (t-alkalitet)
- (iii) bestemmelse av 7 anioner ( $\text{Cl}^-$ ,  $\text{Br}^-$ ,  $\text{NO}_3^-$ ,  $\text{NO}_2^-$ ,  $\text{SO}_4^{=}$ ,  $\text{F}^-$  og  $\text{PO}_4^{3-}$ ) ved ionelektronkromatografi (IC)

Restende 400 ml surgjort prøve ble brukt til analyse av ca. 30 elementer med induktivt koblet plasma atomisk emisjonsspektroskopi (ICP-AES) (NGU-SD 3.1, 1997).

Metodene og kvalitetssikringsrutiner er gjengitt i laboratoriets kvalitetshåndbok (1997). Analyseusikkerhet og nedre deteksjonsgrense er gjengitt i vedlegg 5.

Duplikatanalyser av hver 20. prøve ble kjørt som kontroll.

ICP-AES analysene kunne i de fleste tilfeller kjøres noen få dager etter prøveankomst. IC, pH og alkalisitetsmålinger tar lengre tid. I de travleste periodene kunne det gå et par måneder mellom prøvetaking og analyse. For enkelte parametre, slik som nitrat, pH og alkalitet, kan verdiene endre seg under lagring (p.g.a. nedbrytning av nitrat, avgassing av  $\text{CO}_2$  osv.). NGU tar derfor forbehold om resultatene for disse parametrene.

### **5.3 Databearbeiding**

En database ble opprettet hos NGU. Databasen inneholder opplysninger fra innsendte skjemaer om bl.a. gårds-/bruksnummer, prøvenummer, brønndyp, grunnforhold samt analyseresultater. Kommunenummer og fylke ble identifisert og lagt inn.

Noen data måtte forkastes p.g.a. mangelfullt utfylte skjema, eller uoverensstemmelser i prøvenummerering. Dette gjelder spesielt i Vest-Agder fylke.

27 prøver som ble tatt i Trøndelag sommeren 1996 av student Janice Doherty fra Universitetet i Sheffield, Storbritannia ble inkludert i datasettet (Doherty, 1997).

Etter at alle registreringer var lagt inn, hadde man opplysninger om 1924 vannprøver.

De fleste registreringsskjemaene inneholdt opplysninger om kommune, gårdsnummer og bruksnummer. En fil med disse dataene ble sendt til Statens Kartverk v/Jon Kaasa for konvertering til UTM-koordinater i sone 32. Basert på en feltkontroll i Egersundområdet, må nøyaktigheten sies å være bra. I noen tilfeller var ikke konverteringen vellykket, sannsynligvis på grunn av feil oppgitt gårds-/bruksnummer.

UTM-koordinatene ble koblet opp i Arcview-software mot NGUs digitale berggrunnskart over Norge i målestokk 1:3 000 000 (Sigmond m.fl. 1992). Den koblingen ga hvert prøvetakingspunkt en bergartskode som tilsvarer tegnforklaringen på kartet. Bergartskodene er gjengitt i vedlegg 4.

Brønnene ble tildelt ulike koder:

Kode 0: brønn/kilde i løsmasse

Kode 1: brønn/kilde i fjell

Kode 2: overflatevann

Kode 3: grunnforhold ikke oppgitt, men brønndyp større enn 20 m er antatt å være i fjell

Kode 4: oppgitt løsmasse, men brønndyp større enn 20 m er antatt å være i fjell

(med løsmassedekke)

Kode 5: ikke oppgitt dyp eller fjell/løsmasse

Prøver fra overflatevann ble forkastet fra datasettet. Dette dreide seg om 7 prøver på landsbasis. Prøver fra løsmassebrønner og prøver der brønntype ikke lot seg identifisere fra registreringsskjemaet ble også skilt ut før den videre statistiske behandlingen. Det var da 1756 prøver fra borebrønner i fjell i datasettet. Videre ble prøver fra borebrønner med vannbehandling eller utjevningsbasseng og prøver med partikkelinnhold merket og forkastet fra datasettet. Dette dreide seg om 152 prøver. Innhold av partikler kan forstyrre

vannanalysen. Dersom ingen opplysninger om vannbehandling ble oppgitt (inkl. prøvene hvor skjemaet ikke ga mulighet for opplysninger), ble det antatt at ingen vannbehandling fant sted.

Etter dette, ble 1604 prøver igjen fra brønner i fjell (koder 1, 3 og 4), hvorav 1338 hadde UTM koordinat og 1335 kunne gis en bergartskode.

**Tabell 2: Gruppering av godkjente og ikke-godkjente data.**

| Kriterium                           | Landsomfattende datasett | Datasett for Oslo og Akershus |
|-------------------------------------|--------------------------|-------------------------------|
| Total datasett                      | 1924                     | 175                           |
| Løsmassebrønner (kode 0)            | -88                      | -3                            |
| Overflatevann (kode 2)              | -7                       | 0                             |
| Uten opplysninger (kode 5,-9999)    | -73                      | -4                            |
| Fjellborehull (kode 1, 3 og 4)      | 1756                     | 168                           |
| Prøver av behandlet vann            | -141                     | -23                           |
| Prøver med høyt partikkellinnhold   | -11                      | -1                            |
| Fjellborehull, korrigert datasett   | 1604                     | 144                           |
| hvorav brønner med UTM koordinat    | 1338                     | 104                           |
| hvorav brønner med bergartskode     | 1335                     | 104                           |
| Løsmassebrønner, korrigert datasett | 72                       | 2                             |

#### 5.4 Feilkilder

De viktigste feilkildene er som følger:

- (i) Kontaminering av prøver ved prøvetaking. Dette har vi ikke hatt oversikt over, men de fleste prøvetakerne har vært fagfolk fra næringsmiddeltilsynene som antas å ha vært forsiktige med prøvetakingen.
- (ii) Feilregistrering av prøver, spesielt feilnummerering. Hos noen næringsmiddeltilsyn har prøvetakeren ikke forstått at nummeret på radonflasken skal tilsvare nummeret på vannflasken. I de fleste tilfellene mener vi å ha oppdaget dette og foretatt en riktig kobling. En kan selvfølgelig ikke utelukke at noen tilfeller har gått uoppdaget.
- (iii) Uforsvarlig lang lagringstid. Dette gjelder i hovedsak parametrerne alkalitet, pH og nitrat. Resultatene for disse parametrerne oppgis her, men med et visst forbehold.

- (iv) Unøyaktigheter i forbindelse med konvertering av gårds-/bruksnummer til UTM.  
Feltkontroll i Egersundområdet viser god nøyaktighet. Statens Kartverks konverteringsprogram tar brukets sentrum som referansepunkt. Ved større eiendommer, vil brønnen ikke nødvendigvis ligge i sentrum, noe som gir en viss feil. Brønner nær kysten og på små øyer kan derfor bli plottet i havet.
- (v) Unøyaktigheter ved kobling til bergartskode. Det digitale kartets målestokk er grov og det kan ha oppstått feil i kartets digitalisering. For å kontrollere unøyaktigheter, ble NGUs 1:250.000 kartblad Oslo valgt ut som kontroll. Alle prøvetakingspunkt ble plottet manuelt på dette detaljerte kartet og bergrunnen registrert. En uoverensstemmelse på maksimum 7% ble registrert i bergartskode mellom digital kobling og manual plotting. Ved fornuftig bruk av statistiske teknikker er dette til å leve med.

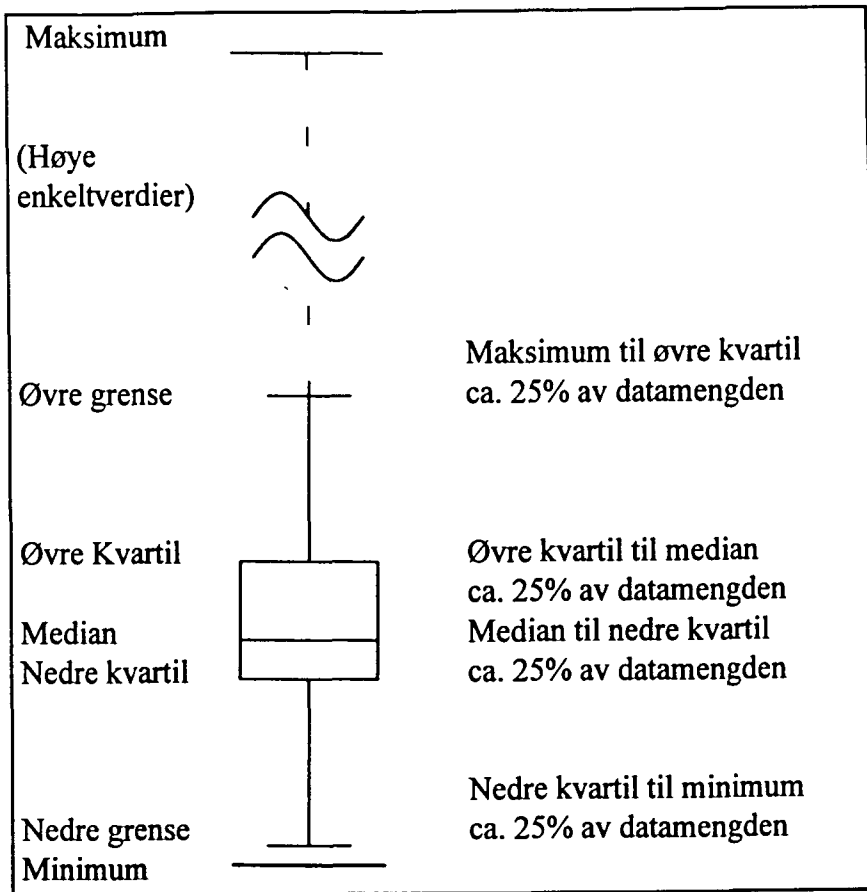
## 5.5 Datafremstilling

Resultatene er fremstilt på 3 ulike måter for å få frem ulike aspekter ved dataene. I figur 4a til 20a er boksplot benyttet for å vise statistisk fordeling etter kommune og bergart. I figur 4b til 20b er dataene presentert i kart der symbolene er relatert til Forskrift for vannforsyning og drikkevann m.m. (Sosial- og helsedepartementet, 1995) som gjelder for vann til drikkevann- og næringsmiddelformål. De samme resultatene er presentert i vedlegg 6 (figur 4c til 20c) med en geokjemisk statistisk vinkling. Resultatene er i hovedsak basert på det korrigerte datasettet for fjellbrønner (Fjell\_korr, n = 144). Datasettene for kommunene og bergartsgruppene er undersett av Fjell\_korr. Det totale datasettet for fjellbrønner (Fjell\_tot, n = 168) og det korrigerte datasettet for løsmassebrønner (Lasm\_korr, n = 2) er tatt med på boksplottene for sammenlikning. Alle analyseresultater lavere enn den analytiske deteksjonsgrensen er plottet som en verdi lik halve deteksjonsgrensen på alle kart og boksplot (dvs. <10 Bq/l er plottet som 5 Bq/l).

Leseren bør bruke disse resultatene forsiktig. Resultatene for mange kommuner/bergarter bygger på et noe spinkelt statistisk grunnlag, og bør derfor ikke brukes til å trekke generelle konklusjoner. Konsentrasjoner har ofte stor spredning; i de fleste bergarter vil det være mulig å bore både brønner som overskriper drikkevannsgrensene og brønner som tilfredsstiller dem.

### 5.5.1 Boksplot

Boksplot er en fremstillingsmåte som gir en rask oversikt over dataenes fordeling og sentrale statistiske parametere. Den egner seg derfor meget godt der en ønsker å sammenligne to eller flere datasett. For at et boksplot skal kunne lages og for at betydningsfulle medianverdier kan sammenlignes, kreves det minst 5 verdier i datasettet. For enkelte kommuner og bergarter er ikke dette kravet oppfylt, og dataene er da presentert som enkeltpunkter. I figur 3 neste side vises de viktigste parametrene som kan leses ut av et boksplot.



Figur 3: *Grafisk forklaring av boksplott*

**Medianen** er den midterste verdien i tallsettet, dvs at halvparten av verdiene er høyere og halvparten er lavere. Medianen angis ved en strek som deler selve boksen i to. Ved sammenlikning av data fra ulike kommuner, er medianen et bedre sammenlikningsgrunnlag enn f.eks høyeste enkeltmåling eller et gjennomsnitt av datasettet.

**Øvre kvartil** representerer den verdien i datasettet der 75 % av verdiene er lavere og 25% er høyere. Tilsvarende er 75 % av verdiene høyere og 25% av verdiene lavere enn **nedre kvartil**. Øvre og nedre kvartil fremstilles som henholdsvis toppen og bunnen av selve boksen. Boksen inneholder dermed de midtre 50% av datasettets verdier og størrelsen på boksen gir et bilde av spredningen i disse verdiene.

Strekene (kalt «whiskers» dvs. værhår) viser spredningen av dataene utenfor boksen. I geokjemiske data er det vanlig at noen få verdier er mye høyere (eller eventuelt mye lavere) enn de midterste 50%. I boksplott settes det en **øvre grense** for streken når verdien plottes lengre fra øvre kvartil enn 1,5 ganger boksens lengde. Høyere verdier plottes som enkle punkt og utelukkes av og til fra grafiske fremstillinger fordi de trekker ut skalaen og reduserer oppløsningen. Tilsvarende er **nedre grense** for streken satt 1,5 ganger boksens lengde fra nedre kvartil, og lavere verdier enn dette vil bli plottet som enkle punkt. Boksplott er nyttig til å avsløre asymmetri i datasettet og tilstedsvarelsen av verdier som ligger mye høyere eller mye lavere enn medianen.

## **6      RESULTATER**

### **6.1    Radon**

Ufra de innsamlede vannprøvene i Oslo og Akershus har Hurdal kommune den høyeste medianverdien for radon i drikkevannsbrønner i fjell på 318 Bq/l, mens Ullensaker kommune har den laveste medianverdien under deteksjonsgrensen på 10 Bq/l. Forskjellene skyldes at radon i grunnvann er betinget av bergart.

Brønner i bergartsgruppen 54 (dyp- og gangbergarter) har den høyeste mediankonsentrasjonen på 238 Bq/l. De laveste konsentrasjonene i fylket forekommer i bergartsgruppe 94 (gabbro, amfibolitt og ultramafiske bergarter). Her er det for få prøver til å beregne medianen, men gjennomsnittsverdien er 54 Bq/l. Medianverdien for hele datasettet (Fjell\_korr) er 110 Bq/l. Høyeste registrerte radoninnhold i grunnvann i fjell i fylket er fra bergartsgruppe 98 (gneis) i Nesodden kommune (5680 Bq/l).

5,9 % (8 av 144) av de undersøkte fjellbrønnene i fylket overskridt anbefalt tiltaksgrense på 500 Bq/l for radon. I bergartsgruppen 54 (permiske dyp- og gangbergarter) overskrides drikkevannsnormen for radon i 15,8 % (3 av 19) av de undersøkte brønnene.

I de to undersøkte løsmassebrønnene er radoninnholdet relativt lavt, hvilket er normalt for løsmassebrønner.

Figur 4a viser hvordan analyseresultatene fordeler seg statistisk i hver kommune og i forhold til bergart/brønntype. For en kort innføring i tolkning av boksplott-diagrammer vises det til avsnitt 5.5.1 og figur 3.

Figur 4b viser den geografiske fordelingen av analyseresultatene sett i forhold til myndighetenes anbefalte tiltaksgrense for radon på 500 Bq/l (Statens strålevern, 1995). I tillegg er det i nedre venstre hjørne av figuren vist et frekvensdiagram som gir et bilde av den prosentvise fordelingen av de ulike konsentrasjonene.

# AKERSHUS OG OSLO

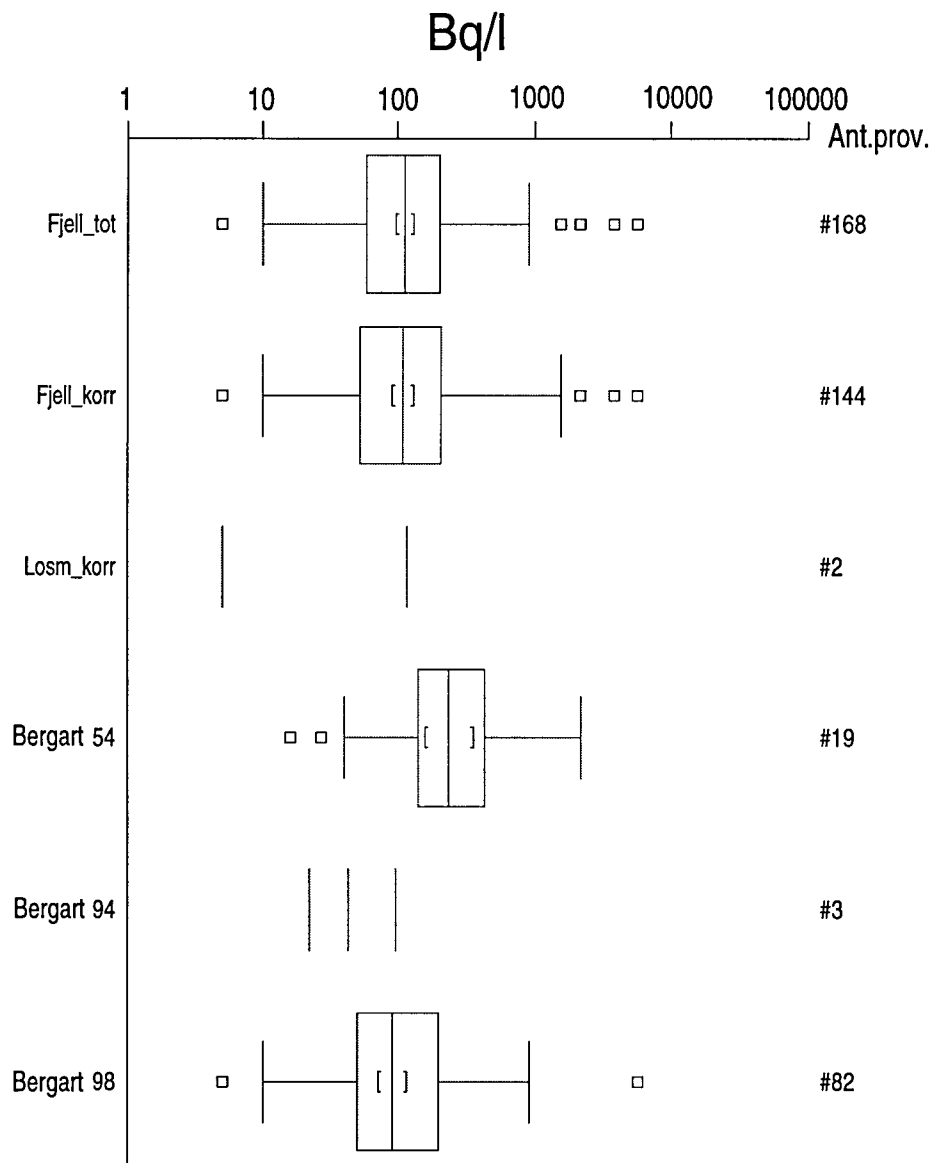
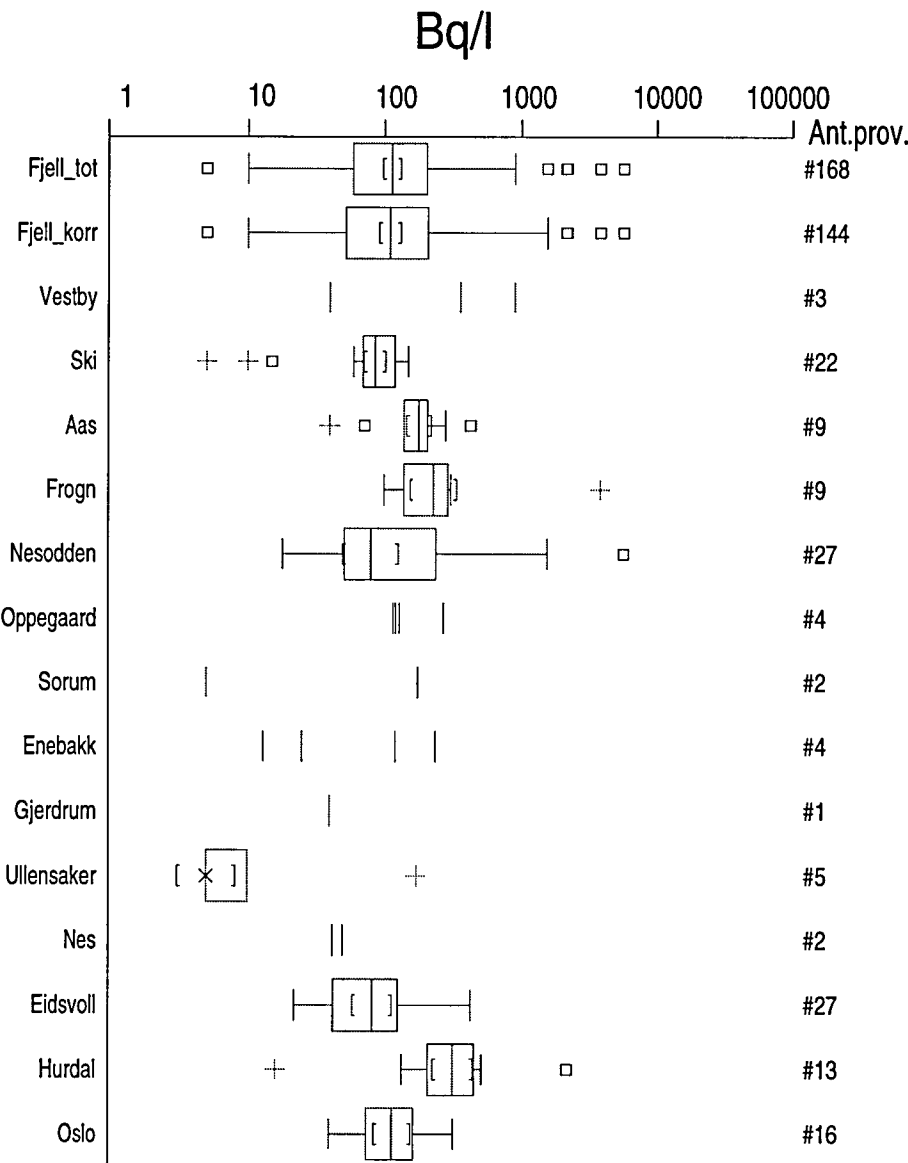
## Grunnvannskjemi i fjellbronner

# RADON

Figur 4a

### *Fordeling innen hver kommune*

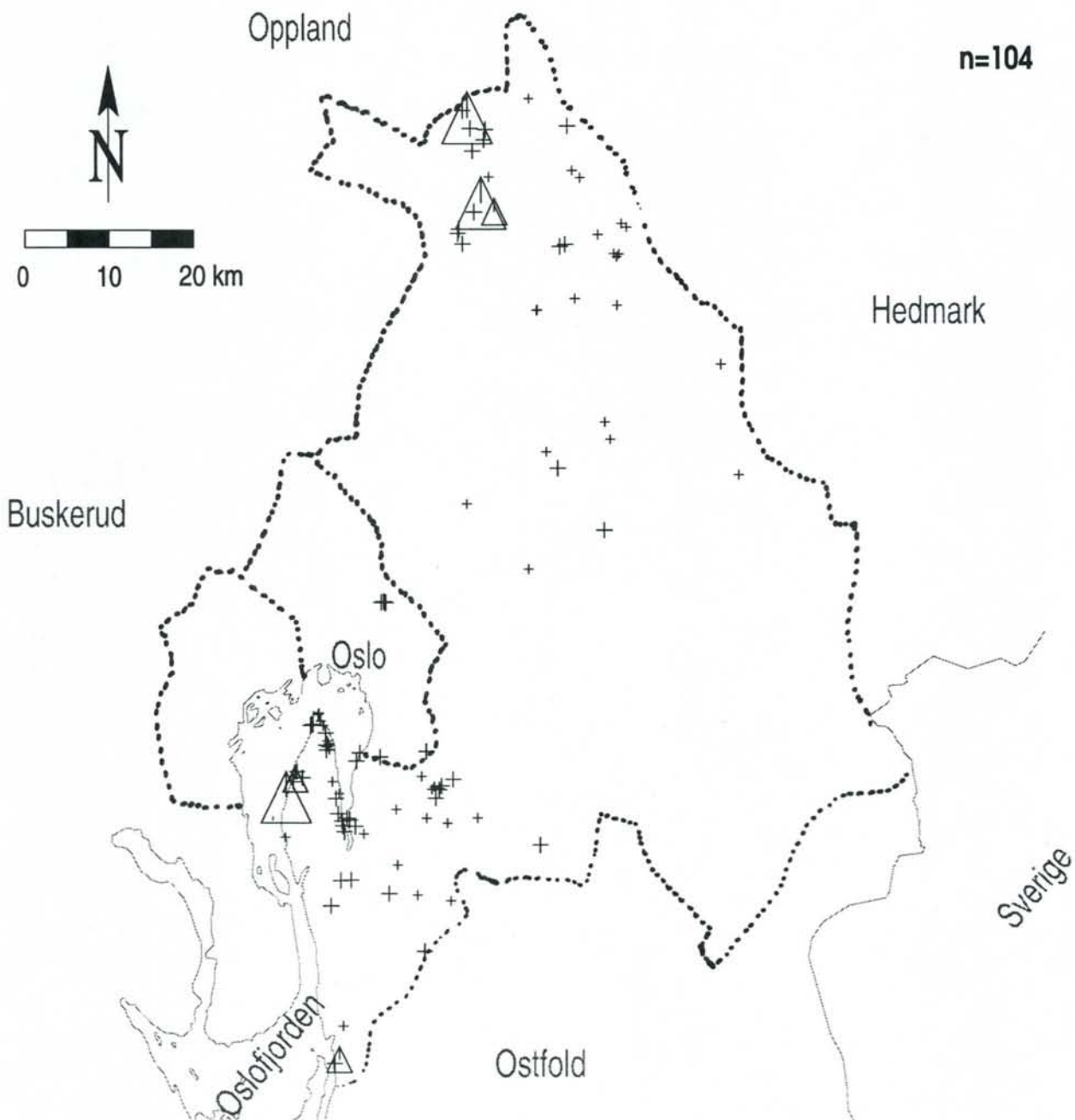
### *Fordeling i bergart og bronntype*



# AKERSHUS OG OSLO

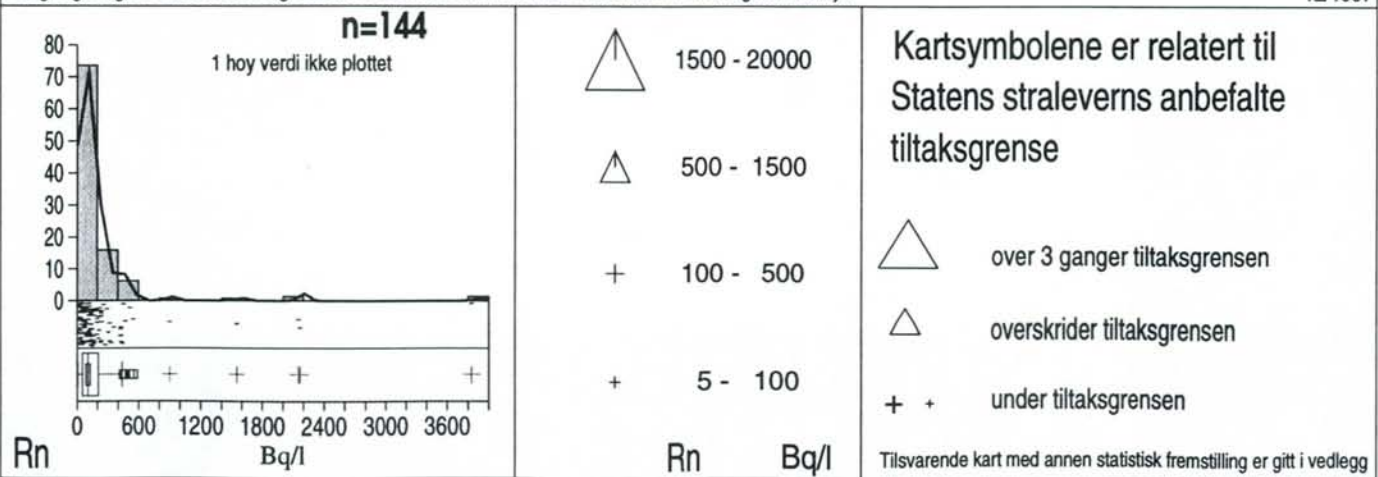
## Grunnvannskjemi i fjellbronner

# RADON



Norges geologiske undersøkelse og Statens stralevern i samarbeid med de kommunale næringsmiddeltilsyn

12/1997



## 6.2 Fluorid

Utfra de innsamlede vannprøvene i fylket har Hurdal kommune den høyeste medianverdien for fluorid i drikkevannsbrønner i fjell på 1,7 mg/l, mens Oslo kommune har den laveste medianverdien på 0,24 mg/l. Geografiske variasjoner i fluoridkonsentrasjonen gjenspeiler berggrunnsgeologi. Brønner i bergartsgruppe 54 (permiske dyp- og gangbergarter) har den høyeste mediankonsentrasjonen på 1,4 mg/l. De laveste konsentrasjonene finnes i områder som ligger på prekambriske grunnfjellsgneiser (bergartsgruppe 98). Her er medianen 0,18 mg/l

Medianverdien for hele datasettet (Fjell\_korr) er 0,24 mg/l. Høyeste registrerte fluorinnhold i grunnvann i fjell i fylket er fra Enebakk kommune (8,0 mg/l).

6,9 % (10 av 144) av de undersøkte fjellbrønnene i fylket overskridet drikkevannsnormen på 1,5 mg/l for fluorid. I bergartsgruppe 54 (permiske dyp- og gangbergarter) overskrides drikkevannsnormen for fluorid i 36,8 % (7 av 19) av de undersøkte brønnene.

I de 2 undersøkte løsmassebrønnene er fluoridinnholdet lavt, hvilket er normalt for løsmassebrønner.

Figur 5a viser hvordan analyseresultatene fordeler seg statistisk i hver kommune og i forhold til bergart/brønntype. For en kort innføring i tolkning av boksplott-diagrammer vises det til avsnitt 5.5.1 og figur 3.

Figur 5b viser den geografiske fordelingen av analyseresultatene sett i forhold til myndighetenes kvalitetskrav til drikkevann (Sosial- og helsedepartementet, 1995). I tillegg er det i nedre venstre hjørne av figuren vist et frekvensdiagram som gir et bilde av den prosentvise fordelingen av de ulike konsentrasjonene.

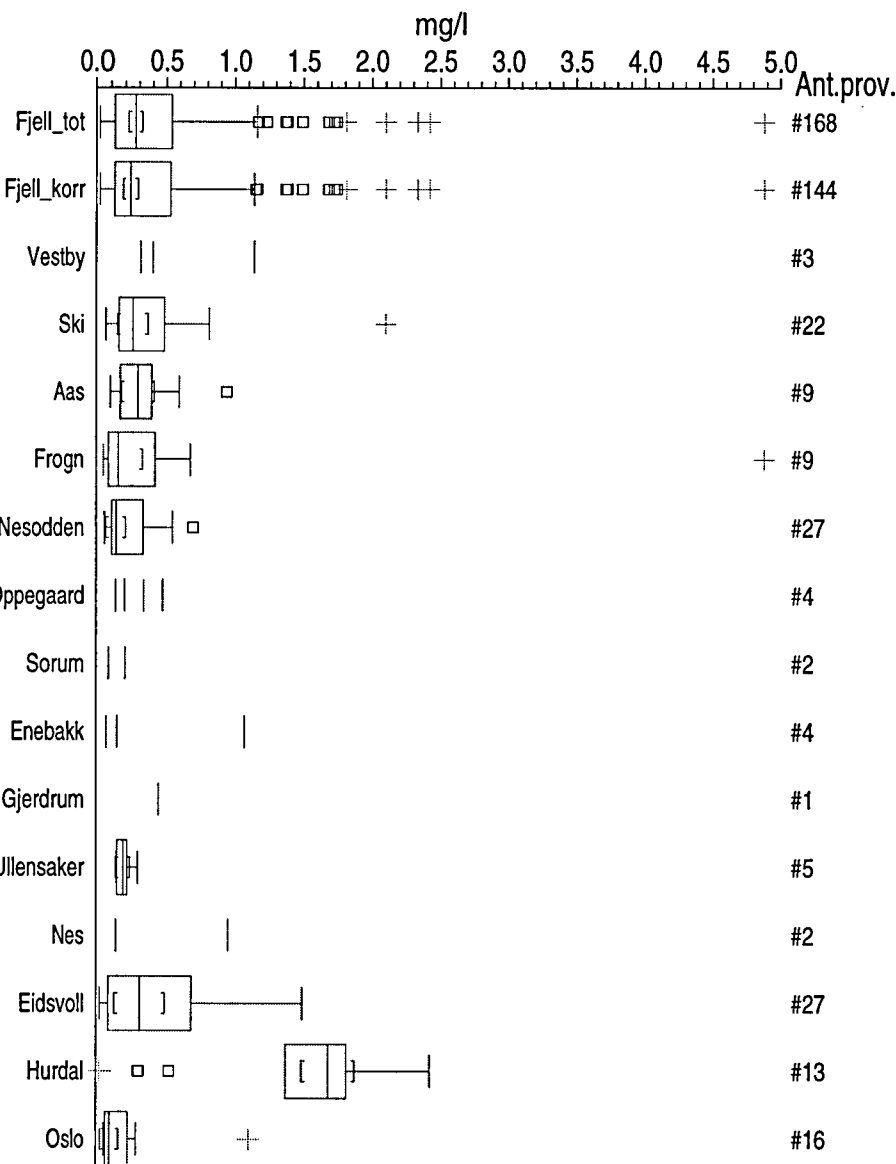
# AKERSHUS OG OSLO

## Grunnvannskjemi i fjellbronner

## FLUORID

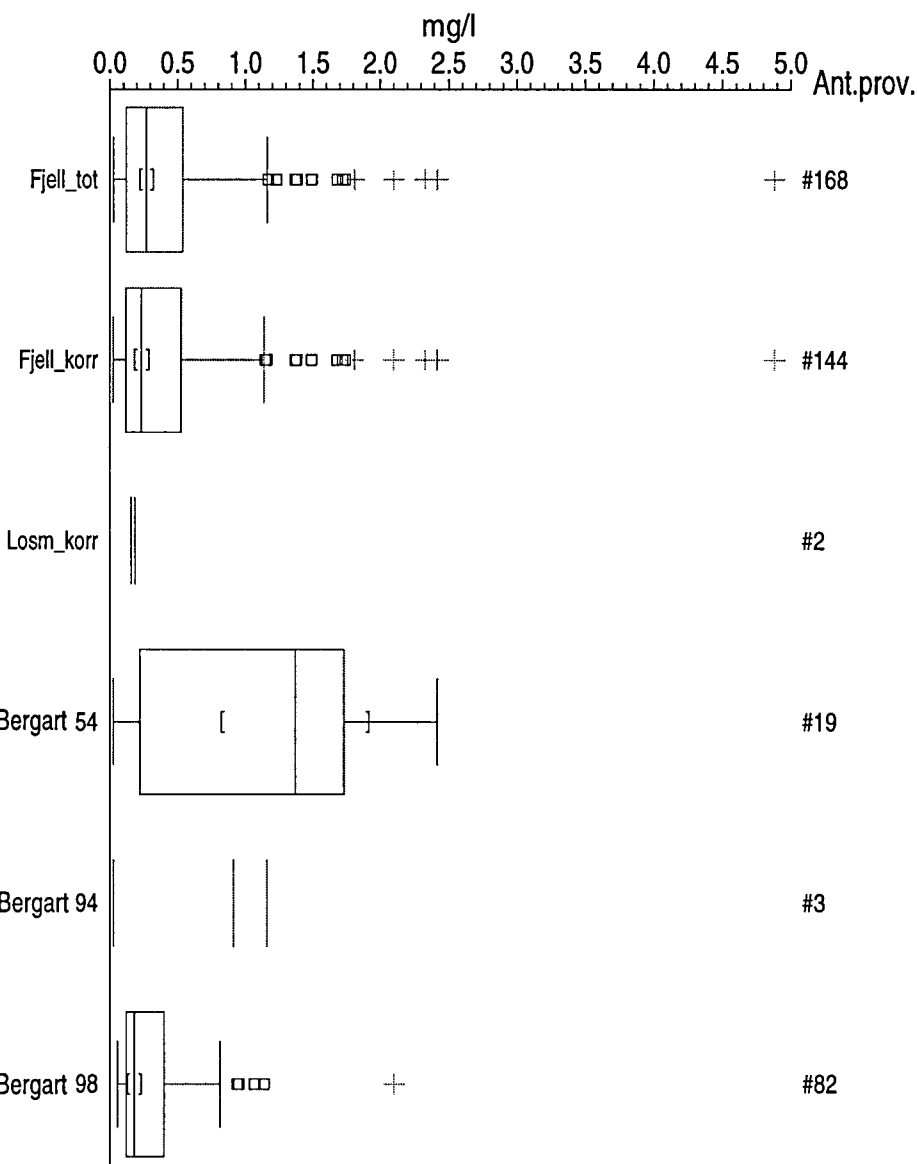
Figur 5a

### Fordeling innen hver kommune



2 høye verdier fra Enebakk og Hurdal er ikke plottet

### Fordeling i bergart og bronntype

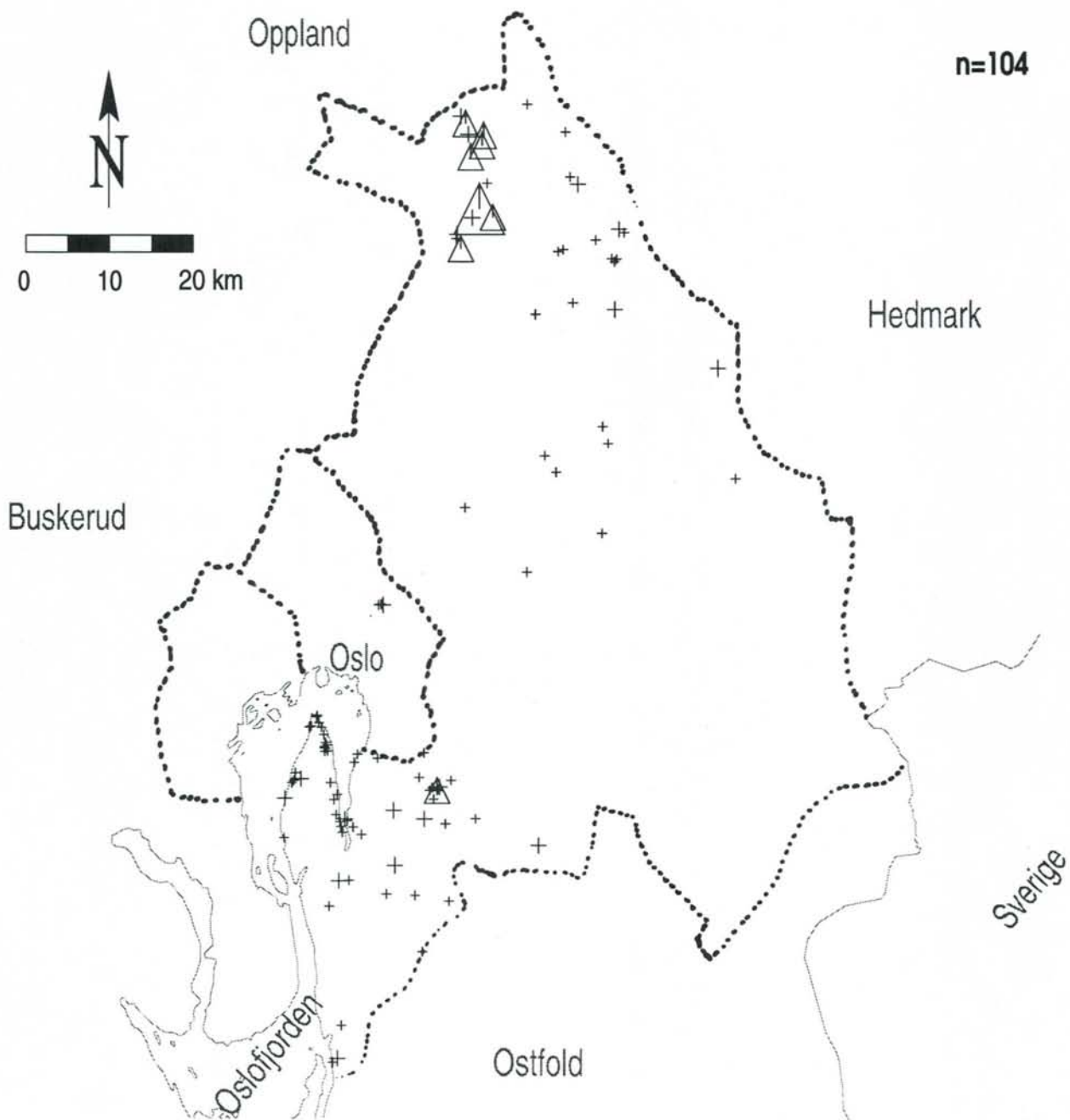


2 høye verdier fra hhv. Bergart 54 og 98 er ikke plottet

# AKERSHUS OG OSLO

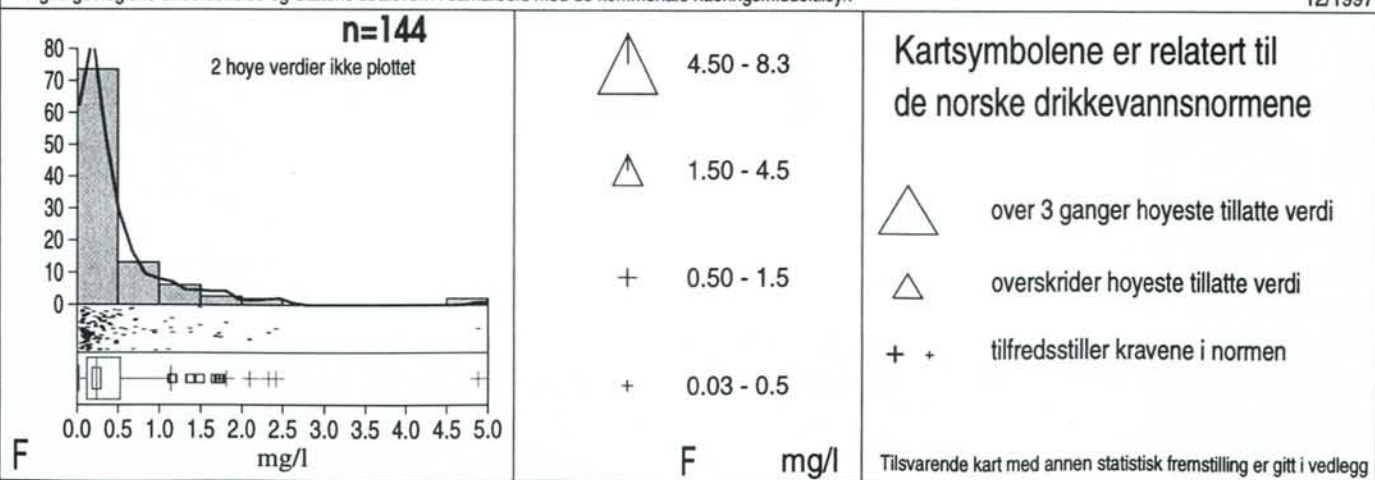
## Grunnvannskjemi i fjellbronner

# FLUORID



Norges geologiske undersøkelse og Statens stralevern i samarbeid med de kommunale næringsmiddeltilsyn

12/1997



### 6.3 Natrium

Uftra de innsamlede vannprøvene i fylket har Ås kommune den høyeste medianverdien for natrium i drikkevannsbrønner i fjell på 77,7 mg/l, mens Eidsvoll kommune har den laveste medianverdien på 4,9 mg/l. Forhøyede natriumkonsentrasjoner i grunnvann kan skyldes sjøvannspåvirkning eller at området tidligere har ligget under havnivå. Dette illustreres godt i figur 6c i vedlegg 6, der natriumkonsentrasjonen tydelig avtar med økende avstand fra kysten. Natrium kan også stamme fra berggrunnen.

Brønner i bergartsgruppe 98 (prekambrisisk gneis og migmatitt) har den høyeste mediankonsentrasjonen på 11,5 mg/l.. Medianverdien for hele datasettet (Fjell\_korr) er 9,9 mg/l. Høyeste registrerte natriuminnhold i grunnvann i fjell i fylket er fra Ås kommune (382 mg/l).

22,9 % (33 av 144) av de undersøkte fjellbrønnene i Oslo og Akershus overskridt veilederverdi på 20 mg/l for natrium i drikkevann. Kun en brønn (0,7 %) overskridt den største tillatte konsentrasjonen på 150 mg/l.

Figur 6a viser hvordan analyseresultatene fordeler seg statistisk i hver kommune og i forhold til bergart/brønntype. For en kort innføring i tolkning av boksplott-diagrammer vises det til avsnitt 5.5.1 og figur 3.

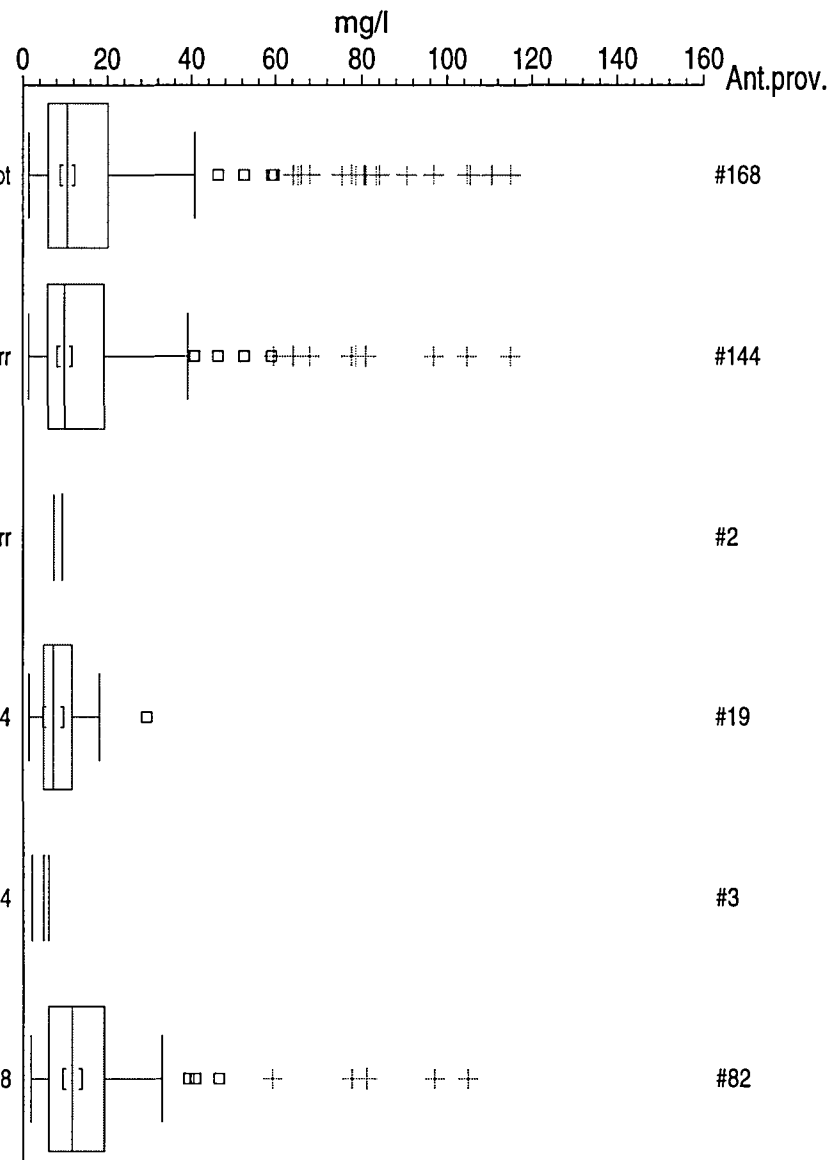
Figur 6b viser den geografiske fordelingen av analyseresultatene sett i forhold til myndighetenes kvalitetskrav til drikkevann (Sosial- og helsedepartementet, 1995). I tillegg er det i nedre venstre hjørne av figuren vist et frekvensdiagram som gir et bilde av den prosentvise fordelingen av de ulike konsentrasjonene.

# AKERSHUS OG OSLO

## NATRIUM

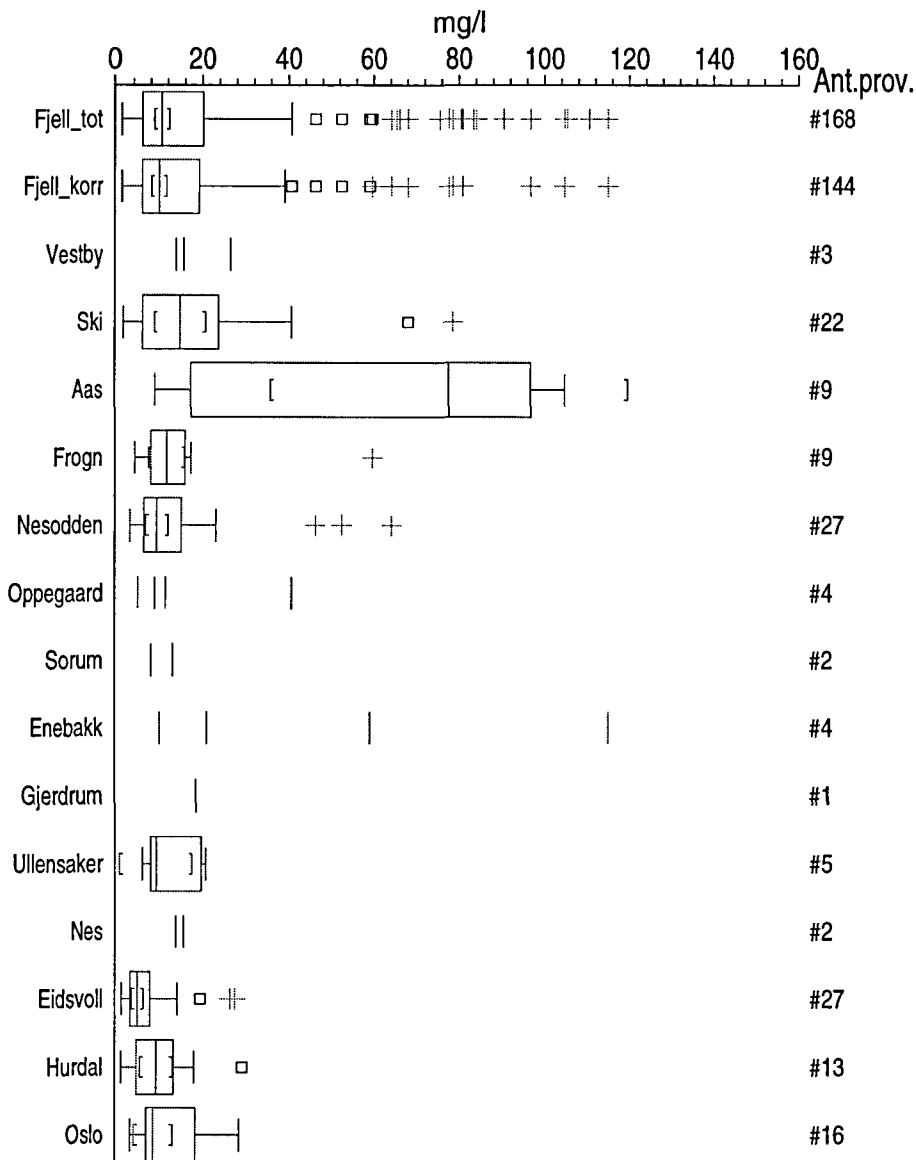
Figur 6a

### Fordeling innen hver kommune



1 hoy verdi fra Bergart 98 er ikke plottet (382 mg/l)

### Fordeling i bergart og bronntype

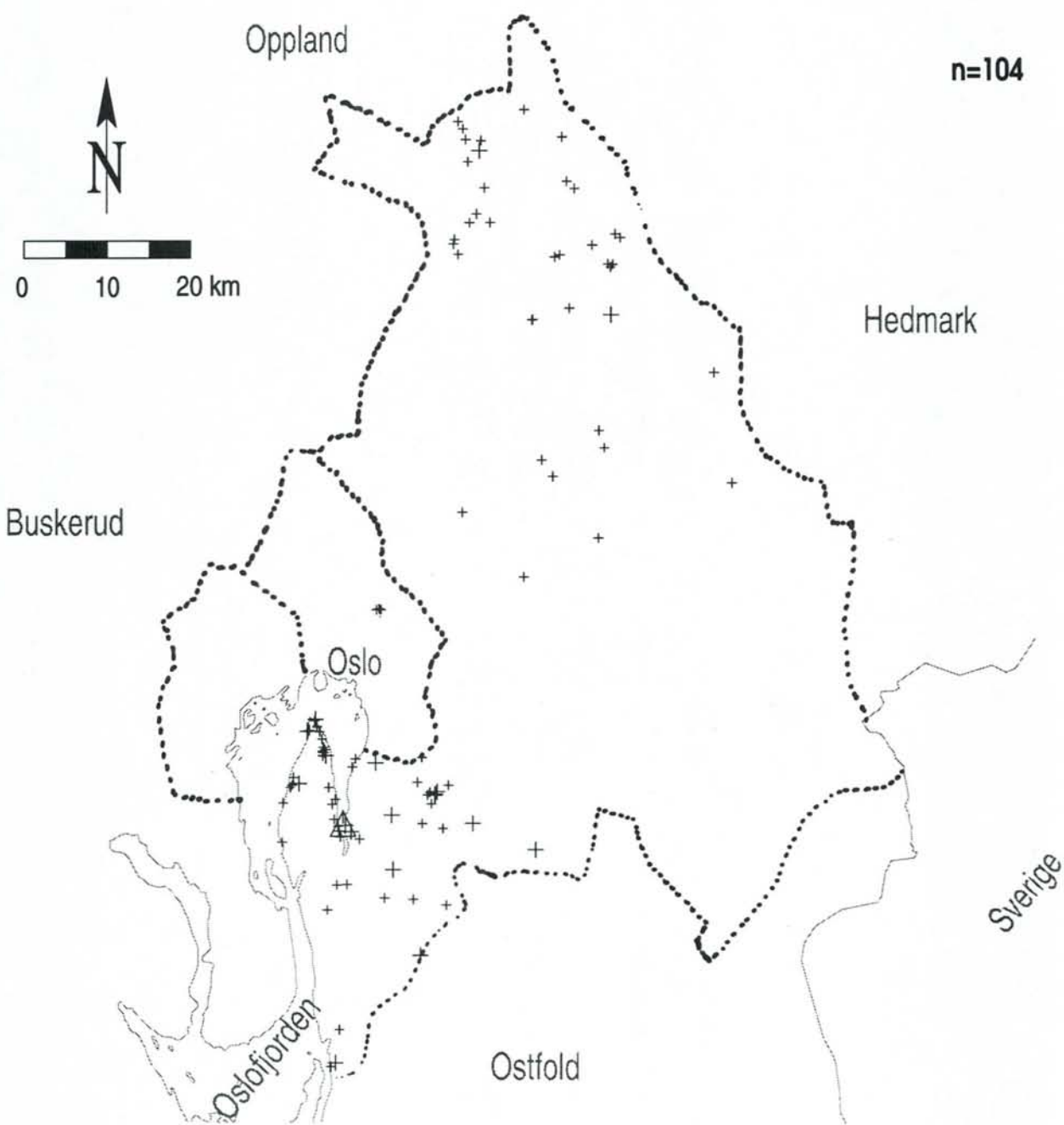


1 hoy verdi fra Aas er ikke plottet (382 mg/l)

# AKERSHUS OG OSLO

## Grunnvannskjemi i fjellbronner

# NATRIUM

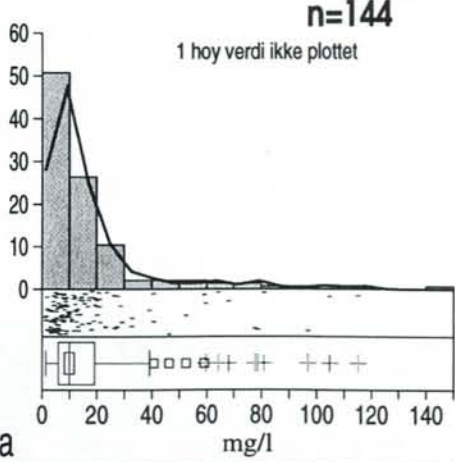


Norges geologiske undersøkelse og Statens stralevern i samarbeid med de kommunale næringsmiddeltilsyn

12/1997

n=144

1 hoy verdi ikke plottet



450.0 - 3200



150.0 - 450



20.0 - 150



0.7 - 20

Na

Na

mg/l

Kartsymbolene er relatert til  
de norske drikkevannsnormene



over 3 ganger høyeste tillatte verdi



overskridet høyeste tillatte verdi



overskridt ikke høyeste tillatte verdi



tilfredsstiller strengeste krav i normen

Tilsvarande kart med annen statistisk fremstilling er gitt i vedlegg

## 6.4 Klorid

Utfra de innsamlede vannprøvene i Oslo og Akershus har Ås kommune den høyeste medianverdien for klorid i drikkevannsbrønner i fjell på 21,2 mg/l, mens Eidsvoll kommune har den laveste medianverdien på 2,7 mg/l. Forhøyede kloridkonsentrasjoner i grunnvann skyldes sjøvannspåvirkning direkte eller gjennom nedbør eller at området tidligere har ligget under havnivå. Kloridinnholdet i grunnvannet vil derfor vanligvis avta med økende avstand fra kysten, slik som vist i figur 7c i vedlegg 6. Høyeste registrerte kloridinnhold i grunnvann i fjell i fylket er fra Ås kommune (637 mg/l) og skyldes trolig infiltrasjon av sjøvann i brønnen. Den samme brønnen hadde også høyeste natriumverdi på 382 mg/l, noe som stemmer godt med Na/Cl-forholdet i sjøvann.

Medianverdien for hele datasettet (Fjell\_korr) er 9,59 mg/l. Det er ikke satt noen høyeste tillatte konsentrasjon for klorid i drikkevannsnormen, men veilederende verdi er 25 mg/l. 16,7 % av de undersøkte fjellbrønnene i fylket har mer enn 25 mg/l klorid.

Figur 7a viser hvordan analyseresultatene fordeler seg statistisk i hver kommune og i forhold til bergart/brønntype. For en kort innføring i tolkning av boksplot-diagrammer vises det til avsnitt 5.5.1 og figur 3.

Figur 7b viser den geografiske fordelingen av analyseresultatene sett i forhold til myndighetenes kvalitetskrav til drikkevann (Sosial- og helsedepartementet, 1995). I tillegg er det i nedre venstre hjørne av figuren vist et frekvensdiagram som gir et bilde av den prosentvise fordelingen av de ulike konsentrasjonene.

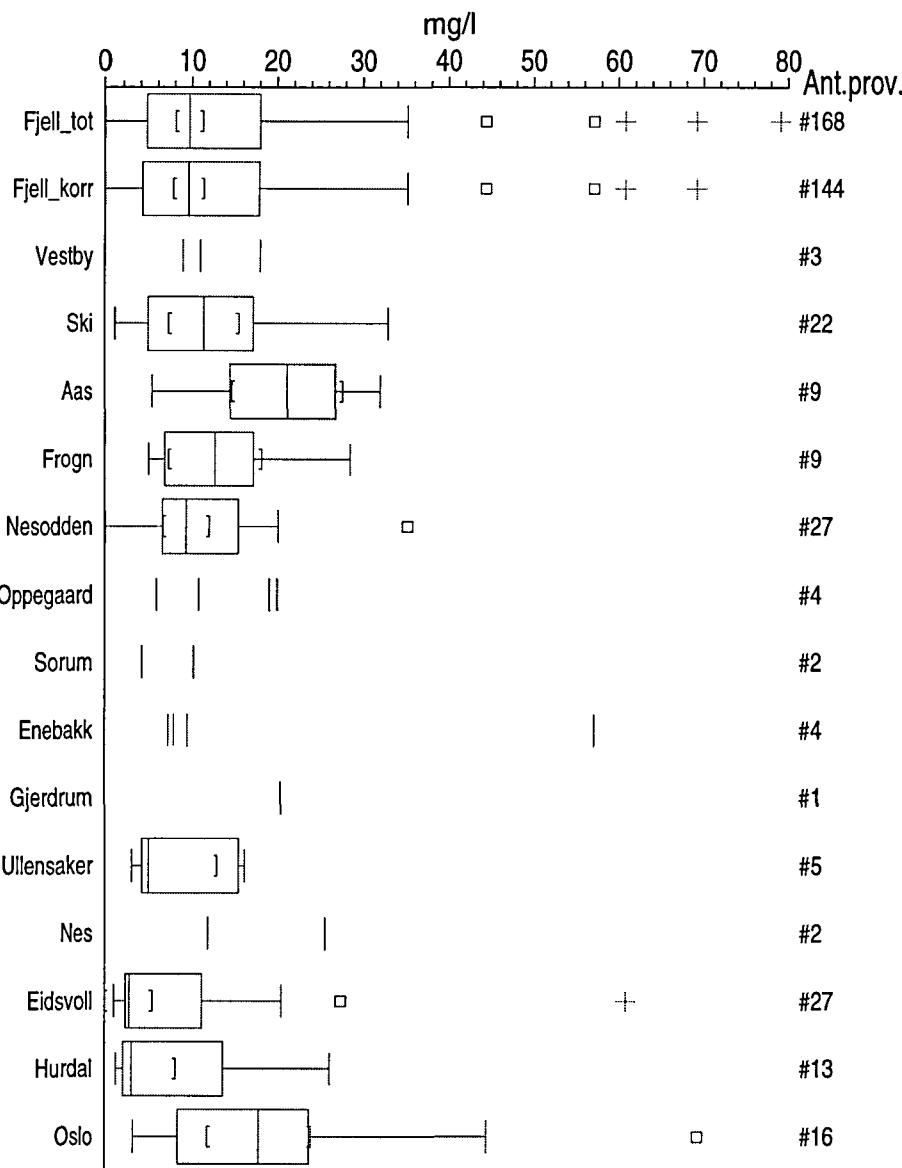
# AKERSHUS OG OSLO

## Grunnvannskjemi i fjellbronner

# KLORID

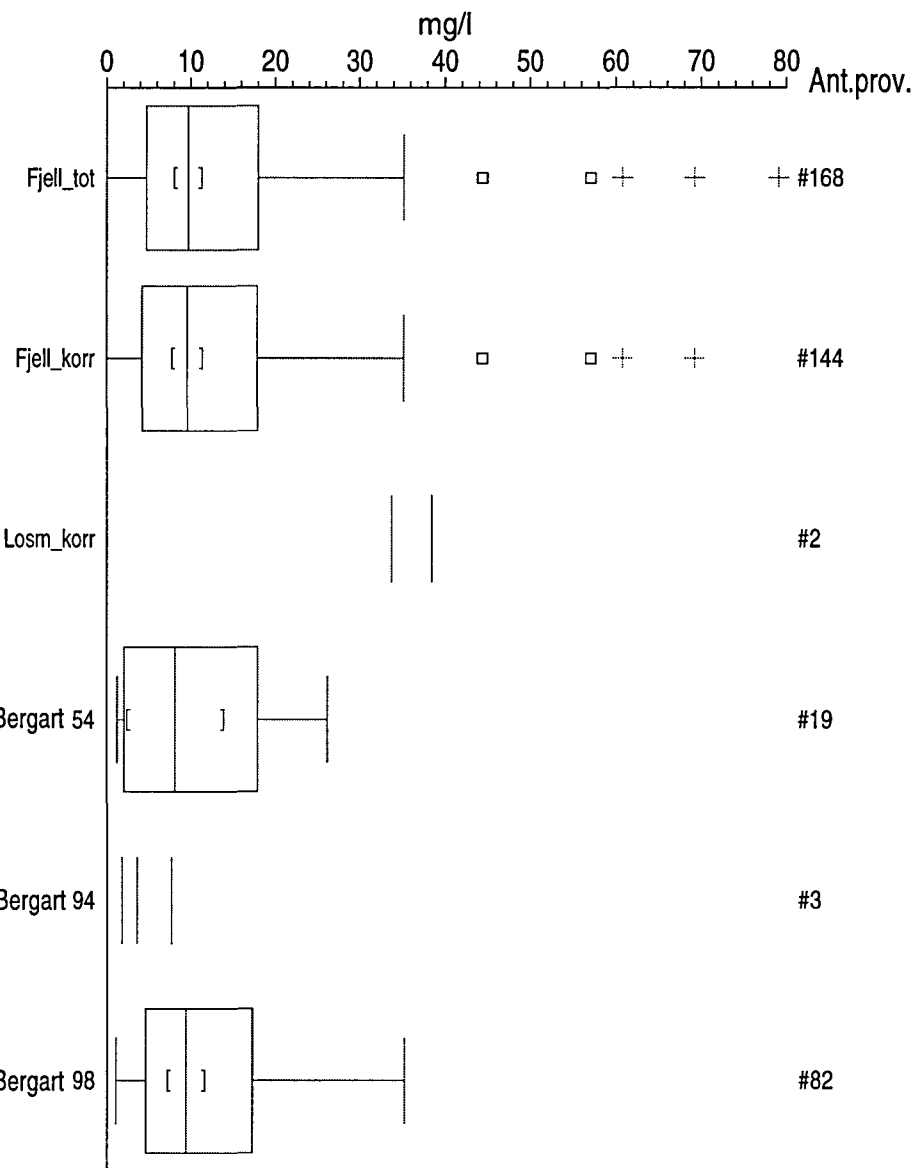
Figur 7a

### For deling innen hver kommune



1 hoy verdi fra Aas er ikke plottet (637 mg/l)

### For deling i bergart og bronntype



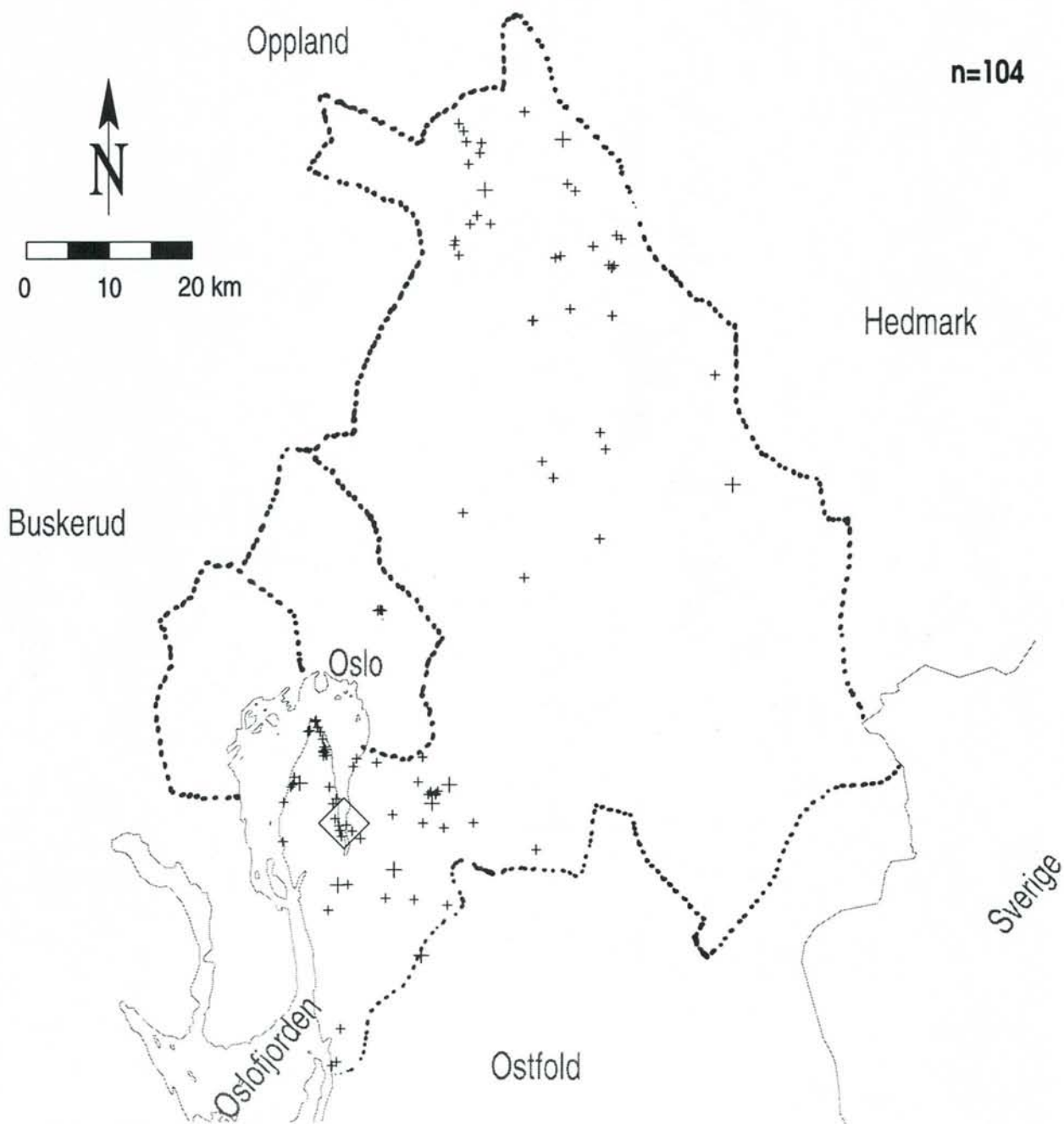
1 hoy verdi fra Bergart 98 er ikke plottet (637 mg/l)

Figur 7b

# AKERSHUS OG OSLO

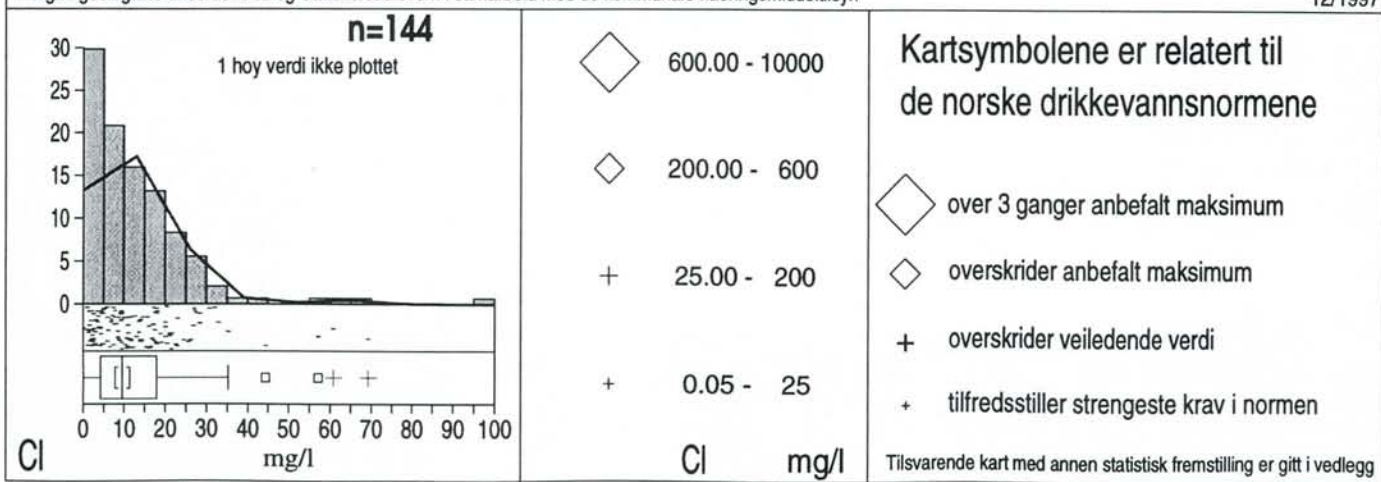
## Grunnvannskjemi i fjellbronner

# KLORID



Norges geologiske undersøkelse og Statens strålevern i samarbeid med de kommunale næringsmiddeltilsyn

12/1997



## 6.5 pH

Medianverdien for hele datasettet (Fjell\_korr) er 7,9. De laveste pH-verdiene kommer fra bergartsgruppe 54 (permiske dyp- og gangbergarter), men med eksisterende datagrunnlag kan man kun identifisere få statistisk signifikante forskjeller mellom medianverdier for bergartsgrupper eller kommuner. Den laveste målte verdien på 6,3 er fra Hurdal kommune, og den høyeste målte på 8,6 er fra Enebakk. pH øker, dvs vannet blir mindre surt, når grunnstoffer løses ut i bergarten, og pH er derfor bl.a. avhengig av bergartens motstandsdyktighet mot forvitring og av grunnvannets oppholdstid.

Bare 2,7 % (4 av 144) av de undersøkte fjellbrønnene i fylket har pH som er utenfor laveste eller høyeste tillatte verdi på henholdsvis 6,5 og 8,5. Imidlertid er 19,4% (28 av 144) utenfor det veiledende pH-intervall på 7,5-8,5.

Figur 8a viser hvordan analyseresultatene fordeler seg statistisk i hver kommune og i forhold til bergart/brønntype. For en kort innføring i tolkning av boksplott-diagrammer vises det til avsnitt 5.5.1 og figur 3.

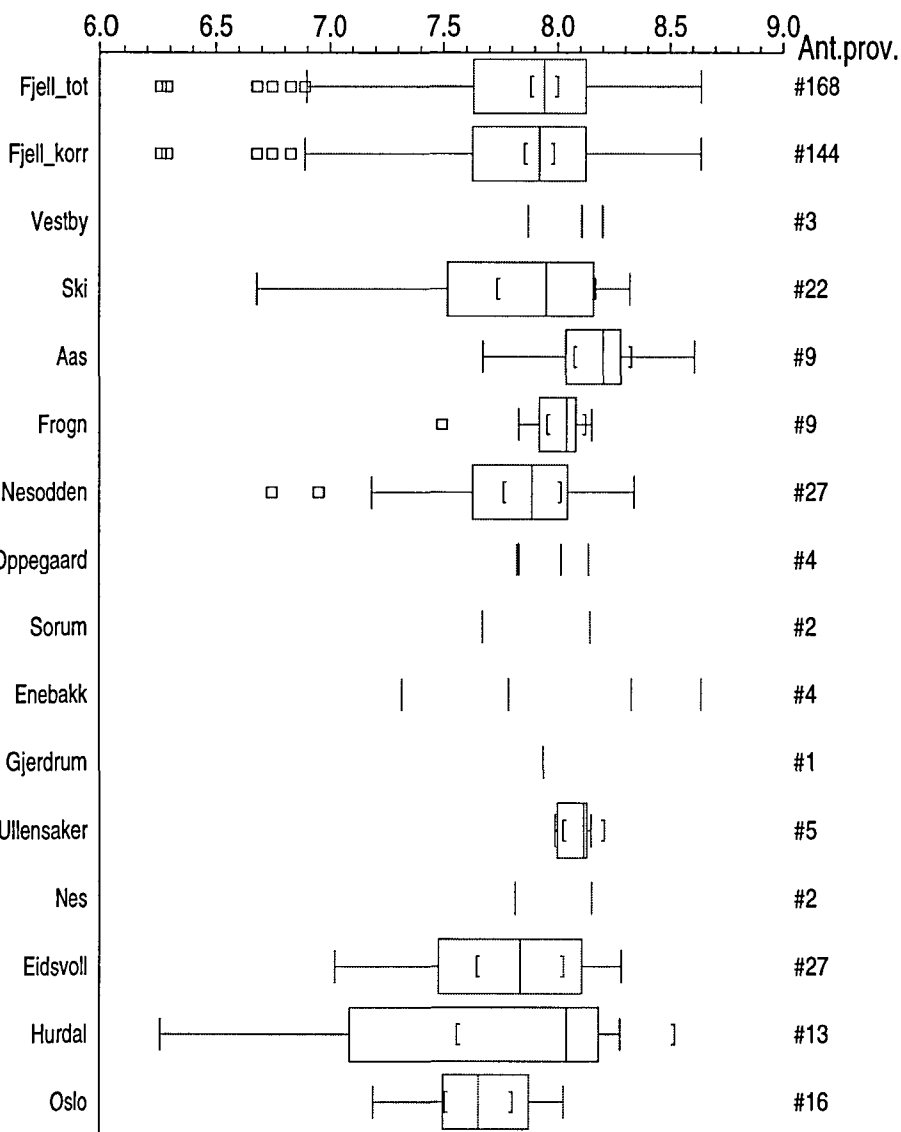
Figur 8b viser den geografiske fordelingen av analyseresultatene sett i forhold til myndighetenes kvalitetskrav til drikkevann (Sosial- og helsedepartementet, 1995). I tillegg er det i nedre venstre hjørne av figuren vist et frekvensdiagram som gir et bilde av den prosentvise fordelingen av de ulike pH-nivåene.

# AKERSHUS OG OSLO

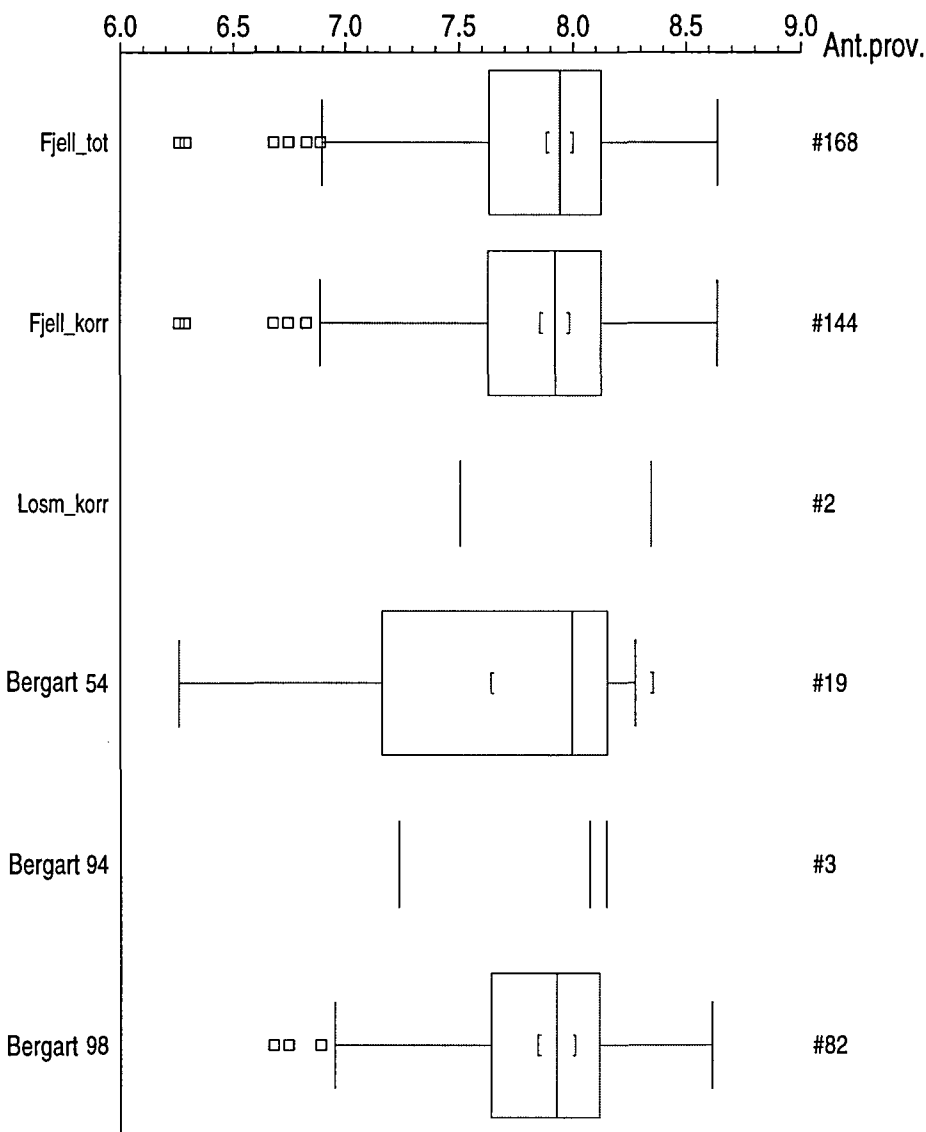
## Grunnvannskjemi i fjellbrønner

pH

### Fordeling innen hver kommune



### Fordeling i bergart og bronntype



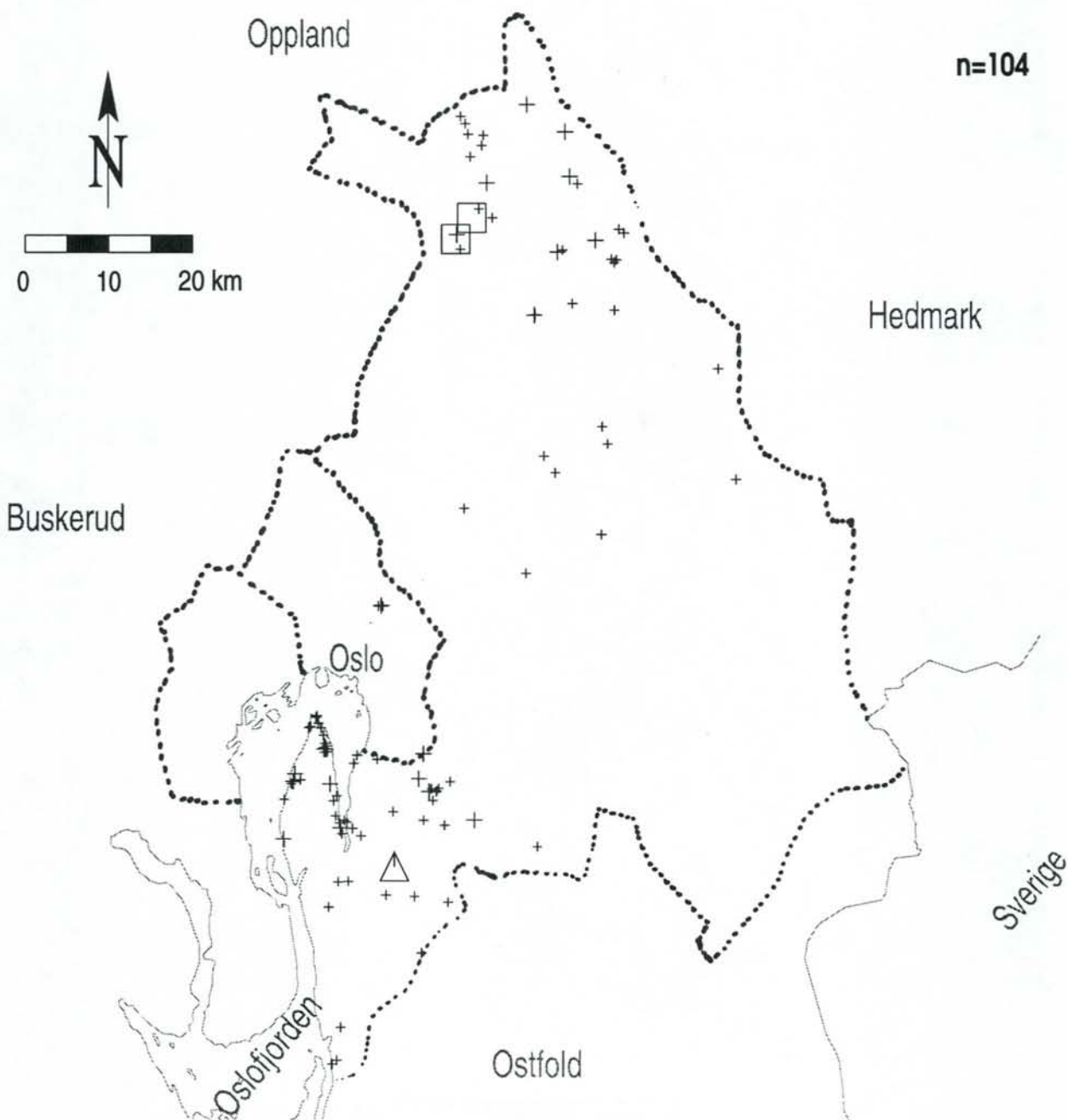
Figur 8a

Figur 8b

# AKERSHUS OG OSLO

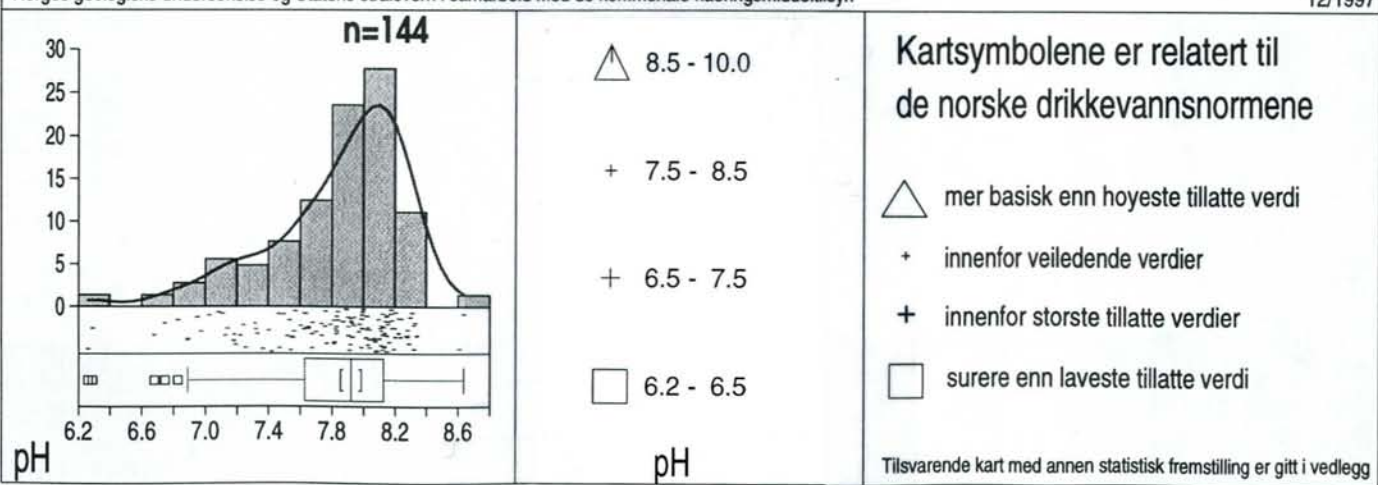
## Grunnvannskjemi i fjellbronner

pH



Norges geologiske undersøkelse og Statens stralevern i samarbeid med de kommunale næringsmiddeltilsyn

12/1997



## 6.6 Kalsium

Medianverdien for hele datasettet (Fjell\_korr) er 36,2 mg/l. Høyeste registrerte kalsiuminnhold i grunnvann i fjell i Akershus og Oslo er fra prekambrisisk gneis og migmatitt (bergartsgruppe 98) i Frogn kommune (77,6 mg/l). Laveste verdi er 0,23 mg/l fra samme bergart i Ås kommune. Med eksisterende datagrunnlag kan man ikke identifisere noen signifikante forskjeller mellom bergartsgruppene.

Frogn kommune har den høyeste medianverdien for kalsium i drikkevannsbrønner i fjell på 57,8 mg/l. I Frogn og i Ullensaker kommuner ligger kalsiuminnholdet i samtlige undersøkte brønner over høyeste verdi for drikkevannsnormen. Ski kommune har den laveste medianverdien på 29,2 mg/l. De 4 prøvene fra Enebakk kommune ligger generelt lavere, men medianverdi beregnes ikke for færre enn 5 prøver. Geografiske variasjoner i kalsiumkonsentrasjon i grunnvann er betinget av bergart og/eller av mineraler på sprekkeflatene.

86 % (124 av 144) av de undersøkte fjellbrønnene i fylket er utenfor veiledede drikkevannsnorm for kalsium som anbefaler at konsentrasjonen skal være mellom 15 og 25 mg/l. De fleste brønnene (108 av 144) ligger over anbefalt verdi.

Figur 9a viser hvordan analyseresultatene fordeler seg statistisk i hver kommune og i forhold til bergart/brønntype. For en kort innføring i tolkning av boksplott-diagrammer vises det til avsnitt 5.5.1 og figur 3.

Figur 9b viser den geografiske fordelingen av analyseresultatene sett i forhold til myndighetenes kvalitetskrav til drikkevann (Sosial- og helsedepartementet, 1995). I tillegg er det i nedre venstre hjørne av figuren vist et frekvensdiagram som gir et bilde av den prosentvise fordelingen av de ulike konsentrasjonene.

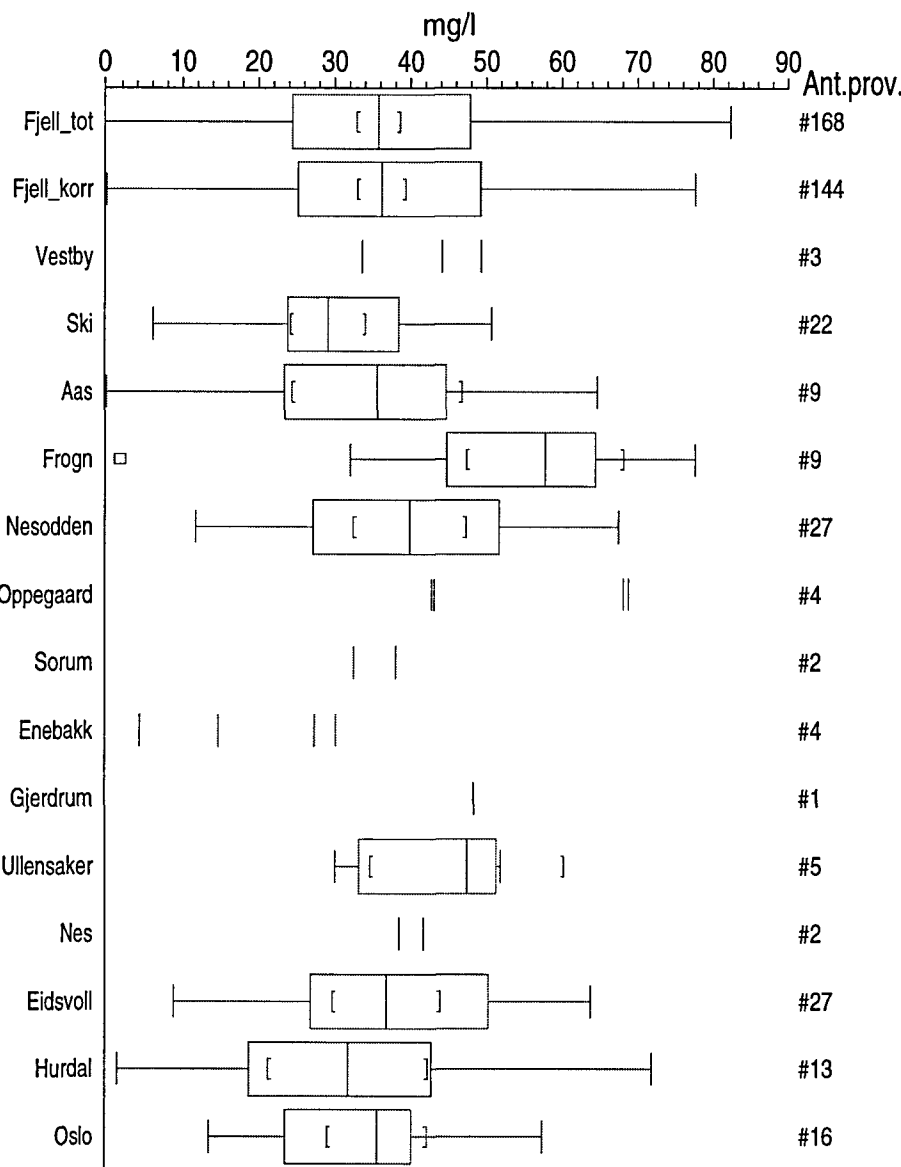
# AKERSHUS OG OSLO

## Grunnvannskjemi i fjellbronner

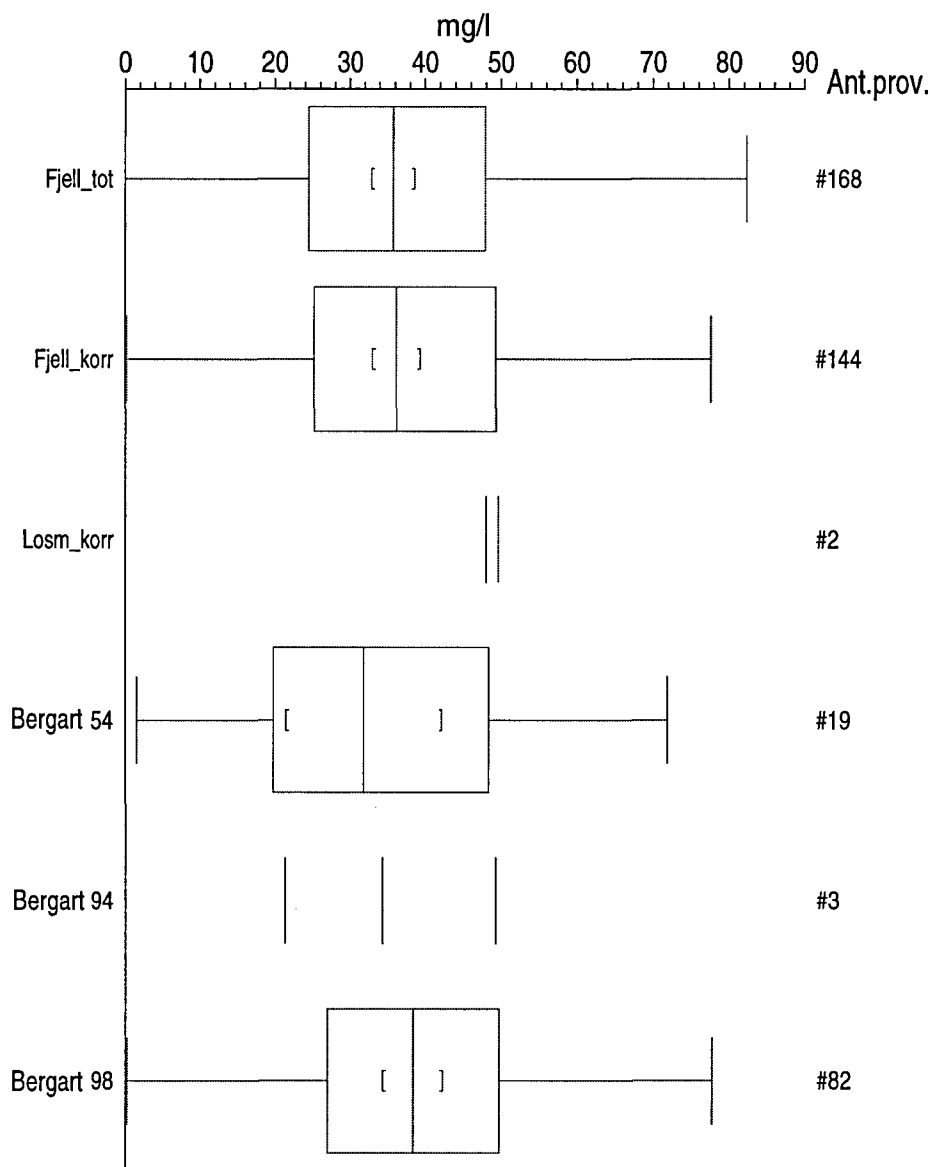
# KALSIUM

Figur 9a

### Fordeeling innen hver kommune



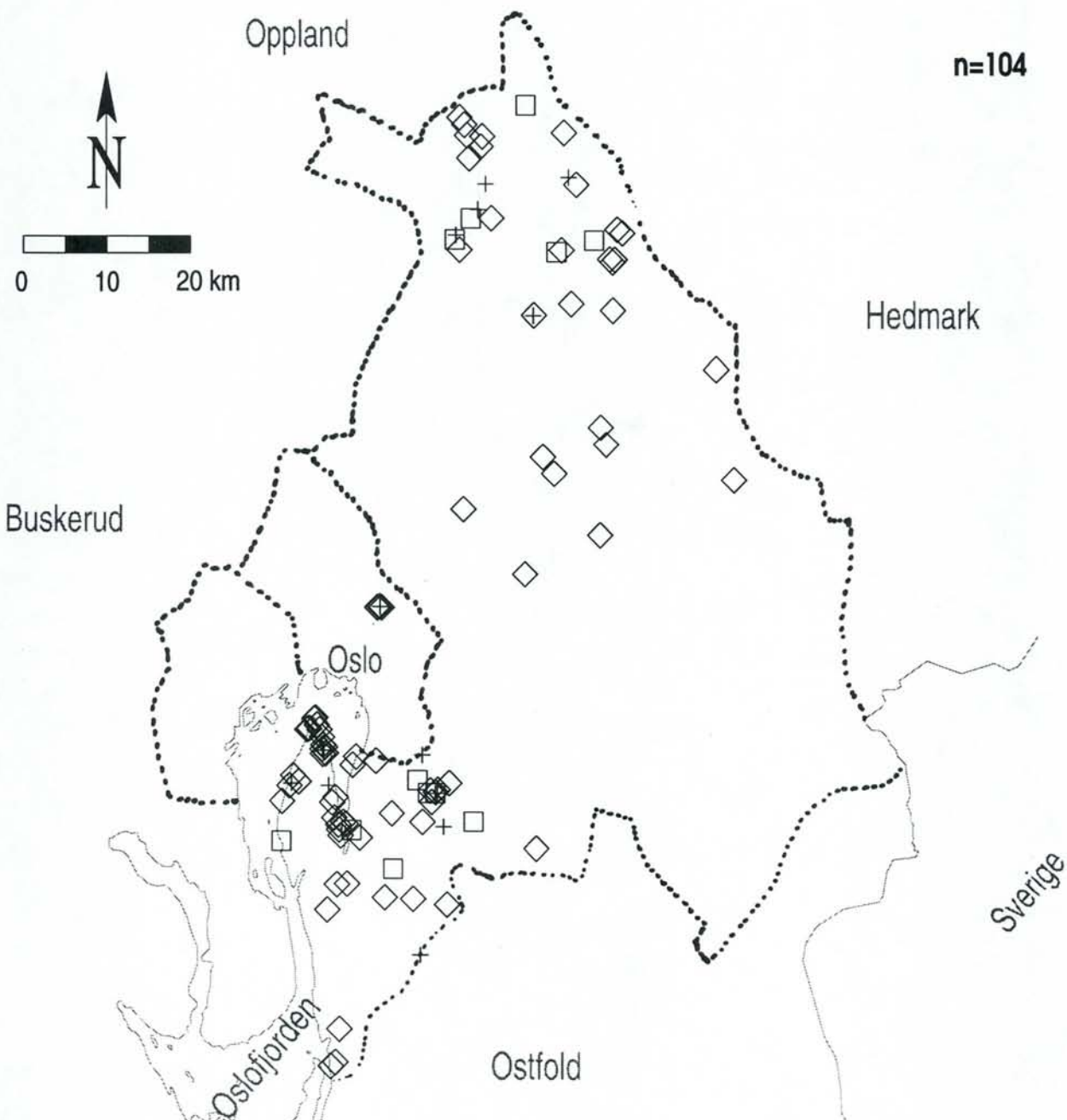
### Fordeeling i bergart og bronntype



# AKERSHUS OG OSLO

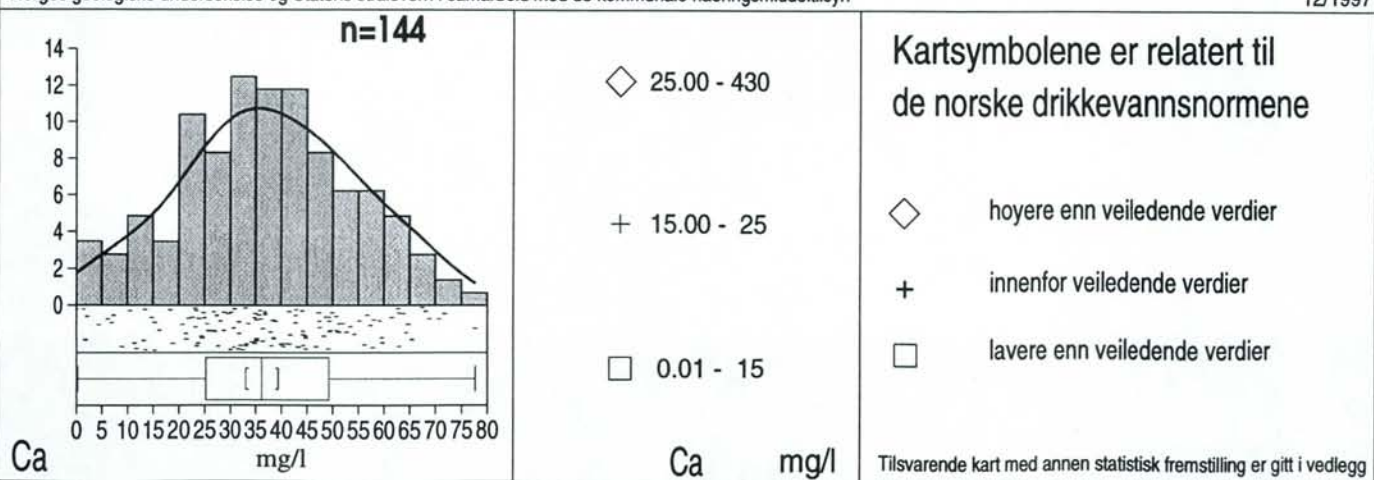
## Grunnvannskjemi i fjellbronner

# KALSIUM



Norges geologiske undersøkelse og Statens stralevern i samarbeid med de kommunale næringsmiddeltilsyn

12/1997



## 6.7 Magnesium

Medianverdien for hele datasettet (Fjell\_korr) er 4,4 mg/l. Høyeste registrerte magnesiuminnhold i grunnvann i fjell i Oslo og Akershus er fra bergartsgruppe 98 (prekambrisisk gneis og migmatitt) i Ski kommune (23,1 mg/l). Laveste verdi er 0,06 mg/l fra samme bergartsgruppe i Ås kommune. På grunnlag av det foreliggende datasettet kan man ikke påvise noen signifikante forskjeller mellom bergartsgruppene.

Ullensaker kommune har høyeste medianverdi på 10,0 mg/l, mens Eidsvoll kommune har lavest medianverdi på 3,5 mg/l.

1,4 % (2 av 144) av de undersøkte fjellbrønnene i Akershus og Oslo overskridet drikkevannsnormen for magnesium på 20 mg/l.

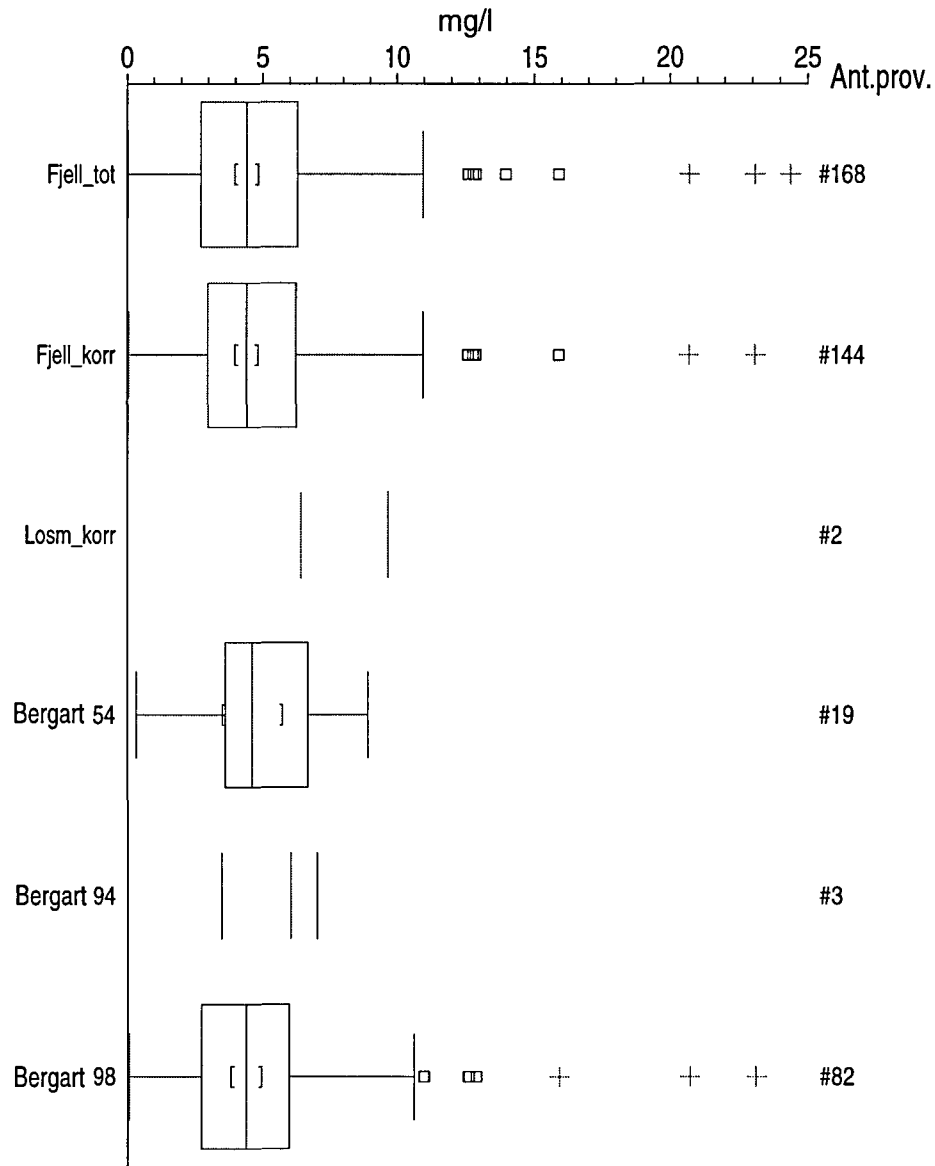
Figur 10a viser hvordan analyseresultatene fordeler seg statistisk i hver kommune og i forhold til bergart/brønntype. For en kort innføring i tolkning av bokspill-diagrammer vises det til avsnitt 5.5.1 og figur 3.

Figur 10b viser den geografiske fordelingen av analyseresultatene sett i forhold til myndighetenes kvalitetskrav til drikkevann (Sosial- og helsedepartementet, 1995). I tillegg er det i nedre venstre hjørne av figuren vist et frekvensdiagram som gir et bilde av den prosentvise fordelingen av de ulike konsentrasjonene.

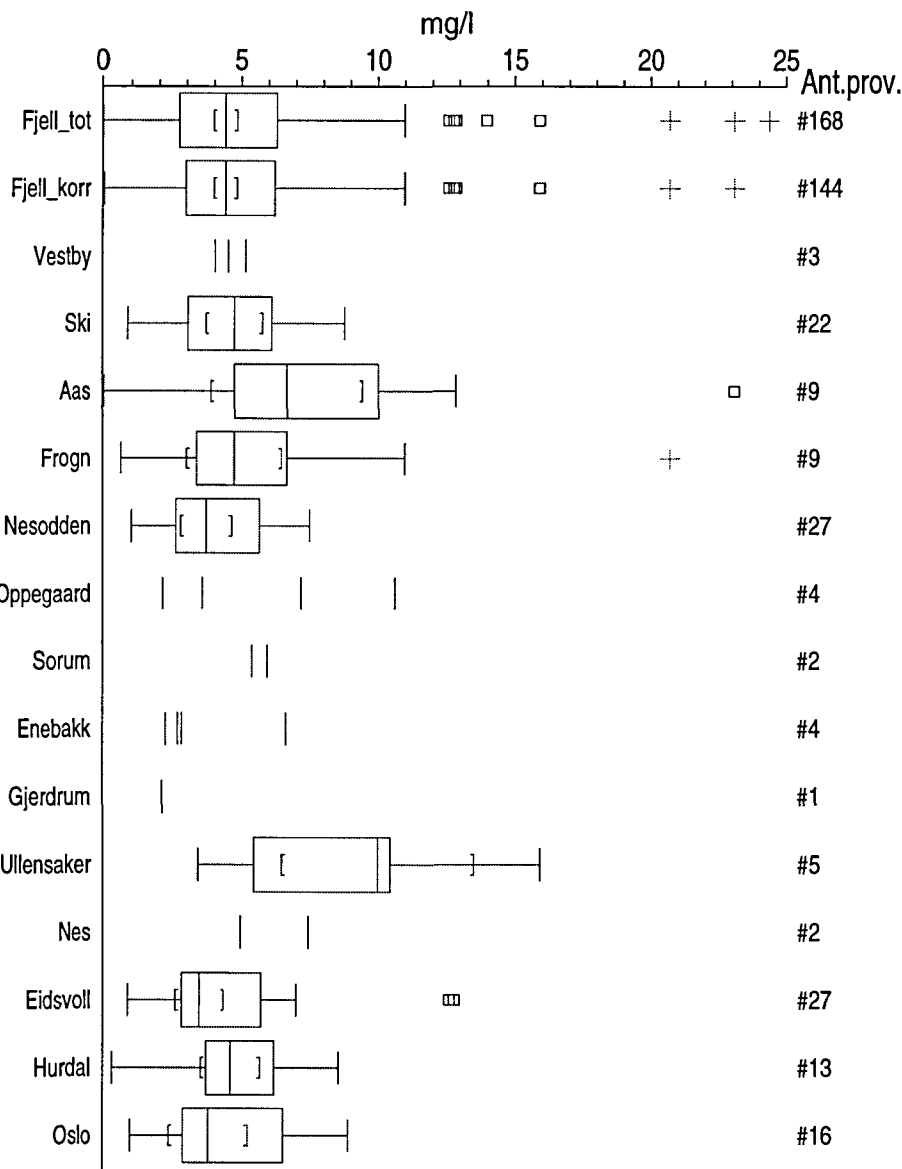
**AKERSHUS OG OSLO**  
**Grunnvannskjemi i fjellbronner**

**MAGNESIUM**

*Fordeling i bergart og bronntype*



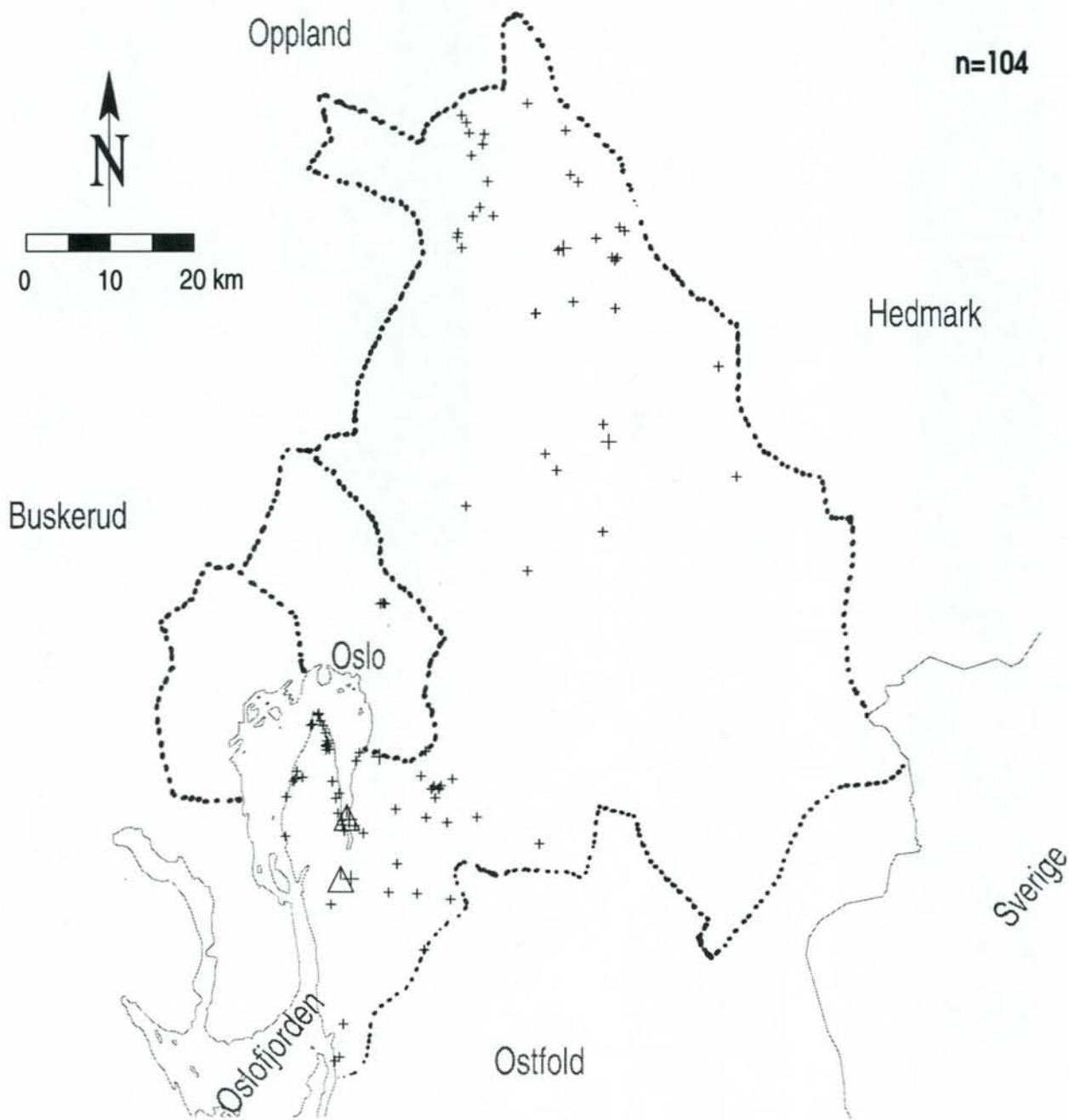
*Fordeling innen hver kommune*



# AKERSHUS OG OSLO

## Grunnvannskjemi i fjellbronner

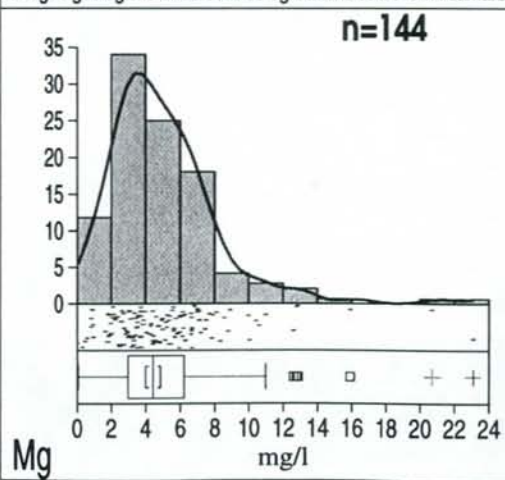
# MAGNESIUM



Norges geologiske undersøkelse og Statens stralevern i samarbeid med de kommunale næringsmiddeltilsyn

12/1997

n=144



- $\blacktriangle$  60.00 - 380
- $\triangle$  20.00 - 60
- +
- + +
- 0.03 - 10

Kartsymbolene er relatert til  
de norske drikkevannsnormene

- $\triangle$  over 3 ganger høyeste tillatte verdi
- $\triangle$  overskider høyeste tillatte verdi
- ++ tilfredsstiller kravene i normene

Tilsvarande kart med annen statistisk fremstilling er gitt i vedlegg

## 6.8 Sulfat

Utfra de innsamlede vannprøvene i Oslo og Akershus har Oslo kommune den høyeste medianverdien for sulfat i drikkevannsbrønner i fjell på 26,4 mg/l, mens Ullensaker kommune har den laveste medianverdien på 13,5 mg/l. De 2 prøvene fra Sørum kommune ligger generelt enda lavere, men medianverdi beregnes ikke for færre enn 5 prøver.

Medianverdien for hele datasettet (Fjell\_korr) er 18,1 mg/l. Høyeste registrerte sulfatinnhold i grunnvann i fjell i Oslo og Akershus er i permiske dyp- og gangbergarter (bergartsgruppe 54) i Hurdal kommune (169 mg/l). Laveste verdi er 4,47 mg/l. Med eksisterende datagrunnlag kan man ikke identifisere noen signifikante forskjeller mellom bergartsgruppene. Dette er kanskje ikke overraskende siden sulfatkonsentrasjoner i stor grad avhenger av redoks-forhold.

1,4 % (2 av 144) av de undersøkte fjellbrønnene i fylket overskridt drikkevannsnormen for sulfat på 100 mg/l.

Figur 11a viser hvordan analyseresultatene fordeler seg statistisk i hver kommune og i forhold til bergart/brønntype. For en kort innføring i tolkning av bokspott-diagrammer vises det til avsnitt 5.5.1 og figur 3.

Figur 11b viser den geografiske fordelingen av analyseresultatene sett i forhold til myndighetenes kvalitetskrav til drikkevann (Sosial- og helsedepartementet, 1995). I tillegg er det i nedre venstre hjørne av figuren vist et frekvensdiagram som gir et bilde av den prosentvise fordelingen av de ulike konsentrasjonene.

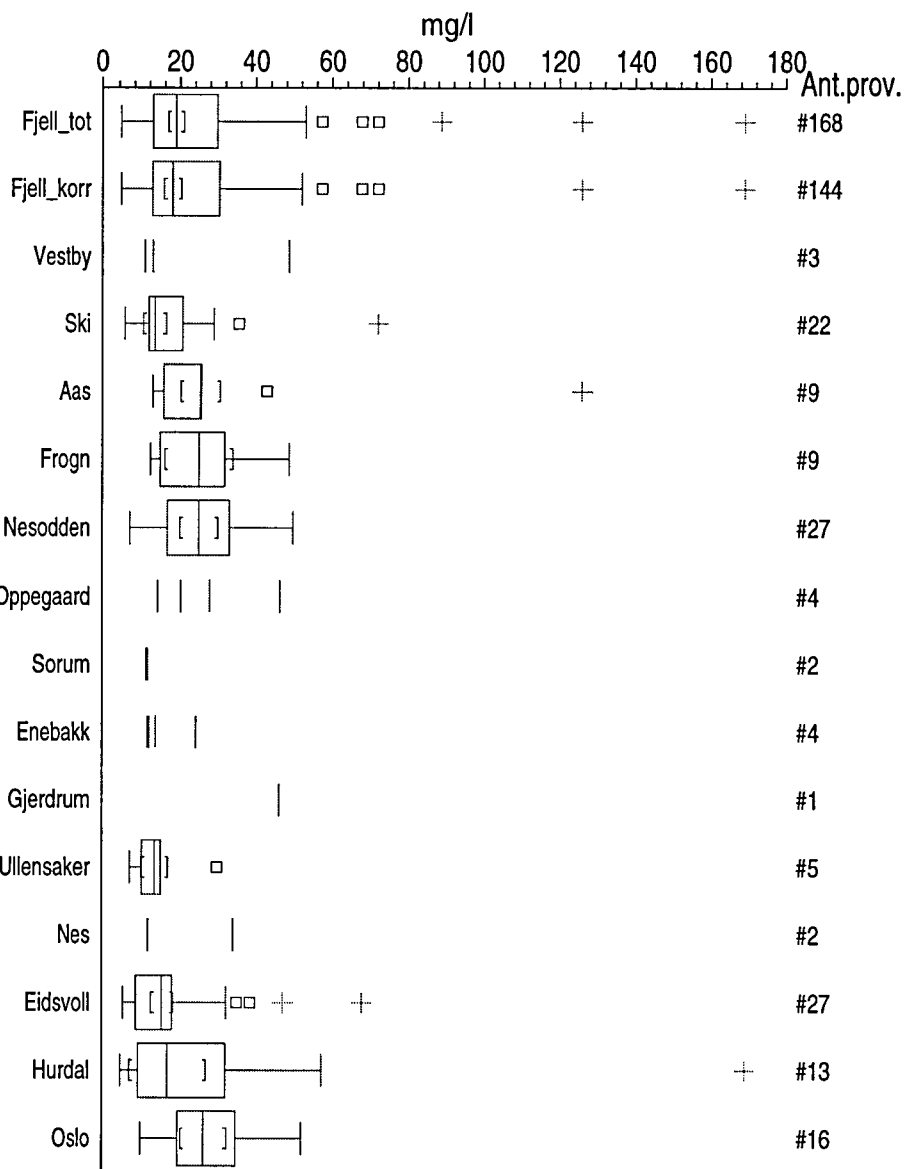
# AKERSHUS OG OSLO

## Grunnvannskjemi i fjellbronner

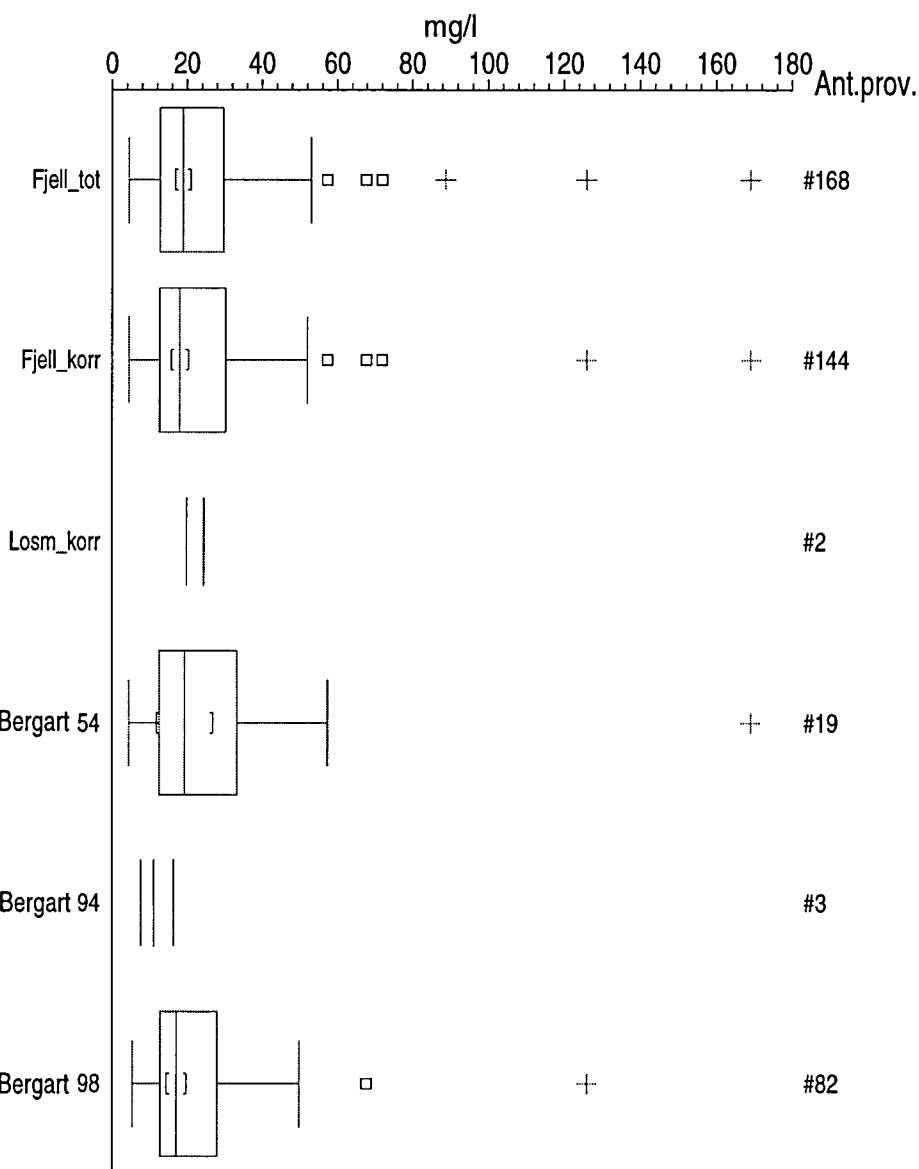
# SULFAT

Figur 11a

### Fordeing innen hver kommune



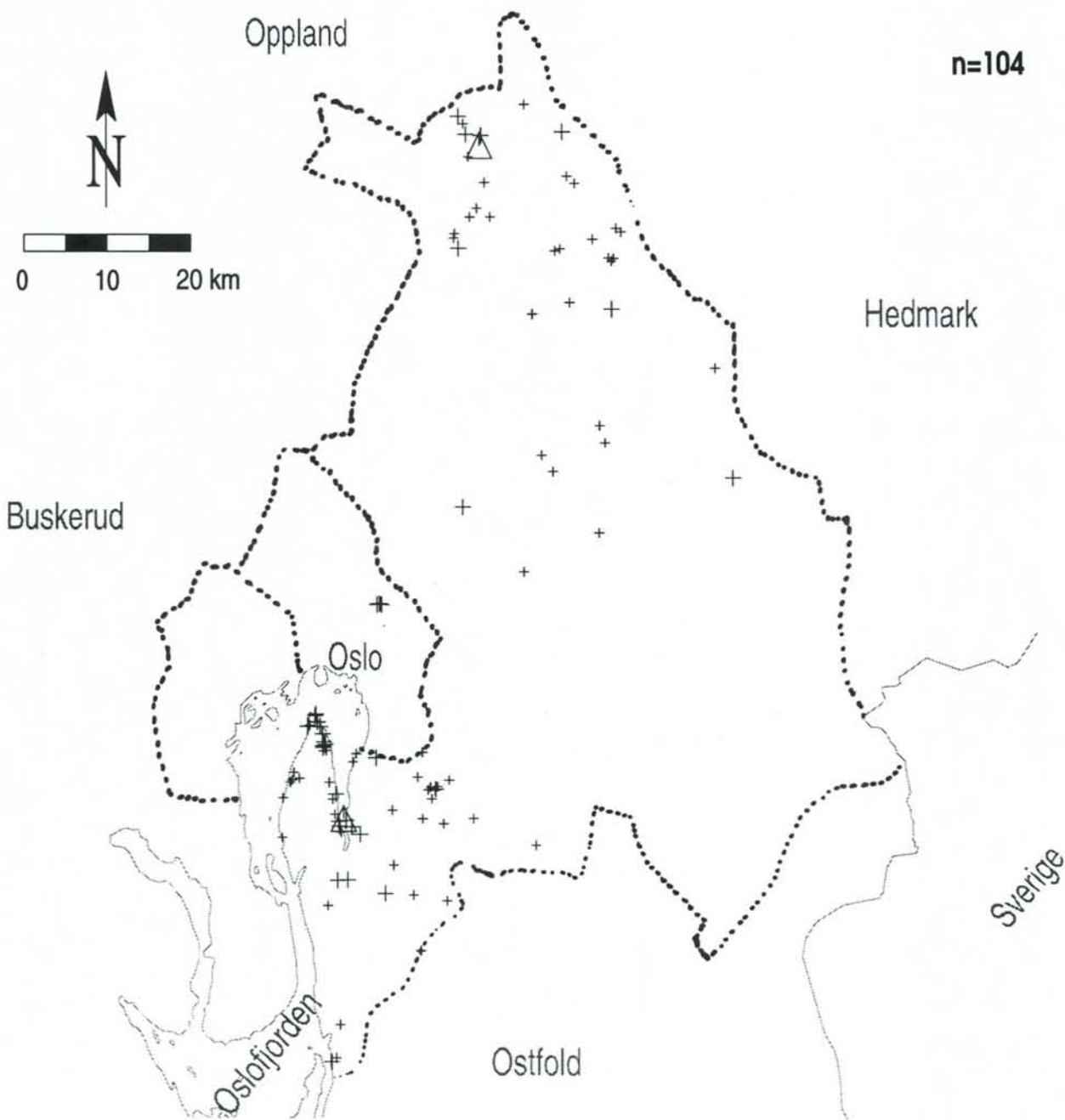
### Fordeing i bergart og bronntype



# AKERSHUS OG OSLO

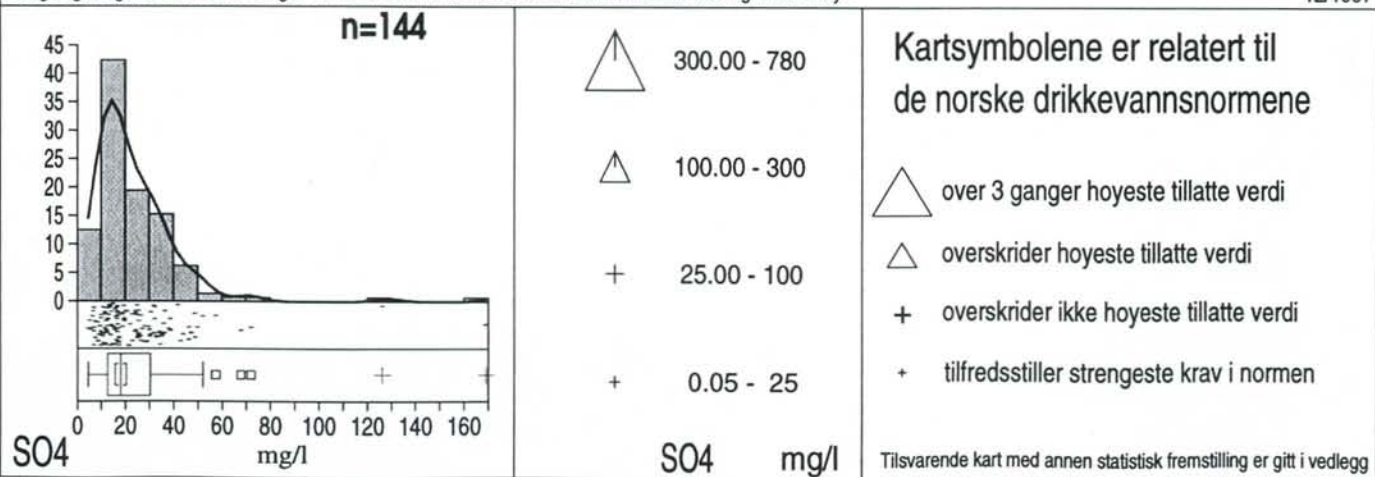
## Grunnvannskjemi i fjellbronner

# SULFAT



Norges geologiske undersøkelse og Statens stralevern i samarbeid med de kommunale næringsmiddeltilsyn

12/1997



## 6.9 Alkalitet

Ås kommune har den høyeste medianverdien for alkalitet i drikkevannsbrønner i fjell på 3,64 mekv/l, mens Oslo kommune har den laveste medianverdien på 1,36 mekv/l. Grunnvannets alkalitet er et mål på innholdet av karbonat- og bikarbonationer som bl.a. gjør vannet mer robust mot pH-endringer. (Ved høy alkalitet trengs det mer syre for å senke pH enn ved lav alkalitet).

Medianverdien for hele datasettet (Fjell\_korr) er 2,13 mekv/l. Høyeste registrerte alkalitet i grunnvann i fjell i Oslo og Akershus er fra prekambrisisk gneis (bergartsgruppe 98) i Ås kommune (5,41 mekv/l). Laveste verdi er 0,06 mekv/l. Med det foreliggende datagrunnlaget kan man ikke identifisere noen statistisk signifikante forskjeller mellom bergartsgruppene i fylket.

91,7 % av de undersøkte fjellbrønnene i Oslo og Akershus er utenfor veiledede drikkevannsnorm som anbefaler alkalitet mellom 0,6 og 1,0 mekv/l. De aller fleste (119 av 144) har høyere alkalitet enn 1,0 mekv/l, mens 13 av 144 har lavere alkalitet enn 0,6 mekv/l. Kun 12 av 144 prøver har alkalitet innenfor de veiledede verdiene.

Figur 12a viser hvordan analyseresultatene fordeler seg statistisk i hver kommune og i forhold til bergart/brønntype. For en kort innføring i tolkning av boksplott-diagrammer vises det til avsnitt 5.5.1 og figur 3.

Figur 12b viser den geografiske fordelingen av analyseresultatene sett i forhold til myndighetenes kvalitetskrav til drikkevann (Sosial- og helsedepartementet, 1995). I tillegg er det i nedre venstre hjørne av figuren vist et frekvensdiagram som gir et bilde av den prosentvise fordelingen av de ulike alkalitetsnivåene.

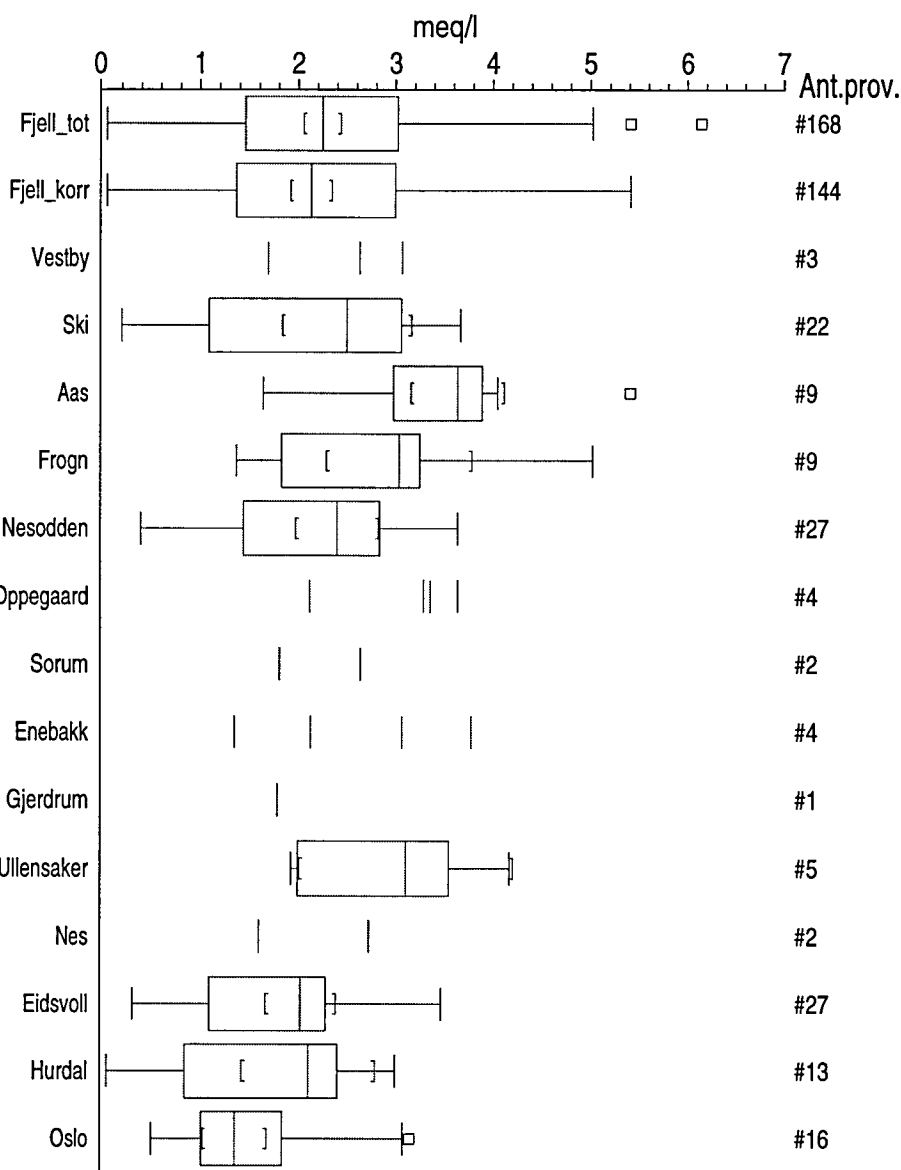
# AKERSHUS OG OSLO

## Grunnvannskjemi i fjellbronner

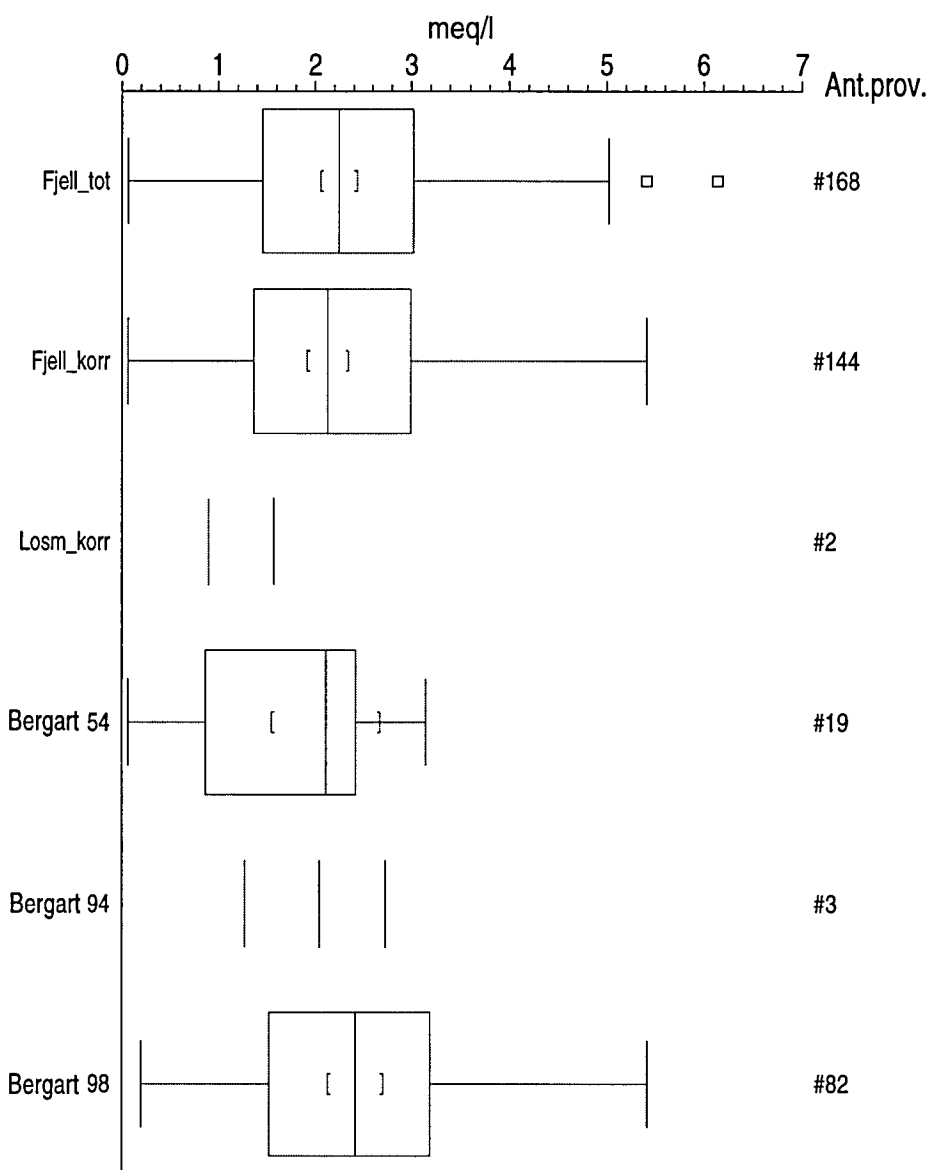
# ALKALITET

Figur 12a

### Fordeing innen hver kommune



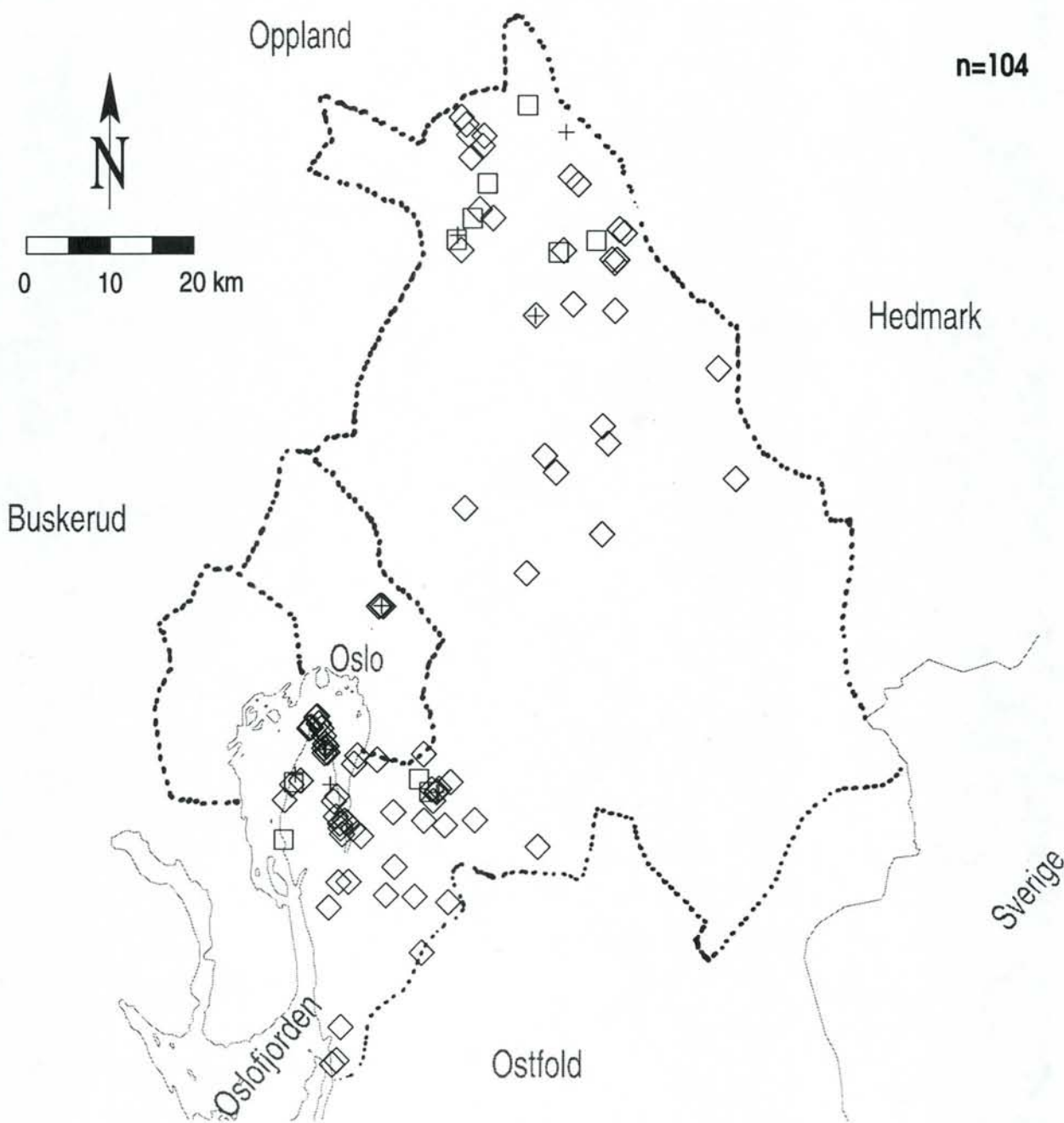
### Fordeing i bergart og bronntype



# AKERSHUS OG OSLO

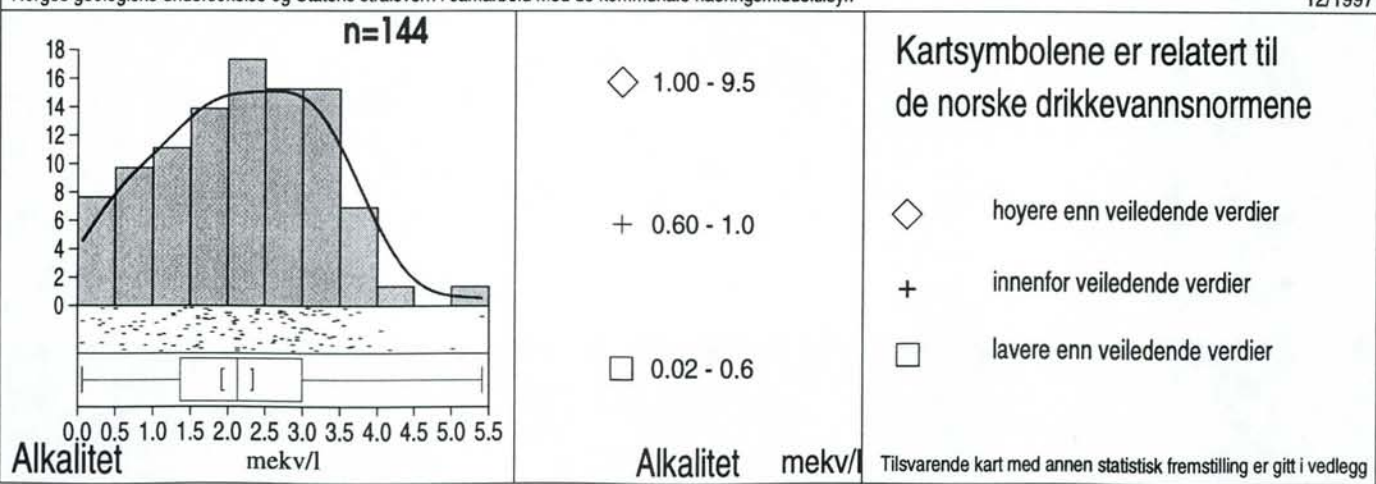
## Grunnvannskjemi i fjellbronner

# ALKALITET



Norges geologiske undersøkelse og Statens stralevern i samarbeid med de kommunale næringsmiddeltilsyn

12/1997



## 6.10 Jern

Medianverdien for hele datasettet (Fjell\_korr) er 0,04 mg/l. Høyeste registrerte jerninnhold i grunnvann i fjell i Oslo og Akershus er fra bergartsgruppe 98 (prekambrisisk gneis og migmatitt) i Nesodden kommune (5,22 mg/l). På grunnlag av det eksisterende datasettet kan man ikke identifisere noen statistisk signifikante forskjeller mellom bergartsgrupper eller kommuner.

14,5 % (21 av 144) av de undersøkte fjellbrønnene i fylket overskridt drikkevannsnormen på 0,2 mg/l for jern.

Figur 13a viser hvordan analyseresultatene fordeler seg statistisk i hver kommune og i forhold til bergart/brønntype. For en kort innføring i tolkning av boksplott-diagrammer vises det til avsnitt 5.5.1 og figur 3.

Figur 13b viser den geografiske fordelingen av analyseresultatene sett i forhold til myndighetenes kvalitetskrav til drikkevann (Sosial- og helsedepartementet, 1995). I tillegg er det i nedre venstre hjørne av figuren vist et frekvensdiagram som gir et bilde av den prosentvise fordelingen av de ulike konsentrasjonene.

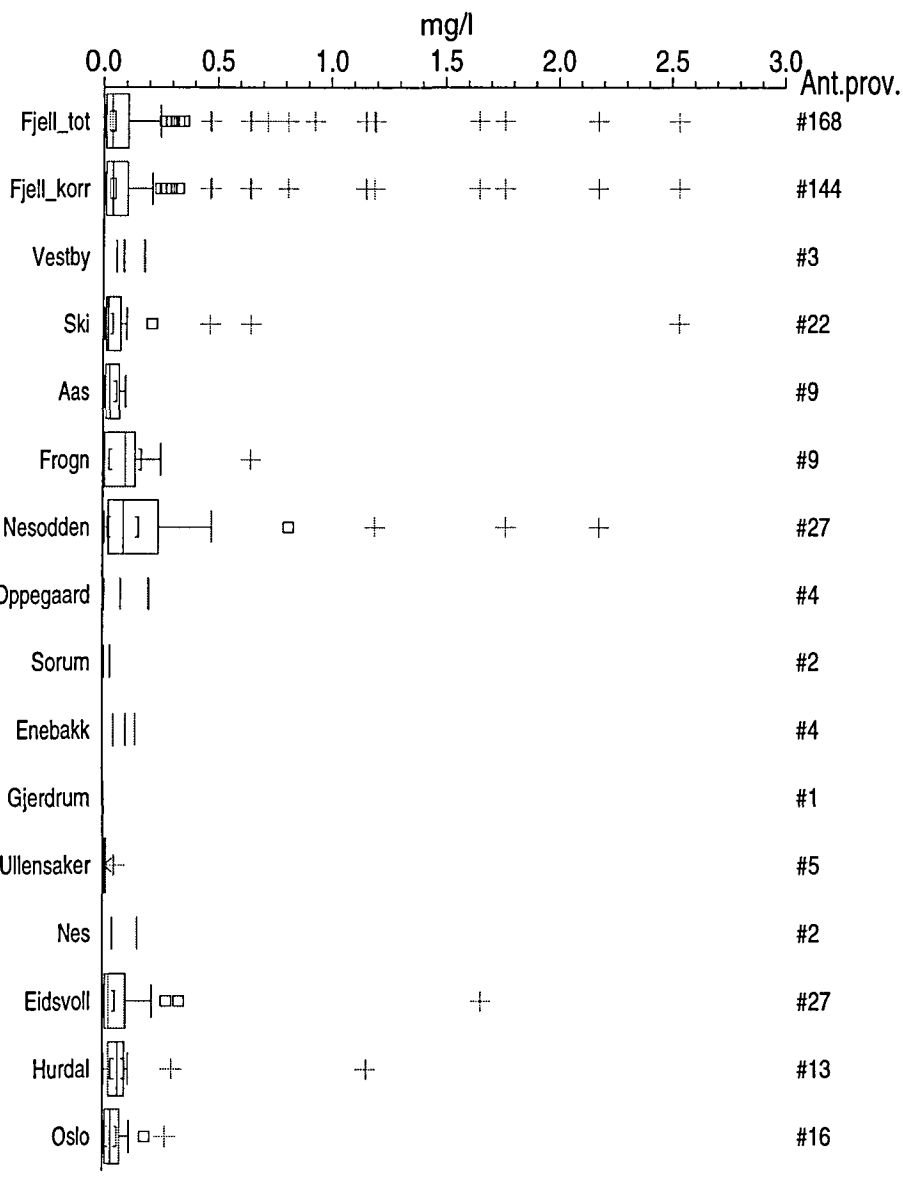
# AKERSHUS OG OSLO

## Grunnvanskjemi i fjellbronner

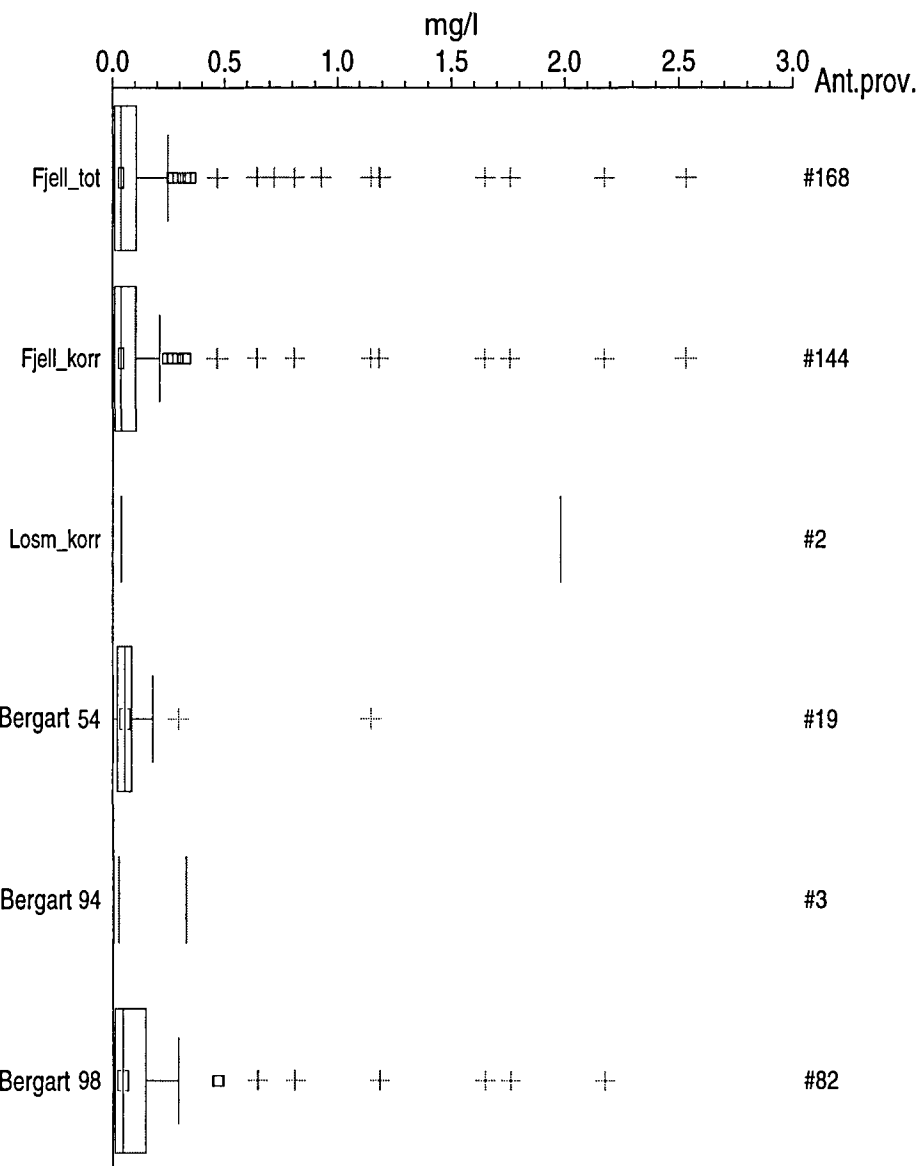
## JERN

Figur 13a

### *Fordeling innen hver kommune*



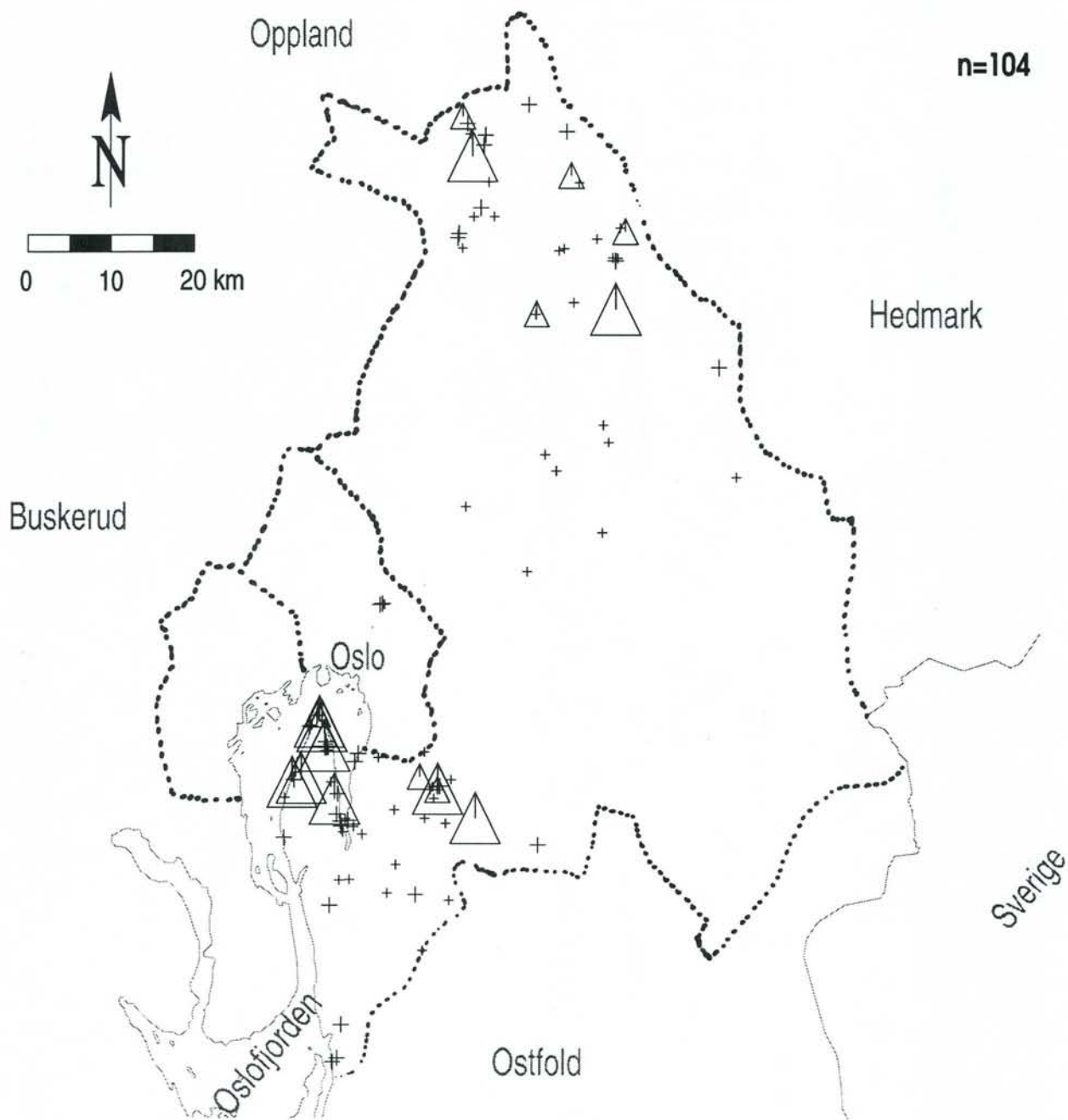
### *Fordeling i bergart og bronntype*



# AKERSHUS OG OSLO

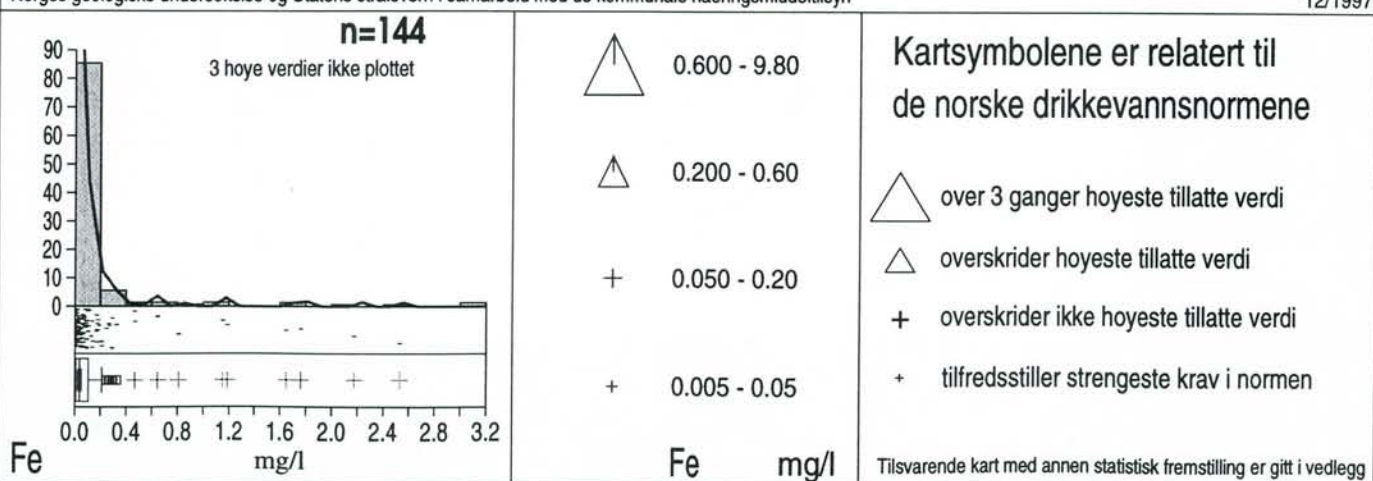
## Grunnvannskjemi i fjellbronner

# JERN



Norges geologiske undersøkelse og Statens stralevern i samarbeid med de kommunale næringsmiddeltilsyn

12/1997



## 6.11 Mangan

Uftra de innsamlede vannprøvene i fylket har Hurdal kommune den høyeste medianverdien for mangan i drikkevannsbrønner i fjell på 0,11 mg/l, mens Ås kommune har den laveste medianverdien på 0,011 mg/l. Forhøyede mangankonsentrasjoner i grunnvann er delvis betinget av bergart og tyder på reduserende forhold i grunnvannet.

Brønner i bergartsgruppen 54 (permiske dyp- og gangbergarter) har den høyeste mediankonsentrasjonen på 0,103 mg/l. De laveste mediankonsentrasjonene i fylket forekommer i bergartsgruppen 98 (prekambrisisk gneis og migmatitt). Her er medianen 0,035 mg/l. Medianverdien for hele datasettet (Fjell\_korr) er 0,032 mg/l. Høyeste registrerte manganinnhold i grunnvann i fjell i Oslo og Akershus er 2 brønner med 1,70 mg/l i henholdsvis Hurdal og Nesodden kommuner.

41,7 % (60 av 144) av de undersøkte fjellbrønnene i fylket overskridt drikkevannsnormen på 0,05 mg/l for mangan.

Figur 14a viser hvordan analyseresultatene fordeler seg statistisk i hver kommune og i forhold til bergart/brønntype. For en kort innføring i tolkning av boksplot-diagrammer vises det til avsnitt 5.5.1 og figur 3.

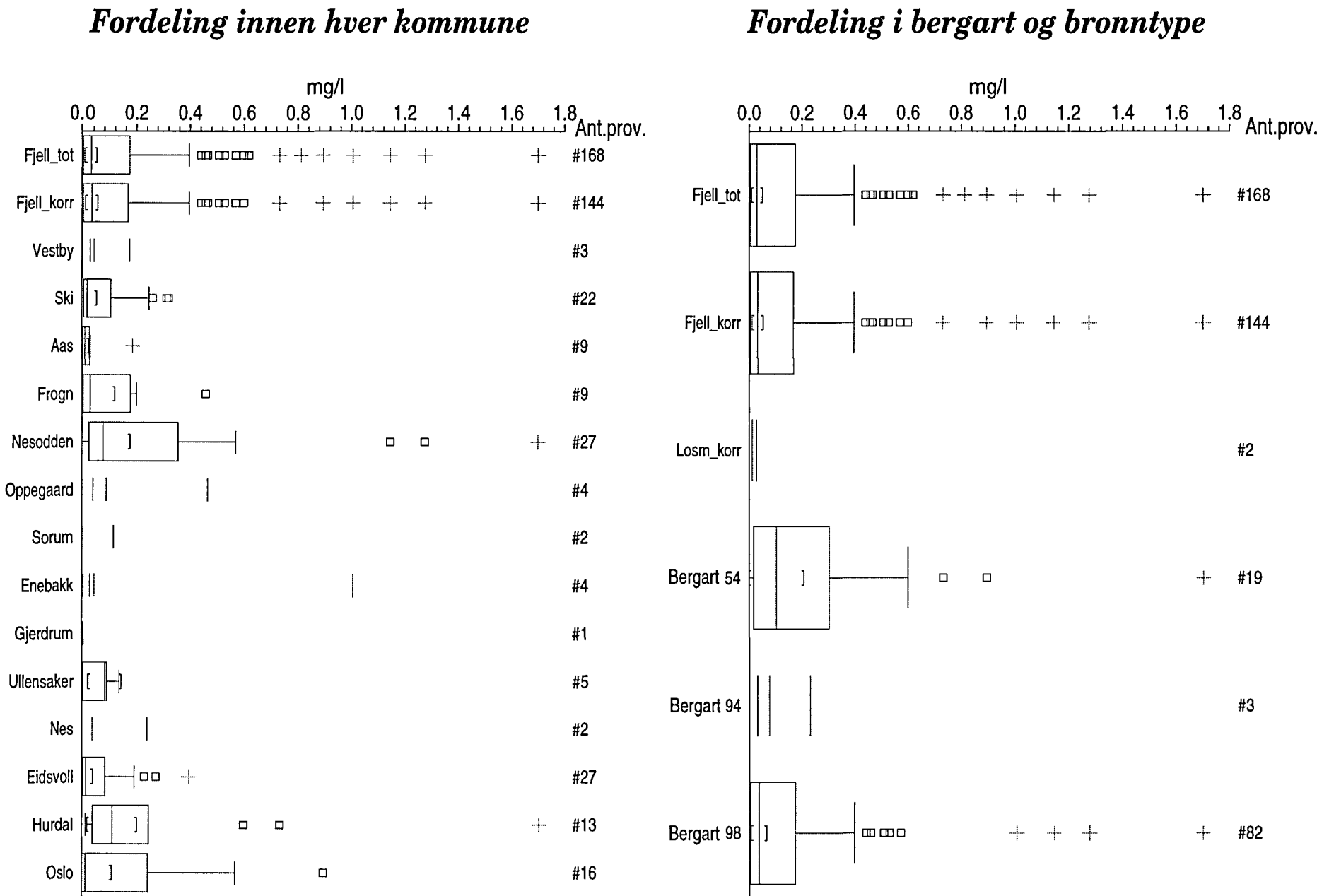
Figur 14b viser den geografiske fordelingen av analyseresultatene sett i forhold til myndighetenes kvalitetskrav til drikkevann (Sosial- og helsedepartementet, 1995). I tillegg er det i nedre venstre hjørne av figuren vist et frekvensdiagram som gir et bilde av den prosentvise fordelingen av de ulike konsentrasjonene.

Figur 14a

# AKERSHUS OG OSLO

## Grunnvannskjemi i fjellbrønner

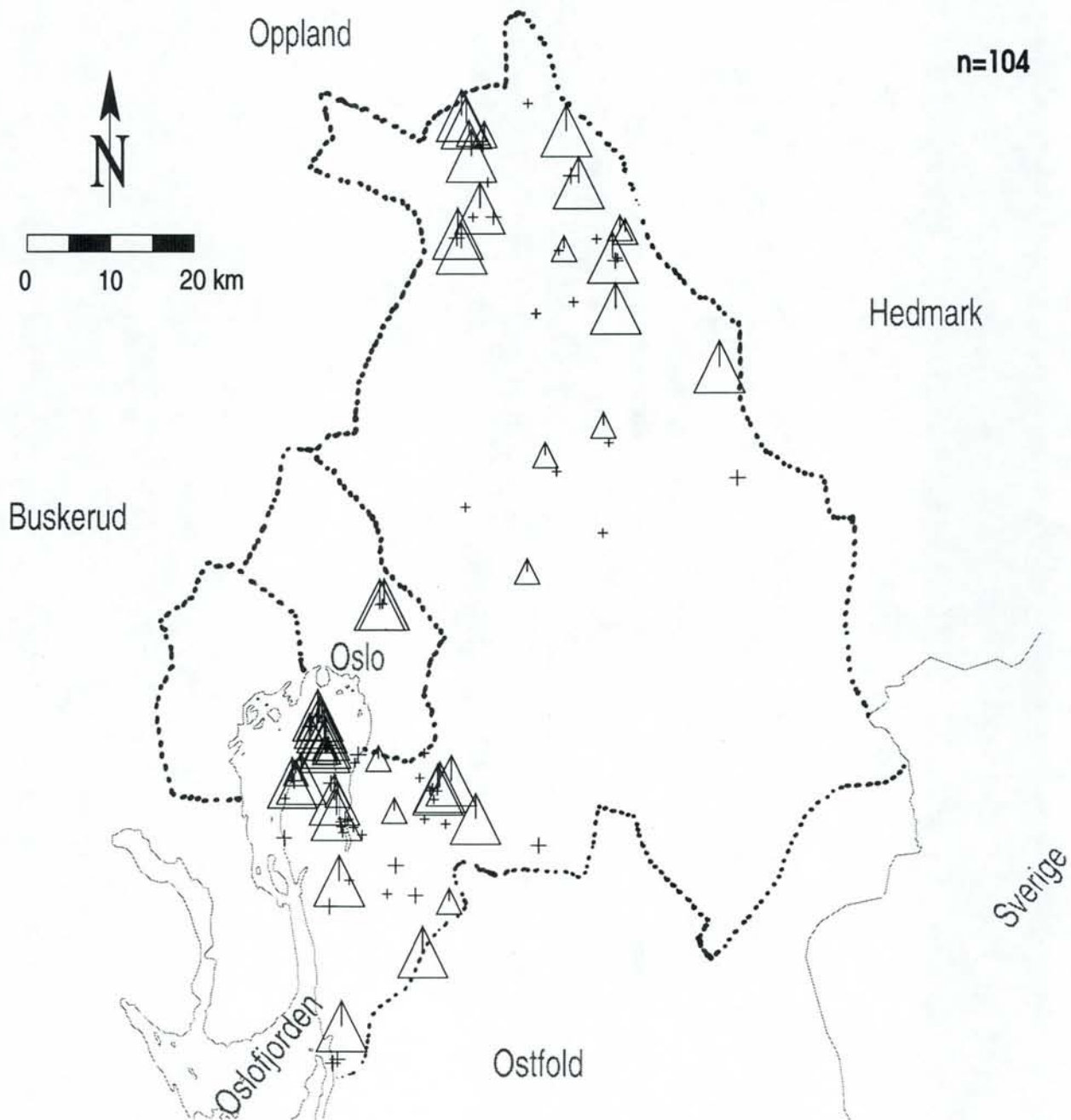
## MANGAN



# AKERSHUS OG OSLO

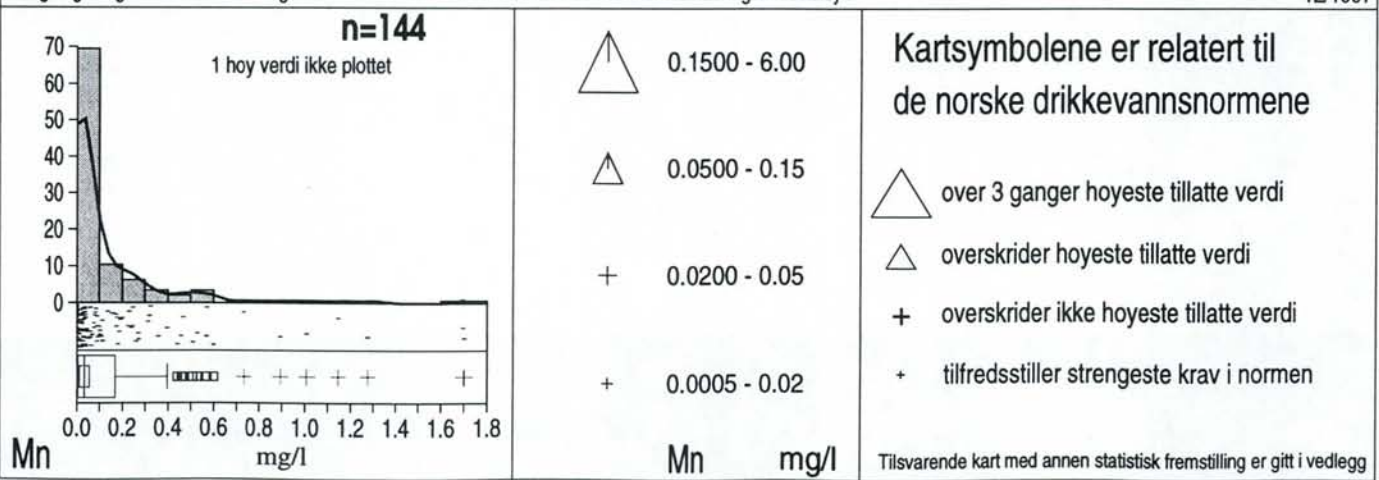
## Grunnvannskjemi i fjellbronner

# MANGAN



Norges geologiske undersøkelse og Statens stralevern i samarbeid med de kommunale næringsmiddeltilsyn

12/1997



## 6.12 Aluminium

Medianverdien for hele datasettet (Fjell\_korr) er lavere enn 0,02 mg/l som tilsvarer analysens nedre deteksjonsgrense. Med eksisterende datagrunnlag kan man ikke påvise noen statistisk signifikante forskjeller mellom bergartsgrupper eller kommuner.

9,7 % (14 av 144) av de undersøkte fjellbrønnene i fylket overskridt drikkevannsnormen på 0,2 mg/l for aluminium.

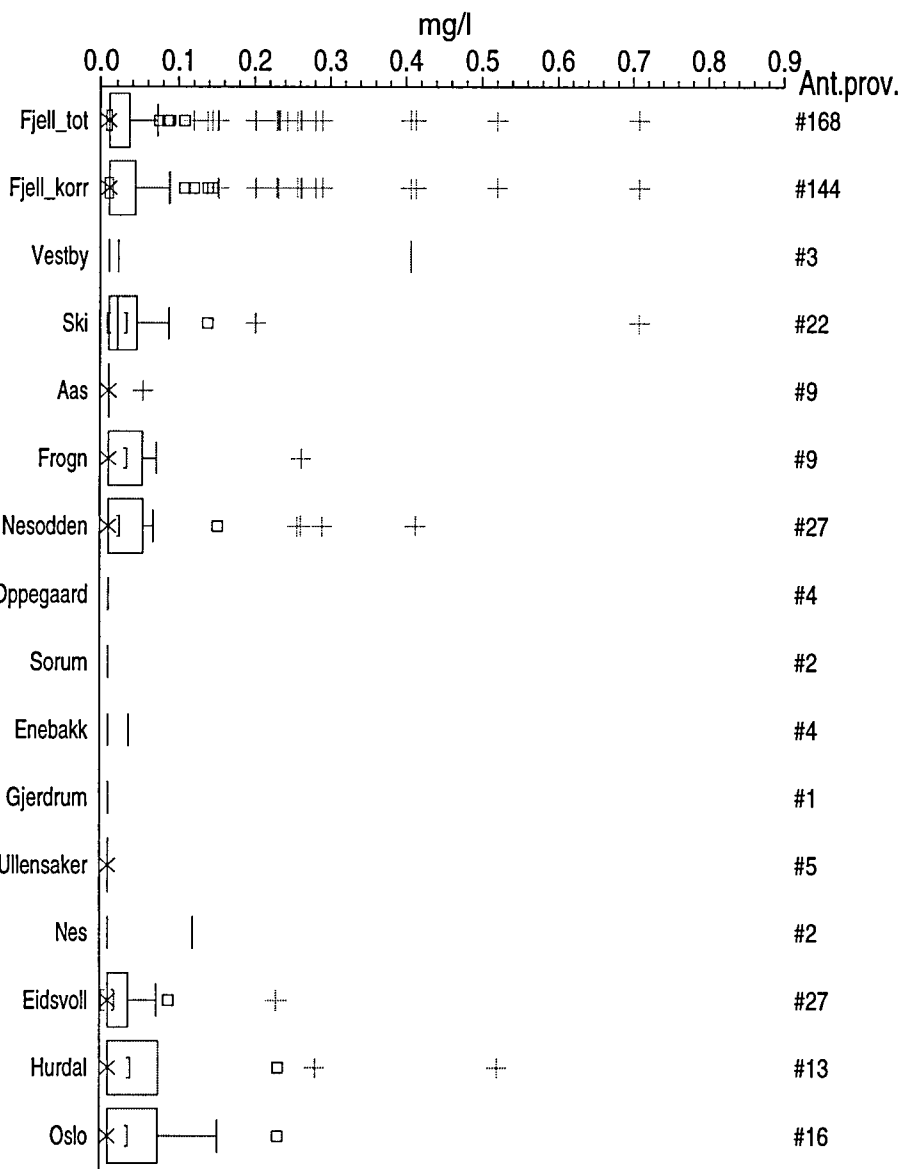
Figur 15a viser hvordan analyseresultatene fordeler seg statistisk i hver kommune og i forhold til bergart/brønntype. For en kort innføring i tolkning av boksplot-diagrammer vises det til avsnitt 5.5.1 og figur 3.

Figur 15b viser den geografiske fordelingen av analyseresultatene sett i forhold til myndighetenes kvalitetskrav til drikkevann (Sosial- og helsedepartementet, 1995). I tillegg er det i nedre venstre hjørne av figuren vist et frekvensdiagram som gir et bilde av den prosentvise fordelingen av de ulike konsentrasjonene.

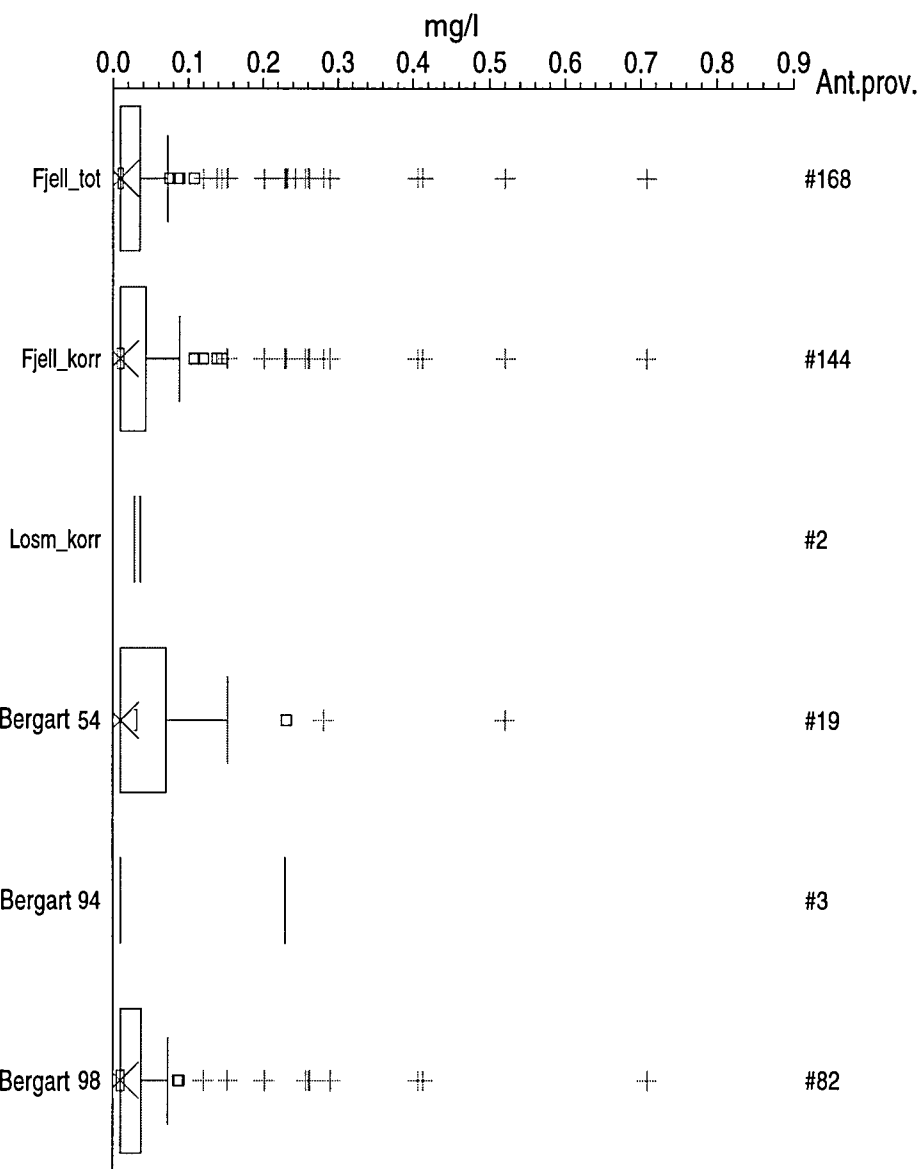
# AKERSHUS OG OSLO Grunnvannskjemi i fjellbronner

## ALUMINIUM

### *Fordeling innen hver kommune*



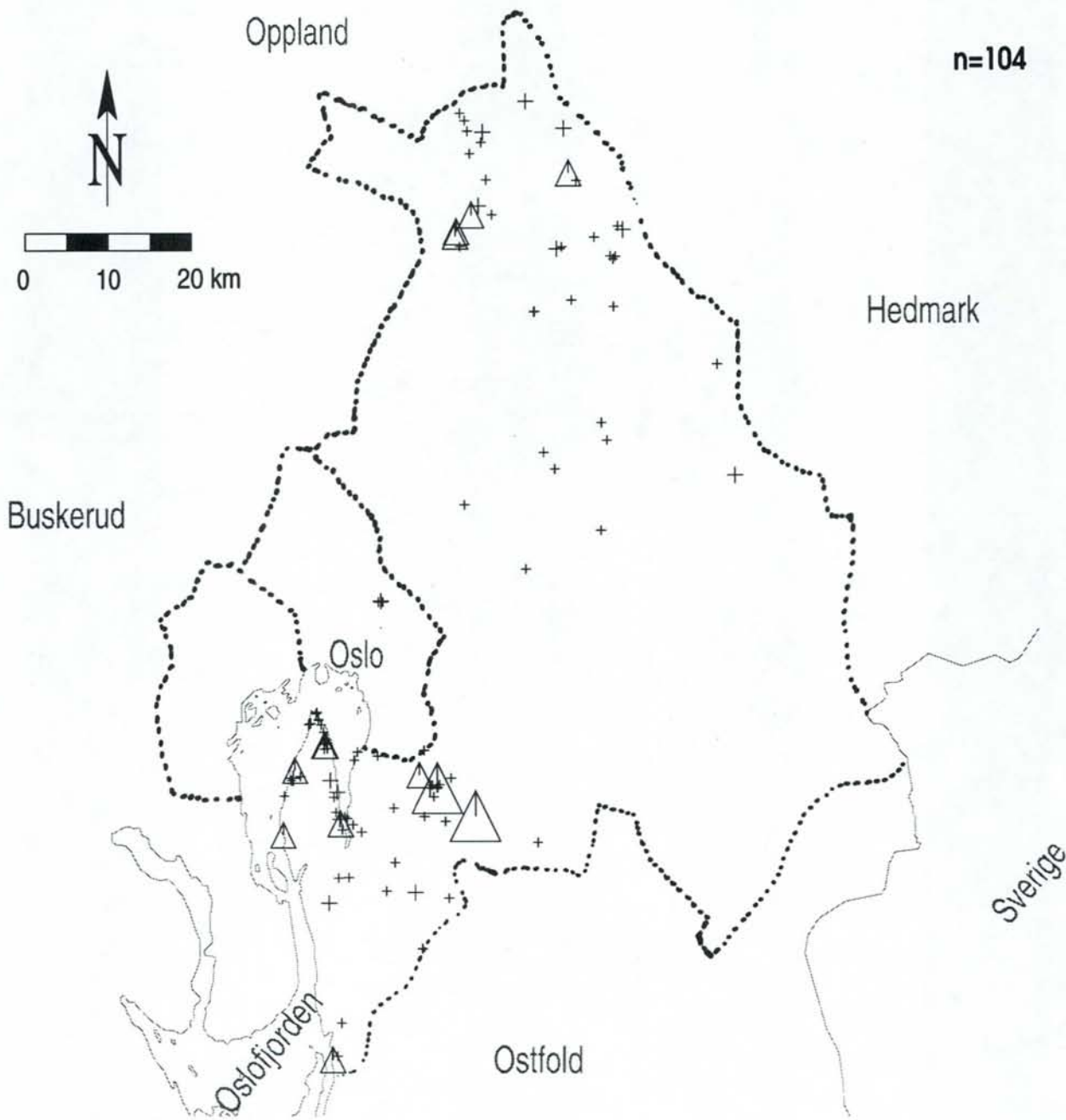
### *Fordeling i bergart og bronntype*



# AKERSHUS OG OSLO

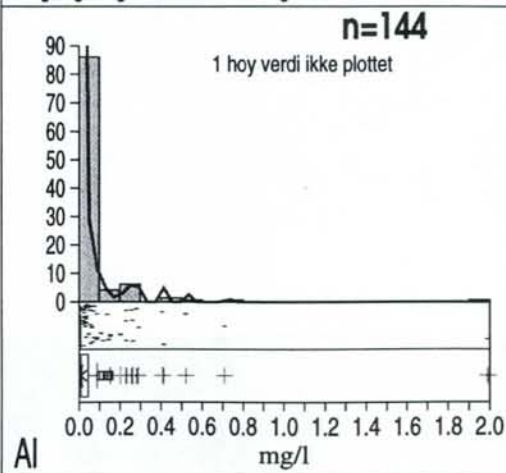
## Grunnvannskjemi i fjellbronner

# ALUMINIUM



Norges geologiske undersøkelse og Statens stralevern i samarbeid med de kommunale næringsmiddeltilsyn

12/1997



|             |             |
|-------------|-------------|
| $\triangle$ | 0.60 - 4.00 |
| $\triangle$ | 0.20 - 0.60 |
| +           | 0.05 - 0.20 |
| +           | 0.01 - 0.05 |

Kartsymbolene er relatert til  
de norske drikkevannsnormene

- $\triangle$  over 3 ganger høyeste tillatte verdi
- $\triangle$  overskridet høyeste tillatte verdi
- +
 overskridet ikke høyeste tillatte verdi
- +
 tilfredsstiller strengeste krav i normen

Tilsvarande kart med annen statistisk fremstilling er gitt i vedlegg

## 6.13 Nitrat

Medianverdien for hele datasettet (Fjell\_korr) er 1,25 mg/l nitrat som NO<sub>3</sub>. I Oslo og Akershus har Frogn kommune den høyeste medianverdien for nitrat i drikkevannsbrønner i fjell på 7,72 mg/l, men også Oslo kommune ligger klart høyere enn de øvrige kommunene med en medianverdi på 6,46 mg/l. Ufra det foreliggende datasettet kan man ikke identifisere noen statistisk signifikante forskjeller mellom bergartsgruppene. Forhøyede nitratkonsentrasjoner i grunnvannet tyder vanligvis på forurensning fra landbruksvirksomhet eller fra kloakk

Høyeste registrert nitratinnhold i grunnvann i fjell i Oslo og Akershus er fra Nesodden kommune (66,3 mg/l). 1,4 % (2 av 144) av de undersøkte fjellbrønnene i fylket overskridt drikkevannsnormen for nitrat på 44 mg/l (målt som nitrat - tilsvarer 10 mg/l målt som nitrogen).

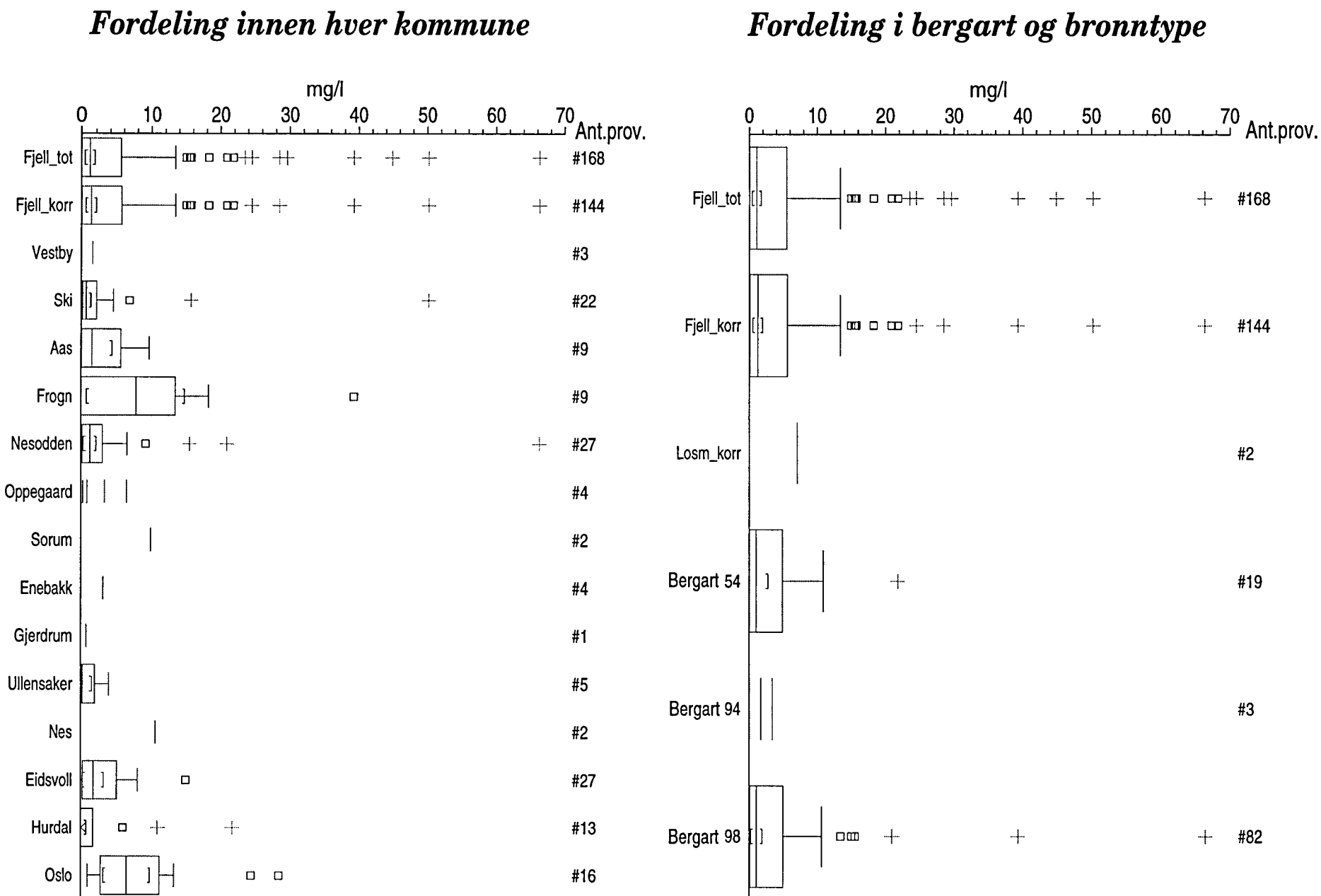
Figur 16a viser hvordan analyseresultatene fordeler seg statistisk i hver kommune og i forhold til bergart/brønntype. For en kort innføring i tolkning av boksplott-diagrammer vises det til avsnitt 5.5.1 og figur 3.

Figur 16b viser den geografiske fordelingen av analyseresultatene sett i forhold til myndighetenes kvalitetskrav til drikkevann (Sosial- og helsedepartementet, 1995). I tillegg er det i nedre venstre hjørne av figuren vist et frekvensdiagram som gir et bilde av den prosentvise fordelingen av de ulike konsentrasjonene.

# AKERSHUS OG OSLO

## Grunnvannskjemi i fjellbronner

# NITRAT

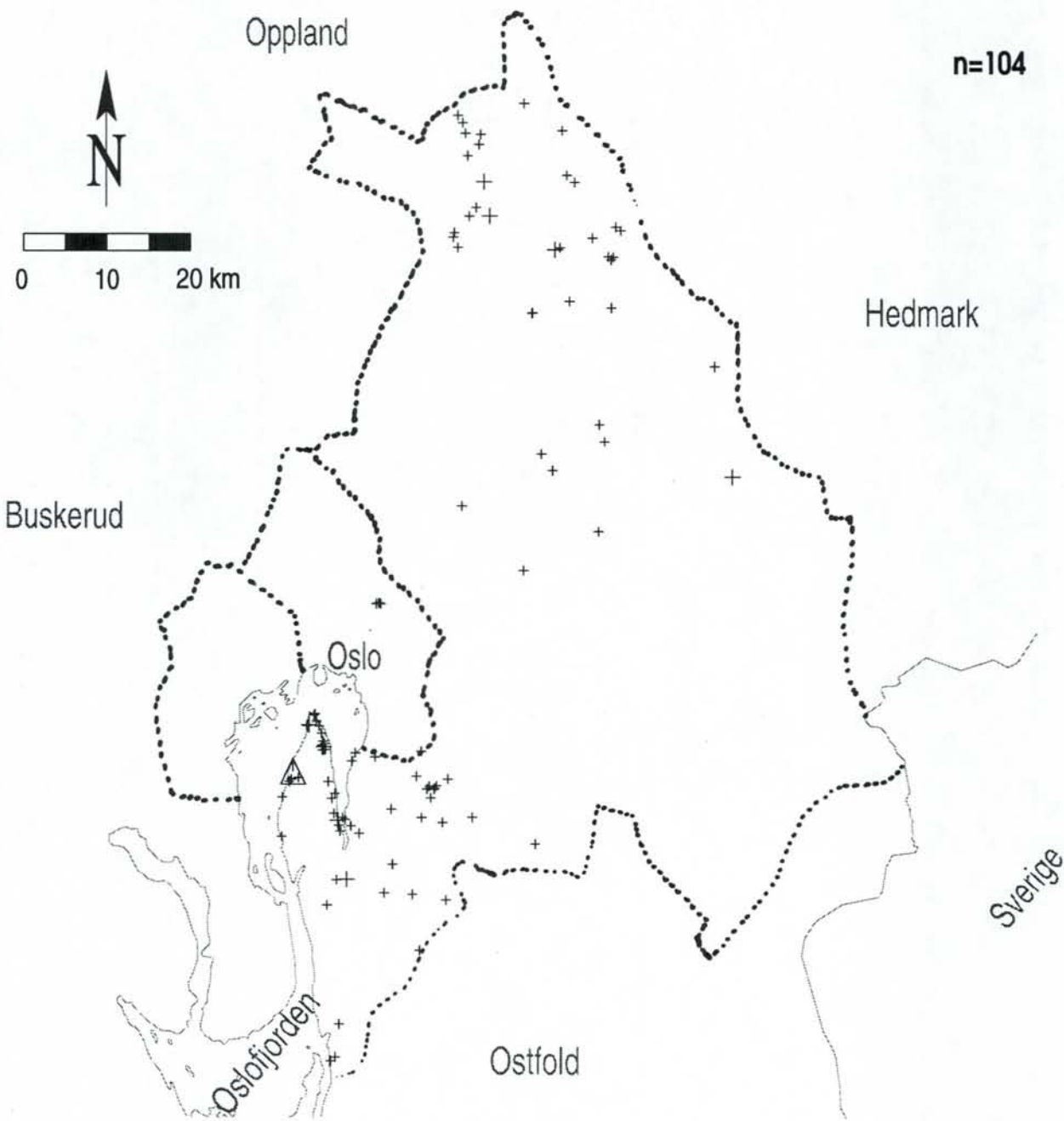


Figur 16a

# AKERSHUS OG OSLO

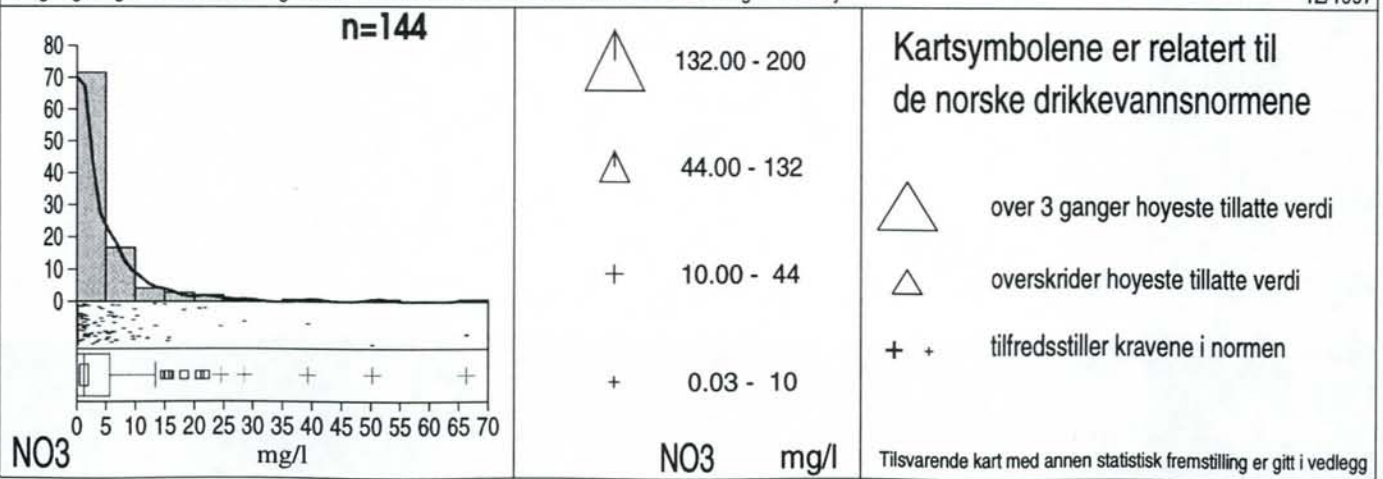
## Grunnvannskjemi i fjellbronner

# NITRAT



Norges geologiske undersøkelse og Statens stralevern i samarbeid med de kommunale næringsmiddeltilsyn

12/1997



## 6.14 Kalium

Utfra de innsamlede vannprøvene i fylket har Ås kommune den høyeste medianverdien for kalium i drikkevannsbrønner i fjell på 3,34 mg/l, mens Oslo kommune har den laveste medianverdien på 1,21 mg/l. Forskjellene kan delvis skyldes at kalium i grunnvann er betinget av bergart, men svært forhøyede kaliumverdier kan også indikere forurensning fra jordbruk eller kloakk.

Brønner i bergartsgruppen 98 (prekambriske gneis og migmatitt) har den høyeste mediankonsentrasjonen på 2,36 mg/l. Den laveste mediankonsentrasjonen i fylket forekommer i bergartsgruppe 54 (permiske dyp- og gangbergarter). Her er medianen 1,19 mg/l. Medianverdien for hele datasettet (Fjell\_korr) er 2,04 mg/l. Det høyeste registrerte kaliuminnholdet i grunnvann i fjell i fylket er fra Oppegård kommune (8,74 mg/l).

Kaliuminnholdet i grunnvann er vanligvis betinget av bergart. Sterkt forhøyede kaliumverdier kan også indikere forurensning fra jordbruk eller kloakk. Ingen av undersøkte fjellbrønnene i fylket overskridt drikkevannsnormen på 12 mg/l for kalium.

Figur 17a viser hvordan analyseresultatene fordeler seg statistisk i hver kommune og i forhold til bergart/brønntype. For en kort innføring i tolkning av boksplot-diagrammer vises det til avsnitt 5.5.1 og figur 3.

Figur 17b viser den geografiske fordelingen av analyseresultatene sett i forhold til myndighetenes kvalitetskrav til drikkevann (Sosial- og helsedepartementet, 1995). I tillegg er det i nedre venstre hjørne av figuren vist et frekvensdiagram som gir et bilde av den prosentvise fordelingen av de ulike konsentrasjonene.

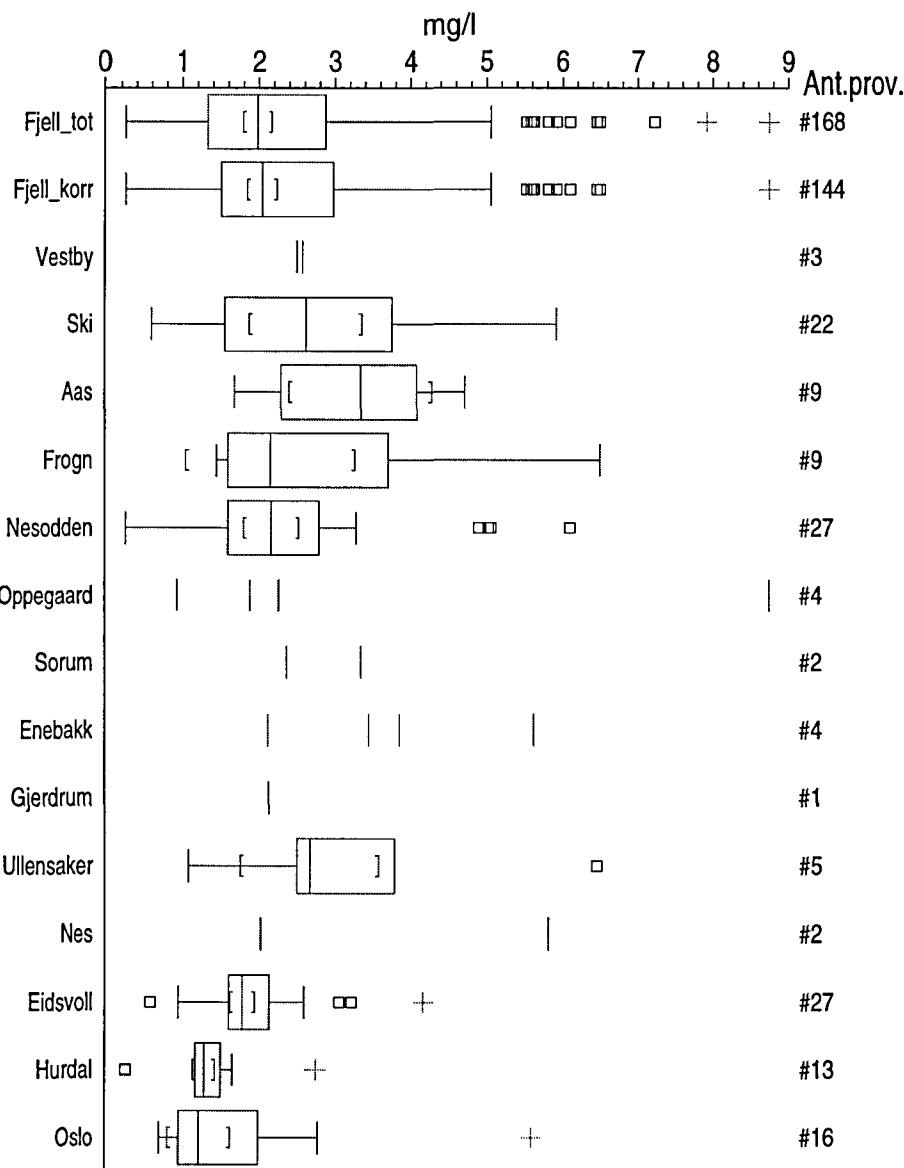
# AKERSHUS OG OSLO

## Grunnvannskjemi i fjellbronner

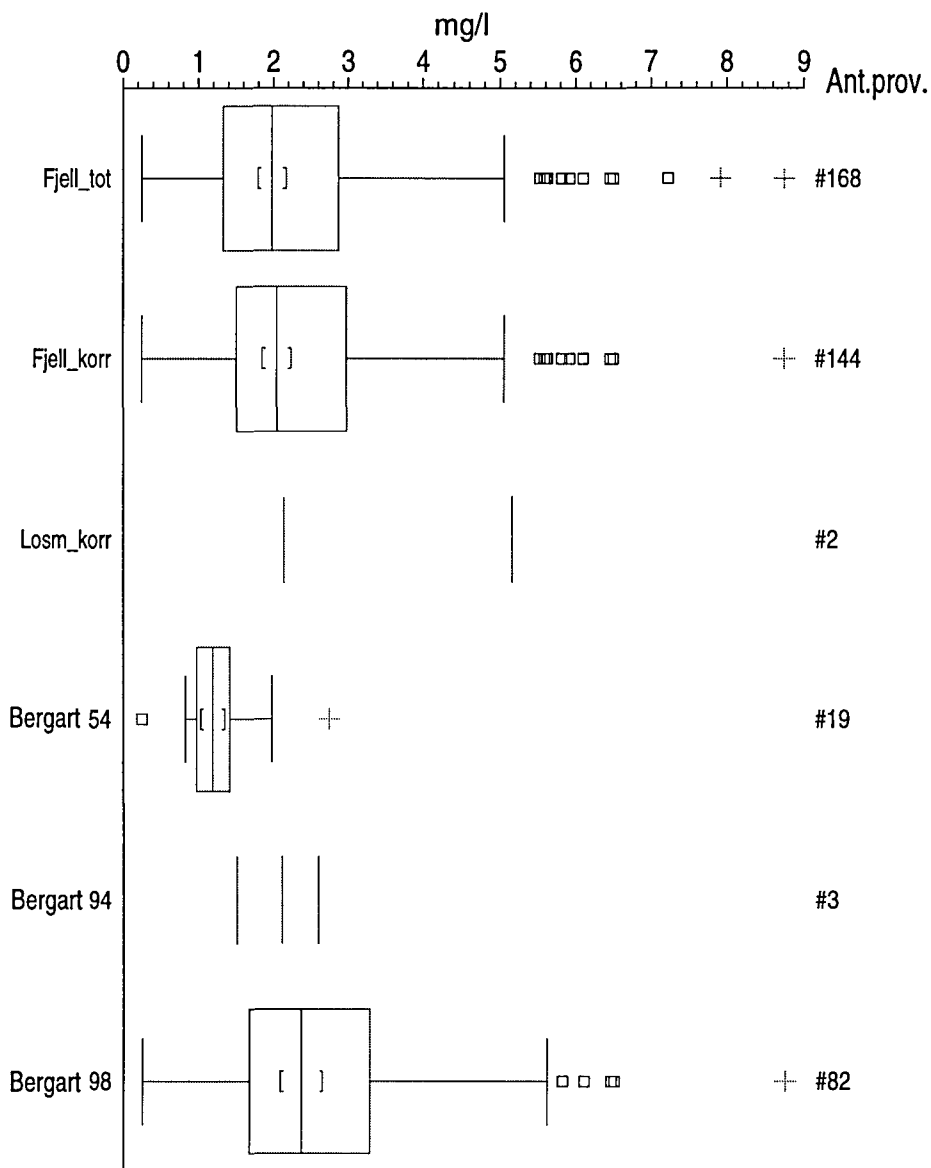
# KALIUM

Figur 17a

### Fordeing innen hver kommune



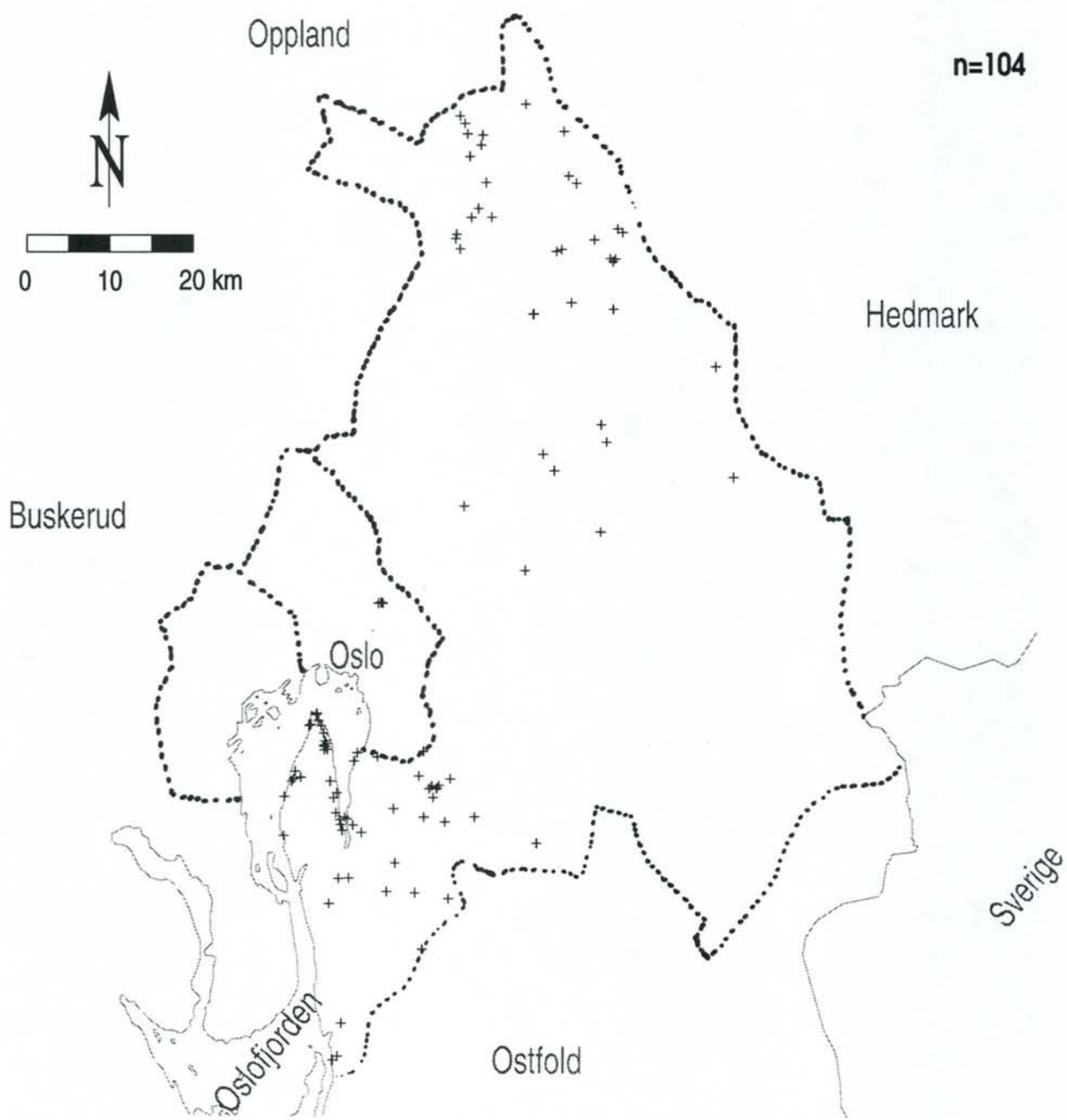
### Fordeing i bergart og bronntype



# AKERSHUS OG OSLO

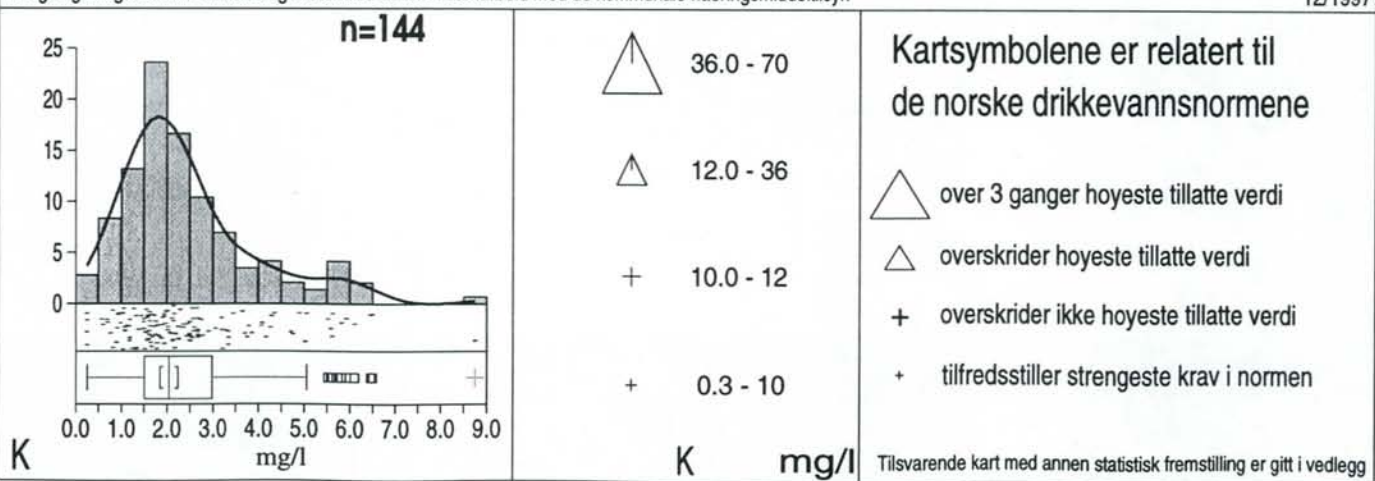
## Grunnvannskjemi i fjellbronner

# KALIUM



Norges geologiske undersøkelse og Statens stralevern i samarbeid med de kommunale næringsmiddeltilsyn

12/1997



## 6.15 Barium

Utfra de innsamlede vannprøvene i fylket har Hurdal kommune den høyeste medianverdien for barium i drikkevannsbrønner i fjell på 0,039 mg/l, mens Ullensaker kommune har den laveste medianverdien på 0,004 mg/l. Bariumkonsentrasjonen i grunnvann kan være betinget av bergart og konsentrasjonen av sulfat. (Høy sulfatkonsentrasjon gir lav løselighet av barium og omvendt).

Medianverdien for hele datasettet (Fjell\_korr) er 0,009 mg/l. Høyeste registrerte bariuminnhold i grunnvann i fjell i Oslo og Akershus er fra bergartsgruppe 98 (prekambrisisk gneis og migmatitt) fra Nesodden kommune (0,21 mg/l). Utfra det foreliggende materialet er det ikke mulig å påvise noen statistisk signifikant forskjell i bariuminnholdet i ulike bergartsgrupper i fylket.

11,1 % (16 av 144) av de undersøkte brønnene i fylket har høyere bariuminnhold enn veiledede drikkevannsnorm på 0,1 mg/l.

Figur 18a viser hvordan analyseresultatene fordeler seg statistisk i hver kommune og i forhold til bergart/brønntype. For en kort innføring i tolkning av boksplot-diagrammer vises det til avsnitt 5.5.1 og figur 3.

Figur 18b viser den geografiske fordelingen av analyseresultatene sett i forhold til myndighetenes kvalitetskrav til drikkevann (Sosial- og helsedepartementet, 1995). I tillegg er det i nedre venstre hjørne av figuren vist et frekvensdiagram som gir et bilde av den prosentvise fordelingen av de ulike konsentrasjonene.

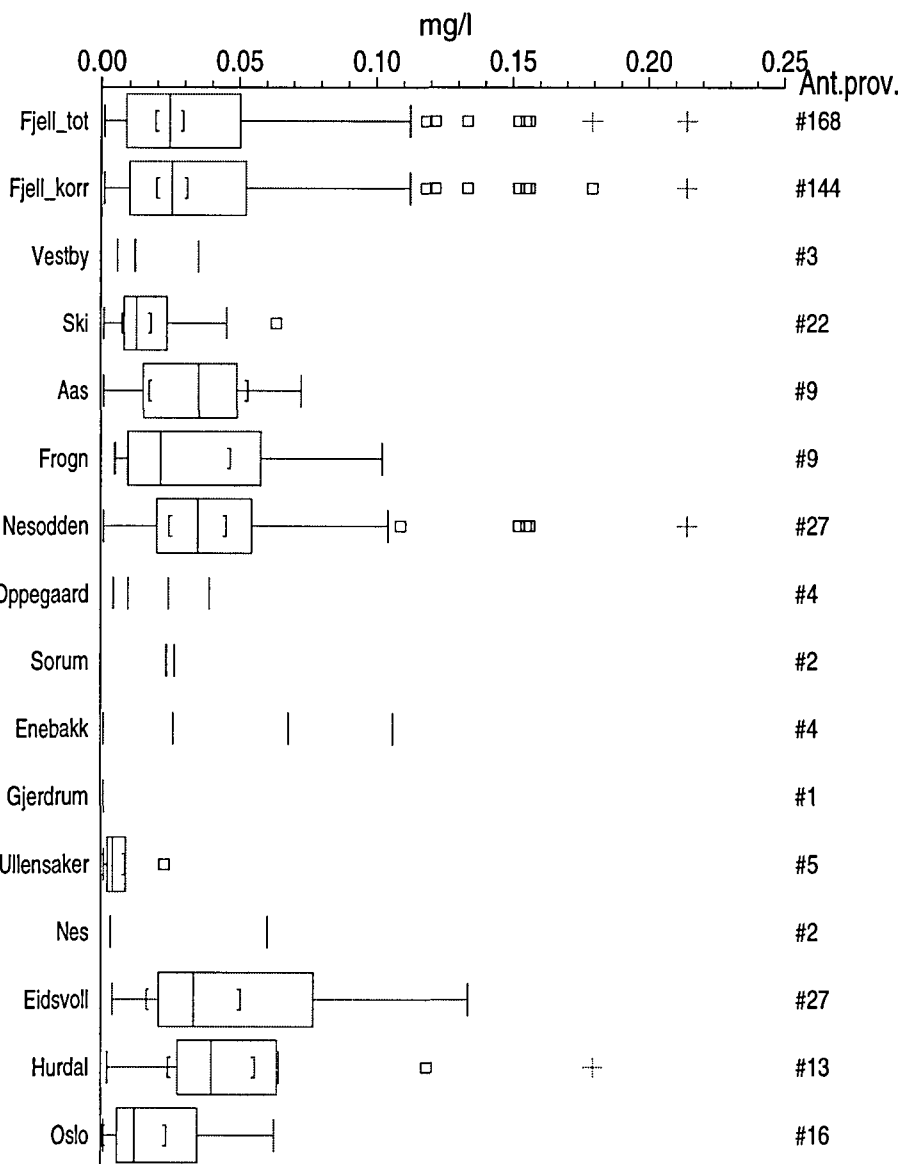
# AKERSHUS OG OSLO

## Grunnvanskjemi i fjellbronner

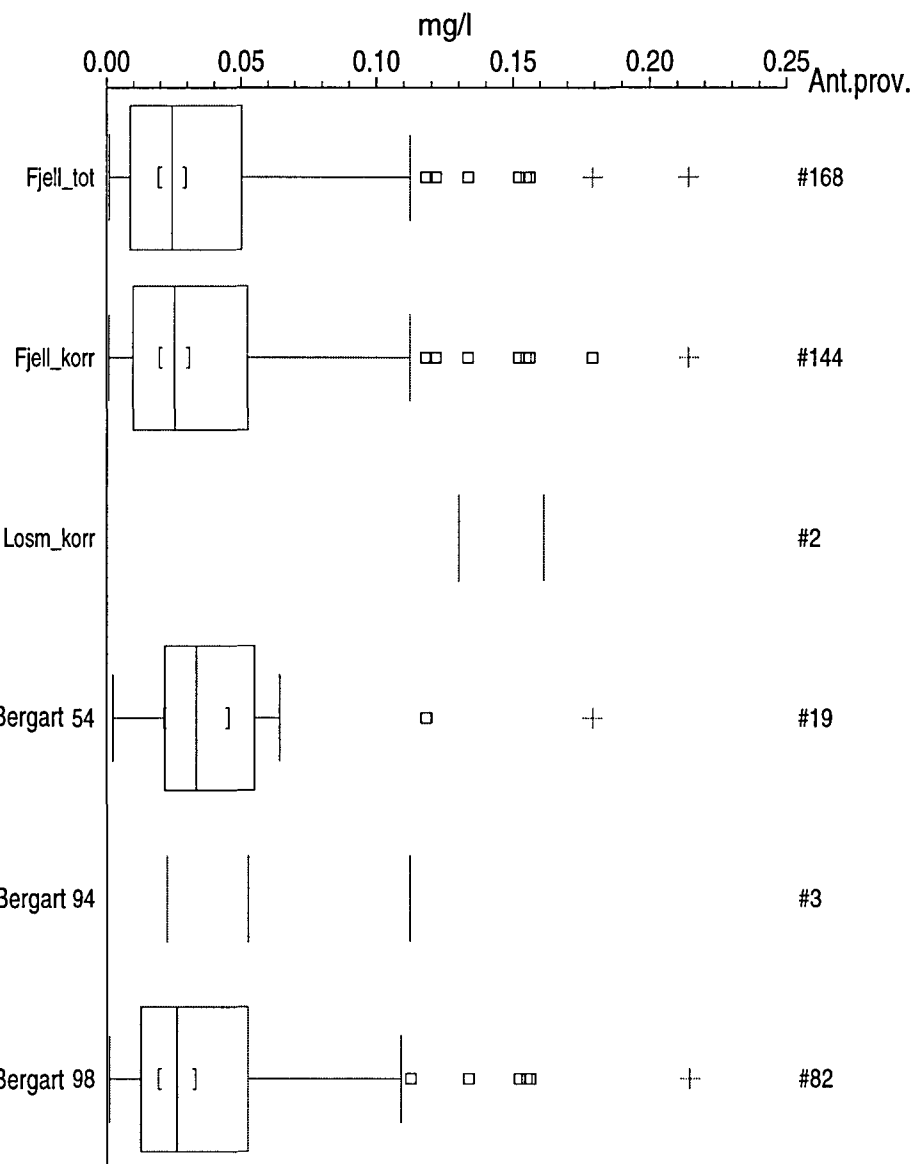
## BARIUM

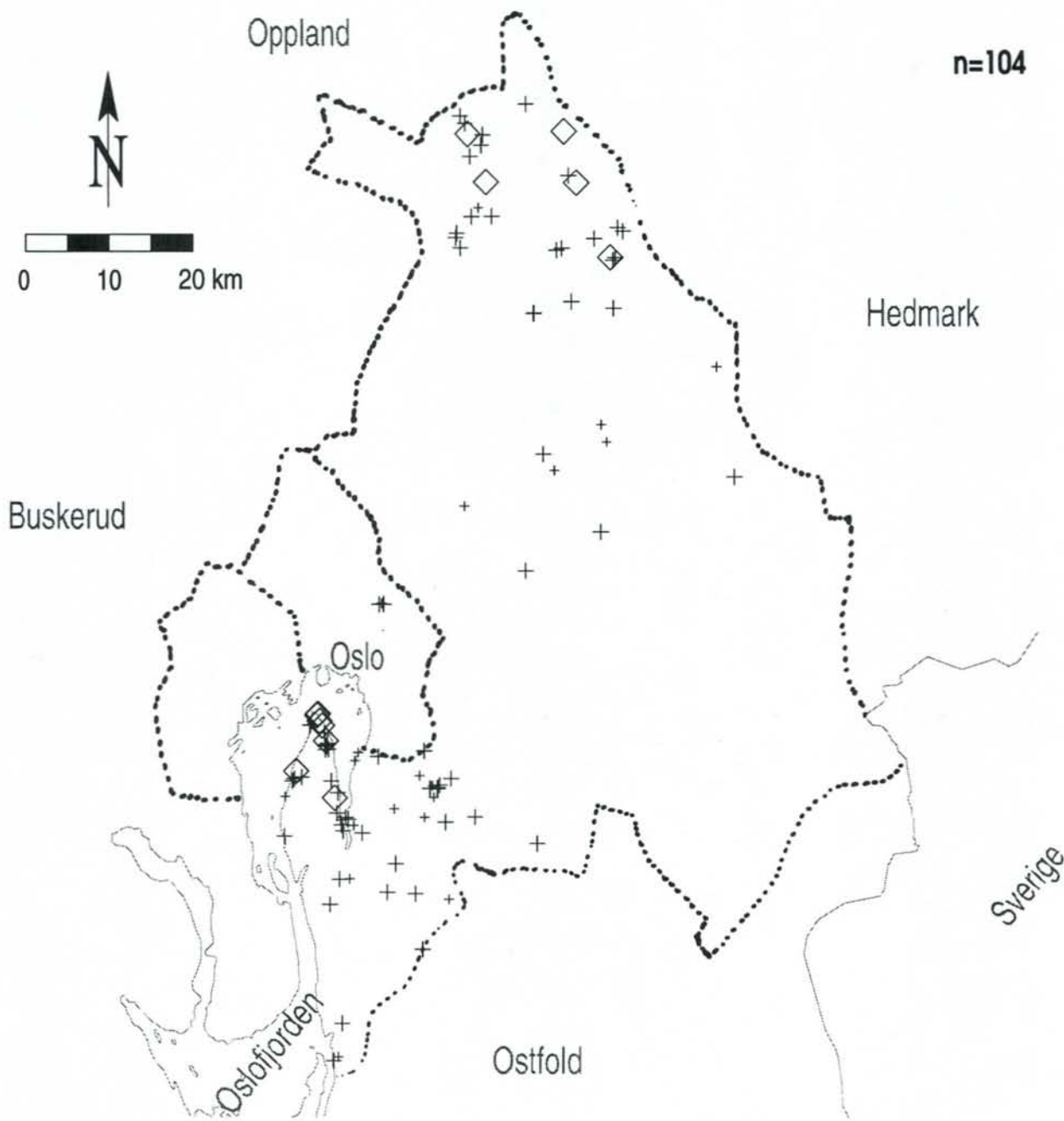
Figur 18a

### Fordeing innen hver kommune



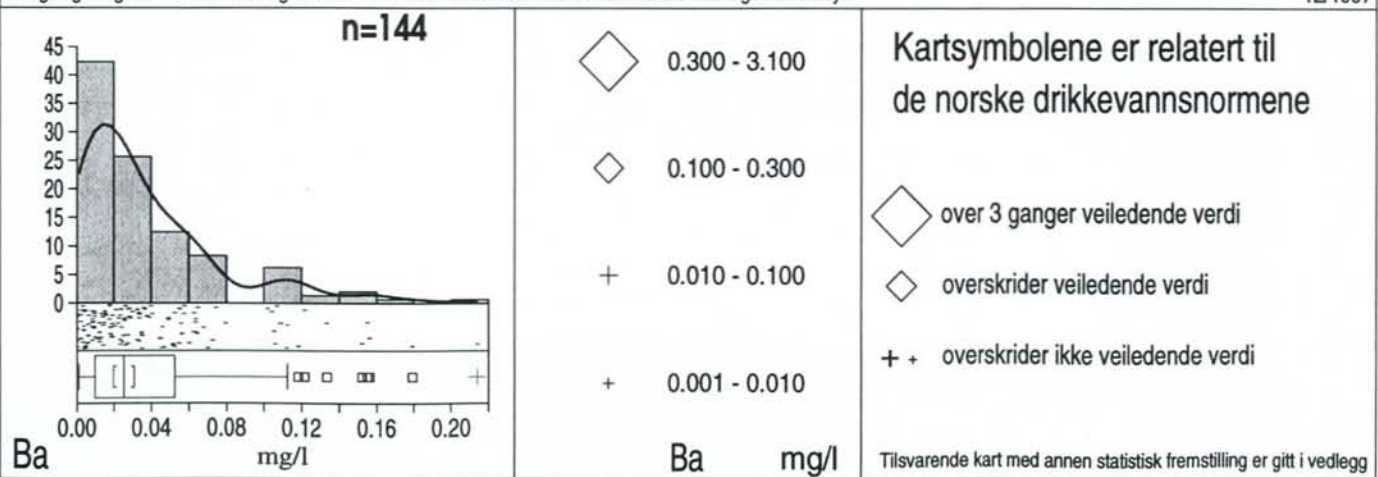
### Fordeing i bergart og bronntype



**AKERSHUS OG OSLO****BARIUM***Grunnvannskjemi i fjellbronner*

Norges geologiske undersøkelse og Statens stralevern i samarbeid med de kommunale næringsmiddeltilsyn

12/1997



## **6.16 Beryllium**

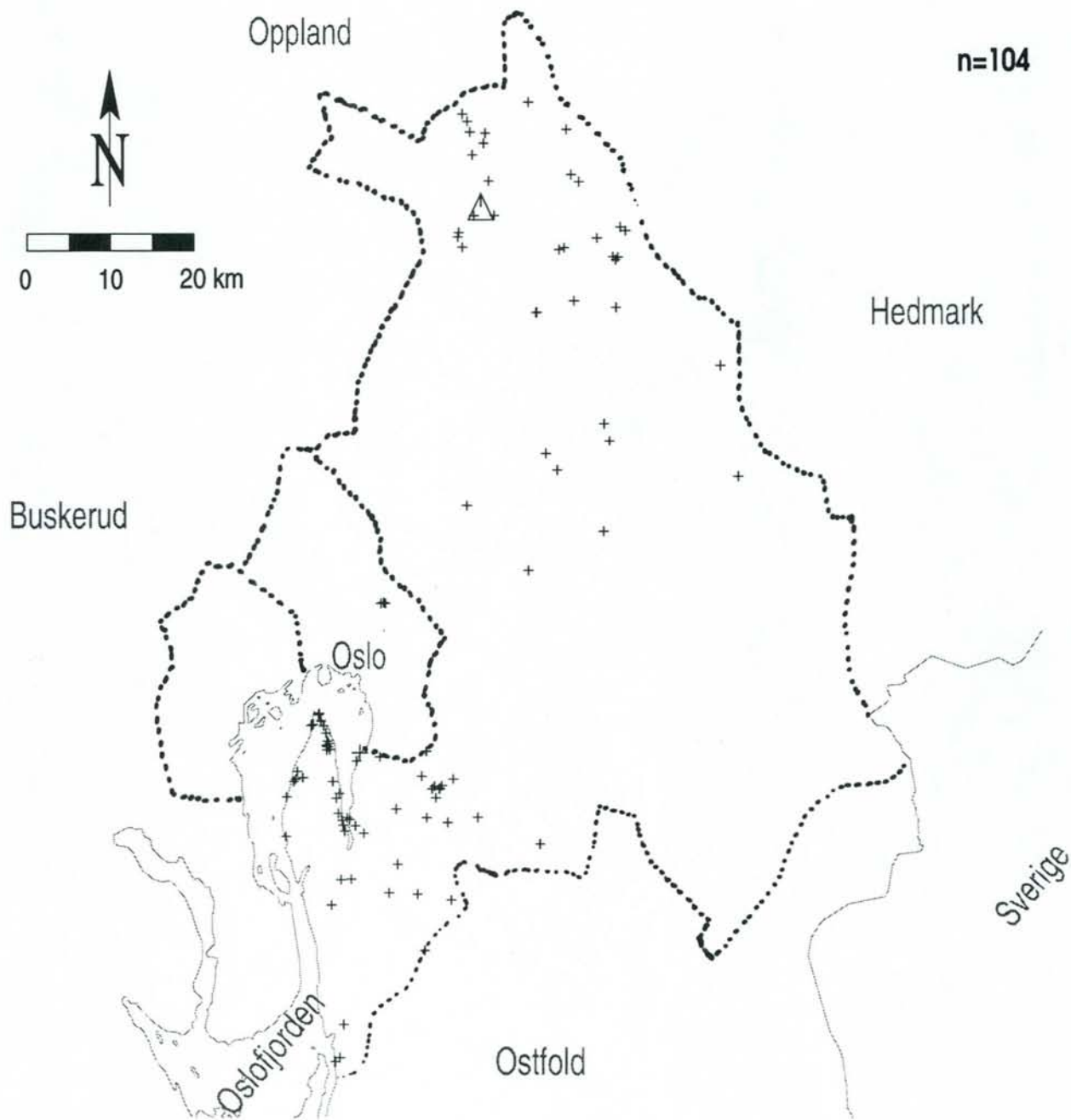
Det er et fåtall av de innsamlede vannprøvene i fylket som overskridet den analytiske deteksjonsgrensen for beryllium på 0,001 mg/l. Disse kommer fra Frogner, Nesodden, Hurdal og Oppegård, mens for de øvrige kommunene ligger medianverdien for berylliumkonsentrasjonen lavere enn deteksjonsgrensen. Høyeste registrerte verdi er fra bergartsgruppe 54 (permiske dyp- og gangbergarter) i Hurdal kommune (0,006 mg/l).

0,7 % (1 av 144) av de undersøkte fjellbrønnene i fylket overskridet den amerikanske drikkevannsnormen på 0,004 mg/l for beryllium. Med en deteksjonsgrense på 0,001 mg/l for analysemетодen kan vi ikke si hvor mange som overskridet den russiske normen på 0,0001 mg/l.

Figur 19a viser hvordan analyseresultatene fordeler seg statistisk i hver kommune og i forhold til bergart/brønntype. For en kort innføring i tolkning av boksplott-diagrammer vises det til avsnitt 5.5.1 og figur 3.

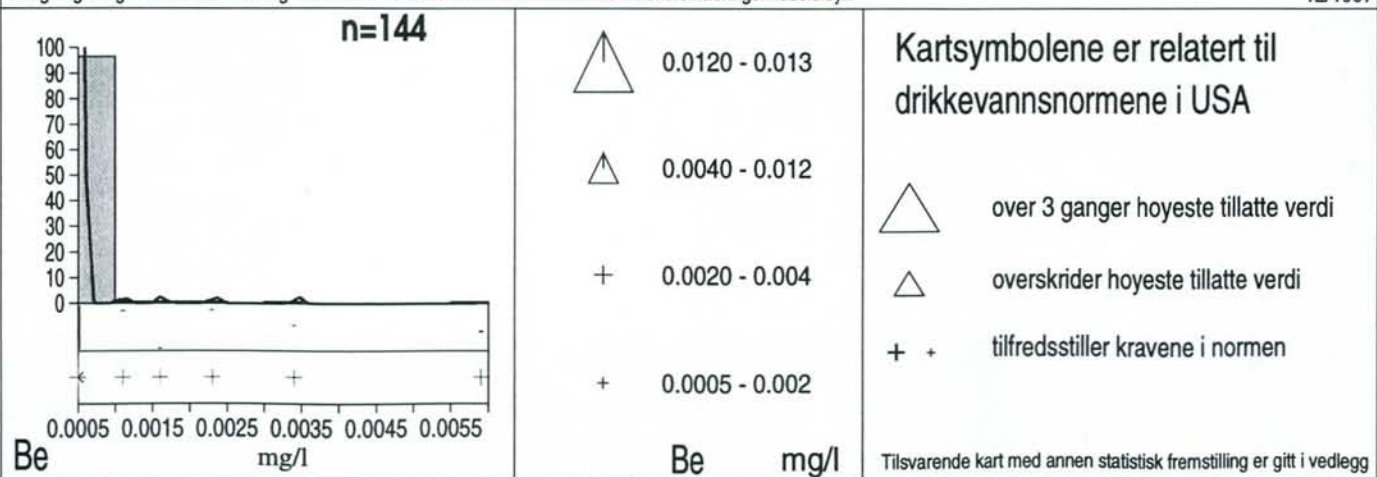
Figur 19b viser den geografiske fordelingen av analyseresultatene sett i forhold til amerikanske myndigheters kvalitetskrav til drikkevann (Fetter, 1994). Norske myndigheter har foreløpig ikke satt noen grense for beryllium i drikkevann. I nedre venstre hjørne av figuren er det vist et frekvensdiagram som gir et bilde av den prosentvise fordelingen av de ulike konsentrasjonene.



**AKERSHUS OG OSLO***Grunnvannskjemi i fjellbronner***BERYLLIUM**

Norges geologiske undersøkelse og Statens stralevern i samarbeid med de kommunale næringsmiddeltilsyn

12/1997



## 6.17 Sink

Uftra de innsamlede vannprøvene i fylket har Oslo kommune den høyeste medianverdien for sink i drikkevannsbrønner i fjell på 0,068 mg/l, mens Ullensaker kommune har den laveste medianverdien på 0,008 mg/l. Forskjellene er betinget av bergart og av grunnvannets surhetsgrad.

Brønner i bergartsgruppe 54 (permiske dyp- og gangbergarter) har den høyeste mediankonsentrasjonen på 0,081 mg/l. Den laveste mediankonsentrasjonen i fylket forekommer i bergartsgruppe 98 (prekambrisisk gneis og migmatitt). Her er medianen 0,03 mg/l. Medianverdien for hele datasettet (Fjell\_korr) er 0,036 mg/l. Høyeste registrerte sinkinnhold i grunnvann i fjell i Oslo og Akershus er fra Nesodden kommune (0,93 mg/l).

4,9 % (7 av 144) av de undersøkte fjellbrønnene i fylket overskridt drikkevannsnormen på 0,3 mg/l for sink.

Figur 20a viser hvordan analyseresultatene fordeler seg statistisk i hver kommune og i forhold til bergart/brønntype. For en kort innføring i tolkning av boksplott-diagrammer vises det til avsnitt 5.5.1 og figur 3.

Figur 20b viser den geografiske fordelingen av analyseresultatene sett i forhold til myndighetenes kvalitetskrav til drikkevann (Sosial- og helsedepartementet, 1995). I tillegg er det i nedre venstre hjørne av figuren vist et frekvensdiagram som gir et bilde av den prosentvise fordelingen av de ulike konsentrasjonene.

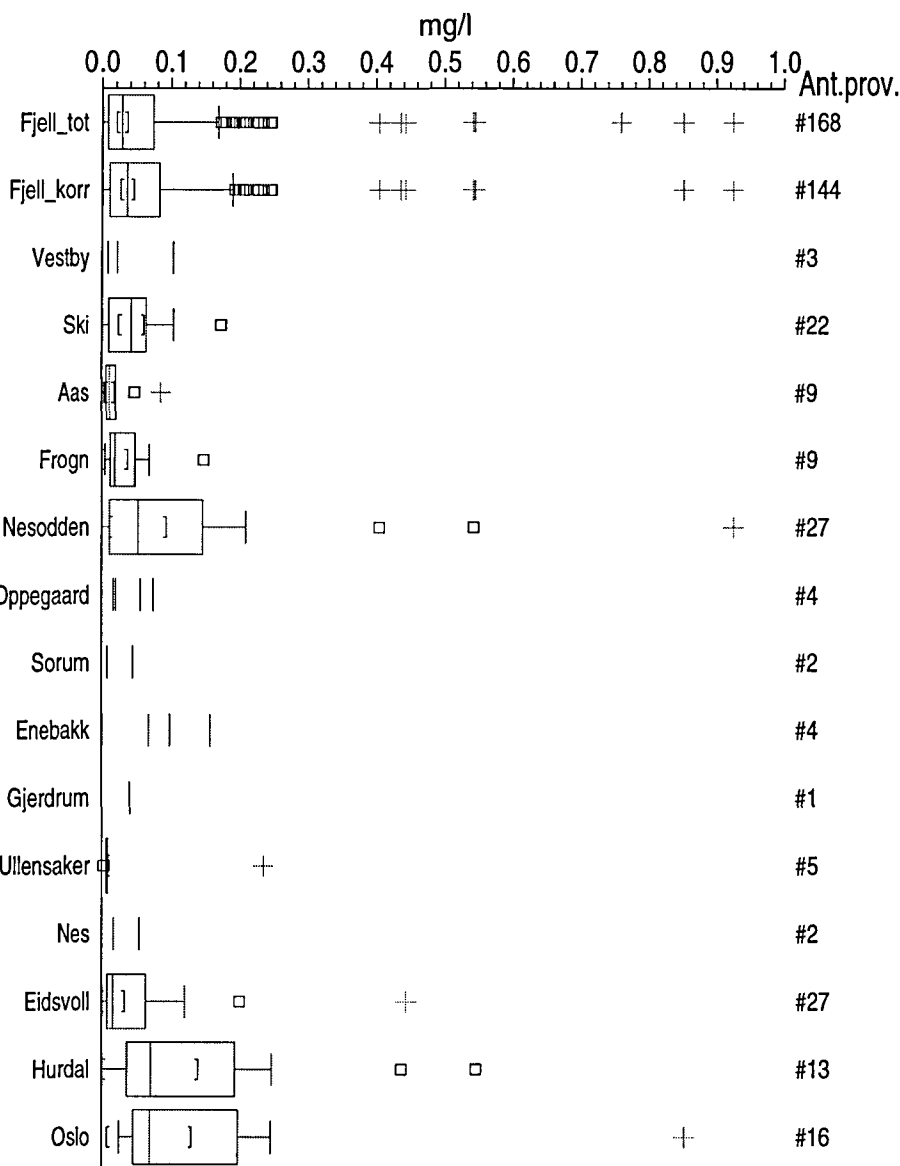
# AKERSHUS OG OSLO

## Grunnvanskjemi i fjellbronner

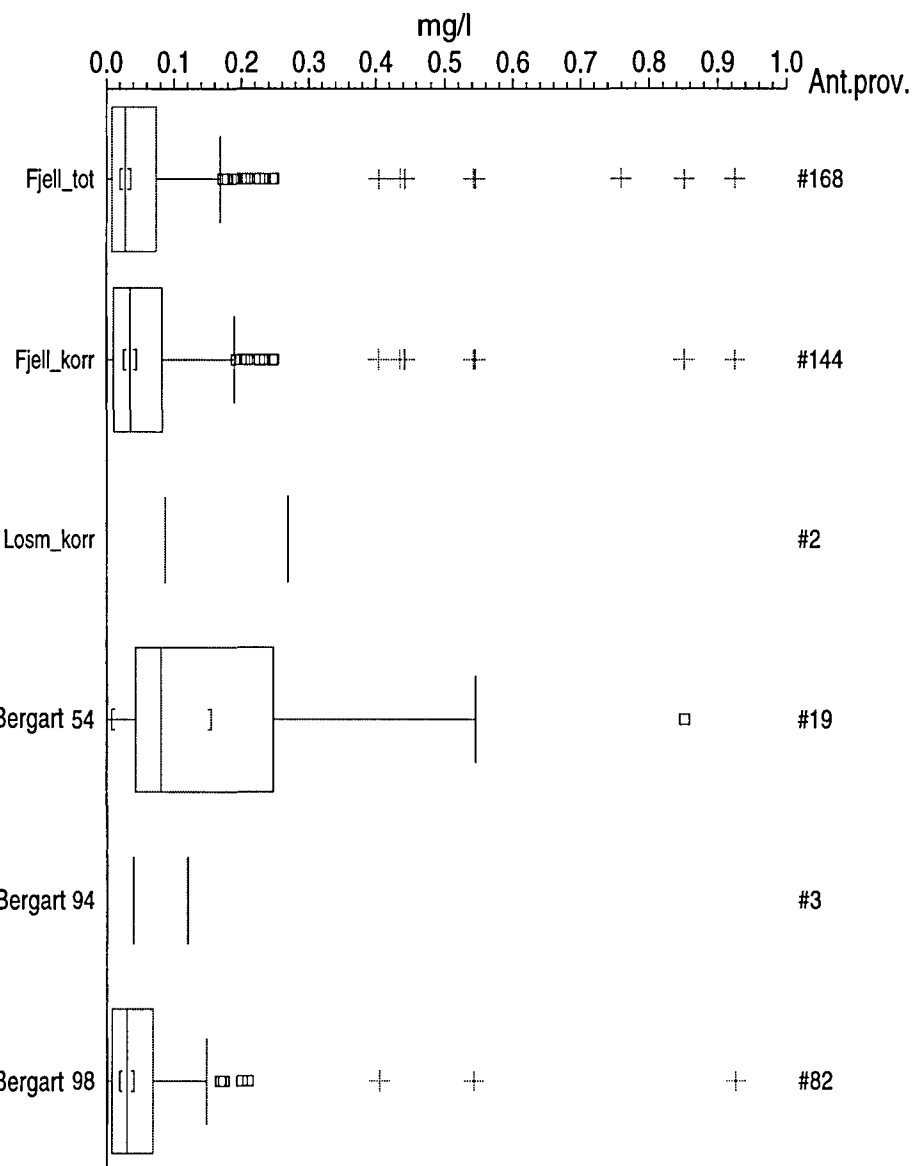
# SINK

Figur 20a

### *Fordeling innen hver kommune*



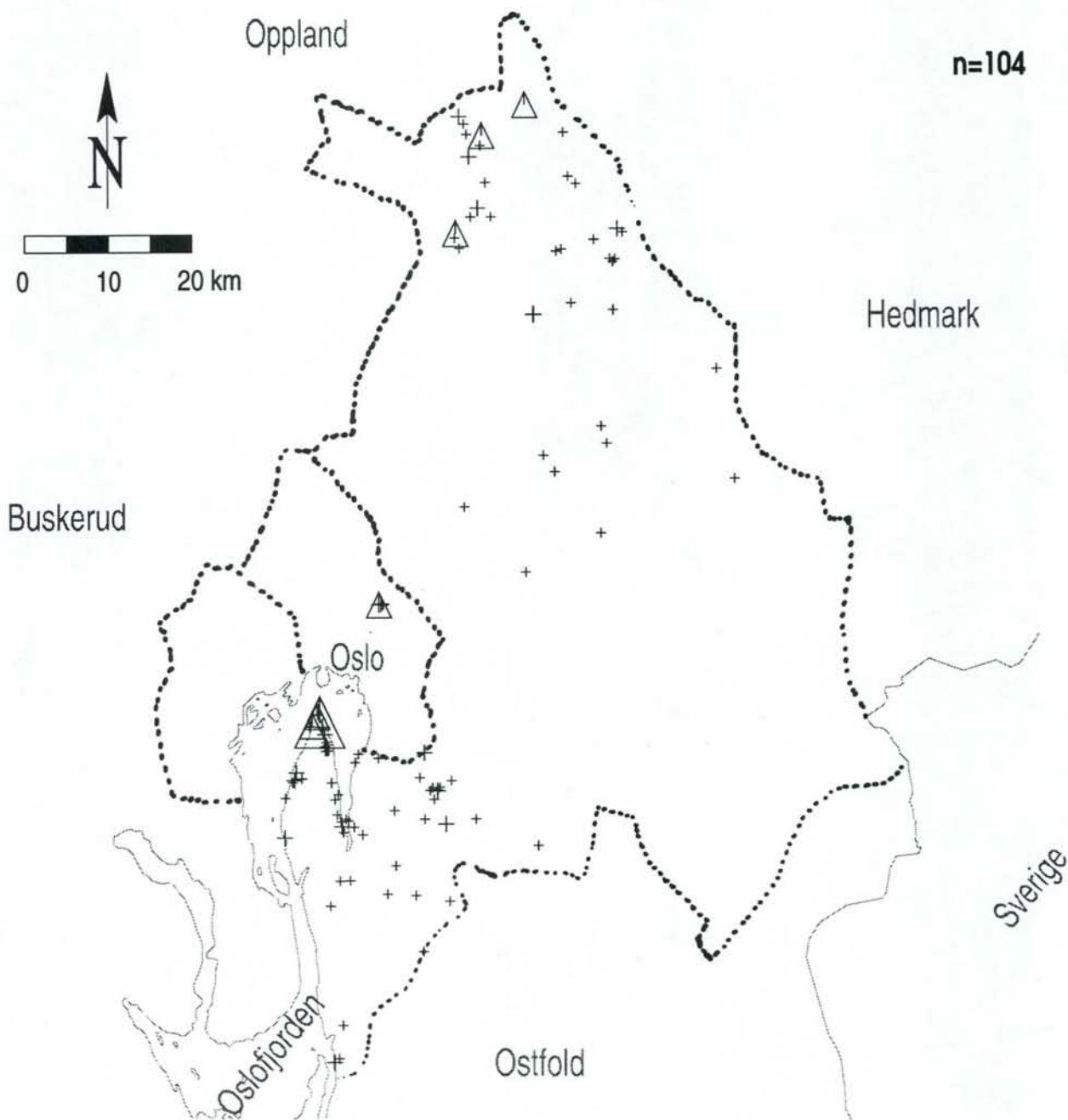
### *Fordeling i bergart og bronntype*



# AKERSHUS OG OSLO

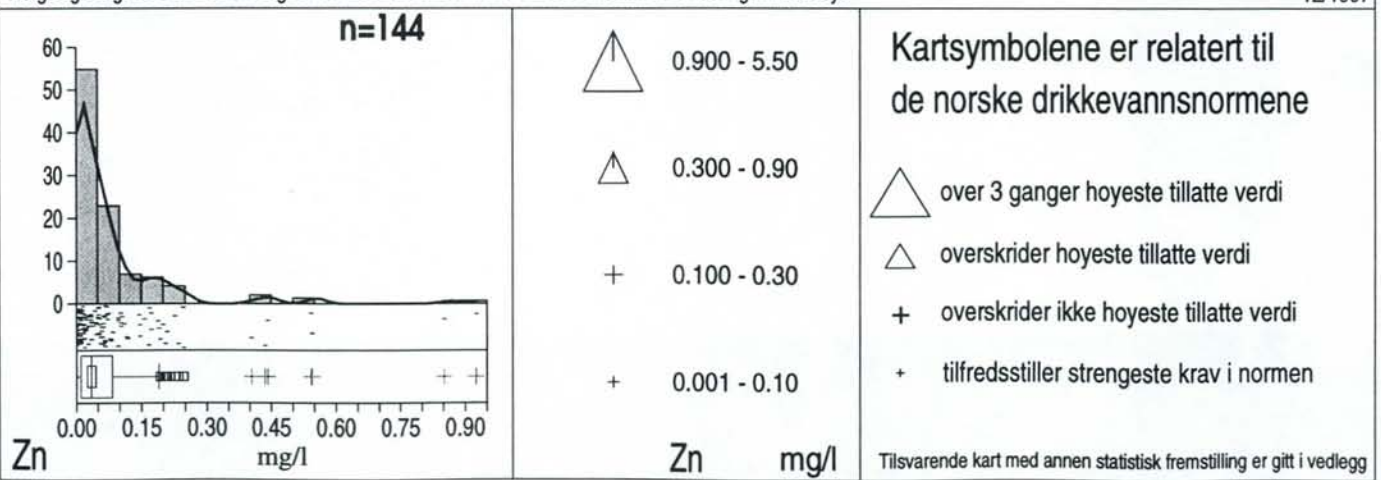
## Grunnvannskjemi i fjellbronner

# SINK



Norges geologiske undersøkelse og Statens strålevern i samarbeid med de kommunale næringsmiddeltilsyn

12/1997



## 7. KONKLUSJONER

En ikke ubetydelig andel av borede grunnvannsbrønner i fjell gir vann som er utenfor kvalitetsnormene for godt drikkevann. Nedenfor er vist en tabell som sammenfatter andelen brønner i Oslo og Akershus som ikke tilfredsstiller drikkevannsnormen for en eller flere parametere. Tilsvarende tall for landet som helhet er også vist.

**Tabell 3: Oppsummering av andel fjellborebrønner (Fjell\_korr) med drikkevann utenfor normene.**

| Parameter   | Norm                 | Fotnote | Utenfor/total<br>(Oslo og<br>Akershus) | Utenfor/total<br>(Norge) |
|---|----------------------|---------|--|--------------------------|
| pH (surhetsgrad)  | < 8.5                | 1       | 2/144                                  | 97/1604                  |
|   | > 6.5                | 1       | 2/144                                  | 18/1604                  |
| Radon   | < 500 Bq/l           | 3       | 8/144                                  | 222/1601                 |
| Fluorid   | < 1.5 mg/l           | 1       | 10/144                                 | 258/1604                 |
| Natrium   | < 20 mg/l            | 2       | 33/144                                 | 579/1604                 |
|   | < 150 mg/l           | 1       | 1/144                                  | 46/1604                  |
| Alle ovenfornevnte<br>(pH, Rn (500 Bq/l), F og<br>Na (150 mg/l)). | I samsvar<br>Utenfor |         | 126/144<br>18/144                      | 1123/1601<br>478/1601    |
| Kalsium   | < 25 mg/l            | 2       | 108/144                                | 887/1604                 |
|   | > 15 mg/l            | 2       | 16/144                                 | 422/1604                 |
| Kalium  | < 12 mg/l            | 1       | 0/144                                  | 16/1604                  |
| Magnesium   | < 20 mg/l            | 1       | 2/144                                  | 18/1604                  |
| Barium  | < 100 µg/l           | 2       | 16/144                                 | 122/1604                 |
| Nitrat  | < 44 mg/l            | 1       | 2/144                                  | 13/1604                  |

1 = Høyeste (eller laveste) tillatte konsentrasjon

2 = Veiledende verdier

3 = Anbefalt tiltaksgrense

5,6 % av undersøkte fjellbrønner i Oslo og Akershus har høyere radonkonsentrasjoner enn anbefalt tiltaksgrense, mens tilsvarende prosentsats for landet som helhet er 13,9 %.

Fluoridinnholdet overskridet drikkevannsnormen i 6,9 % av undersøkte fjellbrønner i Oslo og Akershus og i 16,1 % for hele landet. Dersom en betrakter resultatene for pH, radon, fluorid og natrium under ett har 12,5 % av fjellbrønnene i Oslo og Akershus vannkvalitet som ikke tilfredsstiller kravene. Tilsvarende tall på landsbasis er 29,9 %.

Det er grunn til å understreke at de fleste «problemparametrene» (radon, fluor osv.) først og fremst forekommer i **brønner i fast fjell**, og at de fleste av disse brønnene forsyner forholdsvis få personer. Nesten alle større grunnvannsanlegg er basert på grunnvann i løsmasser, hvor slike problemer meget sjeldent forekommer.

Resultatene av denne undersøkelsen viser at både høye og lave verdier av et grunnstoff kan forekomme i samme område og at det er viktig å være klar over behovet for å **analyser** vann som skal brukes som drikkevann. Både brønneiere, brønnborere og lokale næringsmiddeltilsyn må ta ansvar for å fremskaffe kunnskap om vannets kjemiske sammensetning - og eventuelt iverksette tiltak for vannbehandling.

To typer tiltak kan gjennomføres dersom man oppdager problemparametre i vannet:

- Behandle vannet. Noen parametre kan behandles effektivt ved hjelp av enkle metoder. For eksempel kan radon meget enkelt fjernes ved lufting. Råd om tiltaksmetoder for radon fås hos Statens strålevern.

Andre parametre er vanskeligere å behandle (f.eks. fluorid og natrium), men teknikker som ionebytting og/eller ultrafiltrering kan anvendes. Råd om behandling fås hos Folkehelsa eller VVS-konsulenter.

- Minimalisere eksponering. For eksempel: I områder med fluorrikt vann, bør man vurdere å kutte ned andre fluorkilder (tablettter, tannkrem). Dette kan diskuteres med komunelegen eller tannlegen.

Når man installerer et vannbehandlingssystem, er det viktig å huske (minst) fire ting:

- (i) Du er kunden. Stol ikke på salgsbrosjyrer. Krev at leverandøren beviser at utstyret fungerer tilfredsstillende ved å få vannet analysert før og etter behandling.
- (ii) De aller fleste vannbehandlingsutstyr trenger vedlikehold. Dette kan være rengjøring, utskifting av filtre, regenerering av ionebyttere osv. Særlig kan gamle filtre (aktivt kull osv.) fungere som ynglelass for bakterier!
- (iii) Du trenger ikke å behandle alt vann - det er vanligvis en sammenheng mellom mengde vann som behandles og pris. Har man problem med høyt fluorinnhold, kan det være nok å behandle vannet ved kranen som brukes til drikkevann. Man trenger ikke å behandle badevannet! Har man et problem med hardhet, derimot, er det spesielt vann som brukes i varmtvannsbeholder, vaskemaskin osv. som trenger avherding. Noen undersøkelser tyder derimot på at litt hardhet i selve drikkevannet kan være gunstig for helsen!
- (iv) Noen behandlingsmetoder kan ha negative virkninger i tillegg til de positive. Noen avherdingsanlegg bytter ut kalsium i vannet med natrium. Dette kan være ugunstig for personer som trenger et natriumfattig kosthold.

Videre råd om behandlingsmuligheter for radon og fluor finnes i vedlegg 7. For brukervennlig informasjon om behandling av andre parametre slik som hardhet, saltinnhold, jern osv. henvises det til Grundfos (1988).

På Internett kan det finnes råd om behandling av ulike parametre i vann hos flere offentlige amerikanske servere (engelskspråklige), samt (forhåpentligvis) oppdaterte priser, bl.a. i:

- (i) Mississippi State University på <http://aac.msstate.edu/pubs/pub1702.htm>
- (ii) Sioux Lands Information Service på <http://www.siouxlan.com/water/faq.html>

## 8. REFERANSER

- Asikainen M & Kahlos H (1979) Anomalously high concentrations of uranium, radium and radon in water from drilled wells in the Helsinki region. *Geochim. et Cosmochim. Acta*, 43, 1681-1686.
- Banks, D., Rohr-Torp, E. & Skarphagen, H. (1992) An integrated study of a Precambrian granite aquifer , Hvaler, Southeastern Norway. *NGU Bulletin* 422, 47-67.
- Banks, D., Røyset, O., Strand, T. & Skarphagen, H. (1993a) Radioelement & trace element concentrations in some Norwegian bedrock groundwaters - Appendix. *NGU Report 93.124*.
- Banks, D., Reimann, C., Røyset, O. & Skarphagen, H. (1993b) Natural concentrations of major and trace elements in some Norwegian bedrock groundwaters. *NGU Report 93.126*.
- Banks, D., Reimann, C., Røyset, O., Skarphagen, H. and Sæther, O.M. (1995a) Natural concentrations of major and trace elements in some Norwegian bedrock groundwaters. *Applied Geochemistry* 10, 1994, p. 1-16.
- Banks, D. Røyset, O., Strand, T. & Skarphagen, H. (1995b) Radioelement (U, Th, Rn) concentrations in Norwegian bedrock groundwaters. *Environmental Geology*, 25, 165-180.
- Banks, D., Reimann, C., Skarphagen, H. & Watkins, D. (1997) The comparative hydrogeochemistry of two granitic island aquifers: the Isles of Scilly, UK and the Hvaler Islands, Norway. *NGU report 97.070*.
- Barbier, J.P, Mazounie, P., Svedberg, G., Ginoccio, J.C., Schoeman, J.J. & Botha, G.R. (1984) Methods for reducing high fluoride content in drinking water. *Water Supply* 2, nr. 3-4 SS8, 1-15.
- Barnes, A.J. (1986) Water pollution control; national primary drinking water regulations; radionuclides. *U.S. Federal Register*, 51 / 189, 30/9/86, 34836-34862.
- Bhargava, D.S. & Killedar, D.J. (1991) Comparison of fluoride removal efficiencies of fishbone and animal-bone charcoals. J. Institution of Engineers (India), *Environmental Engineering Division*, 72, nr. EN1, 9-11.
- Bhargava, D.S. & Killedar, D.J. (1992) Fluoride adsorption on fishbone charcoal through a moving media adsorber. *Water Research*, 26, nr. 6, 781-788.
- Bishop, P.L. & Sansoucy, G. (1978) Fluoride removal from drinking water by fluidized activated alumina adsorption. *J. American Water Works Association* 70, nr. 10, 554 - 559.
- Books C. (1995) Orienterande undersökning av effekten av vattenbehandlingsutrustning på radon-halten i vatten från borrade brunnar. SSI-rapport 95-14. Statens strålskyddsinst., Stockholm.
- Bulusu, K.R. (1984) Defluoridation of waters using a combination of aluminium chloiride and aluminium sulphate. *Journal of Inst. Engineers, India, Environmental Engineering Division* 65, nr. EN1, 22-26.

- Bulusu, K.R. & Nawlakhe, W.G. (1990) Defluoridation of water with activated alumina continuous contacting system. *Indian Journal of Environmental Health* 32, nr. 3, 197-218.
- Cameron, A.P., Drury, P.J., Harston, G.A. & Ineson, P.R. (1988) Aluminium and fluoride in the water supply and their removal for haemodialysis. *Science of the Total Environment* 76, 19-28.
- Chaturvedi, A.K., Yadava, K.P., Pathak, K.C. & Singh, V.N. (1990) Defluoridation of water by adsorption on fly ash. *Air and Soil Pollution* 49, 51-61.
- Choi, W.W. & Chen, K.Y (1979) The removal of fluoride from waters by adsorption. *J. American Water Works Association* 71, nr. 10, 562-570.
- Clifford, D., Matson, J. & Kennedy, R. (1978) *Industrial Water Engineering* 15, nr. 7, 6-7 and 9-12.
- Contu, A., Crucu, M., Mulas, P., Sarritzu, G. & Scarpa, B. (1981) Removal of fluoride ions in hyperfluoridized waters (in Italian). *Inquinamento* 23, nr. 3, 45-48.
- Dieye, A., Mar, C. & Rumeau, M. (1994) Defluoridation of drinking water supplies. *Tribune de l'eau*, 47, nr. 568, 27-34.
- Doherty, J. (1996) *An analysis of the chemical composition of bedrock groundwaters in Trøndelag, Norway, with special consideration of Rn and U and Norwegian drinking water limits*. Thesis for the degree of B.Sc.(Hons.) in Environmental Geology, University of Sheffield, U.K., 110 pp. + appendices.
- Dunckley, G.G. & Malthus, R.S. (1961) Removal of fluoride from fluoridated water containing 1 ppm fluoride. *New Zealand Journal of Science* 4, 594-596.
- Fetter, C.W. (1994): *Applied Hydrogeology, 3rd edition*. Macmillan, 691 pp.
- Fox, K.R. & Sorg, T.J. (1987) Controlling arsenic, fluoride and uranium by point-of-use treatment. *J. American Water Works Association* 79, nr. 10, 81-84.
- Grundfos (1988) Vandforsyning. Grundfos International Education Centre, DK-8850 Bjerringbro, Denmark, 170 pp.
- Grønlie A. & Staw, J. (1987) Oppfølging av naturlige strålingsanomalier i Nord-Trøndelag med Fosen. *Norges geologiske undersøkelse rapport* 87.053.
- Guo-Xun, X. (1994) Fluoride removal from drinking water by activated aluminium with CO<sub>2</sub> gas acidizing method. *Aqua* 43, nr. 2, 58-64.
- Huxstep, M.R. & Sorg, T.J. (1987) Reverse osmosis treatment to remove inorganic contaminants from drinking water. *U.S. National Technical Information Service, Cincinnati, Ohio, Report PB88-147780*, 60 pp. (EPA 600/2-87/109).
- ICRP (1993) *Protection against radon-222 at home and at work: a report of a task group of the International Commission on Radiological Protection / adopted by the commission in September 1993*. International Commission on Radiological Protection Publication 65, Pergamon Press, Oxford, 45 pp.
- Jinadasa, K.B.P.N., Weerasooriya, S.W.R. & Dissanayake, C.B. (1988) A rapid method for the defluoridation of fluoride-rich drinking waters at village level. *International Journal of Environmental Studies* 31, nr. 4, 305-312.

- Jinadasa, K.B.P.N., Dissanayake, C.B. & Weerasooriya, S.V.R. (1991) Use of serpentinite in the defluoridation of fluoride-rich drinking water. *International Journal of Environmental Studies*, 37, 43-63.
- Karthikeyan, G., Meenakshi, S. & Apparao, B.V. (1994) Defluoridation technology based on activated alumina. *Proc. 20<sup>th</sup> WEDC Conference*, Colombo, Sri Lanka, 278-280.
- Killedar, D.J. & Bhargava, D.S. (1988) An overview of defluoridation methods (part I and II). *Journal of Public Health Engineers, India*, nr. 1 6-13 and nr. 2, 37-44.
- Killedar, D.J. & Bhargava, D.S. (1993) Effects of stirring rate and temperature on fluoride removal by fishbone charcoal. *Indian Journal of Environmental Health*, 35, nr. 2, 81-87.
- Kirjuhin, V.A., Korotkov, A.N. & Shvartsev, C.L. (1993) *Gidrogeohimija [Hydrogeochemistry - in Russian]*, Nedra, Moscow, 383 pp.
- Lidén E., Lindén A., Andersson L., Åkerblom G., Åkesson T. (1995) Radon i vatten från bergborrade brunnar. Resultat från en undersökning i Örebro kommun. SSI-rapport 95-18. Statens strålskyddsinstitut, Stockholm.
- Lubin, J.Y., Boice, J.D., Edling, C., Hornung, R.W., Hoew, G., Kunz, E., Kusiak, R.A., Morrison, I., Radford, E.P., Samet, J.M., Tirmarche, M., Woodward, A., Xiang, Y.S. & Pierce, D.A. (1994) Radon and lung cancer - a joint analysis of 11 underground miners' studies. *National Institute of Health Publication 94-3644, US Department of Health and Social Services*, 136 pp.
- Lubin, J.H. & Boice, J.D. (1997) Lung cancer risk from residential radon: meta-analysis of eight epidemiologic studies. *Journal of the National Cancer Institute (USA)*, 89(1).
- Mazounie, P. & Mouchet, P. (1984) Available processes for the removal of fluoride from drinking waters. *Revue Francaise des Sciences de l'Eau* 3, nr. 1, 29-51.
- Milvy, P. & Cothern, C.R. (1990) Scientific background for the development of regulations for radionuclides in drinking water. In Cothern C.R. & Rebers, P. (eds.) *Radon, Radium and Uranium in Drinking Water*. Chelsea, Michigan; Lewis Publishes, 1-16.
- Morland, G., Reimann, C., Skarphagen, H., Bjorvatn, K., Hall, G.E.M., Siewers, U. & Strand, T. (1995) Grunnvannskvalitet i borebrønner i fjell fra områder nær Oslo og Bergen. *NGU rapport 95.161*, 165 pp.
- Morland, G., Strand, T., Furuhaug, L. og Skarphagen, H. (1996) Måling av radon i råvann ved større grunnvannsverk i Norge. *NGU rapport 96.080*.
- Morland, G., Strand, T., Furuhaug, L., Skarphagen, H. og Banks, D. (in press) Radon Concentrations in Groundwater From Quaternary Sedimentary Aquifers in Relation to Underlying Bedrock Geology. Akseptert for publisering i *Ground Water*.
- Mose, D.G., Mushrush, G.W. & Chrosniak, C. (1990) Radioactive hazard of potable water in Virginia and Maryland. *Bulletin of Environmental Contamination and Toxicology* 44, 508-513.
- Narlakhe, W.G. & Bulusu, K.R. (1989) Nalgonda technique - a process for removal of excess fluoride from water. *Water Quality Bulletin* 14, nr. 4, 218-220.

- N'Dao, I., Lagaude, A. & Travi, Y. (1992) Experimental defluoridation of Senegalese underground waters with aluminium sulphate and basic aluminium polychlorosulphate. *Sciences et Technologies de l'Eau*, 26, nr. 3, 243-249.
- Norges geologiske undersøkelse (1997) NGU-Labs kvalitetssystem. *NGU-SD 3.1-3.9*
- O'Brien, W.J. (1983) Control options for nitrates and fluorides. *Water Engineering & Management* 130, nr. 7, 36-38 and 53.
- Padmasiri, J.P. & Fonseka, W.S.C.A. (1994) Low cost fluoride removal filters. *Proc. 20<sup>th</sup> WEDC Conference*, Colombo, Sri Lanka, 1994, 295-296.
- Padmasiri, J.P., Fonseka, W.C.S.A. & Liyanapatabendi, T. (1995) Low cost fluoride removal by an upward flow household filter. *Water Supply*, 13, 59-64.
- Potgieter, J.H. (1990) An experimental assessment of the efficacy of different defluoridation methods. *ChemSA* 16, nr. 12, 317-318 and 327. South Africa.
- Qianjie, Z. & Hanwen, L. (1992) Aluminium phosphate for the defluorination of potable water. *Environment International* 18, nr. 2, 307-310.
- Reimann, C. et. al. (1995) Trace element content of 150 hardrock groundwater samples from the surroundings of Bergen and Oslo. Foredrag på The 5<sup>th</sup> seminar on hydrogeology and environmental geochemistry, nov. 1995, NGU.
- Reimann, C., Hall, G.E.M., Siewers, U., Bjorvatn, K., Morland, G., Skarphagen, H. & Strand, T. (1996) Radon, fluoride and 62 elements as determined by ICP-MS in 145 Norwegian hard rock groundwater samples. *Science of the Total Environment* 192, 1-19.
- Rongshu, W., Haiming, L., Ping, N. & Ying, W. (1995) Study of a new adsorbent for fluoride removal from waters. *Water Quality Research Journal of Canada*, 30, 81-88.
- Rubel, F. & Woolsey, R.D. (1978) Removal of excess fluoride from drinking water. U.S. Environmental Protection Agency (USEPA), *Office of Water Supply, Washington DC, Report PB82-237090*, 16pp. (P04BRUB).
- Salonen, L. (1994) 238U series radionuclides as a source of increased radioactivity in groundwater originating from Finnish bedrock. Proc. IAHS Helsinki Conference «Future Groundwater Resources at Risk», *Int. Assoc. Hydrolog. Sci. Publ.* No. 222, 71-84.
- Samchenko, Z.A., Goronovskii, I.T. & Vakhnin, I.G. (1987) Defluoridation of water with type KU-23 macroporous cation exchanger in the Al-form. *Soviet Journal of Water Chemistry and Technology* 9, nr. 1, 112-114.
- Schneiter, R.W. & Middlebrooks, E.J. (1983) Arsenic and fluoride removal from groundwater by reverse osmosis. *Environment International* 9, nr. 4, 289-292.
- Sigmond, E.M.O. (1992) *Berggrunnkart, Norge med havområder*. Målestokk 1:3 millioner, Norges geologiske undersøkelse.
- Slipchenko, V.A. & Malitskaya, T.N. (1987) Absorption of fluorine from potable water by active carbon treated with aluminium sulphate. *Soviet Journal of Water Chemistry and Technology* 9, nr. 1, 38-40.

- Sosial- og helsedepartementet (1995) Forskrifter om vannforsyning og drikkevann m.m.  
 Nr. 68. I-9/95.
- Statens institutt for Folkehelse (1987) Kvalitetsnormer for drikkevann. Veiledningshefte G2.
- Statens strålevern (1995) Anbefalte tiltaksnivåer for radon i bo- og arbeidsmiljø,  
*Strålevernhefte nr. 5.*
- Statens strålevern (1996) Radon i inne-luft. Helsrisiko, målinger og mot-tiltak. *Strålevernhefte nr. 9.*
- Statens strålskyddsinstut (1996) Radon i vatten. *Swedish Radiaton Protection Institute report 96-03*, 12 pp.
- Swedjemark, G.A. (1993) Radon och radium i vatten. Underlag för bestämmelser. *Statens Strålskyddsinstut report 93-34*, Stockholm, 10 pp.
- Sæther, O.M., Reimann, C., Hilmo, B.O. & Taushani, E. (1995) Chemical composition of hard- and soft-rock groundwaters from central Norway with special consideration of fluoride and Norwegian drinking water limits. *Environmental Geology*, nr. 26, 147-156.
- Tjiook, T.K. (1983) Defluoridation of water supplies. *Waterlines* 2, nr. 1, 26-27.
- UNSCEAR (1994) Sources and effects of ionizing radiation. *1994 report to the General Assembly, with scientific annexes. Annex A - epidemiological studies of radiation carcinogenesis*. United Nations Scientific Committee on the Effects of Atomic Radiation, United Nations, New York, 11-184.
- United States Environmental Protection Agency (USEPA) (1984) Technologies and costs for the removal of fluoride from potable water supplies (draft). U.S. National Technical Information Service, Springfield, Virginia, Report No. PB85-198679, 120 pp. (04BaUNI).
- United States Environmental Protection Agency (USEPA) (1997) National Primary Drinking Water Regulations. <http://www.epa.gov/OGWDW/hfacts.html>
- Wasay, S.A., Haron, M.J. & Tokunaga, S. (1996) Adsorption of fluoride, phosphate and arsenate ions on lanthanum-impregnated silica gel. *Water Environment Research* 68, 295-300.
- WHO (1996) Indoor air quality: a risk-based approach to health criteria to radon indoors. *World Health Organisation, Regional Office for Europe, Report EUR/ICP/CEH 108(A)*.
- Wu, Y.C. (1978) Activated alumina removes fluoride ions from water. *Water & Sewage Works* 125, nr. 6, 76-78 and 80-82.
- Zevenbergen, C., van Reeuwijk, L.P., Frapporti, G., Louws, R.J. & Schuiling, R. (1996) A simple method for defluoridation of drinking water at village level by adsorption on Ando soil in Kenya. *Science of the Total Environment* 188, 225-232.
- Åkerblom, G. & Lindgren, J. (1996) Mapping of ground water radon potential. *Proc. IAEA Tech. Committee Meeting «The advantages and pitfalls of using uranium exploration data and techniques as well as other methods for the preparation of radioelement and radon maps for baseline information in environmental studies and monitoring»*. Vienna, May 1996.

## PRØVETAKINGSPROSEODYRE FOR MÅLING AV RADON I VANN



NB! TIDEN FRA PRØVETAKING TIL ANALYSE VED STATENS STRÅLEVERN MÅ VÆRE KORTEST MULIG (MAKS. 2-3 DAGER). TA DERFOR PRØVEN SLIK AT DEN KAN FORSENDES MED POST SAMME DAG OG PÅSE AT DET IKKE BLIR UNØDVENDIG FORSINKELSE I FORBINDELSE MED HELG OG HELLIGDAGER.

1. Skru på springen og la vannet renne i ca. 5 minutter. Dersom det skal måles på andre parametre enn radon, fylles en 500 ml plastflaske helt full med vann, forsegles og merkes godt.
2. Før trakten opp under springen mens vannet renner. Denne vil fylle seg med vann slik at utløpet på springen kommer inn i det vannvolumet som dannes innvendig i trakten (dersom det er problemer med å få trakten til å fylle seg helt, kan en redusere traktens åpning i bunnen ved å dekke denne delvis til med en finger). I denne situasjonen vil det renne vann ut av trakten i bunnen samtidig som vannet renner ut over kanten på toppen av trakten. Springens utløp er hele tiden under vannflaten innvendig i trakten.
3. Klargjør prøveglasset ved å skru korken av dette. Klargjør også pipetten ved å påse at den er innstilt på riktig volum (10 ml) samt at den er påmontert ny ren spiss.
4. Påse at det ikke er luftbobler i vannvolumet i trakten. Ta sprøyten og trykk stempelet inn til «første stoppunkt». Med stempelet i denne posisjonen føres spissen ned i senter av vannvolumet, stempelet slippes sakte ut slik at 10 ml vann suges inn i sprøytespissen.
5. Før sprøytespissen umiddelbart ned i bunnen på prøveglasset (inn under den væsken som er der) og sprøy ut prøven ved å trykke stempelet forsiktig inn til «første stoppunkt» samtidig som man trekker spissen av pipetten oppover i glasset etterhvert som det fylles. Påse at utløpet av spissen hele tiden er nede i væsken når den tømmes. Trykk så videre stempelet helt inn til «andre stoppunkt» slik at sprøyten tømmes helt før den trekkes ut av glasset.
6. Skru umiddelbart lokket godt på glasset og rist dette i noen sekunder. NB ! Noter tidspunktet (dato og klokkeslett) på vedlagte registreringsskjema.
7. Prøveglasset må kun merkes på korken. Det må ikke benyttes tusj eller klistrelapper på glassets vegger. Prøvene emballeres godt og sendes snarest sammen med registreringsskjema til Statens Strålevern.

# REGISTRERINGSSKJEMA FOR MÅLING AV RADON I VANN



**Statens  
strålevern**

Vennligst skriv med blokkbokstaver.

**Vannforsyning**

- |   |   |
|---|---|
| <input type="checkbox"/> Kommunalt vannverk | <input type="checkbox"/> Privat vannverk    |
| <input type="checkbox"/> Overflatevann      | <input type="checkbox"/> Privat boret brønn |

**Brønneiers**

navn: \_\_\_\_\_

Navn på vannverk : \_\_\_\_\_

Gårdsnr. : \_\_\_\_\_ Bruksnr. : \_\_\_\_\_

Koordinater : \_\_\_\_\_ ØV \_\_\_\_\_

Adresse: \_\_\_\_\_

Postnummer: \_\_\_\_\_ Sted: \_\_\_\_\_

Telefonpriv. \_\_\_\_\_ Arb. \_\_\_\_\_

Kommune: \_\_\_\_\_

**Er brønnen i :**

- |                                     |                                    |
|-------------------------------------|------------------------------------|
| <input type="checkbox"/> Fast fjell | <input type="checkbox"/> Løsmasser |
|-------------------------------------|------------------------------------|

Dybde (m) : \_\_\_\_\_

Antall personer i husstanden : \_\_\_\_\_

Derav personer under 18 år : \_\_\_\_\_

Antall husstander som betjenes : \_\_\_\_\_

**Brønnens bruk :**

- Næringsmiddelproduksjon
- Turistnæring
- Vannverk
- Husholdning
- Gårdsbruk
- Hytte
- Annen industri
- Energi
- Ikke i bruk

**Er det tidligere gjennomført radonmålinger i  
inneluft eller i vann i Deres bolig?**

Nei

Ja, i inneluft

År: \_\_\_\_\_ Måleperiode, \_\_\_\_\_

Resultat: \_\_\_\_\_ Bq/m<sup>3</sup>

Ja, i vann

År : \_\_\_\_\_ Resultat : \_\_\_\_\_ kBq/m<sup>3</sup>

**Befinner brønnen seg i områder med  
forekomster av granitt?**

Ja       Nei       Vet ikke

**Andre opplysninger om geologi :**

---



---



---

**PRØVEREGISTRERING :**

Dersom det er tatt en ekstra 500 ml vannprøve :

Noter prøvenr. : \_\_\_\_\_

Skyggelagte felt fylles ut av Statens Strålevern

|   |                    |
|---|--------------------|
| Prøve nr.:                                    | Prøvetakingspunkt: |
| Prøve tatt :                                  | dato _____ kl.     |
| Prøve avlest :                                | dato _____ kl      |
| Radonkonsentrasjon : _____ kBq/m <sup>3</sup> |                    |

|   |                    |
|---|--------------------|
| Prøve nr.:                                    | Prøvetakingspunkt: |
| Prøve tatt :                                  | dato _____ kl      |
| Prøve avlest :                                | dato _____ kl      |
| Radonkonsentrasjon : _____ kBq/m <sup>3</sup> |                    |

## REGISTRERINGSSKJEMA FOR MÅLING AV RADON I VANN



Statens  
strålevern

### Vannforsyning

- Kommunalt vannverk     Privat vannverk
- Overflatevann                 Privat boret brønn

### Brønneiers

navn: \_\_\_\_\_

Navn på vannverk : \_\_\_\_\_

Gårdsnr. : \_\_\_\_\_ Bruksnr. : \_\_\_\_\_

Koordinater : \_\_\_\_\_ ØV \_\_\_\_\_ NS

Adresse: \_\_\_\_\_

Postnummer: \_\_\_\_\_ Sted: \_\_\_\_\_

Teléfonopriv. \_\_\_\_\_ Arb. \_\_\_\_\_

Kommune: \_\_\_\_\_

- Er prøven levert :**
- Pga. generelt dårlig vannkvalitet
  - Annet

### Er brønnen i :

- Fast fjell                 Løsmasser

Dybde (m) : \_\_\_\_\_

Antall personer i husstanden : \_\_\_\_\_

Derav personer under 18 år : \_\_\_\_\_

Antall husstander som betjenes : \_\_\_\_\_

### Brønnens bruk :

- Næringsmiddelproduksjon
- Hytte
- Annen industri
- Ikke i bruk
- Gårdsbruk
- Turistnæring
- Energi
- Husholdning
- Løsmasser

**Er det installert vannbehandlingsanlegg i forbindelse med brønnen :**  ja     nei

**Passerer vannet et utgjevningsbasseng eller reservoar :**  ja     nei

**Er det tidligere gjennomført radonmålinger i inneluft eller i vann i Deres bolig?**

Nei

Ja, i inneluft

År: \_\_\_\_\_ Måleperiode, \_\_\_\_\_

Resultat: \_\_\_\_\_ Bq/m<sup>3</sup>

Ja, i vann

År : \_\_\_\_\_ Resultat : \_\_\_\_\_ kBq/m<sup>3</sup>

**Befinner brønnen seg i områder med forekomster av granitt?**

Ja     Nei     Vet ikke

**Andre opplysninger om geologi :**

---



---



---

### PRØVEREGISTRERING :

Dersom det er tatt en ekstra 500 ml vannprøve :

Noter prøvenr. : \_\_\_\_\_

Skyggelagte felt fylles ut av Statens Strålevern

Prøve nr. :

Prøve tatt : \_\_\_\_\_ dato \_\_\_\_\_ kl.

Prøve avlest : \_\_\_\_\_ dato \_\_\_\_\_ kl

Radonkoncentrasjon : \_\_\_\_\_ kBq/m<sup>3</sup>

Prøve nr. :

Prøve tatt : \_\_\_\_\_ dato \_\_\_\_\_ kl.

Prøve avlest : \_\_\_\_\_ dato \_\_\_\_\_ kl

Radonkoncentrasjon : \_\_\_\_\_ kBq/m<sup>3</sup>

## KODER FOR BERGARTSGRUPPER

- 54 Dyp- og gangbergarter av permisk alder (Oslofeltet).
- 57 Vulkanske og stedvis sedimentære bergarter av karbon/permisk alder (Oslofeltet).
- 64 Sedimentære bergarter, overveiende sandstein og konglomerat av devonsk alder.
- 67 Sandstein av oversilurisk alder.
- 71 Granitt til tonalitt i den kaledonske fjellkjede.
- 72 Gabbro, dioritt og ultramafiske bergarter i den kaledonske fjellkjede.
- 74 Omdannede sedimentære bergarter av kambro-silurisk alder (Kaledonske fjellkjede og Oslofeltet).
- 75 Kalkstein og marmor av kambro-silurisk alder.
- 76 Grønnstein, grønnskifer, amfibolitt og meta-andesitt av kambro-silurisk alder.
- 77 Metaryolitt, metaryodacitt av kambro-silurisk (delvis senprekambrisk) alder
- 79 Kvarts-sandstein av senprekambrisk alder.
- 80 Sandstein, skifer og konglomerat av senprekambrisk alder.
- 81 Kalkstein og skifer av senprekambrisk alder.
- 82 Omdannet sandstein, hovedsakelig meta-arkose og kvartsskifer av senprekambrisk alder.
- 85 Prekambriske bergarter av forskjellig opprinnelse i de kaledonske dekkene.
- 86 Charnockittiske til anortosittiske bergarter i den kaledonske fjellkjede.
- 87 Granitt til tonalitt av prekambrisk alder.
- 88 Amfibolitt og gneis av prekambrisk alder.
- 90 Omdannede sedimentære og vulkanske bergarter samt gneis av prekambrisk alder.
- 91 Gneis, migmatitt, foliert granitt og amfibolitt av prekambrisk alder (Nordvestre gneisregion).
- 92 Stedegen granitt til tonalitt av prekambrisk alder.
- 93 Stedegen charnockitt til anortositt av prekambrisk alder.
- 94 Stedegen gabbro, amfibolitt og ultramafiske bergarter av prekambrisk alder.
- 95 Metasandstein, glimmerskifer, konglomerat og gneis av prekambrisk alder.
- 96 Metabasalt, meta-andesitt og amfibolitt av prekambrisk alder.
- 97 Metaryolitt og metaryodacitt av prekambrisk alder.
- 98 Gneis, migmatitt, foliert granitt og amfibolitt av prekambrisk alder.

**pH:** UTFØRES ETTER NORSK STANDARD -NS 4720

**ALKALITET:** UTFØRES ETTER NGU-SD 3.7B (følger tidligere NS 4754)

INSTRUMENT TYPE : Radiometer Titralab 94 / Glasselektrode pHC 2701

| ANALYSE   | NEDRE BESTEMMELSES<br>GRENSE | ANALYSEUSIKKERHET   |  |  |
|-----------|------------------------------|---|--|--|
|           |                              | Måleområde  | Usikkerhet   |  |
| pH        | -                            | -   | ± 0.05 pH units  |  |
| Alkalitet | 0.04 mmol l <sup>-1</sup>    | 0.04 - 0.2 mmol l <sup>-1</sup><br>0.2 - 2.0 mmol l <sup>-1</sup><br>> 2.0 mmol l <sup>-1</sup> | p-alkalitet<br>± 0.02 mmol l <sup>-1</sup><br>± 5.0 % rel.<br>± 4.3 % rel. | t-alkalitet<br>± 0.04 mmol l <sup>-1</sup><br>± 4.0 % rel.<br>± 1.0 % rel. |

**PRESISJON :** Det kjøres rutinemessig kontrollprøver, som føres i kontrolldiagram (X-diagram). Disse kan forevises om ønskelig.

**ANTALL PRØVER:**

**ANMERKNINGER:** p-alkalitet gjelder kun for prøver med pH > 8.3

Rapporten må ikke gjengis i utdrag uten skriftlig godkjenning fra NGU-Lab.

|                  |                   |  |
|------------------|-------------------|--|
| Ferdig analysert | 24. november 1997 |  |
|------------------|-------------------|--|

Dato

OPERATØR

7 ANIONER : F<sup>-</sup>, Cl<sup>-</sup>, NO<sub>2</sub><sup>-</sup>, Br<sup>-</sup>, NO<sub>3</sub><sup>-</sup>, PO<sub>4</sub><sup>3-</sup>, SO<sub>4</sub><sup>2-</sup>

INSTRUMENT TYPE : DIONEX IONEKROMATOGRAF 2120i

**NEDRE BESTEMMELSESGRENSER**

| ION                             | F <sup>-</sup> | Cl <sup>-</sup> | NO <sub>2</sub> <sup>-*</sup> | Br <sup>-</sup> | NO <sub>3</sub> <sup>-</sup> | PO <sub>4</sub> <sup>3-</sup> | SO <sub>4</sub> <sup>2-</sup> |
|---------------------------------|----------------|-----------------|-------------------------------|-----------------|------------------------------|-------------------------------|-------------------------------|
| Nedre bestemmelsesgrense - mg/l | 0.05           | 0.1             | 0.05                          | 0.1             | 0.05                         | 0.2                           | 0.1                           |

ANALYSEUSIKKERHET : 10 % rel. for alle ionene

PRESISJON : Det kjøres rutinemessig kontrollprøver, som føres i kontrolldiagram (X-diagram). Disse kan forevises om ønskelig.

ANTALL PRØVER:

ANMERKNINGER:

\* NGU-LAB er ikke akkreditert for NO<sub>2</sub><sup>-</sup> \*

Rapporten må ikke gjengis i utdrag uten skriftlig godkjenning fra NGU-Lab.

|                  |                   |  |
|------------------|-------------------|--|
| Ferdig analysert | 24. november 1997 |  |
|------------------|-------------------|--|

Dato

OPERATØR

INSTRUMENT TYPE :

Thermo Jarrell Ash ICP 61

**NEDRE BESTEMMELSESGRENSER VANNANALYSER**

(For vannprøver som tynnes, blir deteksjonsgrensene automatisk omregnet).

| Si<br>ppb | Al<br>ppb | Fe<br>ppb | Ti<br>ppb | Mg<br>ppb | Ca<br>ppb | Na<br>ppb | K<br>ppb  | Mn<br>ppb | P<br>ppb  |
|-----------|-----------|-----------|-----------|-----------|-----------|-----------|-----------|-----------|-----------|
| 20.-      | 20.-      | 10.-      | 5.-       | 50.-      | 20.-      | 50.-      | 500.-     | 1.-       | 100.-     |
| Cu<br>ppb | Zn<br>ppb | Pb<br>ppb | Ni<br>ppb | Co<br>ppb | V<br>ppb  | Mo<br>ppb | Cd<br>ppb | Cr<br>ppb | Ba<br>ppb |
| 5.-       | 2.-       | 50.-      | 20.-      | 10.-      | 5.-       | 10.-      | 5.-       | 10.-      | 2.-       |
| Sr<br>ppb | Zr<br>ppb | Ag<br>ppb | B<br>ppb  | Be<br>ppb | Li<br>ppb | Sc<br>ppb | Ce<br>ppb | La<br>ppb | Y<br>ppb  |
| 1.-       | 5.-       | 10.-      | 20.-      | 1.-       | 5.0       | 1.-       | 50.-      | 10.-      | 1.-       |

**ANALYSEUSIKKERHET:**

± 20 rel. % for K, Pb, Cd, Li, Ce.

± 10 rel. % for Si, Al, Na, Mo, Cr, Zr, Ag, B og La.

± 5 rel. % for Fe, Ti, Mg, Ca, Mn, P, Cu, Zn, Ni, Co, V, Ba, Sr, Be, Sc, Y.

**PRESISJON :** Det kjøres rutinemessig kontrollprøver, som føres i kontrolldiagram (X-diagram). Disse kan forevises om ønskelig.

**ANTALL PRØVER:** xx

**ANMERKNINGER:**

Rapporten må ikke gjengis i utdrag uten skriftlig godkjenning fra NGU-Lab.

|                  |  |  |
|------------------|--|--|
| Ferdig analysert |  |  |
|------------------|--|--|

Dato

OPERATØR

## GEOKJEMISK FREMSTILLING

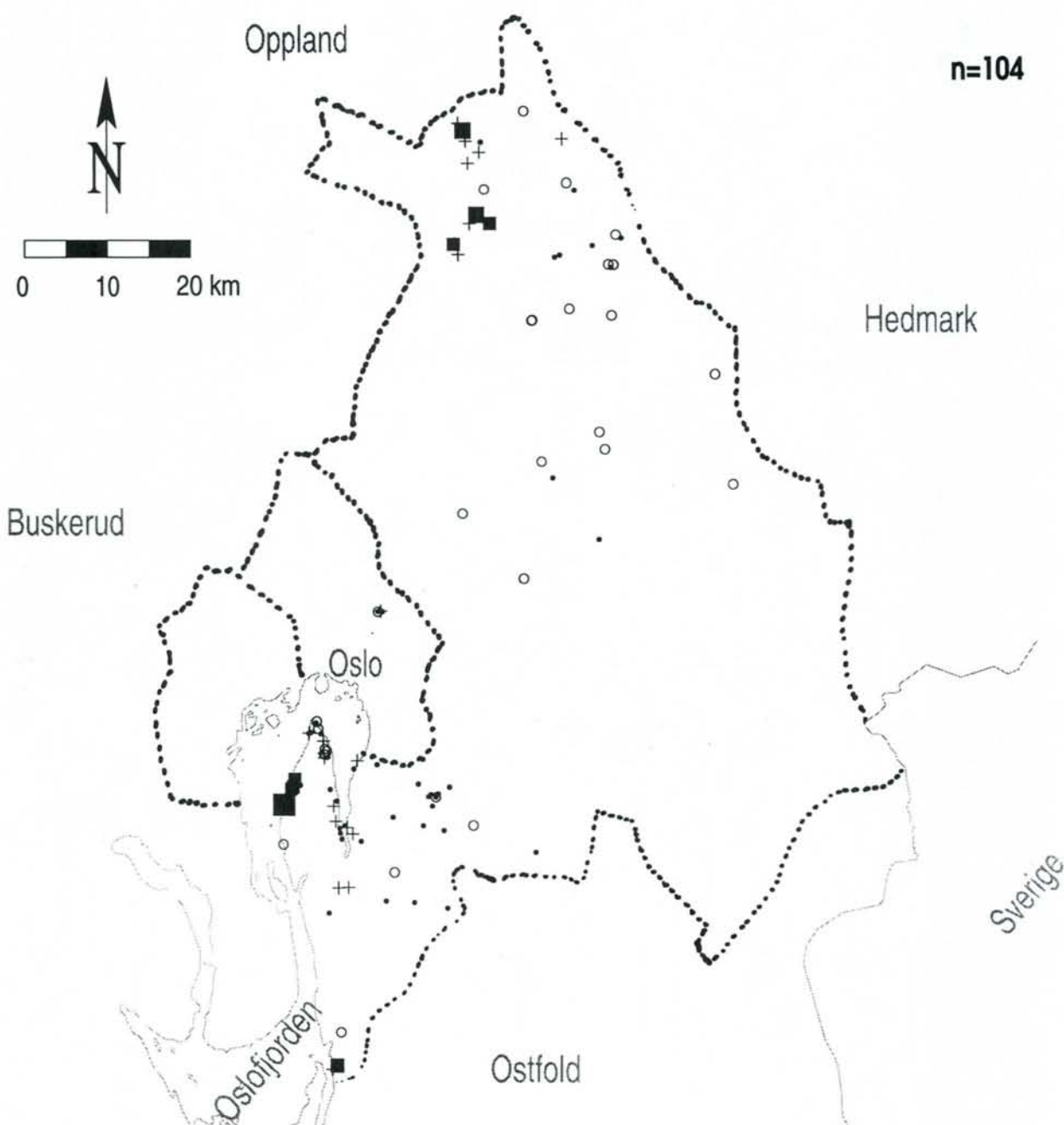
- |           |  |
|-----------|--|
| Figur 4c  | Presentasjon av resultat for radon     |
| Figur 5c  | Presentasjon av resultat for fluorid   |
| Figur 6c  | Presentasjon av resultat for natrium   |
| Figur 7c  | Presentasjon av resultat for klorid    |
| Figur 8c  | Presentasjon av resultat for pH        |
| Figur 9c  | Presentasjon av resultat for kalsium   |
| Figur 10c | Presentasjon av resultat for magnesium |
| Figur 11c | Presentasjon av resultat for sulfat    |
| Figur 12c | Presentasjon av resultat for alkalitet |
| Figur 13c | Presentasjon av resultat for jern      |
| Figur 14c | Presentasjon av resultat for mangan    |
| Figur 15c | Presentasjon av resultat for aluminium |
| Figur 16c | Presentasjon av resultat for nitrat    |
| Figur 17c | Presentasjon av resultat for kalium    |
| Figur 18c | Presentasjon av resultat for barium    |
| Figur 19c | Presentasjon av resultat for beryllium |
| Figur 20c | Presentasjon av resultat for sink      |

Figur 4c

# AKERSHUS OG OSLO

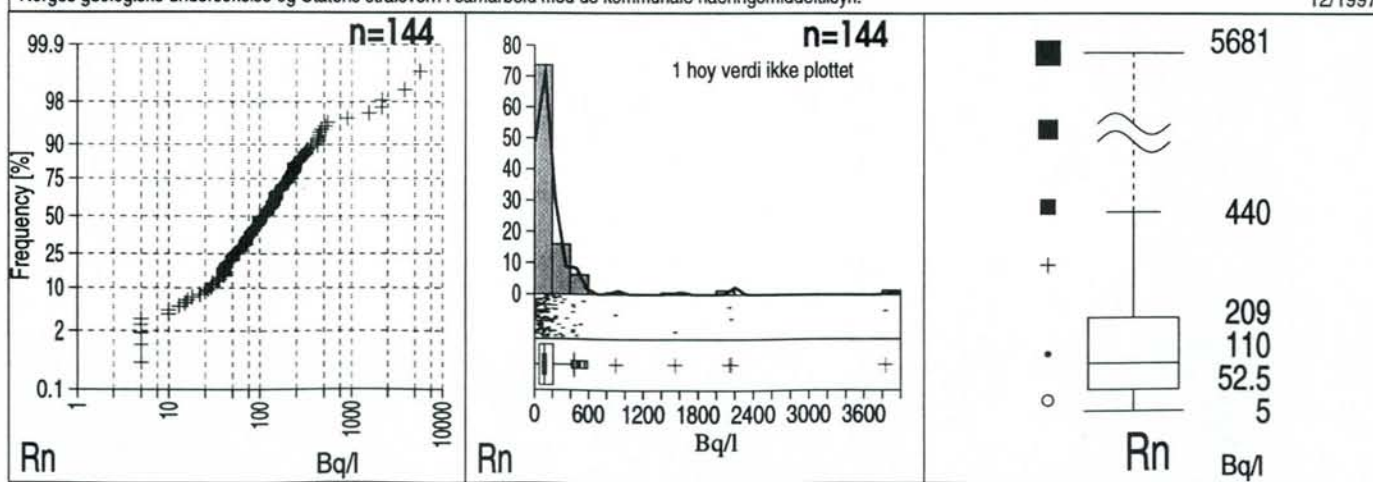
## Grunnvannskjemi i fjellbronner

# RADON



Norges geologiske undersøkelse og Statens stralevern i samarbeid med de kommunale næringsmiddeltilsyn.

12/1997

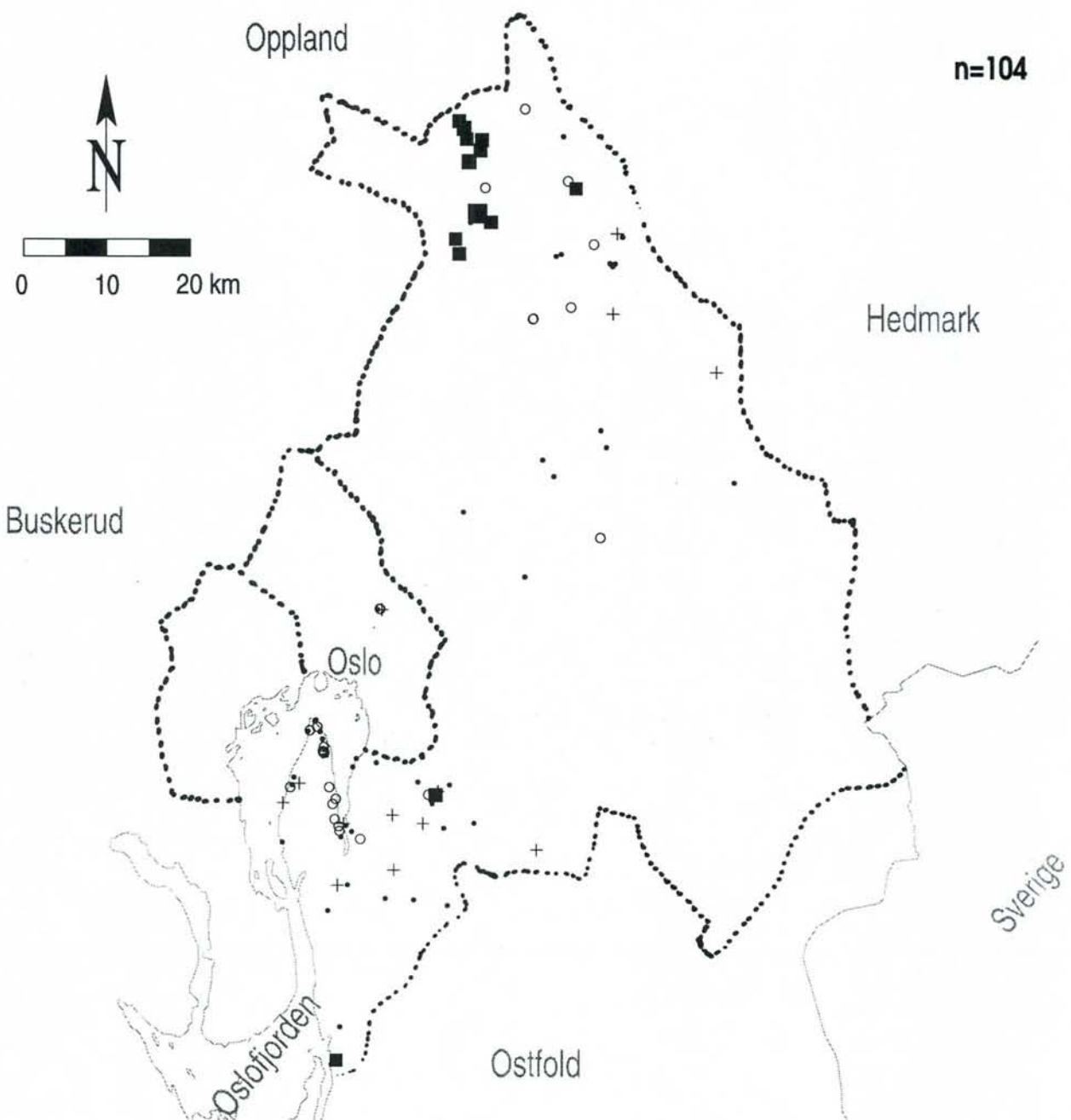


Figur 5c

# AKERSHUS OG OSLO

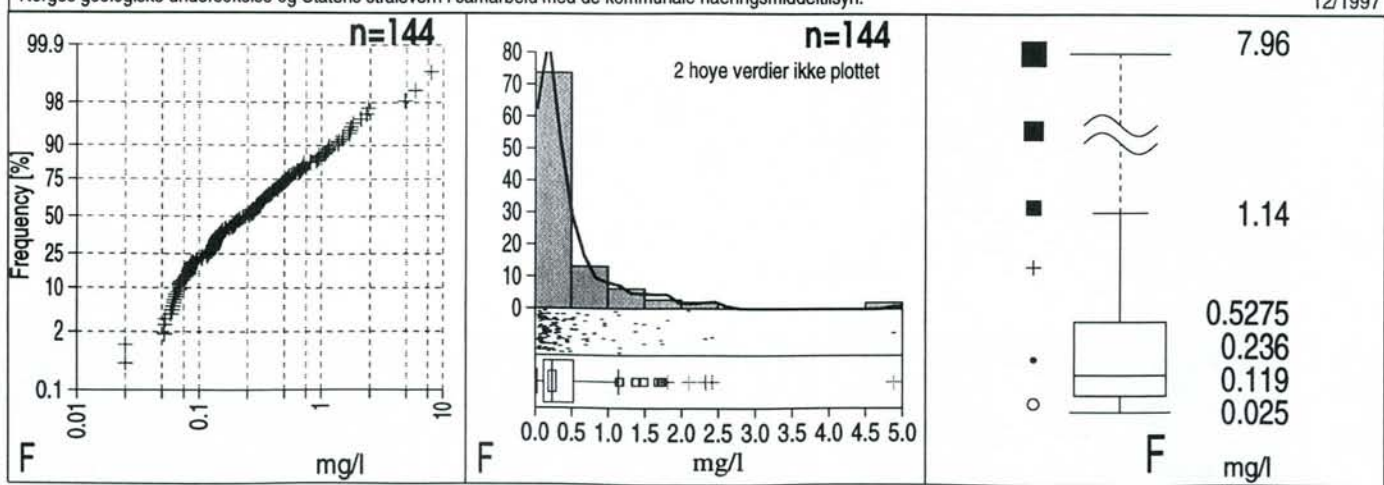
## Grunnvannskjemi i fjellbronner

# FLUORID



Norges geologiske undersøkelse og Statens stralevern i samarbeid med de kommunale næringsmiddeltilsyn.

12/1997

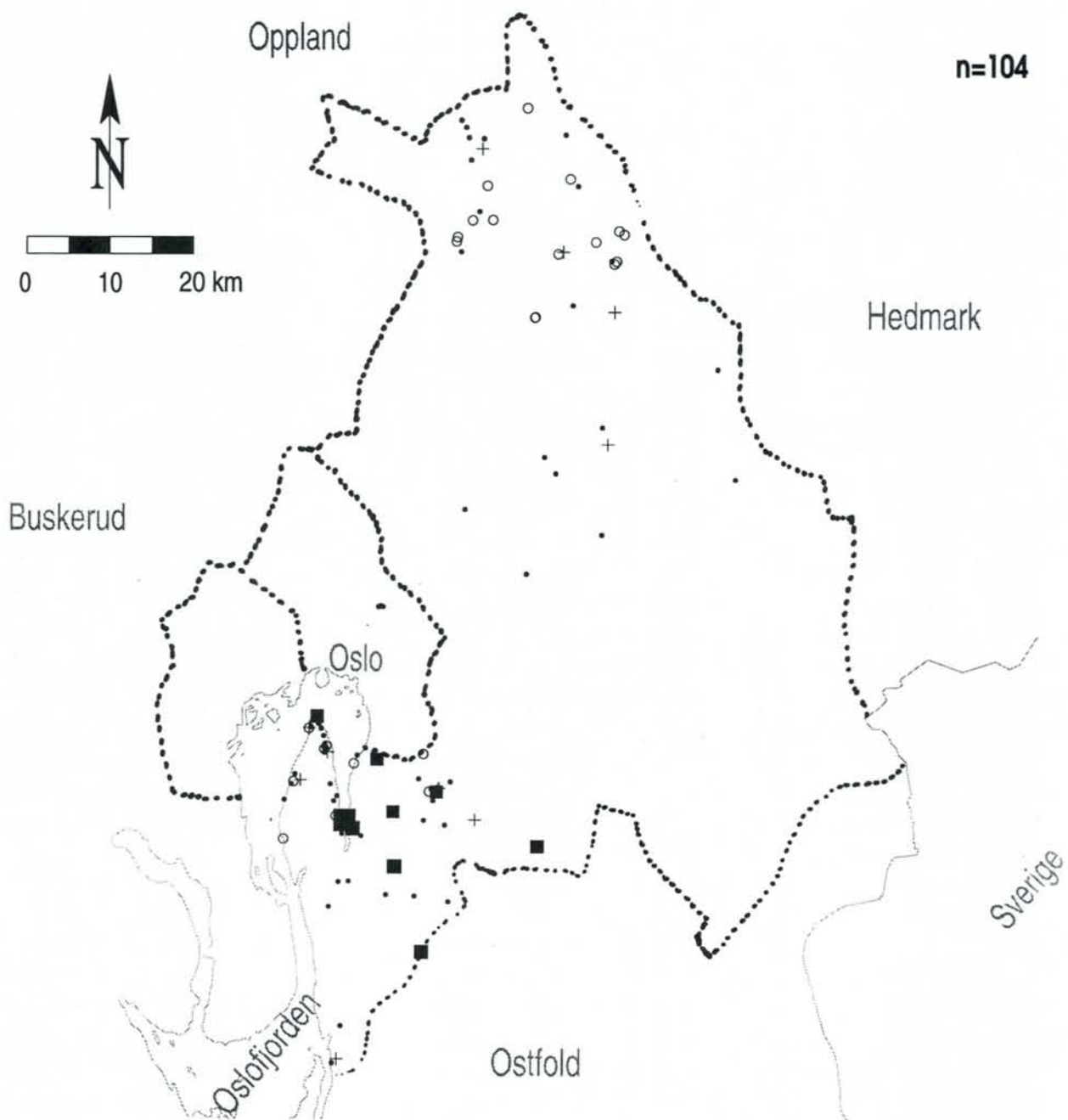


Figur 6c

# AKERSHUS OG OSLO

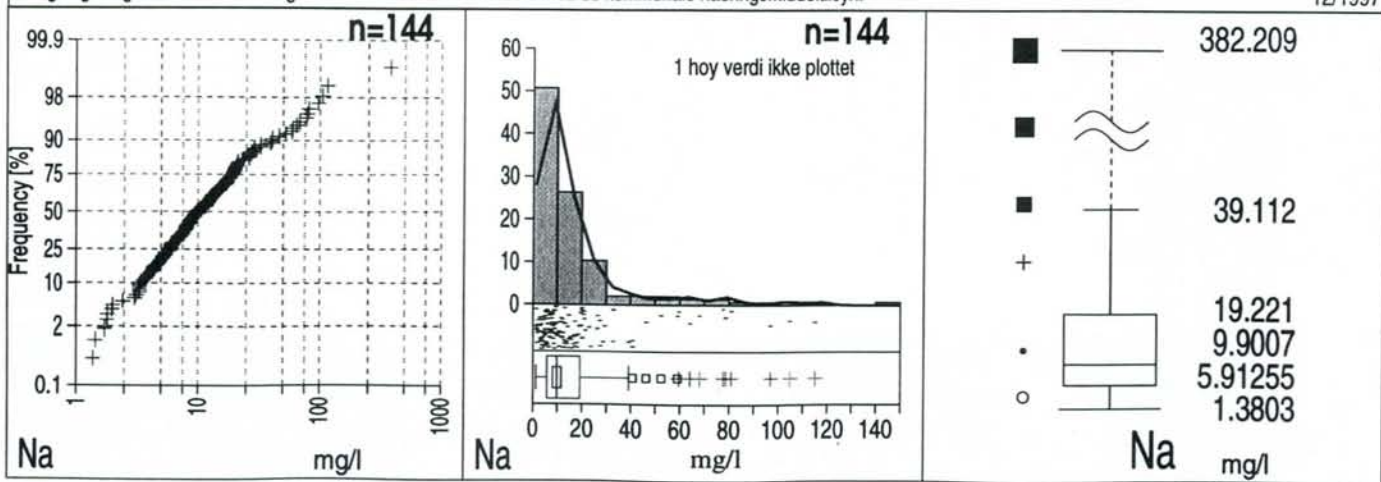
## Grunnvannskjemi i fjellbronner

# NATRIUM



Norges geologiske undersøkelse og Statens stralevern i samarbeid med de kommunale næringsmiddeltilsyn.

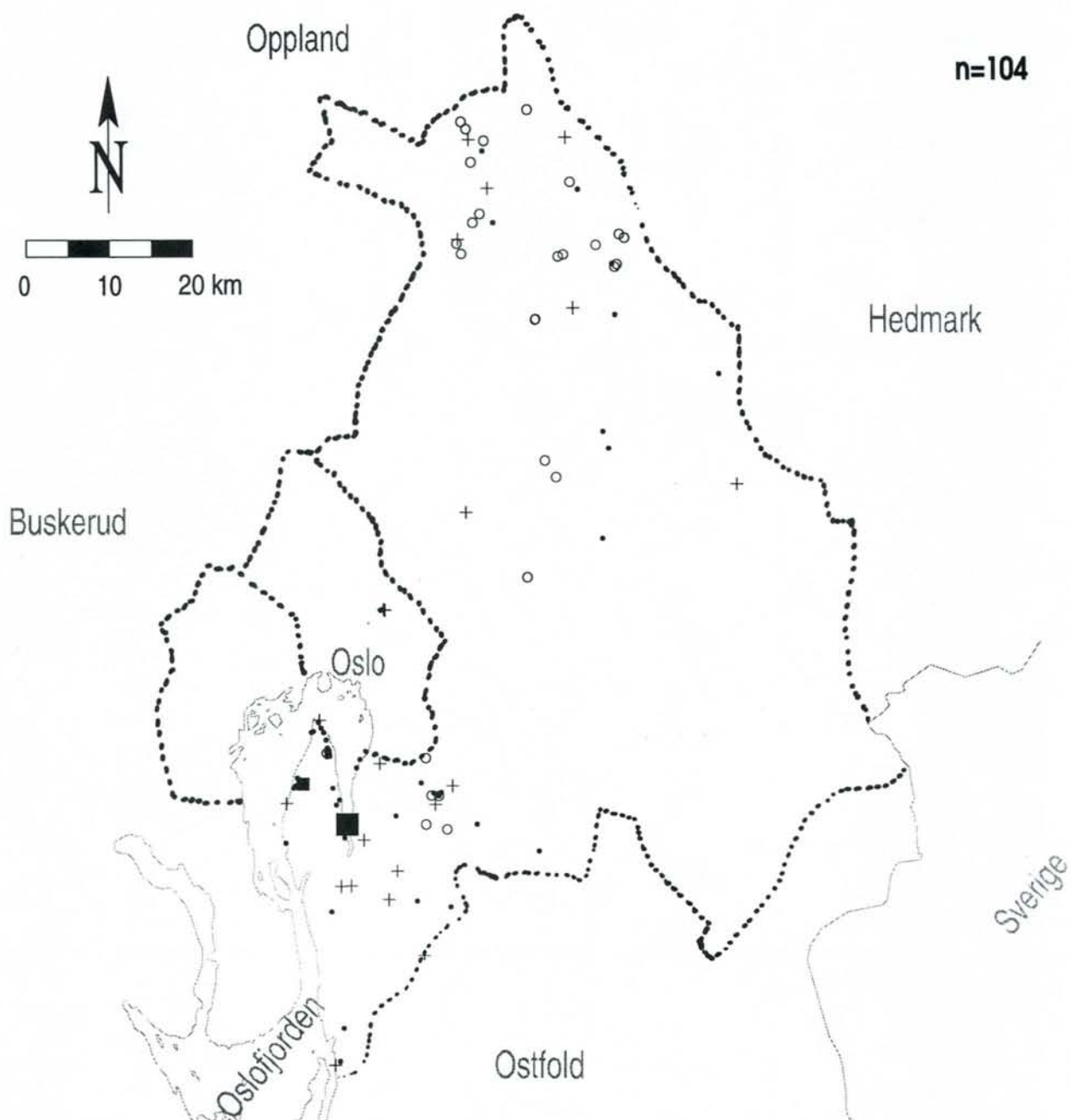
12/1997



# AKERSHUS OG OSLO

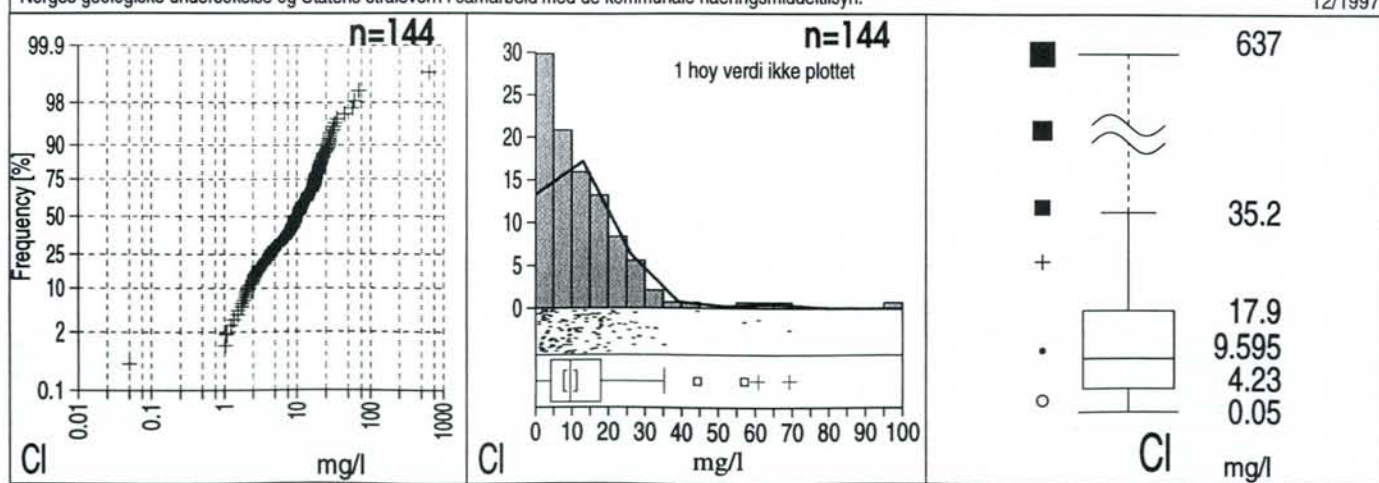
## Grunnvannskjemi i fjellbronner

# KLORID



Norges geologiske undersøkelse og Statens stralevern i samarbeid med de kommunale næringsmiddeltilsyn.

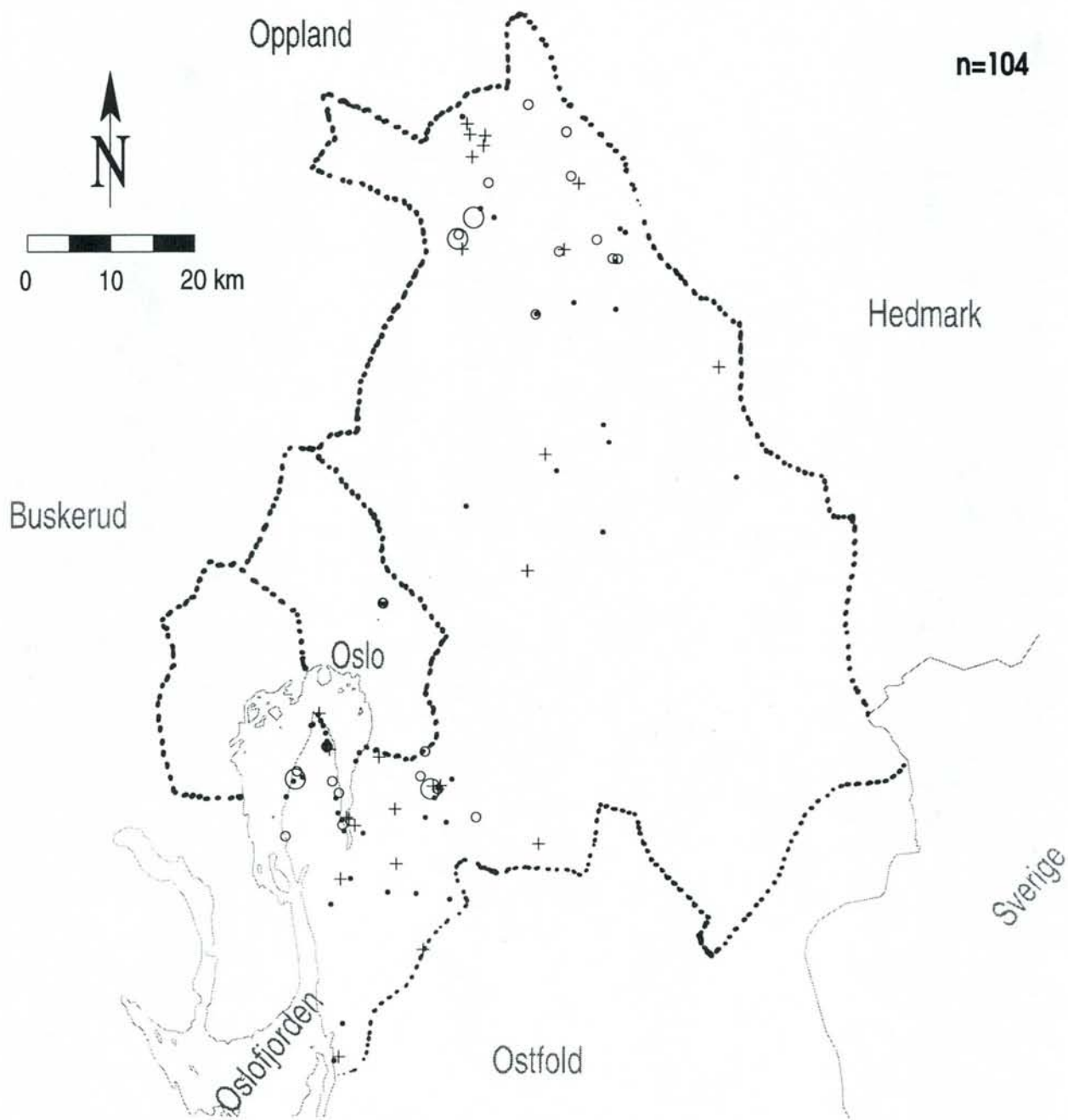
12/1997



# AKERSHUS OG OSLO

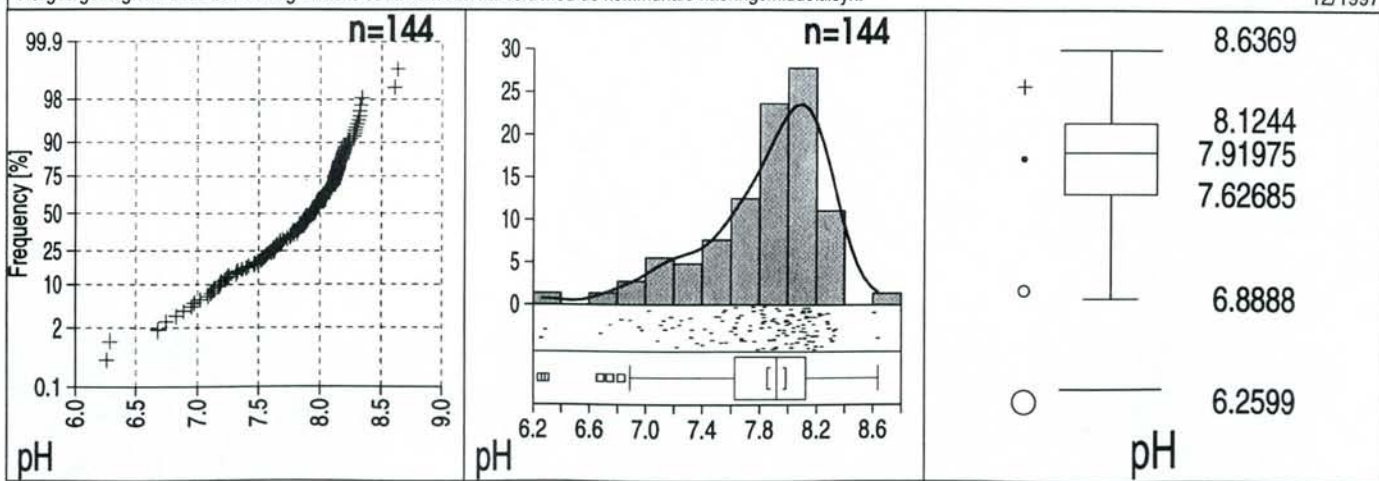
## Grunnvannskjemi i fjellbronner

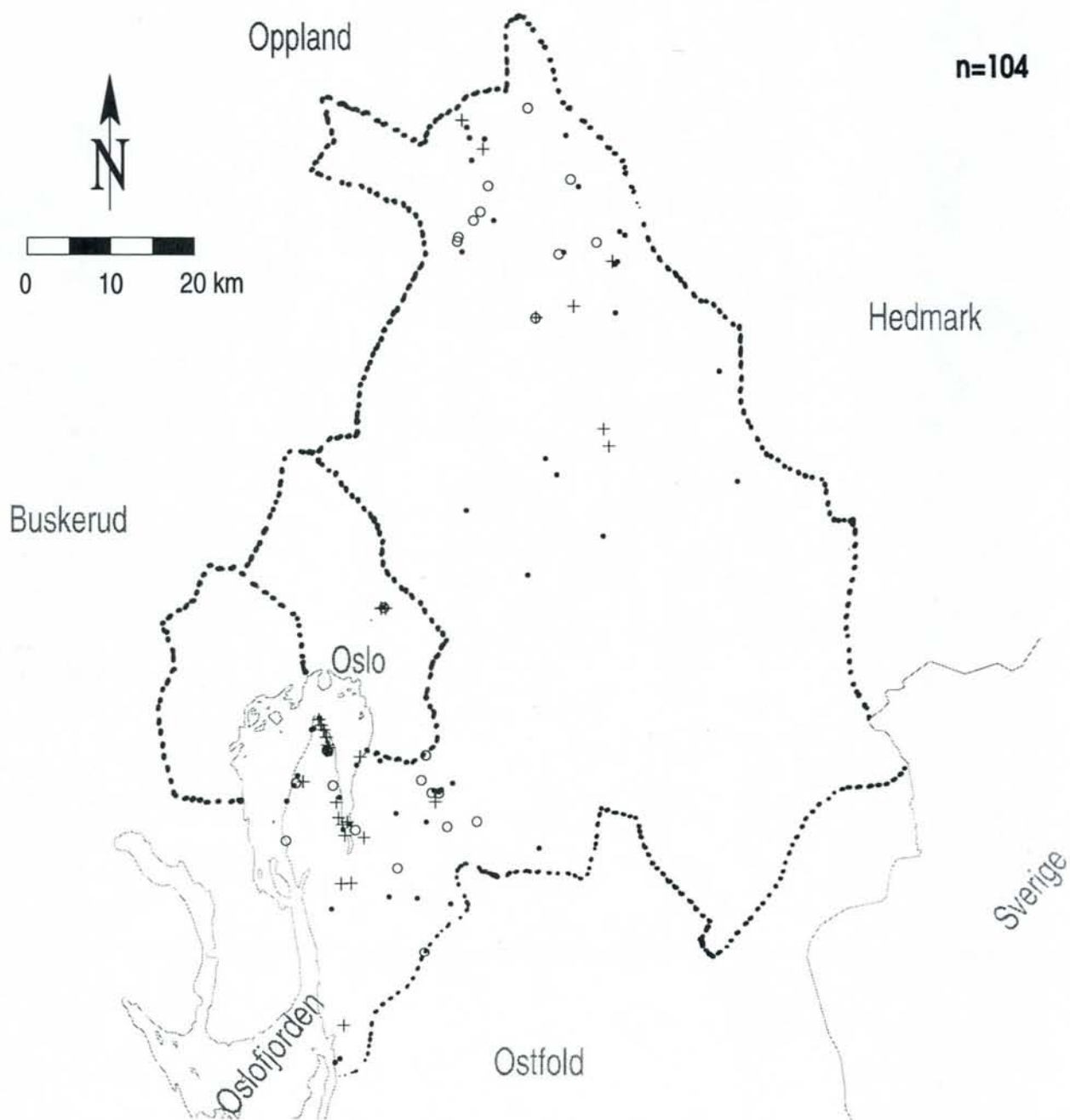
pH



Norges geologiske undersøkelse og Statens stralevern i samarbeid med de kommunale næringsmiddeltilsyn.

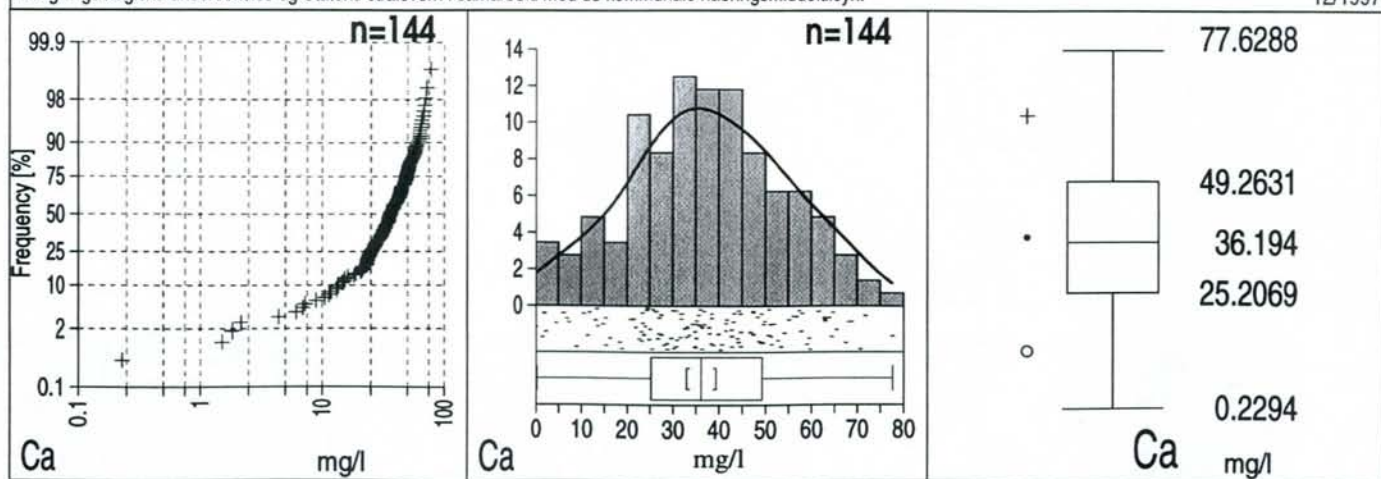
12/1997



**AKERSHUS OG OSLO***Grunnvannskjemi i fjellbronner***KALSIUM**

Norges geologiske undersøkelse og Statens stralevern i samarbeid med de kommunale næringsmiddeltilsyn.

12/1997

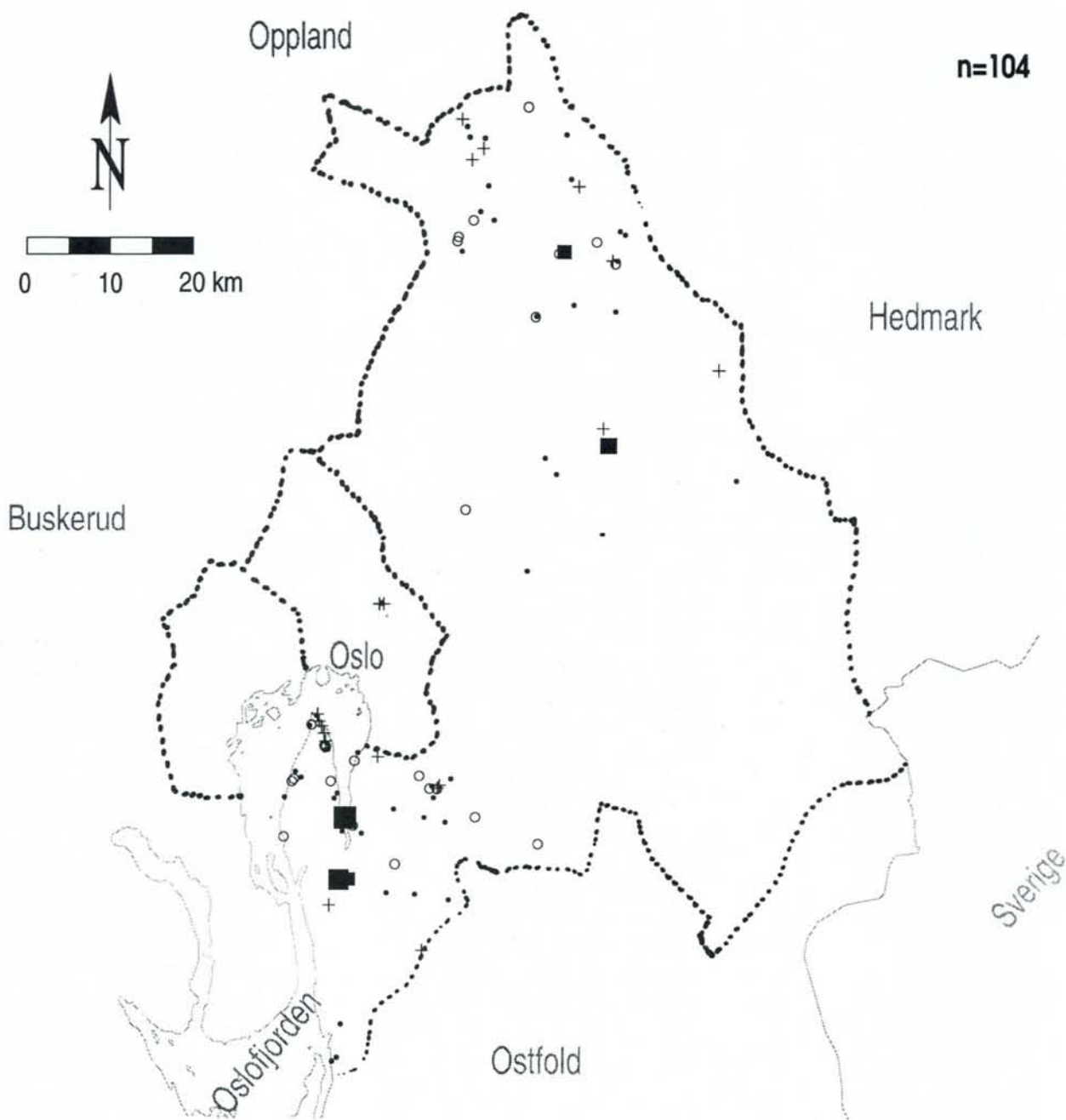


Figur 10c

# AKERSHUS OG OSLO

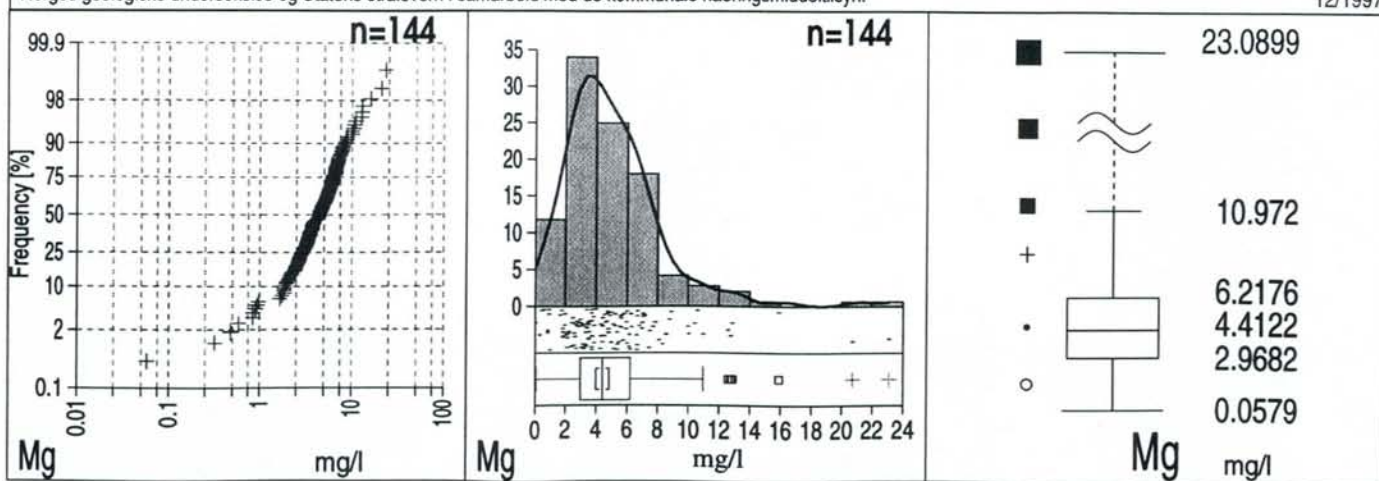
## Grunnvannskjemi i fjellbronner

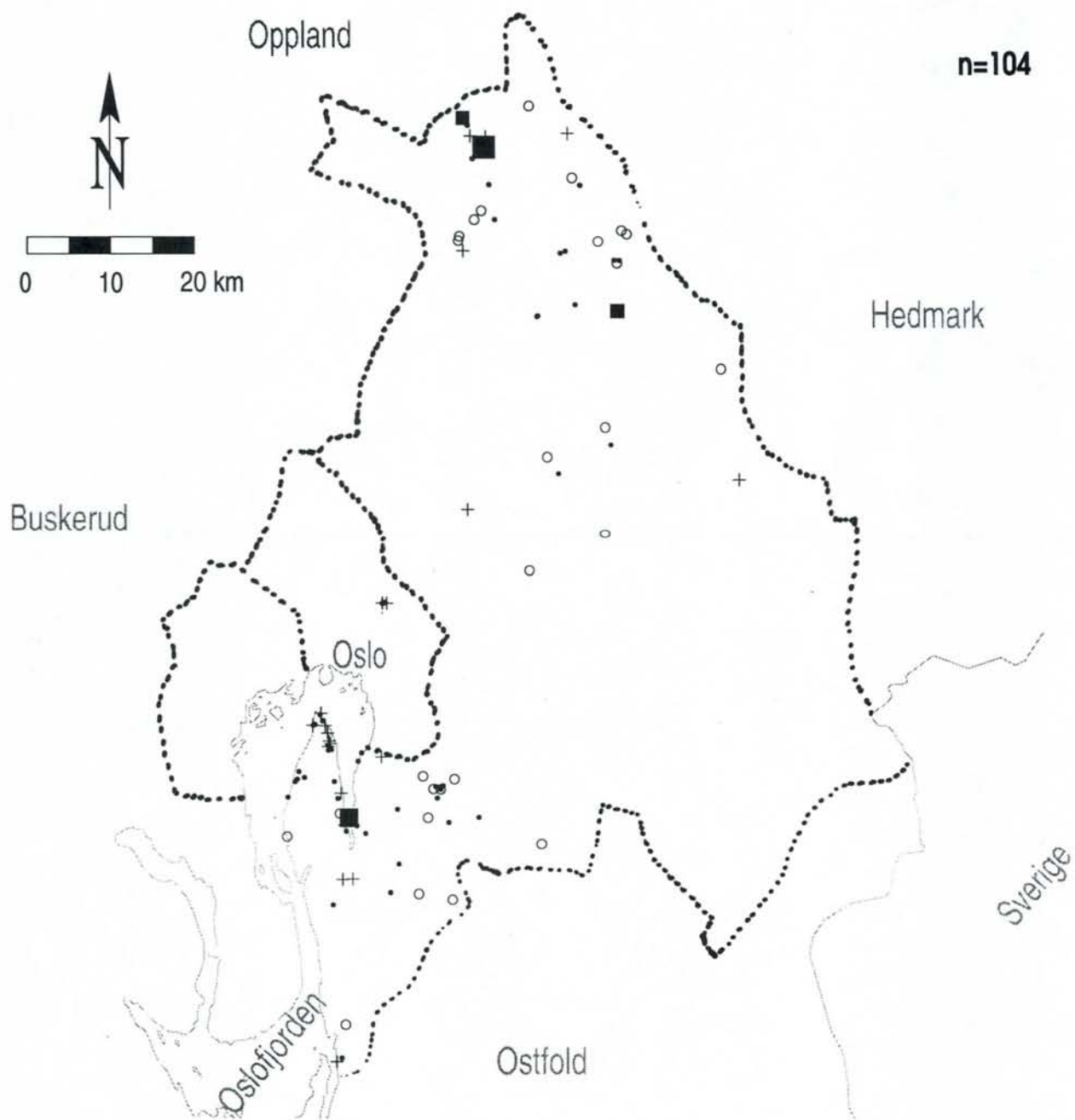
# MAGNESIUM



Norges geologiske undersøkelse og Statens stralevern i samarbeid med de kommunale næringsmiddeltilsyn.

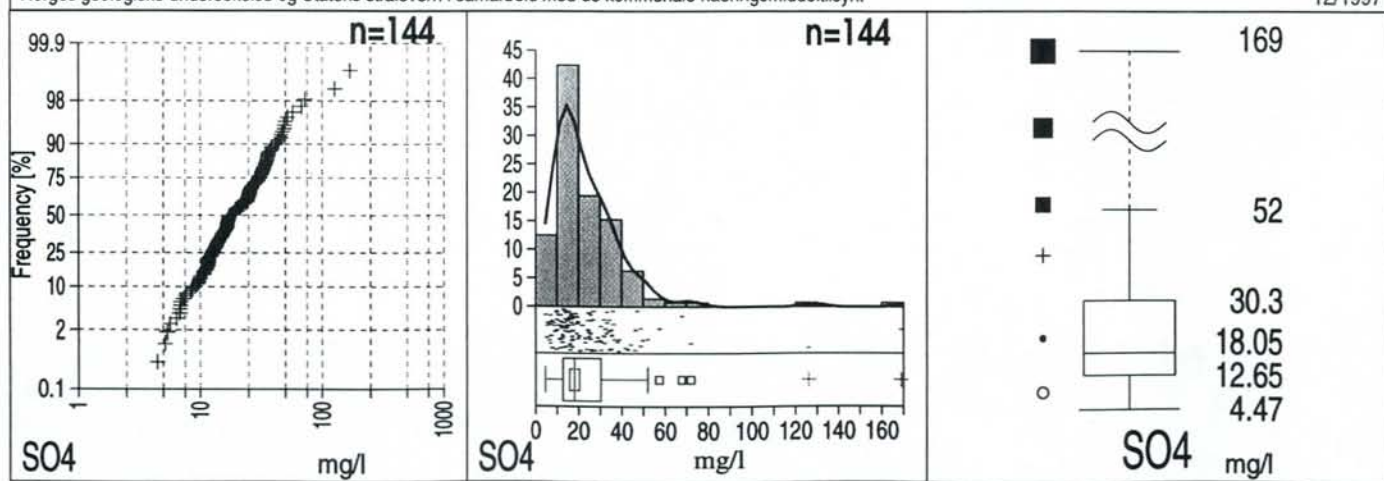
12/1997



**AKERSHUS OG OSLO***Grunnvannskjemi i fjellbronner***SULFAT**

Norges geologiske undersøkelse og Statens stralevern i samarbeid med de kommunale næringsmiddeltilsyn.

12/1997

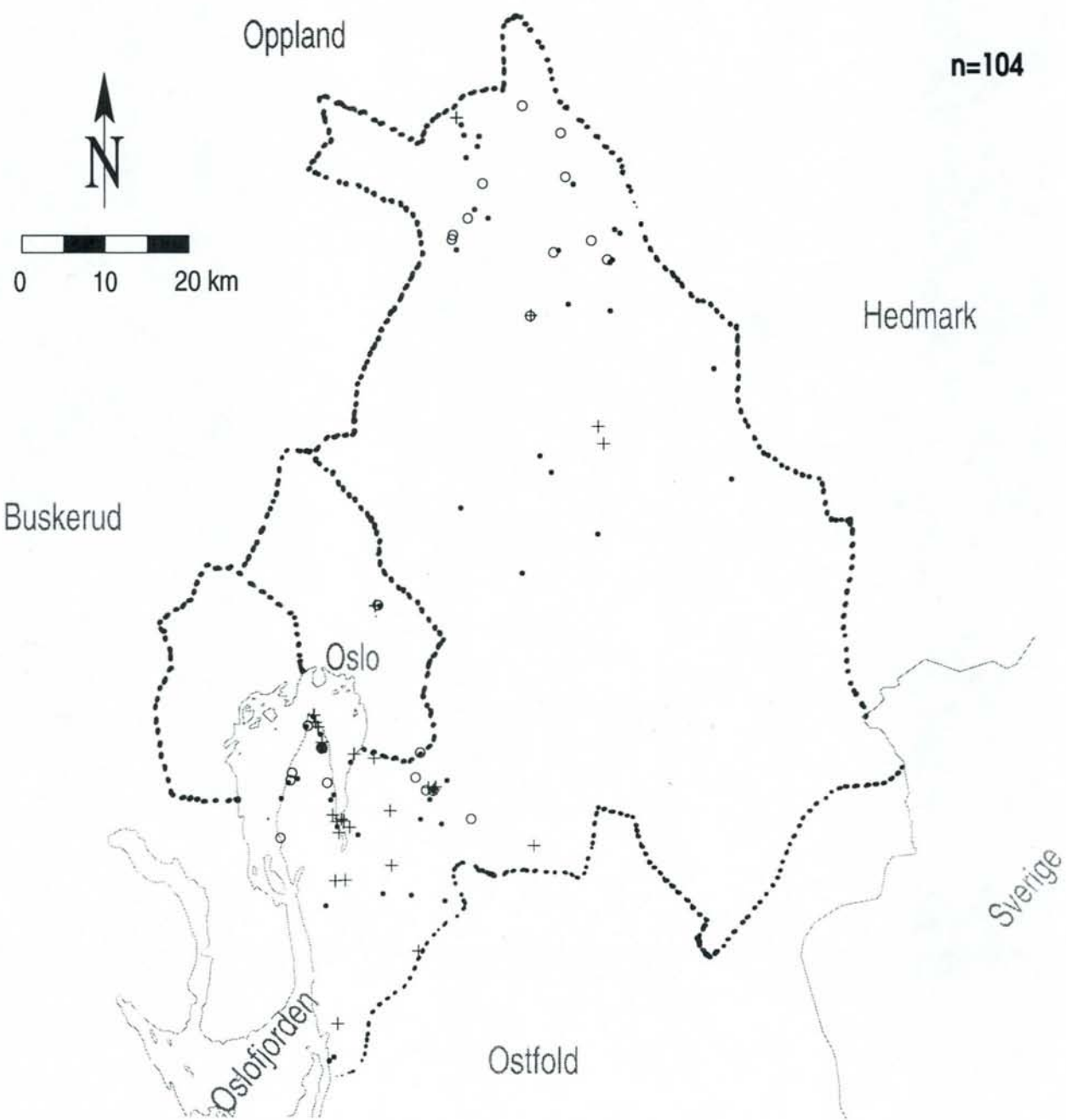


Figur 12c

# AKERSHUS OG OSLO

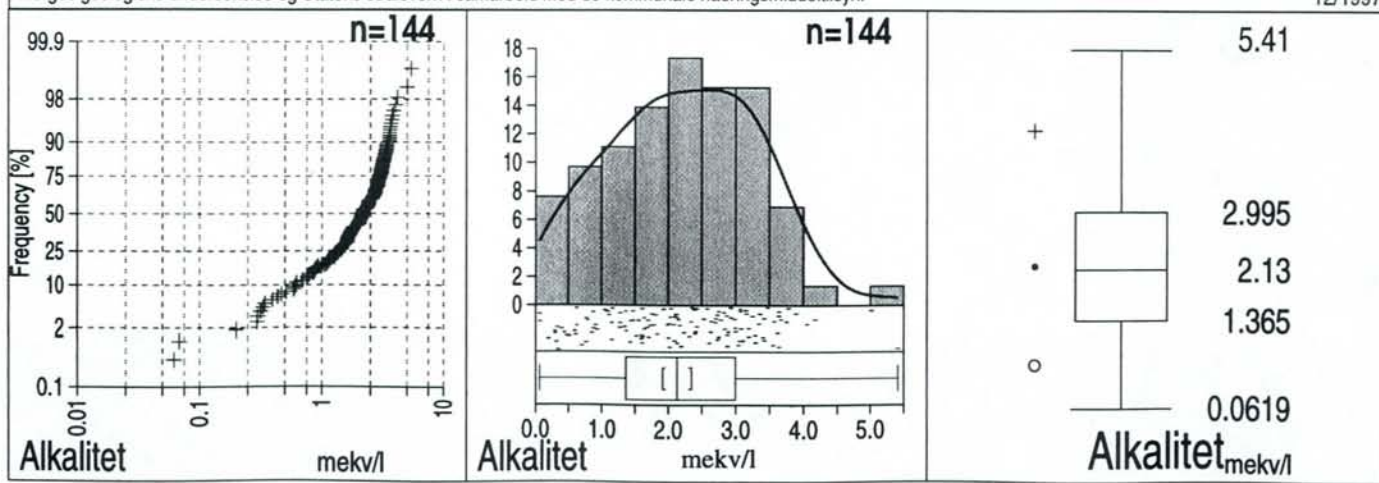
## Grunnvannskjemi i fjellbronner

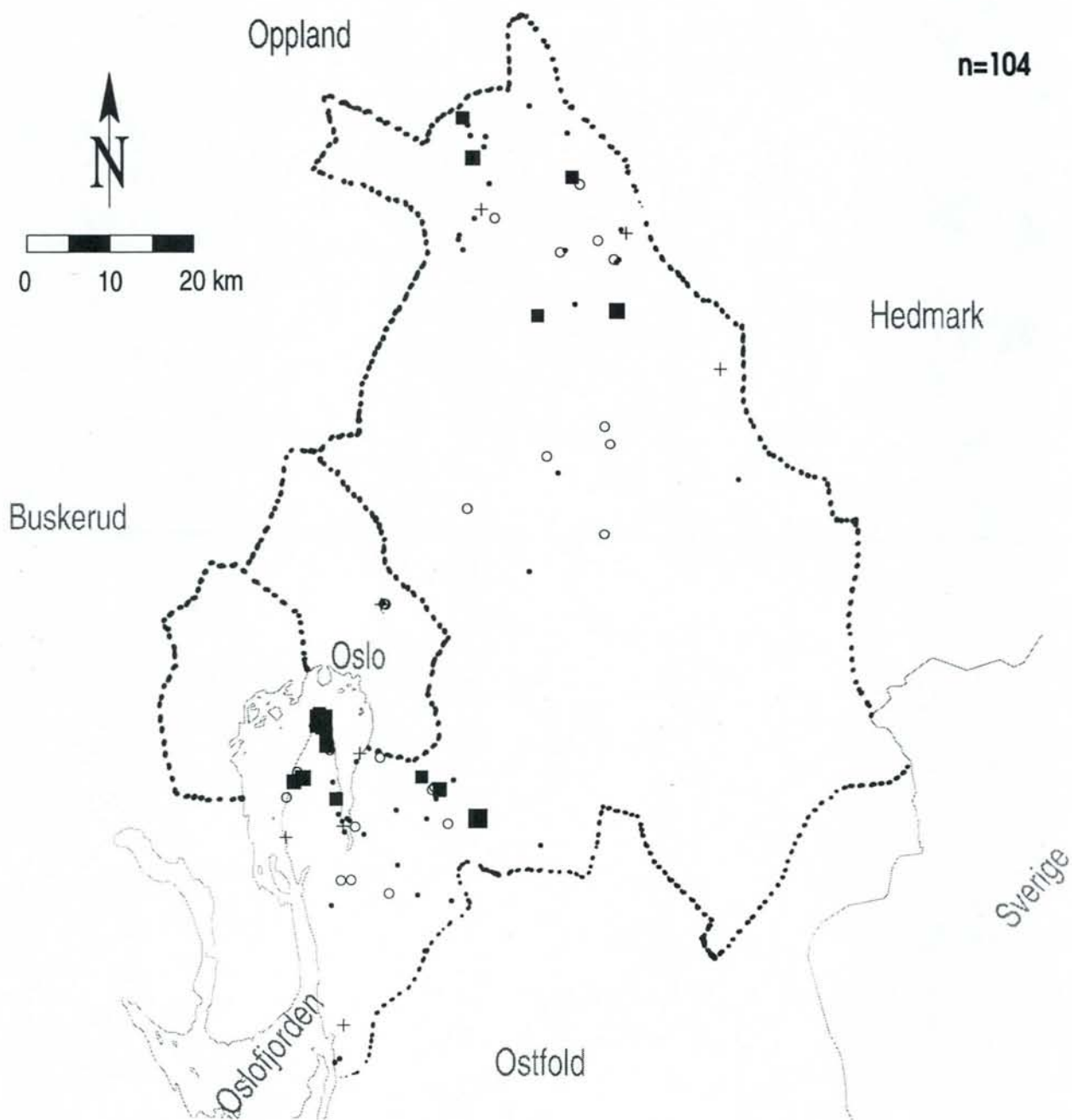
# ALKALITET



Norges geologiske undersøkelse og Statens stralevern i samarbeid med de kommunale næringsmiddeltilsyn.

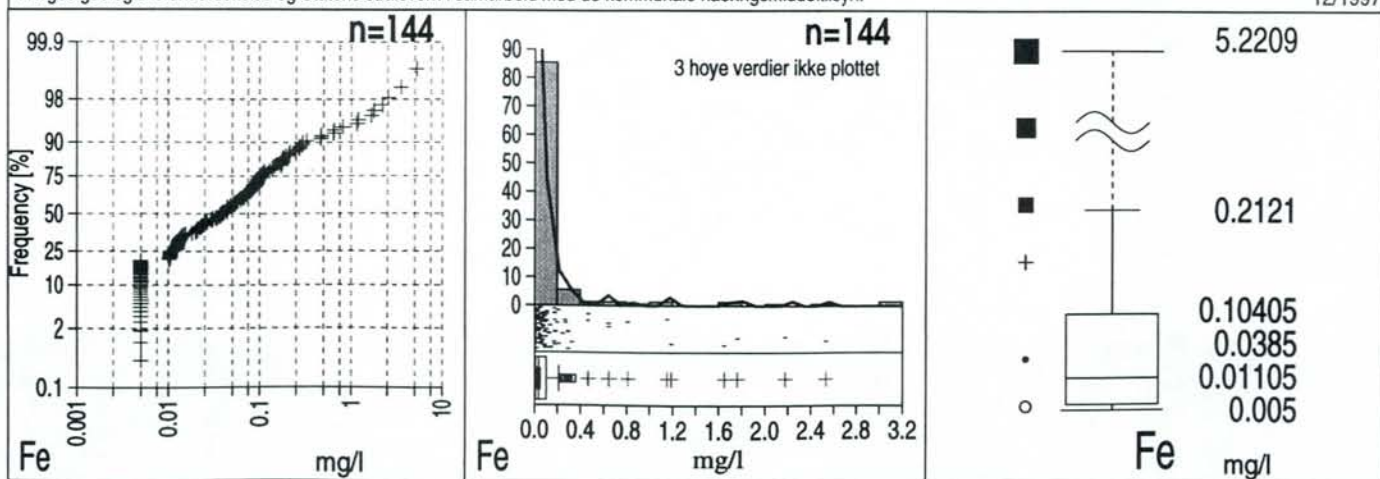
12/1997



**AKERSHUS OG OSLO****JERN***Grunnvannskjemi i fjellbronner*

Norges geologiske undersøkelse og Statens stralevern i samarbeid med de kommunale næringsmiddeltilsyn.

12/1997

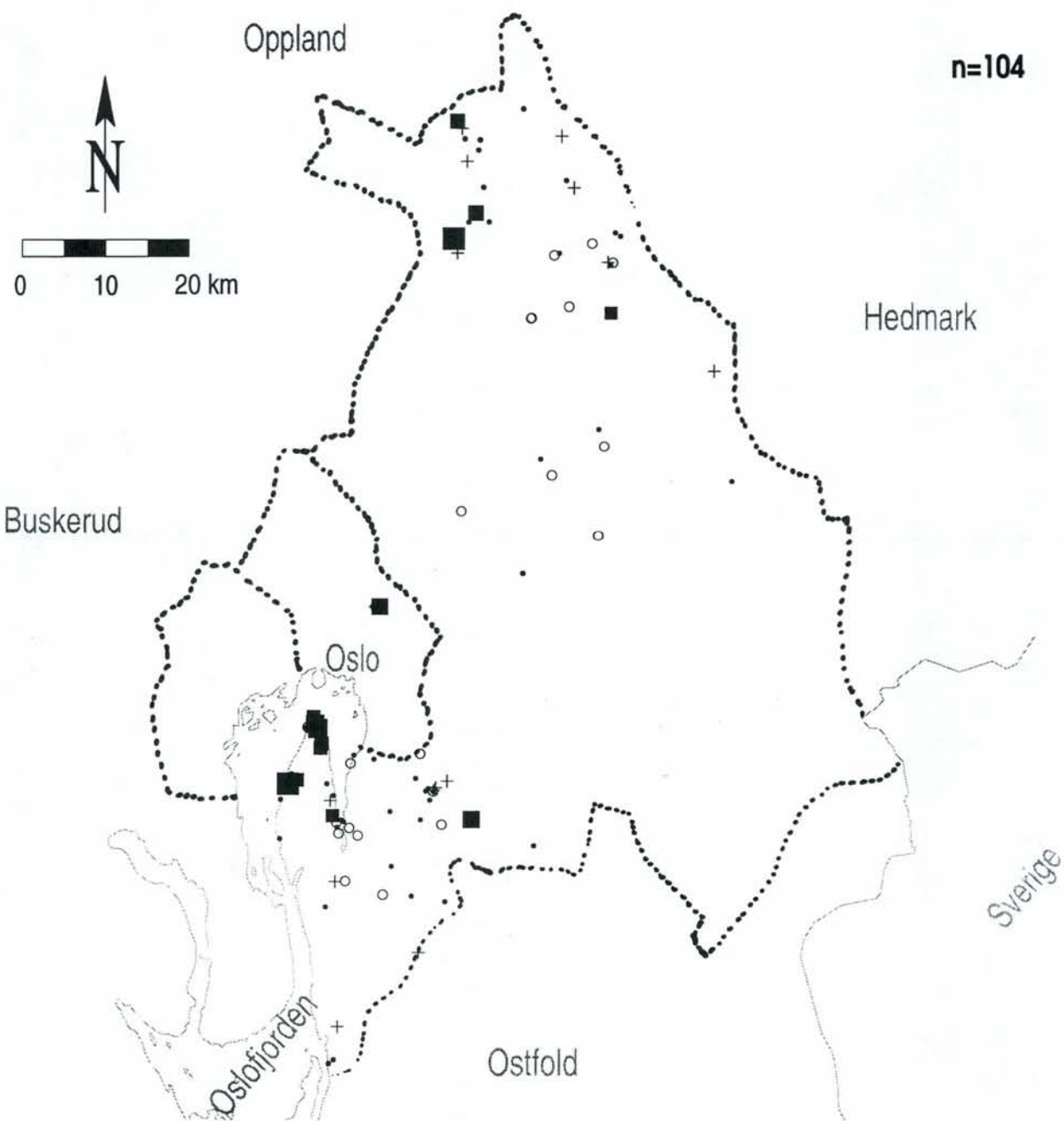


Figur 14c

# AKERSHUS OG OSLO

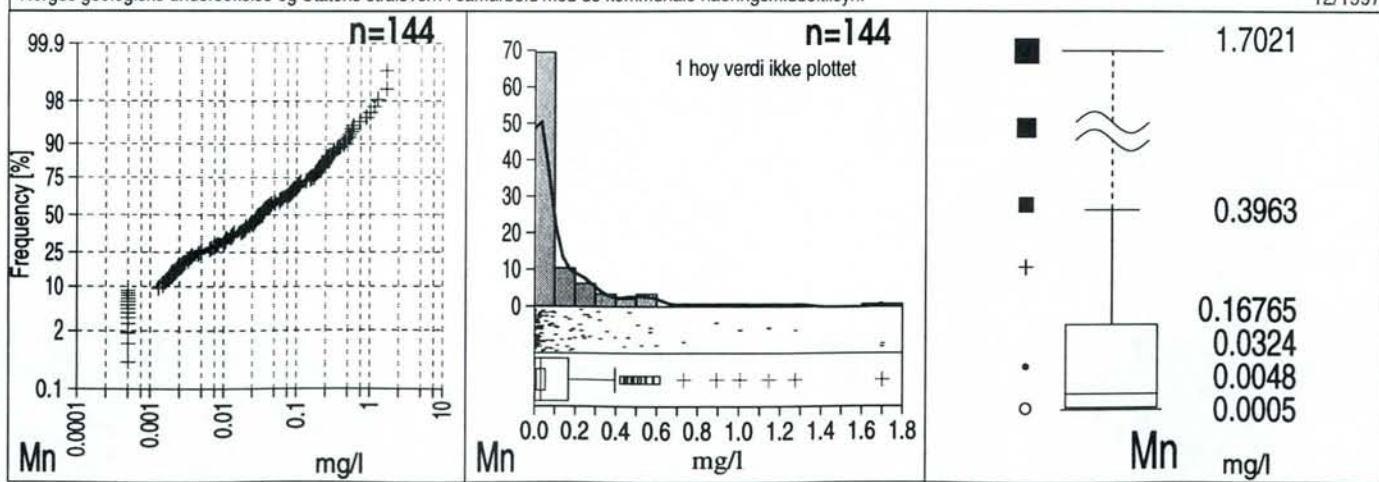
## Grunnvannskjemi i fjellbronner

# MANGAN



Norges geologiske undersøkelse og Statens stralevern i samarbeid med de kommunale næringsmiddeltilsyn.

12/1997

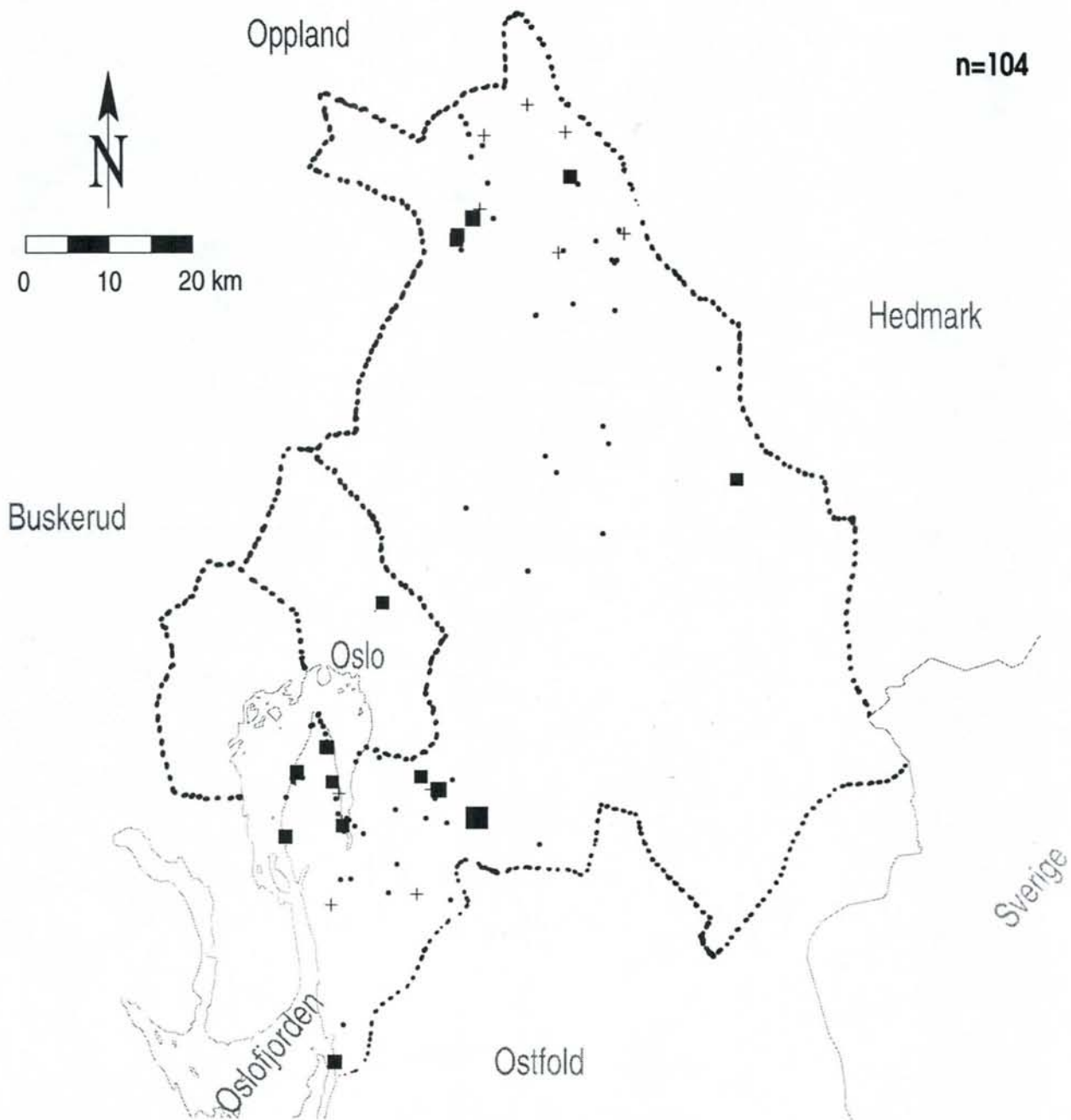


Figur 15c

# AKERSHUS OG OSLO

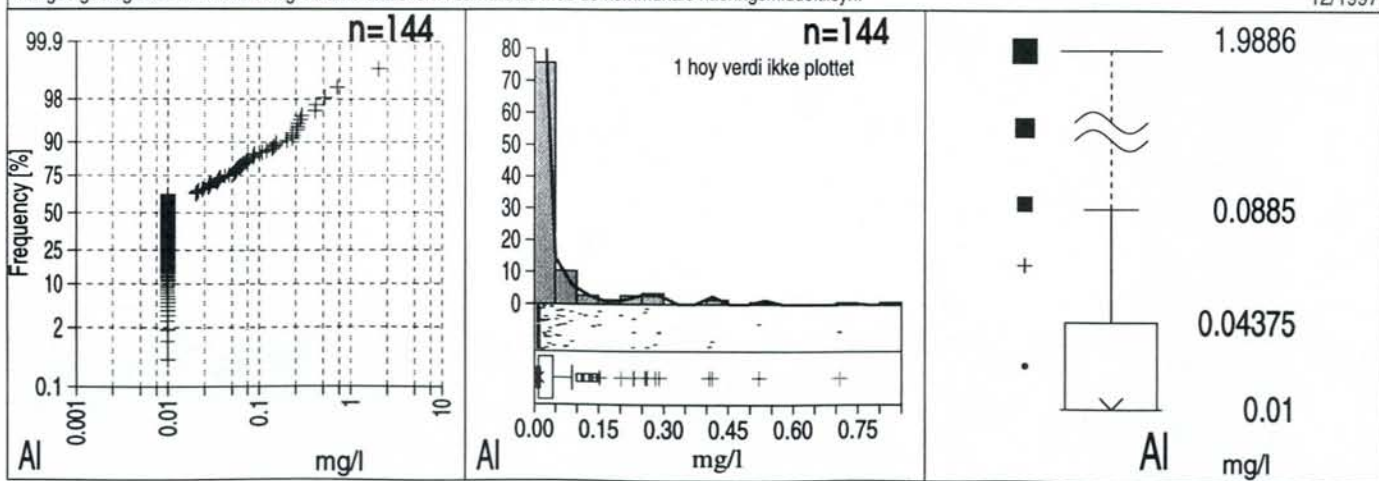
## Grunnvannskjemi i fjellbronner

# ALUMINIUM



Norges geologiske undersøkelse og Statens stralevern i samarbeid med de kommunale næringsmiddeltilsyn.

12/1997

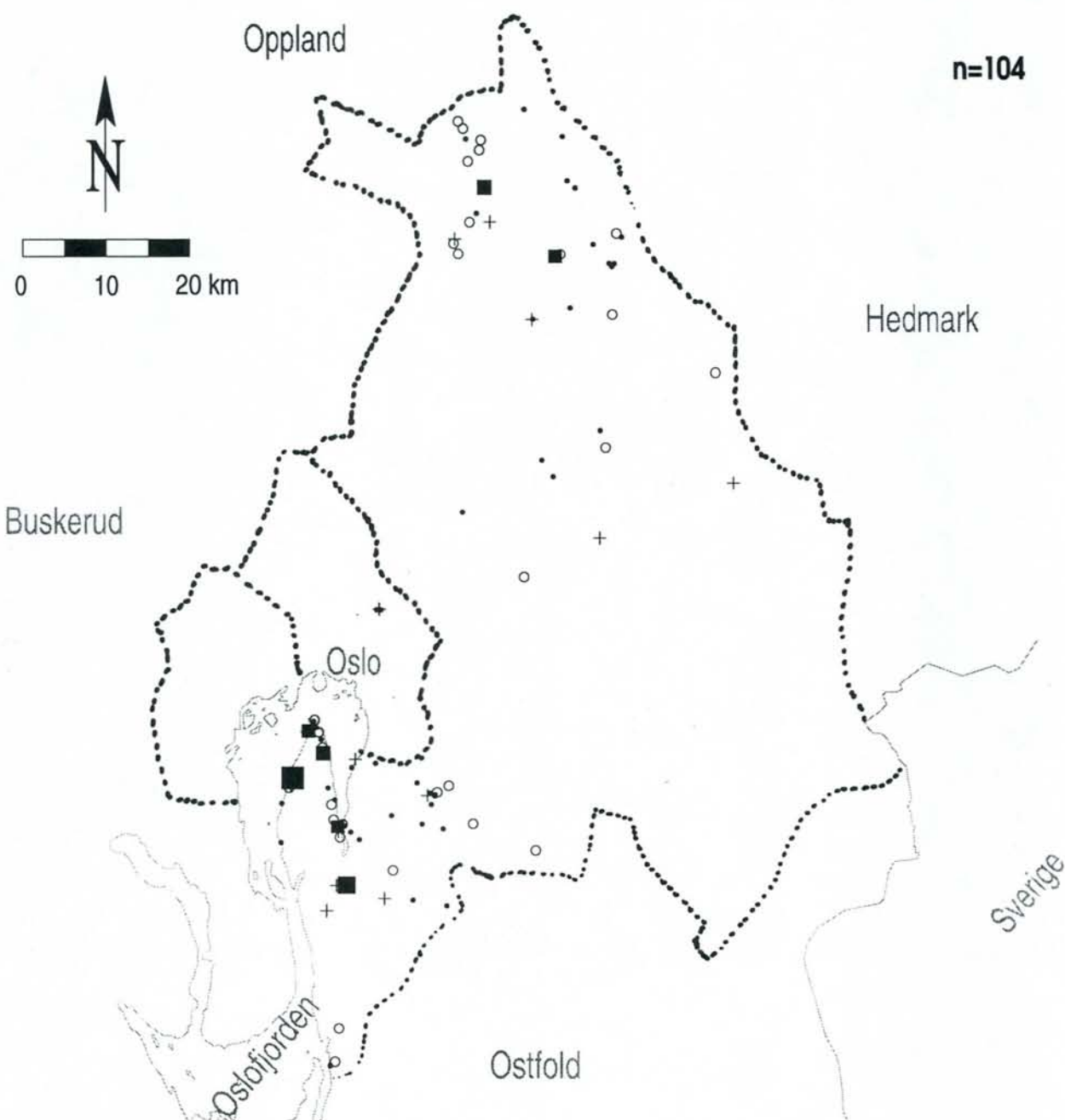


Figur 16c

# AKERSHUS OG OSLO

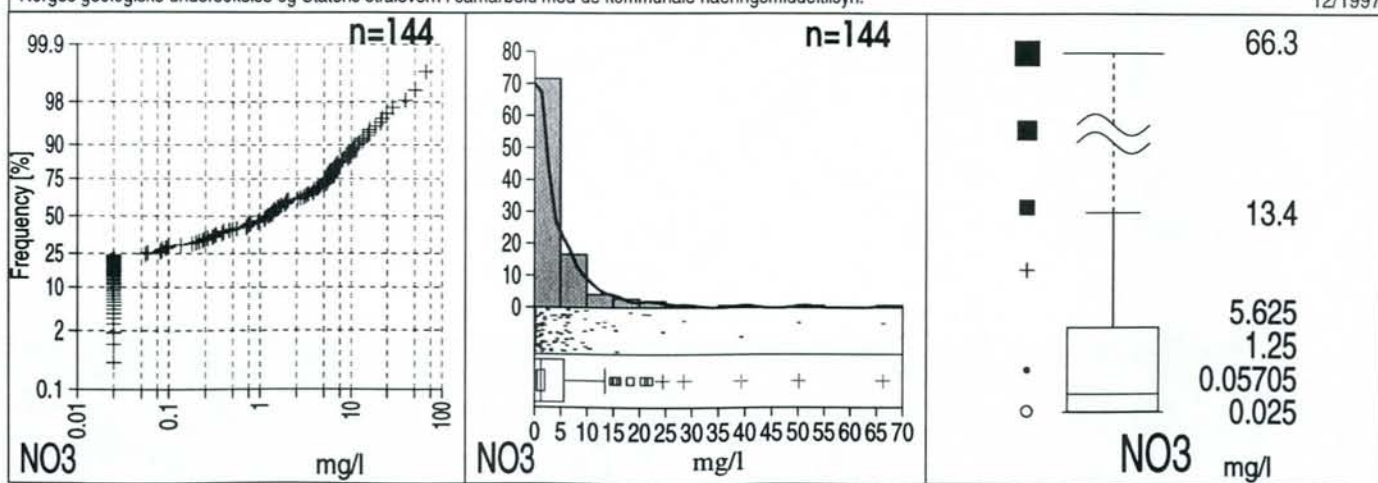
## *Grunnvannskjemi i fjellbronner*

# NITRAT



Norges geologiske undersøkelse og Statens stralevern i samarbeid med de kommunale næringsmiddeltilsyn.

12/1997

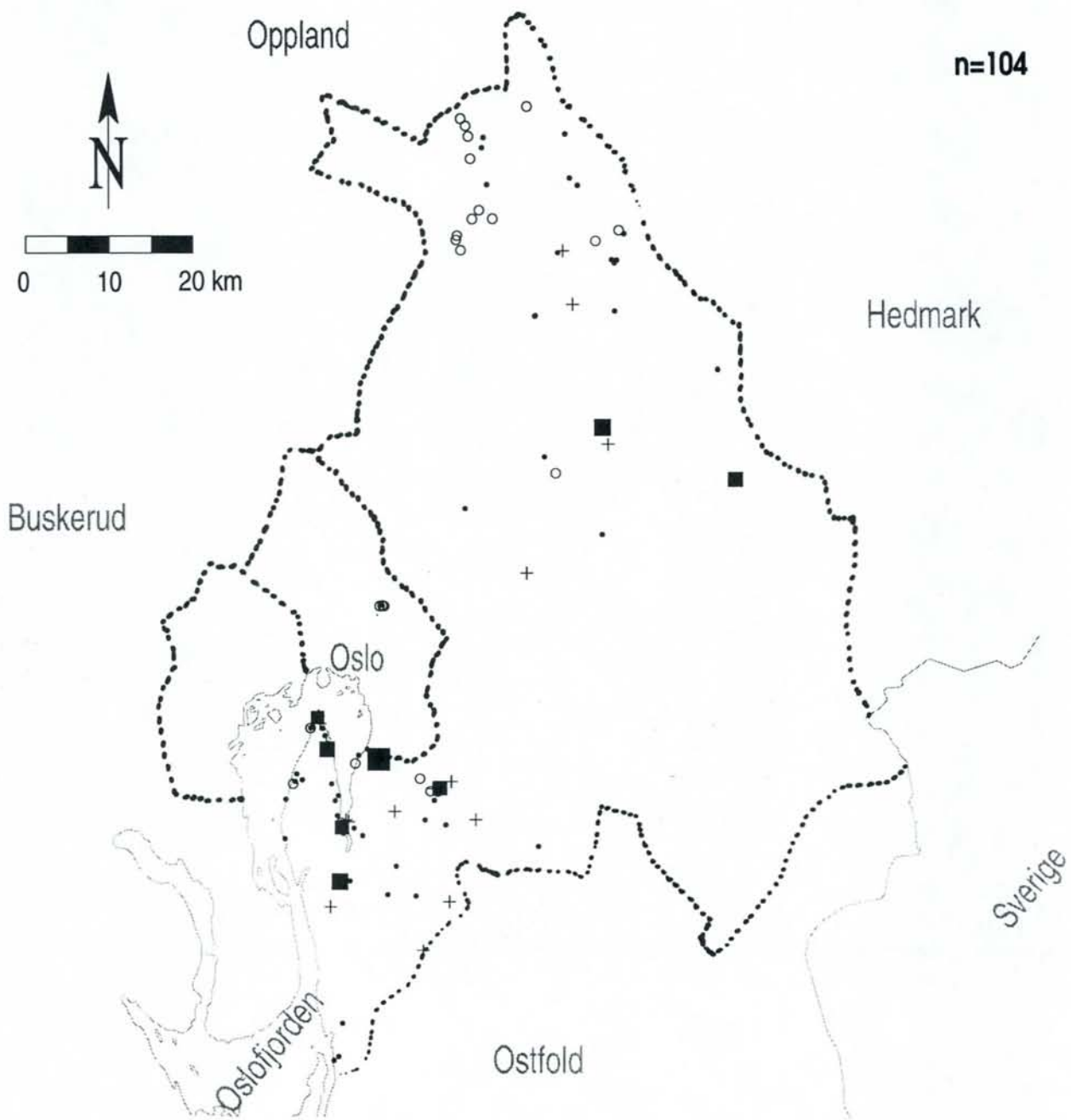


Figur 17c

# AKERSHUS OG OSLO

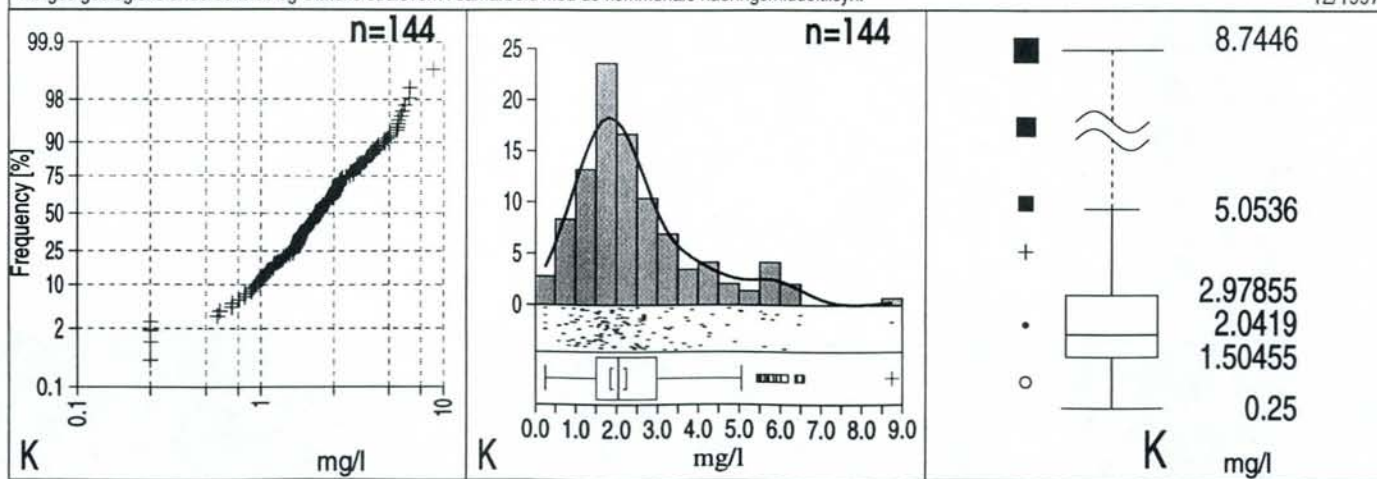
## Grunnvannskjemi i fjellbronner

# KALIUM



Norges geologiske undersøkelse og Statens stralevern i samarbeid med de kommunale næringsmiddeltilsyn.

12/1997

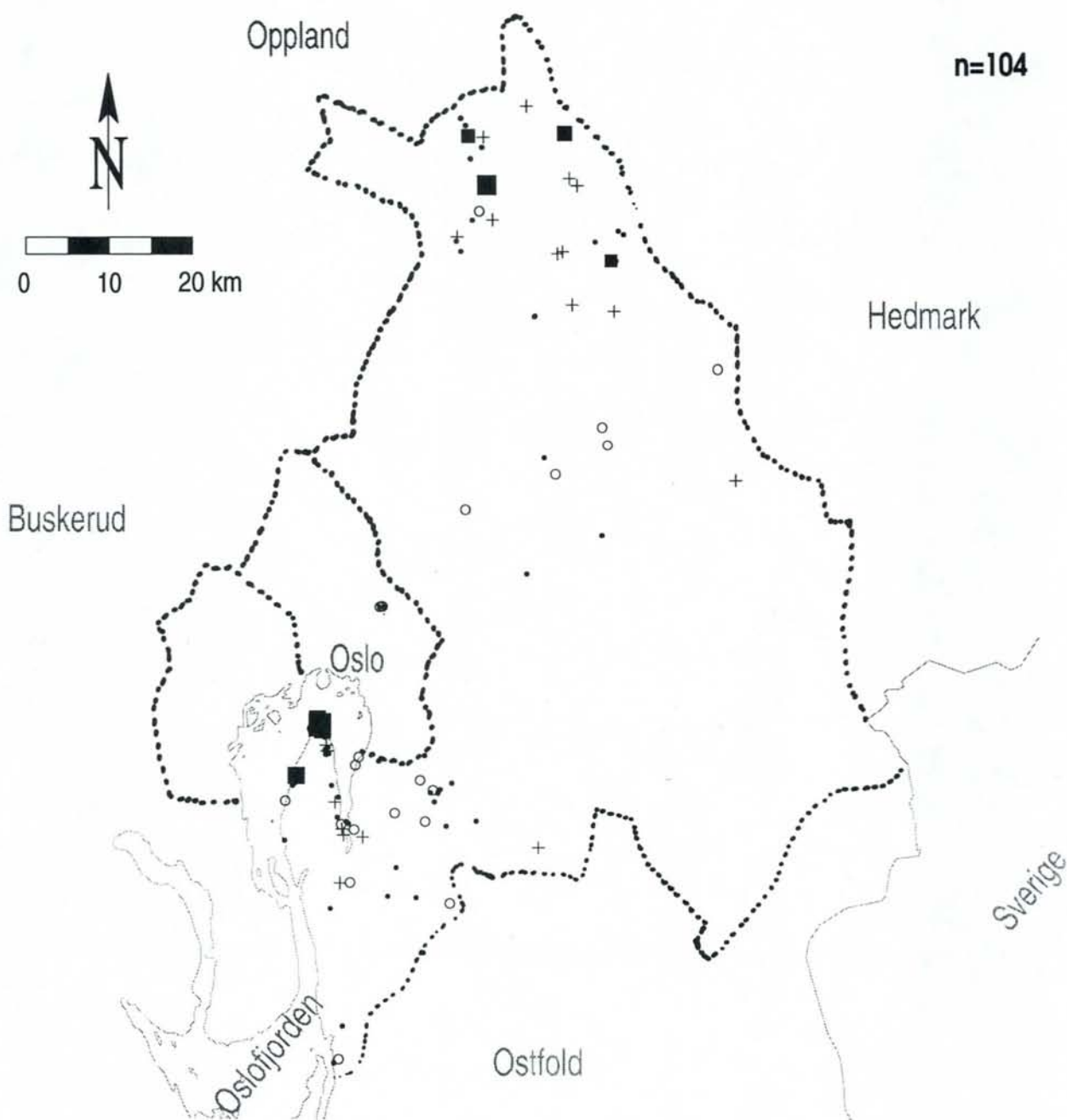


Figur 18c

# AKERSHUS OG OSLO

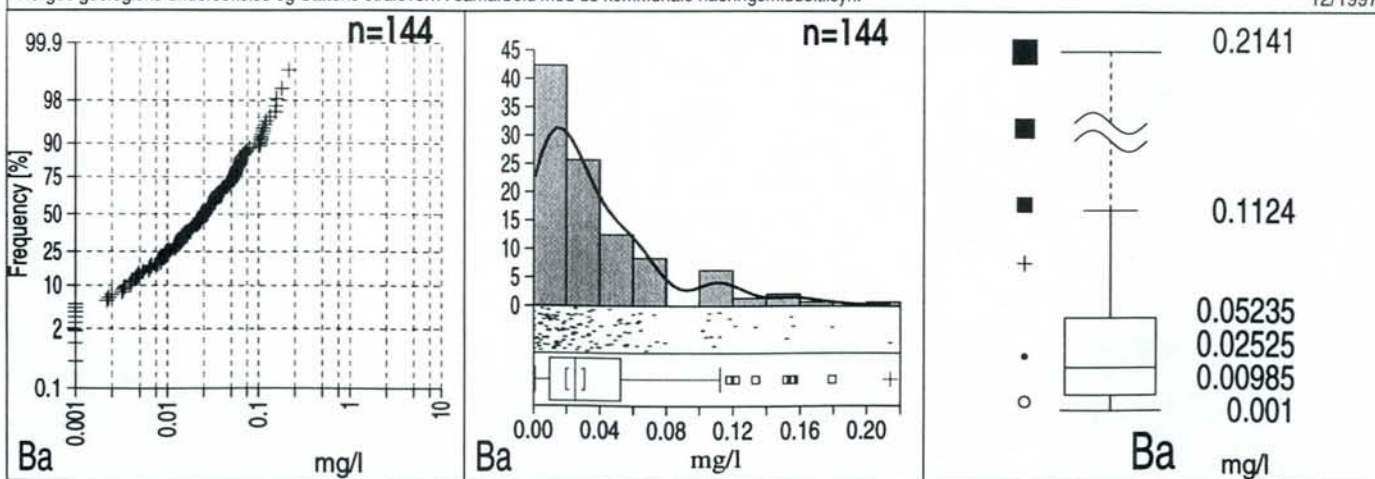
## Grunnvannskjemi i fjellbronner

# BARIUM



Norges geologiske undersøkelse og Statens stralevern i samarbeid med de kommunale næringsmiddeltilsyn.

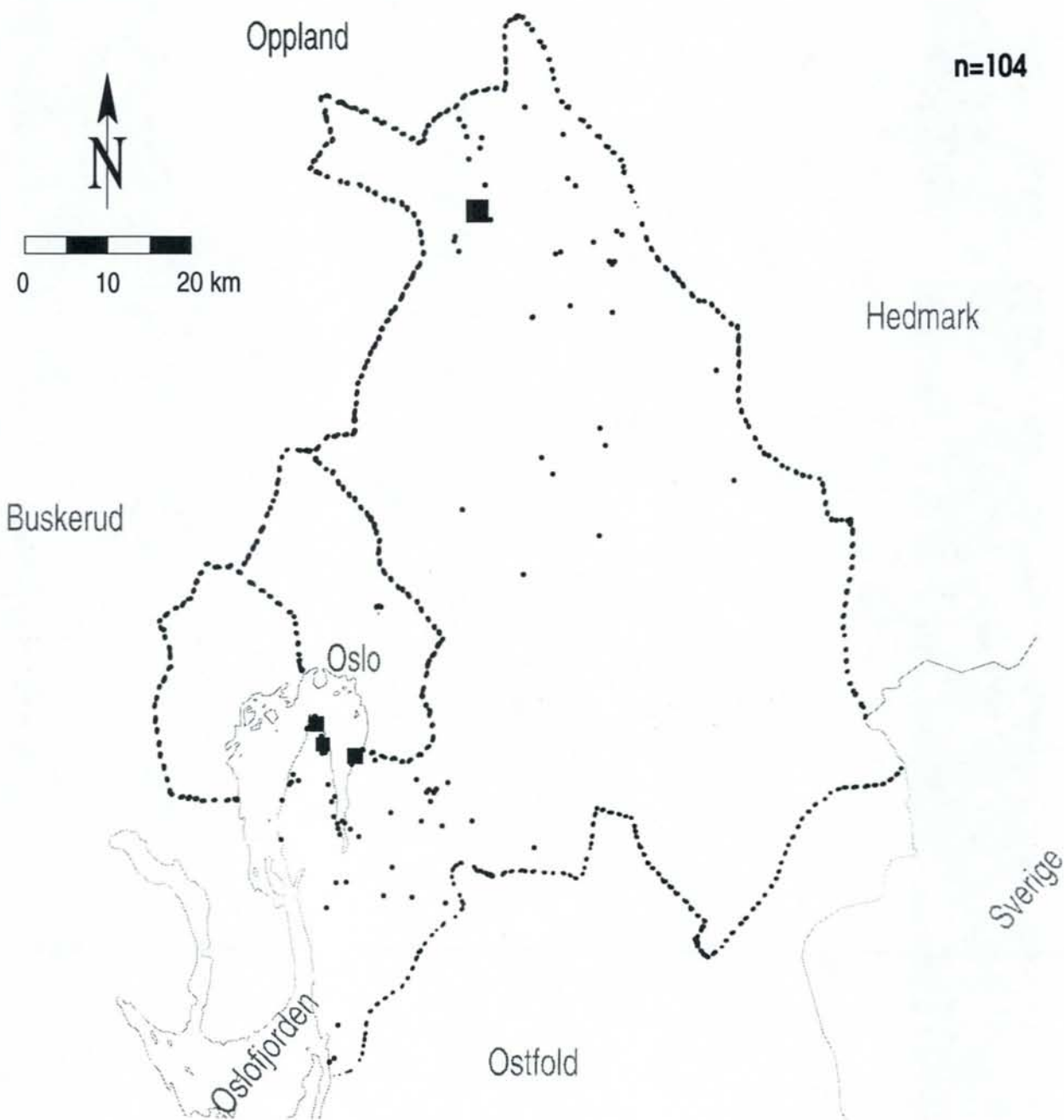
12/1997



# AKERSHUS OG OSLO

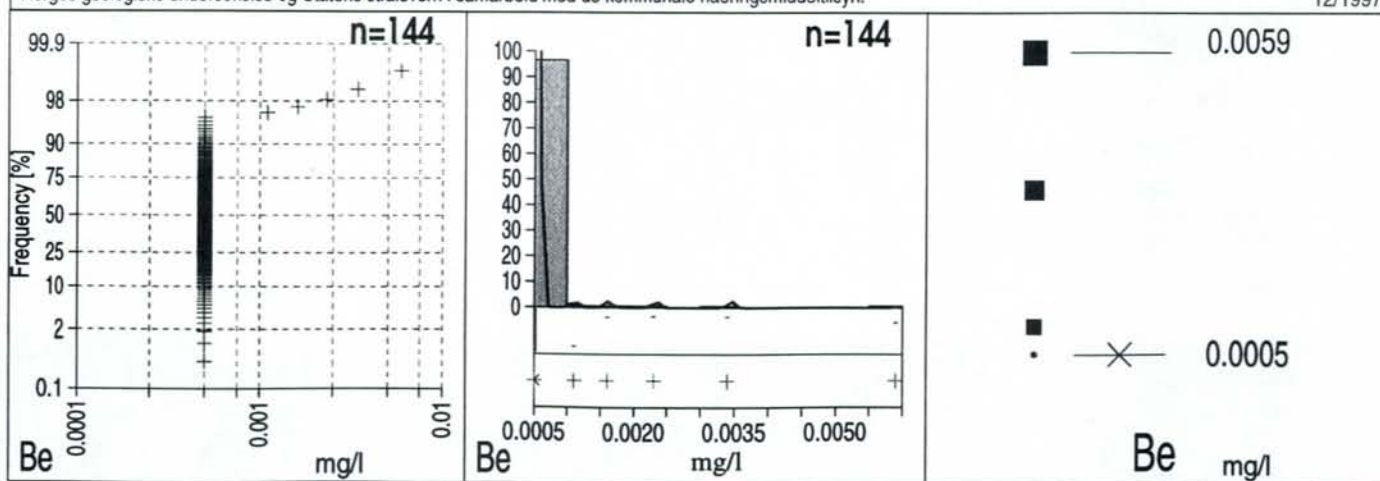
## Grunnvannskjemi i fjellbronner

# BERYLLIUM



Norges geologiske undersøkelse og Statens stralevern i samarbeid med de kommunale næringsmiddeltilsyn.

12/1997

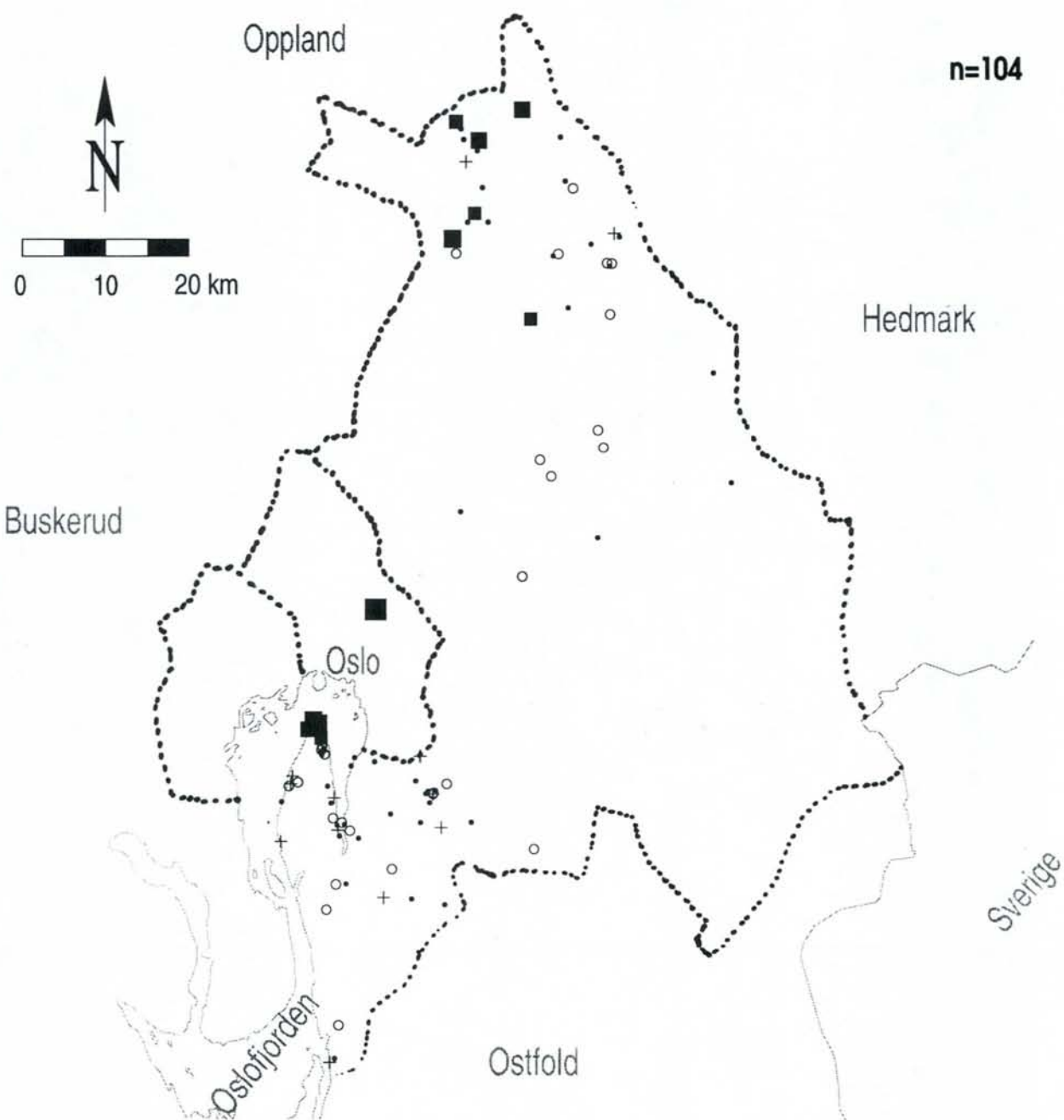


Figur 20c

# AKERSHUS OG OSLO

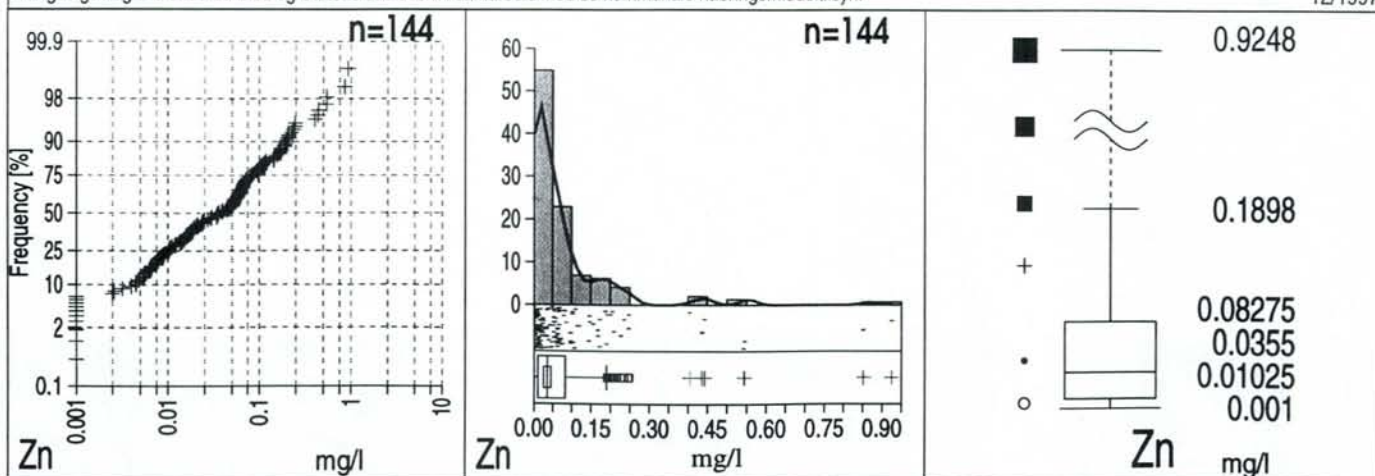
## Grunnvannskjemi i fjellbronner

# SINK



Norges geologiske undersøkelse og Statens stralevern i samarbeid med de kommunale næringsmiddeltilsyn.

12/1997



## BEHANDLINGSMETODER FOR RADON OG FLUORID

### Radon

Det finnes flere metoder for å redusere radoninnholdet i vann. Ingen av disse løsningene vil helt kunne fjerne radoninnholdet i vannet, men enkelte løsninger har vist en reduksjonseffekt på i overkant av 95%. Det er i prinsippet tre løsninger som kan benyttes for å redusere radonkonsentrasjonen i vann:

- i) lufting
- ii) lagring
- iii) filtrering

Disse metodene kan også kombineres. Statens strålskydds institut i Sverige utga i 1995 resultatene fra to sammenlignende undersøkelser av ulike metoder og tekniske løsninger fra forskjellige produsenter. Flere ordinære vannrenseanlegg for fjerning av kalk, tungmetaller, forurensninger, giftige gasser og regulering av surhet viste seg å også kunne redusere radonkonsentrasjonen i noen grad, men som regel ikke tilstrekkelig til å bringe konsentrasjonen til under tiltaksnivået på 500 Bq/l.

Beste resultat ble oppnådd med ulike systemer for lufting. Prinsippskisser over de mest effektive tekniske løsningene er gjengitt i rapport 95-18 fra Statens strålskydds institut i Sverige. Etter at disse undersøkelsene ble utført er det imidlertid kommet flere nye modeller på markedet - noen med bedre effekt i forhold til pris enn tidligere anlegg. Kostnad for de forskjellige løsningene som i dag tilbys på kommersiell basis varierer fra i underkant av kr. 10 000 til ca. kr. 30 000.

#### Lufting av radonholdig vann

En av de mest effektive måtene for å redusere radoninnholdet i større mengder vann er ved gjennomlufting med luft som er mest mulig fri for radon (vanlig ren utluft). Radonkonsentrasjonen i vannet vil derved komme i likevekt med luften. Dette kan gjøres ved forskjellige former for gjennombobling, spredning eller overrisling. Denne metoden foregår ved normalt lufttrykk og krever derfor i tillegg en ekstra pumpe og trykktank for å få vannet inn på vannledningsnettet.

Effektiviteten av systemet beror i stor grad på utformingen av luftinn blandingsmetoden og sprededyssene. Best effekt får man ved lufting i flere trinn eller ved sirkulasjon flere ganger. Utlufting fra systemet må skje til fri luft, ikke til inneluften. Anlegg som benytter denne metoden kan fjerne opptil 99% av radongassen, men effektiviteten synker betydelig med stort uttak av vann fra anlegget.

I mindre vannmengder kan man også redusere radonkonsentrasjonen betydelig ved kraftig visping med f.eks. en elektrisk visp i noen minutter.

Radon er lett løselig selv i kaldt vann (51 vol.% ved 0°C). Som for alle gasser synker løseligheten betydelig ved middels høyere temperatur (13 vol.% ved 60°C), men ikke tilstrekkelig til å redusere radonkonsentrasjonen til akseptable nivåer hvis man i utgangspunktet har høye radonkonsentrasjoner. Først når vannet når kokepunktet kan man få tilsvarende effekt som ved lufting.

Når radon brytes ned dannes det en rekke kortlivete datterprodukter av polonium, vismut og bly. Dette er også radioaktive nukliser som vil dannes kontinuerlig i vann som inneholder radon. Disse datterproduktene har imidlertid en svært kort halveringstid og konsentrasjonen vil være redusert til mindre enn 1/5 etter bare en time. Vannet bør derfor gå via en lagringstank eller lignende slik at det tar minst en time før det benyttes som drikkevann.

### Lagring av radonholdig vann

Radon har en halveringstid på ca. 92 timer. Det innebærer at radonkonsentrasjonen i en avstengt mengde vann er mer enn halvert etter fire døgn, redusert til mindre enn 1/10 etter 2 uker, og til mindre enn 1/100 etter en måned. Lang lagringstid innebærer imidlertid en fare for bakterievekst.

### Kombinert lufting og lagring

Kombinasjonen av lufting og lagring i store magasiner er hovedgrunnen til at vann fra større grunnvannverk meget sjeldent har radonkonsentrasjoner over tiltaksnivået. En måte å gjøre dette på for et mindre antall enheter (få husholdninger) er f.eks. å la vannet fra borebrønnen finfordeles via en spreder, og det gjerne i flere omganger og deretter ned i en godt ventilert tank. Jo større volum, jo lengre effektiv lagringstid. Som for rene luftingssystemer beror effektiviteten særlig på hvor god blanding man oppnår mellom luft og vann.

### Filtrering av radonholdig vann

Det finnes ulike filtreringsmetoder som kan redusere radoninnholdet i vann. De to vanligste metodene som benyttes er såkalt *omvendt osmose* og filtrering gjennom *aktivt kull*.

Omvendt osmose er i prinsippet den samme metoden som benyttes blant annet til avsalting av havvann. Vannet presses under høyt trykk gjennom en halvgjennomtrengelig membran, som slipper vannmolekylene gjennom, men holder større partikler og molekyler, som f.eks. bakterier, organiske forurensninger, større ioner og radon tilbake.

Metoden har vist seg å kunne fjerne inntil 90% av radonet, men har som oftest liten kapasitet, bare noen liter pr. minutt. Metoden egner seg derfor ikke for annet enn vann som kun skal benyttes til drikkevann og ikke som vanlig husholdningsvann. Prisen er dessuten relativt høy.

Aktivt kull kan adsorbere en rekke stoffer, herunder også radon. Kapasiteten er blant annet avhengig av volumet på filteret. Til en enkelt husholdning kreves et filtervolum på minst 50 liter. Effektiviteten av filteret vil svekkes med tiden, og kullet må byttes ut med bare noen måneders tidsrom. I det aktive kullet vil det dessuten etterhvert oppkonsentreres langlivete radioaktive datterelementer av radon som igjen kan avgive stråling til omgivelsene. Denne strålingen påvirker ikke vannkvaliteten, men gjør at kullet vil måtte tas hånd om og behandles på spesielle måter. Metoden egner seg dessuten kun for moderat forhøyde radonkonsentrasjoner (under 2000 Bq/l).

### Kommersielt tilgjengelige tiltaksløsninger

Det markedsføres en rekke ulike renseanlegg for radonholdig vann i Norden. De fleste av disse løsningene er utviklet i Sverige, men selges også i Norge via agenter.

Enkelte løsninger er ofte en kombinasjon av flere av de ovennevnte metodene. Det anbefales at det foretas en individuell avveining av effektivitet i forhold til kostnad, og at man innhenter anbud med skriftlig garanti for effektiviteten i hvert enkelt tilfelle. Det bør dessuten etterlyses dokumentasjon på effekt gjennom deltagelse i uavhengige tester.

## **Fluorid**

Fluorid er ikke spesielt lett å behandle, fordi grunnstoffet er nokså løselig og ikke-reaktivt. Fluorid har imidlertid tre egenskaper som danner grunnlag for behandlingsmetoder (f.eks. USEPA 1984):

- (i) fluorid-ionet er ganske stort og kan filtreres ut med meget små "filtre" - dvs. omvendt osmose.
- (ii) fluorid har stor affinitet til aluminium, og kan felles ut under koagulering med aluminiumssalter
- (iii) fluorid kan byttes ut mot hydroksid på noen spesielle resiner og aluminiumsmineraler (hydroksider, fosfater, silikater). Dette gir muligheter for behandling med anionbyttefiltere. Reaksjonen som foregår her er faktisk det motsatte av det som foregår i akviferen og som frigjør fluorid til grunnvannet!

## Behandling av fluor ved små grunnvannsanlegg

De to best egnede metodene som er tilgjengelige i Norden er:

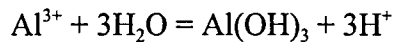
- (i) omvendt osmose. Det kan her dreie seg om en liten modul på kjøkkenbenken som kun behandler det vannet som anvendes som drikkevann. Her blir vannet ved hjelp av overtrykk tvunget gjennom et meget fint filter som fjerner større ioner (ladede partikler) i vannet, slik som fluorid, nitrat og uran. Metoden krever litt vedlikehold (de fjernede ionene samler seg på innløpssiden av filteret som saltanriket vann, som leilighetsvis må skylles vekk). Metoden krever at vannet er fritt for partikler og oppløst jern, som kan tette igjen filteret (Schneiter & Middlebrooks 1983, Huxstep & Sorg 1987, Grundfos 1988).
- (ii) anionebytting. Dette baserer seg på at noen materialer (spesielle ionebytteresiner eller "aktivert alumina" [Clifford et al. 1978; Rubel & Woolsey 1978; Wu 1978; Bishop & Sansoucy 1978; Choi & Chen 1979; Barbier et al. 1984; Karthikeyan et al. 1994]) bytter ut fluoridioner mot hydroksidioner. Det vil si at fluorid fra vann adsorberes på ionebyttefilteret samtidig som hydroksid frigis. I noen tilfeller kan det være gunstig med tilsetting av litt syre eller CO<sub>2</sub> for å fjerne hydroksidioner fra innløpsvannet (Guo-Xun 1994; Bulusu & Nawlakhe 1990, Rubel & Woolsey 1978). Ionebyttemassen må periodevis regenereres med f.eks. hydroksidløsning (lut). Den regenereringen fjerner de adsorberte fluoridionene og erstatter dem på nytt med hydroksid. Kathikeyan et al. (1994) beskriver et aktivert alumina utstyr som behandler 3 l/t, og som reduserer fluoridinnholdet fra 3 mg/l til 1 mg/l, med en kostnad i India på 650 indiske rupees (ca. 140 NoK).
- (iii) I noen tilfeller er det fosfat som byttes ut mot fluorid (f.eks. på aluminiumfosfat; Qianjie & Hanwen 1992).
- (iv) Kationebyttere kan også benyttes hvis kationebytteren inneholder aluminium. Aluminiumet adsorberer fluoriden. Med noen ionebyttertyper (inkludert kationebytter og aktivert alumina) kan saltsyre/svovelsyre benyttes for regenerering (Qianjie & Hanwen 1992; Samchenko et al. 1987).
- (v) En metode som ligner (iv) benytter aluminiumssulfat-behandlet aktivt kull (Slipchenko & Malitskaya 1987).

Metodene (i) og (ii) er de mest aktuelle metodene i Norden. Metodene (iii) til (v) er utprøvd i Kina og tidligere Sovjetsamveldet.

### Behandling av fluorid ved større vannverk

Man kan bruke metodene som er omtalt i 8.2.1 til behandling av vann ved større vannverk, men det blir fort dyrt å behandle store mengder vann. En metode som ofte benyttes for å behandle fluor (og en del andre parametere) er koagulering med aluminiumssalter (N'Dao et al. 1992).

Aluminium tilsettes i form av aluminiumklorid eller -sulfat. Aluminiumet reagerer med vannet og danner et hydroksid som felles ut i et koaguleringsbasseng:



Det kan være nødvendig med pH-regulering for å hindre at reaksjonen gjør vannet for surt. Fluorid binder seg til aluminium og felles ut samtidig som hydroksid.

Den såkalte Nalgonda-teknikken benytter trinnvis tilsetning av (i) blekepulver (hypokloritt), (ii) natriumaluminat eller kalk og (iii) aluminiumsulfat eller aluminiumklorid (Bulusu 1984, Narlakhe & Bulusu 1989).

Ønsker man en behandlingsmulighet i enda større skala, kan man benytte Andco-prosessen, som går på utfelling av fluorid etter tilsetting av fosforsyre, kalsiumklorid og kalk (O'Brien 1983).

### "Eksotiske" metoder for behandling av fluorid

Enkelte land, spesielt i Sørøst Asia, men også i Afrika, opplever store problemer med fluorid i grunnvann i landlige områder. Det har vært et stort behov for å finne brukervennlige og billige metoder for å behandle fluoriden, gjerne ved å benytte lokale, naturlige råstoffer. Land som Sri Lanka synes derfor å ligge langt foran vesten når det gjelder utforskning av billige metoder for vannbehandling.

De fleste av disse metodene benytter enkle ionebytte- eller adsorpsjonsmedier som inneholder aluminiumsmineraler. F.eks. har det blitt vist at fluor kan fjernes effektivt fra vann ved hjelp av:

- (i) knust leirkерamikk og/eller tropisk jord. Tropisk jord (Zevenbergen et al. 1996) og keramikk som er laget av tropisk jord (Padmasiri et al. 1995) inneholder ofte aluminiumsoksid som sannsynligvis er den aktive ingrediensen her. Små behandlingsanlegg som koster ca. US\$ 20 kan redusere 3 - 4 mg/l fluor til under 1 mg/l med retensjonstid på 8 timer (Padmasiri et al. 1995; Padmasiri & Fonseka 1994)

- (ii) brent (fiske)bein (Dunkley & Malthus 1961; Bhargava & Killedar 1992; Killedar & Bhargava 1993), hvor den aktive ingrediensen trolig kan være aluminium fluorfosfat-mineralet apatitt.
- (iii) Apatitt i mineralform, kalsiumfosfat eller aluminiumfosfat (Dieye et al. 1994; Contu et al. 1981; Qianjie & Hanwen 1992)
- (iv) Andre aluminosilikatmineraler som adsorberer fluor eller tillater ionebyttereaksjoner av fluor mot hydroksid. Både kaolinittleirer og knust serpentinit har vist seg å være effektiv her (Jinadasa. et al. 1991). Bruk av flyveaske er også undersøkt (Jinadasa et al. 1988; Chaturvedi et al. 1990).
- (v) lanthan-klorid impregnert silikagel (Wasay et al. 1996), eller aluminium-sulfat-impregnert silikagel (Rongshu et al. 1995).

I en studie av fluoridopptak i overflatejord fra ulike deler av verden er det funnet at lateritt fra avrenningsområdene i høylandet i Mellom-Amerika, Vest-Afrika og Etiopia ved ren kolonnefiltrering kan redusere fluoridinnholdet i vann fra f.eks. 15 mg F/l til 1 mg/l ved førstegangs filtrering. Ved å la vannet renne gjennom samme filteret en eller to ganger til, kan fluoridinnholdet reduseres ytterligere til 0,15 og 0,06 mg/l. Stort lettere og billigere kan det ikke gjøres! Eneste problemet er at jord må tilkjøres fra høylandet der den er vasket ut av regnet gjennom tusen år, til høy-fluorid områder der lignende jord synes å være mettet med fluorid gjennom like lang tid (Kjell Bjorvatn, pers. medd.)

#### Sammenligning av behandlingsmetoder

Cameron et al. (1988) sammenligner teknikker som brukes i England for å fjerne aluminium og fluor fra vann som brukes til dialysepasienter, bl.a. avherding, omvendt osmose, og avionisering.

Potgieter (1990) og Killedar & Bhargava (1998) gir noen sammenligninger av behandlingsmetoder for fluorid. Førstnevnte forfatter konkluderer at for konsentrasjoner på ca. 1.5 mg/l fluorid ga aktivert alumina og deretter anionebytteresiner bedre resultater enn dosering med kalk eller aluminiumssalter. Sistnevnte foretrekker Nalgonda-prosessen. Fox & Sorg (1987) sammenlignet omvendt osmose og aktivert alumina som metoder for å fjerne arsen, fluor og uran: den "beste" metoden avhenger av vannkemi og driftsforhold. Mazounie & Mouchet (1984) foretrekker aktivert alumina i de fleste tilfellene, men anbefaler omvendt osmose for saltholdig vann. Tjiook (1983) foretrekker kjemisk koagulering på grunn av lav kostnad, men erkjenner at ionebytting og aktivert alumina kan være mer effektive (dog mer kompliserte) metoder. Han mener at omvendt osmose koster 2-5 ganger mer enn koagulering i India.